

廃炉発官R5第127号
令和5年1月9日

原子力規制委員会 殿

東京都千代田区内幸町1丁目1番3号
東京電力ホールディングス株式会社
代表執行役社長 小早川 智明

福島第一原子力発電所 特定原子力施設に係る実施計画 変更認可申請書の
一部補正について

令和5年6月2日付け廃炉発官R5第34号をもって申請しました福島第一原子
力発電所 特定原子力施設に係る実施計画 変更認可申請書を別紙の通り一部補正を
いたします。

以上

「福島第一原子力発電所 特定原子力施設に係る実施計画」について、下記の箇所を別添の通りとする。

補正箇所、補正理由及びその内容は以下の通り。

○福島第一原子力発電所 特定原子力施設に係る実施計画

原子炉注水用の処理水供給の信頼性向上を目的に、建屋内R Oで処理した処理水をR O処理水貯槽及び蒸発濃縮処理水貯槽へ補給するための移送配管の追設を行う。審査の進捗を踏まえ、以下の通り補正を行う。

II 特定原子力施設の設計、設備

2 特定原子力施設の構造及び設備、工事の計画

2.5 汚染水処理設備等

本文

- ・変更なし

添付資料-1

- ・記載の適正化

添付資料-1 5

- ・移送配管追設に伴う、記載の追加内容の修正
- ・移送配管追設に伴う、配管概略図の変更

以 上

別添

2.5 汚染水処理設備等

2.5.1 基本設計

2.5.1.1 設置の目的

タービン建屋等には、東北地方太平洋沖地震による津波、炉心冷却水の流入、雨水の浸入、地下水の浸透等により海水成分を含んだ高レベルの放射性汚染水が滞留している（以下、「滯留水」という）。

このため、汚染水処理設備等では、滯留水を安全な箇所に移送すること、滯留水に含まれる主要な放射性物質を除去し環境中に移行し難い性状とすること、除去した放射性物質を一時的に貯蔵すること、滯留水の発生量を抑制するため塩分を除去し原子炉への注水に再利用する循環冷却を構築することを目的とする。

2.5.1.2 要求される機能

- (1) 発生する高レベル放射性汚染水量（地下水及び雨水の流入による增量分を含む）を上回る処理能力を有すること
- (2) 高レベル放射性汚染水中の放射性物質等の濃度及び量を適切な値に低減する能力を有すること
- (3) 汚染水処理設備が停止した場合に備え、複数系統及び十分な貯留設備を有すること
- (4) 汚染水処理設備等は漏えいを防止できること
- (5) 万一、高レベル放射性汚染水の漏えいがあった場合、高レベル放射性汚染水の散逸を抑制する機能を有すること
- (6) 高レベル放射性汚染水を処理する過程で発生する気体状の放射性物質及び可燃性ガスの検出、管理及び処理が適切に行える機能を有すること

2.5.1.3 設計方針

2.5.1.3.1 汚染水処理設備、貯留設備（タンク等）及び関連設備（移送配管、移送ポンプ等）の設計方針

- (1) 処理能力
 - a. 汚染水処理設備及び関連設備（移送配管、移送ポンプ等）は、原子炉への注水、雨水の浸入、地下水の浸透等により1号～4号機のタービン建屋等に発生する滯留水に対して十分対処できる処理容量とする。
 - b. 汚染水処理設備の除染能力及び塩素除去能力は、処理済水の発電所内再使用を可能とするのに十分な性能を有するものとする。
- (2) 汚染水処理設備等の長期停止に対する考慮
 - a. 主要核種の除去を行う処理装置（セシウム吸着装置、第二セシウム吸着装置、第三セシウム吸着装置及び除染装置）は、単独もしくは組み合わせでの運転が可能な設計と

する。また、セシウム吸着装置及び除染装置と第二セシウム吸着装置は、それぞれ異なる系統の所内高圧母線から受電する構成とし、第三セシウム吸着装置は、二つの異なる系統の所内高圧母線から受電する構成とする。

- b. 汚染水処理設備及び関連設備（移送ポンプ等）の動的機器は、その故障により滞留水の移送・処理が長期間停止するがないように原則として多重化する。
- c. 汚染水処理設備が長期間停止した場合を想定し、滞留水がタービン建屋等から系外に漏れ出ないように、タービン建屋等の水位を管理するとともに、貯留用のタンクを設ける。
- d. 汚染水処理設備、貯留設備及び関連設備（移送ポンプ等）は、所内高圧母線から受電できる設計とする。
- e. 汚染水処理設備、貯留設備及び関連設備（移送ポンプ等）は、外部電源喪失の場合においても、非常用所内電源から必要に応じて受電できる設計とする。

(3) 規格・基準等

汚染水処理設備、貯留設備及び関連設備（移送配管、移送ポンプ等）の機器等は、設計、材料の選定、製作及び検査について、原則として適切と認められる規格及び基準によるものとする。

(4) 放射性物質の漏えい防止及び管理されない放出の防止

汚染水処理設備、貯留設備及び関連設備（移送配管、移送ポンプ等）は、液体状の放射性物質の漏えいの防止及び所外への管理されない放出を防止するため、次の各項を考慮した設計とする。

- a. 漏えいの発生を防止するため、機器等には設置環境や内部流体の性状等に応じた適切な材料を使用するとともに、タンク水位の検出器等を設ける。
- b. 液体状の放射性物質が漏えいした場合は、漏えいの早期検出を可能にするとともに、漏えいを停止するのに適切な措置をとれるようとする。また、汚染水処理設備、貯留設備においては漏えい水の拡大を抑制するための堰等を設ける。
- c. タンク水位、漏えい検知等の警報については、免震重要棟集中監視室及びシールド中央制御室（シールド中操）に表示し、異常を確実に運転員に伝え適切な措置をとれるようとする。なお、シールド中央制御室（シールド中操）の機能移転後に設置する設備のタンク水位、漏えい検知等の警報は、免震重要棟集中監視室に発報・表示し、同様の措置を実施する。

(5) 放射線遮へいに対する考慮

汚染水処理設備、貯留設備及び関連設備（移送配管、移送ポンプ等）は、放射線業務従事者等の線量を低減する観点から、放射線を適切に遮へいする設計とする。

(6) 崩壊熱除去に対する考慮

汚染水処理設備は、放射性物質の崩壊熱による温度上昇を考慮し、必要に応じて崩壊熱を除去できる設計とする。

(7) 可燃性ガスの滞留防止に対する考慮

汚染水処理設備は、水の放射線分解により発生する可燃性ガスを適切に排出できる設計とする。

(8) 気体廃棄物の放出に対する考慮

汚染水処理設備は、放出する可燃性ガス等の気体に放射性物質が含まれる可能性がある場合には、排気設備にフィルタ等を設け捕獲する設計とする。

(9) 健全性に対する考慮

汚染水処理設備、貯留設備及び関連設備は、機器の重要度に応じた有効な保全ができるものとする。

2.5.1.3.2 使用済セシウム吸着塔保管施設及び廃スラッジ貯蔵施設の設計方針

(1) 貯蔵能力

使用済セシウム吸着塔保管施設及び廃スラッジ貯蔵施設は、汚染水処理設備、多核種除去設備、高性能多核種除去設備、モバイル式処理装置、増設多核種除去設備、サブドレン他浄化装置、高性能多核種除去設備検証試験装置、モバイル型ストロンチウム除去装置、RO濃縮水処理設備、第二モバイル型ストロンチウム除去装置、放水路浄化装置、5・6号機仮設設備（滞留水貯留設備）浄化ユニットで発生する放射性廃棄物を貯蔵できる容量とする。また、必要に応じて増設する。

(2) 多重性等

廃スラッジ貯蔵施設の動的機器は、故障により設備が長期間停止するがないように、原則として多重化する。

(3) 規格・基準等

使用済セシウム吸着塔保管施設、廃スラッジ貯蔵施設の機器等は、設計、材料の選定、製作及び検査について、原則として適切と認められる規格及び基準によるものとする。

(4) 放射性物質の漏えい防止及び管理されない放出の防止

廃スラッジ貯蔵施設の機器等は、液体状の放射性物質の漏えいの防止及び所外への管理

されない放出を防止するため、次の各項を考慮した設計とする。

- a. 漏えいの発生を防止するため、機器等には設置環境や内部流体の性状等に応じた適切な材料を使用するとともに、タンク水位の検出器等を設ける。
- b. 液体状の放射性物質が漏えいした場合は、漏えいの早期検出を可能にするとともに、漏えい液体の除去・回収を行えるようにする。
- c. タンク水位、漏えい検知等の警報については、免震重要棟集中監視室及びシールド中央制御室（シールド中操）に表示し、異常を確実に運転員に伝え適切な措置をとれるようにする。

なお、セシウム吸着装置、第二セシウム吸着装置、第三セシウム吸着装置、高性能多核種除去設備、モバイル式処理装置、サブドレン他浄化装置、高性能多核種除去設備検証試験装置、RO濃縮水処理設備、第二モバイル型ストロンチウム除去装置、放水路浄化装置の使用済みの吸着塔、モバイル型ストロンチウム除去装置の使用済みのフィルタ及び吸着塔、多核種除去設備及び増設多核種除去設備の使用済みの吸着材を収容した高性能容器及び多核種除去設備にて発生する処理カラム、5・6号機仮設設備（滞留水貯留設備）浄化ユニットの使用済セシウム／ストロンチウム同時吸着塔は、内部の水を抜いた状態で貯蔵するため、漏えいの可能性はない。

(5) 放射線遮へいに対する考慮

使用済セシウム吸着塔保管施設、廃スラッジ貯蔵施設は、放射線業務従事者の線量を低減する観点から、放射線を適切に遮へいする設計とする。

(6) 崩壊熱除去に対する考慮

- a. 吸着塔、フィルタ、高性能容器及び処理カラムは、崩壊熱を大気に逃す設計とする。
- b. 廃スラッジ貯蔵施設は、放射性物質の崩壊熱による温度上昇を考慮し、必要に応じて熱を除去できる設計とする。

(7) 可燃性ガスの滞留防止に対する考慮

吸着塔、フィルタ、高性能容器、処理カラム及び廃スラッジ貯蔵施設は、水の放射線分解により発生する可燃性ガスの滞留を防止でき、必要に応じて適切に排出できる設計とする。

(8) 気体廃棄物の放出に対する考慮

廃スラッジ貯蔵施設は、放出する可燃性ガス等の気体に放射性物質を含む可能性がある場合は、排気設備にフィルタ等を設け捕獲収集する設計とする。また、気体廃棄物の放出を監視するためのモニタ等を設ける。

(9) 健全性に対する考慮

使用済セシウム吸着塔保管施設、廃スラッジ貯蔵施設は、機器の重要度に応じた有効な保全ができるものとする。

2.5.1.4 供用期間中に確認する項目

- (1) 汚染水処理設備は、滞留水の放射性物質の濃度を原子炉注水に再利用可能な濃度まで低減できる能力を有すること。
- (2) 汚染水処理設備は、滞留水の塩化物イオン濃度を原子炉注水に再利用可能な濃度まで低減できる能力を有すること。

2.5.1.5 主要な機器

2.5.1.5.1 汚染水処理設備、貯留設備（タンク等）及び関連設備（移送配管、移送ポンプ等）

汚染水処理設備、貯留設備（タンク等）及び関連設備（移送配管、移送ポンプ等）は、滞留水移送装置、油分分離装置、処理装置（セシウム吸着装置、第二セシウム吸着装置、第三セシウム吸着装置及び除染装置）、淡水化装置（逆浸透膜装置、蒸発濃縮装置）、中低濃度タンク、地下貯水槽等で構成する。

使用済セシウム吸着塔保管施設、廃スラッジ貯蔵施設及び関連施設（移送配管、移送ポンプ等）は、使用済セシウム吸着塔仮保管施設、使用済セシウム吸着塔一時保管施設、造粒固化体貯槽(D)、廃スラッジ一時保管施設等で構成する。

1号～4号機のタービン建屋等の滞留水は、滞留水移送装置によりプロセス主建屋、雑固体廃棄物減容処理建屋（以下、「高温焼却炉建屋」という。）へ移送した後、プロセス主建屋等の地下階を介して、必要に応じて油分を除去し、処理装置へ移送、またはプロセス主建屋等の地下階を介さずにセシウム吸着装置・第二セシウム吸着装置へ直接移送し、主要核種を除去した後、淡水化装置により塩分を除去する。また、各装置間には処理済水、廃水を保管するための中低濃度タンク、地下貯水槽を設置する。

二次廃棄物となる使用済みの吸着材を収容したセシウム吸着装置吸着塔、第二セシウム吸着装置吸着塔、第三セシウム吸着装置吸着塔、モバイル式処理装置吸着塔、モバイル型ストロンチウム除去装置の使用済フィルタ・吸着塔、第二モバイル型ストロンチウム除去装置、放水路浄化装置吸着塔は使用済セシウム吸着塔仮保管施設、もしくは使用済セシウム吸着塔一時保管施設に一時的に貯蔵し、高性能多核種除去設備、高性能多核種除去設備検証試験装置、サブドレン他浄化装置、RO濃縮水処理設備で発生する吸着塔、多核種除去設備、増設多核種除去設備にて発生する二次廃棄物を収容する高性能容器及び多核種除去設備にて発生する処理カラム、5・6号機仮設設備（滞留水貯留設備）浄化ユニットで発生する使用済セシウム／ストロンチウム同時吸着塔は使用済セシウム吸着塔一時保管施設に一時的に貯蔵する。なお、セシウム吸着装置吸着塔、第二セシウム吸着装置吸着塔、第三セシウム吸着装置吸着塔、多核種除去設備にて発生する処理カラム、高性能多核種除去設備、サブドレ

ン他浄化装置、RO 濃縮水処理設備で発生する吸着塔は大型廃棄物保管庫にも一時的に貯蔵する。また、二次廃棄物の廃スラッジは造粒固化体貯槽(D)、廃スラッジ一時保管施設で一時的に貯蔵する。

汚染水処理設備、貯留設備及び関連設備の主要な機器は、免震重要棟集中監視室またはシールド中央制御室（シールド中操）から遠隔操作及び運転状況の監視を行う。

(1) 滞留水移送装置

滞留水移送装置は、タービン建屋等にある滞留水を汚染水処理設備のあるプロセス主建屋、高温焼却炉建屋へ移送することを目的に、移送ポンプ、移送ライン等で構成する。

移送ポンプは、1号機タービン建屋に6台、1号機原子炉建屋に2台、1号機廃棄物処理建屋に2台、2号機タービン建屋に6台、2号機原子炉建屋に2台、2号機廃棄物処理建屋に6台、3号機のタービン建屋に9台、3号機原子炉建屋に4台、3号機廃棄物処理建屋に6台、4号機タービン建屋に7台、4号機原子炉建屋に6台、4号機廃棄物処理建屋に6台設置し、原子炉への注水、雨水の浸入、地下水の浸透等により1号～4号機のタービン建屋等に発生する滞留水に対して十分対処可能な設備容量を確保する。滞留水の移送は、移送元のタービン建屋等の水位や移送先となるプロセス主建屋、高温焼却炉建屋の水位の状況に応じて、ポンプの起動台数、移送元、移送先を適宜選定して実施する。

移送ラインは、設備故障及び損傷を考慮し複数の移送ラインを準備する。また、使用環境を考慮した材料を選定し、必要に応じて遮へい、保温材等を設置するとともに、屋外敷設箇所は移送ラインの線量当量率等を監視し漏えいの有無を確認する。

(2) 油分分離装置

油分分離装置は、油分がセシウム吸着装置の吸着性能を低下させるため、その上流側に設置し、滞留水に含まれる油分を自然浮上分離により除去する。油分分離装置は、プロセス主建屋内に3台設置する。

(3) 処理装置（セシウム吸着装置、第二セシウム吸着装置、第三セシウム吸着装置、除染装置）

セシウム吸着装置、第二セシウム吸着装置及び第三セシウム吸着装置は、吸着塔内部に充填された吸着材のイオン交換作用により、滞留水に含まれるセシウム等の核種を除去する。除染装置は、滞留水にセシウム等の核種を吸着する薬品を注入し凝集・沈殿させ、上澄液とスラッジに分離することで、滞留水に含まれるセシウム等の核種を除去する。また、各装置は装置の処理能力を確認するための試料を採取できる設備とする。

処理装置は、複数の装置により多様性を確保するとともに、各装置の組み合わせもしくは単独により運転が可能な系統構成とする。

a. セシウム吸着装置

セシウム吸着装置は、焼却工作建屋内に4系列配置しており、多段の吸着塔により滞留水に含まれる放射性のセシウム、ストロンチウムを除去する。

セシウム吸着装置は、4系列でセシウムを除去するセシウム吸着運転（以下、「Cs吸着運転」という）または4系列を2系列化しセシウム及びストロンチウムを除去するセシウム／ストロンチウム同時吸着運転（以下、「Cs/Sr同時吸着運転」という）を行う。

吸着塔は、二重の円筒形容器で、内側は内部に吸着材を充填したステンレス製の容器、外側は炭素鋼製の遮へい容器からなる構造とする。

使用済みの吸着塔は一月あたり6本程度発生し、使用済セシウム吸着塔仮保管施設にて内部の水抜きを行い、使用済セシウム吸着塔仮保管施設及び使用済セシウム吸着塔一時保管施設あるいは大型廃棄物保管庫にて貯蔵する。

b. 第二セシウム吸着装置

第二セシウム吸着装置は、高温焼却炉建屋内に2系列配置し、各系列で多段の吸着塔によりセシウム、ストロンチウム等の核種を除去する。

第二セシウム吸着装置は、セシウム吸着塔によりセシウムを除去するセシウム吸着運転（以下、「Cs吸着運転」という）、または同時吸着塔によりセシウム及びストロンチウムを除去するセシウム／ストロンチウム同時吸着運転（以下、「Cs/Sr同時吸着運転」という）を行う。

吸着塔は、ステンレス製の容器にゼオライト等の吸着材を充填し、周囲は鉛等で遮へいする構造とする。

使用済みの吸着塔は、Cs吸着運転においては一月あたり4本程度発生し、Cs/Sr同時吸着運転においては一月あたり4本程度発生する。

使用済み吸着塔は、本装置において内部の水抜きを行い、使用済セシウム吸着塔仮保管施設及び使用済セシウム吸着塔一時保管施設あるいは大型廃棄物保管庫にて貯蔵する。

c. 第三セシウム吸着装置

第三セシウム吸着装置は、サイトバンカ建屋内に1系列配置し、多段の吸着塔によりセシウム、ストロンチウム等の核種を除去する。

第三セシウム吸着装置は、セシウム及びストロンチウム同時吸着塔によりセシウム及びストロンチウムを除去するCs/Sr同時吸着運転を行う。

吸着塔は、ステンレス製の容器にゼオライト等の吸着材を充填し、周囲は鉛等で遮へいする構造とする。

使用済みの吸着塔は、一ヶ月あたり1本程度発生する。使用済み吸着塔は、本装置

において内部の水抜きを行い、使用済セシウム吸着塔一時保管施設あるいは大型廃棄物保管庫にて貯蔵する。

d. 除染装置

除染装置は、プロセス主建屋に 1 系列設置し、滞留水に含まれる懸濁物質や浮遊物質を除去する加圧浮上分離装置、薬液注入装置から吸着剤を注入し放射性物質の吸着を促す反応槽、薬液注入装置から凝集剤を注入し放射性物質を凝集・沈殿させ上澄液とスラッジに分離する凝集沈殿装置、懸濁物質の流出を防止するディスクフィルター、吸着材を注入する薬品注入装置で構成する。反応槽及び凝集沈殿装置は、1 組の装置を 2 段設置することにより放射能除去性能を高める設計とするが、1 段のみでも運転可能な設計とする。スラッジは造粒固化体貯槽(D)に排出する。

(4) 淡水化装置（逆浸透膜装置、蒸発濃縮装置）

淡水化装置は、滞留水を原子炉注水に再使用するため、滞留水に含まれる塩分を除去することを目的に、逆浸透膜装置、蒸発濃縮装置で構成する。

逆浸透膜装置は、4 号機タービン建屋 2 階及び蛇腹ハウス内に設置する 3 系列 3 台で構成し、水を通しイオンや塩類などの不純物は透過しない逆浸透膜の性質を利用して滞留水に含まれる塩分を除去し、処理済水と塩分が濃縮された廃水に分離する。運転系列は、耐震性を向上させた 4 号機タービン建屋 2 階に設置する逆浸透膜装置（以下、「建屋内 RO」という。）を原則として使用する。また、蛇腹ハウス内に設置している逆浸透膜装置は、逆浸透膜を通して滯留水を濃縮廃水側へ送水する機能も有する。蒸発濃縮装置は 3 系列 8 台で構成し、逆浸透膜装置により塩分が濃縮された廃水を蒸気により蒸発濃縮（蒸留）する設備であるが、平成 28 年 1 月現在運用を停止している。また、各装置は装置の処理能力を確認するための試料を採取できる設備とする。

なお、建屋内 RO 及びこれに付帯する機器を建屋内 RO 循環設備という。

淡水化装置は、複数の装置及び系統により多重性及び多様性を確保する。

(5) 廃止（高濃度滞留水受タンク）

(6) 中低濃度タンク

中低濃度タンクは、処理装置（セシウム吸着装置、第二セシウム吸着装置、第三セシウム吸着装置及び除染装置）により主要核種が除去された水等を貯留する目的で主に屋外に設置する。

中低濃度タンクは、貯留する水の性状により分類し、処理装置（セシウム吸着装置、第二セシウム吸着装置、第三セシウム吸着装置及び除染装置）により主要核種を除去された水等を貯留するサプレッション・プール水サージタンク及び廃液 RO 供給タンク、逆浸透膜装置

の廃水を貯留する RO 後濃縮塩水受タンク^{*1}、蒸発濃縮装置の廃水を貯留する濃縮廃液貯槽、逆浸透膜装置の処理済水を貯留する RO 後淡水受タンク^{*2}、多核種除去設備、増設多核種除去設備及び高性能多核種除去設備の処理済水を貯留する多核種処理水タンク^{*3}及び RO 濃縮水処理設備の処理済水、サブドレン他水処理施設で汲み上げた地下水を貯留する Sr 処理水タンク^{*4}で構成する。

サプレッション・プール水サージタンクは、液体廃棄物処理系の設備として既に設置されていた設備を使用し、工事計画認可申請書（57 資庁第 2974 号 昭和 57 年 4 月 20 日認可）において確認を実施している。RO 後淡水受タンクの貯留水は、処理済水として原子炉への注水に再利用する。

なお、各タンクは定期的に必要量を確認し^{*5}、必要に応じて増設する。

*1 : RO 濃縮水貯槽、地下貯水槽（RO 後濃縮塩水用分）にて構成。

*2 : RO 処理水貯槽、蒸発濃縮処理水貯槽にて構成。

*3 : 多核種処理水貯槽で構成。

*4 : Sr 処理水貯槽で構成。

*5 : 「福島第一原子力発電所における高濃度の放射性物質を含むたまり水の貯蔵及び処理の状況について」にて確認を実施。

(7) 地下貯水槽

地下貯水槽は、発電所構内の敷地を有効活用する観点で地面を掘削して地中に設置する。また、止水のための 3 重シート（2 重の遮水シート及びペントナイトシート）、その内部に地面からの荷重を受けるためのプラスチック製枠材を配置した構造とする。

地下貯水槽には、逆浸透膜装置の廃水等を貯留する。

なお、地下貯水槽からの漏えいが認められたことから、別のタンクへの貯留水の移送が完了次第、使用しないこととする。

(8) ろ過水タンク

ろ過水タンクは、既に屋外に設置されていたもので、放射性物質を含まない水を貯留するタンクであるが、地下貯水槽に貯留した逆浸透膜装置の廃水の貯留用として一時的に使用する。ろ過水タンクは、放射性流体を貯留するための設備ではないため、逆浸透膜装置の廃水を貯留する場合の適合性評価を行う。また、ろ過水タンク周囲に設置した線量計で雰囲気線量を確認する等により漏えいの有無を確認する。なお、貯留期間は貯留開始後 1 年以内を目途とし、ろ過水タンクに貯留した逆浸透膜装置の廃水を別のタンクに移送する。

(9) 電源設備

電源は、所内高圧母線から受電でき、非常用所内電源とも接続できる構成とする。セシウム吸着装置及び除染装置と第二セシウム吸着装置は、それぞれ異なる系統の所内高圧母線から受電する構成とし、第三セシウム吸着装置は、二つの異なる系統の所内高圧母線から受電する構成とすることにより、所内高圧母線の点検等による電源停止においても、何れかの

処理装置により、滞留水の処理が可能な設計とする。また、汚染水処理設備等は、外部電源喪失の場合は、タービン建屋等の水位の状況や汚染水処理設備以外の設備負荷を考慮しながら復旧する。

(10) 廃止（モバイル式処理設備）

(11) 滞留水浄化設備

1～4号機の建屋滞留水の放射性物質濃度を低減する目的で、1～4号機の滞留水を浄化する設備（以下、滞留水浄化設備）を設置する。滞留水浄化設備は、建屋内RO循環設備で敷設した配管から各建屋へ分岐する配管で構成する。

2.5.1.5.2 使用済セシウム吸着塔保管施設及び廃スラッジ貯蔵施設

使用済セシウム吸着塔保管施設は、使用済セシウム吸着塔仮保管施設、使用済セシウム吸着塔一時保管施設で構成する。廃スラッジ貯蔵施設は造粒固化体貯槽(D)、廃スラッジ一時保管施設で構成する。

廃スラッジ貯蔵施設の主要な機器は、免震重要棟集中監視室またはシールド中央制御室（シールド中操）から遠隔操作及び運転状況の監視を行う。

(1) 使用済セシウム吸着塔保管施設

a. 使用済セシウム吸着塔仮保管施設

使用済セシウム吸着塔仮保管施設は、セシウム吸着装置、第二セシウム吸着装置、モバイル式処理装置、第二モバイル型ストロンチウム除去装置及び放水路浄化装置で発生する吸着塔並びにモバイル型ストロンチウム除去装置で発生するフィルタ及び吸着塔を使用済セシウム吸着塔一時保管施設へ移送するまでの間貯蔵するために設けた施設であり、吸着塔を取り扱うための門型クレーン、セシウム吸着装置吸着塔等のろ過水による洗浄・水抜きを実施する装置、遮へい機能を有するコンクリート製ボックスカルバート等にて構成する。

b. 使用済セシウム吸着塔一時保管施設

使用済セシウム吸着塔一時保管施設は、セシウム吸着装置、第二セシウム吸着装置、第三セシウム吸着装置、モバイル式処理装置、高性能多核種除去設備、サブドレン他浄化装置、高性能多核種除去設備検証試験装置、RO濃縮水処理設備及び第二モバイル型ストロンチウム除去装置、放水路浄化装置で発生する吸着塔、モバイル型ストロンチウム除去装置で発生するフィルタ及び吸着塔、多核種除去設備、増設多核種除去設備にて発生する二次廃棄物を収容する高性能容器及び多核種除去設備にて発生する処理カラム、5・6号機仮設設備（滞留水貯留設備）浄化ユニットで発生する使用済

セシウム／ストロンチウム同時吸着塔の処理施設等が設置されるまでの間一時的に貯蔵を行う施設であり、吸着塔、フィルタ、高性能容器及び処理カラムを取り扱うための門型クレーン、遮へい機能を有するコンクリート製ボックスカルバート等により構成する。

なお、使用済セシウム吸着塔一時保管施設は必要に応じて増設する。

(2) 廃スラッジ貯蔵施設

a. 造粒固化体貯槽(D)

造粒固化体貯槽(D)は、除染装置の凝集沈殿装置で発生したスラッジを廃スラッジ一時保管施設へ移送するまでの間、貯蔵する設備であり、固体廃棄物処理系の設備として既にプロセス主建屋に設置していた設備を改造して使用する。なお、造粒固化体貯槽(D)はプロセス主建屋と一体構造であるため、「2.6 滞留水を貯留している（滞留している場合を含む）建屋」において確認している。

b. 廃スラッジ一時保管施設

廃スラッジ一時保管施設は、廃スラッジを処理施設等へ移送するまでの間一時貯蔵する設備として設置する。廃スラッジ一時保管施設は、スラッジ貯槽、セル及びオフガス処理系等を収容するスラッジ棟、圧縮空気系の機器等を収容する設備棟で構成する。

廃スラッジ一時保管施設の動的機器は、故障により設備が長期間停止することがないよう、原則として多重化する。

また、廃スラッジ一時保管施設の電源は、所内高圧母線から受電でき、非常用所内電源とも接続できる構成とする。また、外部電源喪失の場合は、タービン建屋等の水位の状況や汚染水処理設備以外の設備負荷を考慮しながら復旧する。

2.5.1.6 自然災害対策等

(1) 津波

滞留水移送装置、処理装置等一部の設備を除き、アウターライズ津波が到達しないと考えられる T.P. 約 28m 以上の場所に設置する。

滞留水移送装置、処理装置等、東北地方太平洋沖地震津波が到達したエリアに設置する設備については、アウターライズ津波による浸水を防止するため仮設防潮堤内に設置する。また、アウターライズ津波を上回る津波の襲来に備え、大津波警報が出た際は滞留水移送装置、処理装置を停止し、処理装置については隔離弁を閉めることにより滞留水の流出を防止する。

(2) 台風（強風）

汚染水処理設備等のうち、処理装置及び建屋内ROは台風（強風）による設備損傷の可能性が低い鉄筋コンクリート造の建屋内に設置する。淡水化装置（建屋内RO除く）は、蛇腹ハウスやテントハウス内に設置しているため、台風（強風）によりハウスの一部が破損する可能性はあるが、ハウス破損に伴い、淡水化装置に損傷を与える可能性がある場合は、淡水化装置の停止等の操作を行い、装置損傷による汚染水の漏えい防止を図る。

(3) 火災

初期消火の対応ができるよう、近傍に消火器を設置する。

2.5.1.7 構造強度及び耐震性

2.5.1.7.1 汚染水処理設備、貯留設備（タンク等）及び関連設備（移送配管、移送ポンプ等）

(1) 構造強度

a. 震災以降緊急対応的に設置又は既に（平成25年8月14日より前に）設計に着手した機器等

汚染水処理設備、貯留設備及び関連設備を構成する機器は、「発電用原子力設備に関する技術基準を定める省令」において、廃棄物処理設備に相当するクラス3機器に準ずるものと位置付けられる。クラス3機器の適用規格は、「JSME S NC-1 発電用原子力設備規格 設計・建設規格」（以下、「JSME規格」という。）で規定される。

しかしながら、震災以降緊急対応的にこれまで設置してきた機器等は、必ずしもJSME規格に従って設計・製作・検査をされたものではなく、日本産業規格（JIS）や日本水道協会規格等の国内外の民間規格、製品の試験データ等を踏まえ、福島第一原子力発電所構内の作業環境、機器等の設置環境や時間的裕度を勘案した中で設計・製作・検査を行ってきている。

汚染水処理設備、貯留設備及び関連設備を構成する機器は、高濃度の汚染水を内包するため、バウンダリ機能の健全性を確認する観点から、設計された肉厚が十分であることを確認している。また、溶接部については、耐圧・漏えい試験等を行い、有意な変形や漏えい等のないことを確認している。

機器等の経年劣化に対しては、適切な保全を実施することで健全性を維持していく。

b. 今後（平成25年8月14日以降）設計する機器等

汚染水処理設備、貯留設備及び関連設備を構成する機器は、「実用発電用原子炉及びその付属設備の技術基準に関する規則」において、廃棄物処理設備に相当するクラス3機器に準ずるものと位置付けられる。クラス3機器の適用規格は、「JSME S NC-1 発電用原子力設備規格 設計・建設規格」等（以下、「JSME規格」という。）で規定される。

汚染水処理設備等は、地下水等の流入により増加する汚染水の対応が必要であり、短期間での機器の設置が求められる。また、汚染水漏えい等のトラブルにより緊急的な対応が必要

となることもある。

従って、今後設計する機器等については、JSME 規格に限定するものではなく、日本産業規格（JIS）等の国内外の民間規格に適合した工業用品の採用、或いは American Society of Mechanical Engineers (ASME 規格)、日本産業規格 (JIS)、またはこれらと同等の技術的妥当性を有する規格での設計・製作・検査を行う。溶接（溶接施工法および溶接土）は JSME 規格、American Society of Mechanical Engineers (ASME 規格)、日本産業規格 (JIS)、および発電用火力設備に関する技術基準を定める省令にて認証された溶接、または同等の溶接とする。また、JSME 規格で規定される材料の日本産業規格 (JIS) 年度指定は、技術的妥当性の範囲において材料調達性の観点から考慮しない場合もある。

さらに、今後も JSME 規格に記載のない非金属材料（耐圧ホース、ポリエチレン管等）については、現場の作業環境等から採用を継続する必要があるが、これらの機器等については、日本産業規格 (JIS) や日本水道協会規格、製品の試験データ等を用いて設計を行う。

(2) 耐震性

汚染水処理設備等を構成する機器は、その安全機能の重要度、地震によって機能の喪失を起こした場合の安全上の影響（公衆への被ばく影響）や廃炉活動への影響等を考慮した上で、核燃料物質を非密封で扱う燃料加工施設や使用施設等における耐震クラス分類を参考にして適切な耐震設計上の区分を行うとともに、適切と考えられる設計用地震力に十分耐えられる設計とする。要求される地震力に対して耐震性を確保できない場合は、その影響について評価を行う。支持部材がない等の理由によって、耐震性に関する評価ができない設備を設置する場合においては、可撓性を有する材料を使用するなどし、耐震性を確保する。

なお、検討用地震動および同津波に対する評価が必要な設備として抽出された機器等については、今後対策を講じる。

また、各機器は必要な耐震性を確保するために、原則として以下の方針に基づき設計する。

- ・倒れ難い構造（機器等の重心を低くする、基礎幅や支柱幅を大きくとる）
- ・動き難い構造、外れ難い構造（機器をアンカ、溶接等で固定する）
- ・座屈が起り難い構造
- ・変位による破壊を防止する構造（定ピッチスパン法による配管サポート間隔の設定、配管等に可撓性のある材料を使用）

2.5.1.7.2 使用済セシウム吸着塔保管施設及び廃スラッジ貯蔵施設

(1) 構造強度

a. 震災以降緊急対応的に設置又は既に（平成 25 年 8 月 14 日より前に）設計に着手した機器等

使用済セシウム吸着塔保管施設及び廃スラッジ貯蔵施設を構成する機器は、震災以降緊急対応的に設置してきたもので、「発電用原子力設備に関する技術基準を定める省令」にお

いて、廃棄物処理設備に相当するクラス3機器に準ずるものと位置付けられる。クラス3機器の適用規格は、「JSME S NC-1 発電用原子力設備規格 設計・建設規格」(以下、「JSME 規格」という。)で規定される。

しかしながら震災以降緊急対応的にこれまで設置してきた機器等は、必ずしもJSME規格に従って設計・製作・検査をされたものではなく、日本産業規格(JIS)等規格適合品または製品の試験データ等を踏まえ、福島第一原子力発電所構内の作業環境、機器等の設置環境や緊急時対応の時間的裕度を勘案した中で設計・製作・検査を行ってきている。

廃スラッジ貯蔵施設を構成する機器は、高濃度の汚染水を内包するため、バウンダリ機能の健全性を確認する観点から、設計された肉厚が十分であることを確認している。また、溶接部については、耐圧・漏えい試験等を行い、有意な変形や漏えい等のないことを確認している。

なお、使用済セシウム吸着塔保管施設を構成するコンクリート製ボックスカルバートは遮へい物として吸着塔等の周囲に配置するものであり、JSME規格で定める機器には該当しない。

b. 今後（平成25年8月14日以降）設計する機器等

使用済セシウム吸着塔一時保管施設は必要に応じて増設することとしており、地下水等の流入により増加する汚染水の処理に伴う二次廃棄物への対応上、短期間での施設の設置が必要である。このため今後設計する機器等については、日本産業規格(JIS)等規格に適合した工業用品の採用、或いはJIS等の技術的妥当性を有する規格での設計・製作・検査を行う。

(2) 耐震性

使用済セシウム吸着塔保管施設、廃スラッジ貯蔵施設を構成する機器は、「発電用原子炉施設に関する耐震設計審査指針」のBクラス相当の設備と位置づけられる。

使用済セシウム吸着塔保管施設、廃スラッジ貯蔵施設の耐震性に関する評価にあたっては、「JEAC4601 原子力発電所耐震設計技術規程」に準拠することを基本とするが、必要に応じて現実的な評価を行う。また、配管に関しては、変位による破壊を防止するため、定ピッチスパン法による配管サポート間隔の設定や、可撓性のある材料を使用する。

なお、検討用地震動および同津波に対する評価が必要な設備として抽出された機器等について、今後対策を講じる。

2.5.1.8 機器の故障への対応

2.5.1.8.1 汚染水処理設備、貯留設備（タンク等）及び関連施設（移送配管、移送ポンプ等）

(1) 機器の単一故障

a. 動的機器の単一故障

汚染水処理設備は、機器の単一故障により滞留水の処理機能が喪失するのを防止するため動的機器や外部電源を多重化しているが、汚染水処理設備の動的機器が故障した場合は、待機設備へ切替を行い、滞留水の処理を再開する。

(2) 主要機器の複数同時故障

a. 処理装置の除染能力が目標性能以下

汚染水処理設備は、セシウム吸着装置、第二セシウム吸着装置、第三セシウム吸着装置及び除染装置による処理装置全体で多重化が確立されており、各装置の組み合わせもしくは単独による運転が可能である。そのため、一つの処理装置が故障しても性能回復は短時間で行えるが、万一、所定の除染能力が得られず下流側の逆浸透膜装置の受け入れ条件 (10^2Bq/cm^3 オーダ) を満足しない場合は、以下の対応を行う。

逆浸透膜装置後淡水受タンクでの希釈効果等を踏まえながら、必要に応じて処理装置出口の処理済水を再度セシウム吸着装置、第二セシウム吸着装置、第三セシウム吸着装置及び除染装置に水を戻す「再循環処理」を実施する（手動操作）。なお、再循環処理を実施する場合、稼働率が 50%以下となるため、タービン建屋等からの滞留水の移送量を調整し、プロセス主建屋、高温焼却炉建屋の水位上昇を監視する。

b. 滞留水の処理機能喪失

汚染水処理設備は、セシウム吸着装置、第二セシウム吸着装置、第三セシウム吸着装置及び除染装置のそれぞれで単独運転が可能である。

また、セシウム吸着装置及び除染装置と第二セシウム吸着装置は、それぞれ異なる系統の所内高圧母線から受電する構成とし、第三セシウム吸着装置は、二つの異なる系統の所内高圧母線から受電する構成としている。

さらに、セシウム吸着装置、第二セシウム吸着装置、第三セシウム吸着装置及び除染装置は、建屋により分離して設置している。以上のことから、共通要因によりすべての処理装置が機能喪失する可能性は十分低いと想定するが、全装置が長期間停止する場合は、以下の対応を行う。

- (a) 処理装置が長期間停止する場合、炉注水量を調整し、滞留水の発生量を抑制する。
- (b) セシウム吸着装置、第二セシウム吸着装置または第三セシウム吸着装置の吸着塔の予備品を用意し、短期間（1ヶ月程度）で新たな処理が可能なように準備する。
- (c) タービン建屋等の水位が所外放出レベル近くに達した場合、滞留水をタービン建屋の復水器に移送することで、放射性物質の所外放出を防止する。
- (d) 滞留水の系外への漏えいを防止するために、集中廃棄物処理建屋のサイトバンカ建屋、焼却工作室建屋等への移送準備を行い、滞留水受け入れ容量を確保する。

(3) その他の事象

a. 降水量が多い場合の対応

降水量が多い場合には、滞留水の移送量、処理量を増加させる等の措置をとる。また、大量の降雨が予想される場合には、事前に滞留水をプロセス主建屋等へ移送し、タービン建屋等の水位を低下させる措置をとる。

さらに、タービン建屋の水位が上昇すれば、炉注水量の低下措置等の対応を図る。

(4) 異常時の評価

a. 滞留水の処理機能喪失時の評価

処理装置が長期に機能喪失した場合でも、タービン建屋等の水位は T.P. 1,200mm 程度で管理しているため所外放出レベルの T.P. 2,564mm に達するまでの貯留容量として約 30,000m³ を確保している。さらにタービン建屋の復水器等へ滞留水を移送することにより、これまでの運転実績から、原子炉への注水量を約 400m³/日、地下水の浸透、雨水の浸入により追加発生する滞留水量を約 400m³/日と想定した場合においても、1 ヶ月分（約 24,000m³）以上の貯留が可能である。

本資料に記載の標高は、震災後の地盤沈下量 (-709mm) と O.P. から T.P. への読替値 (-727mm) を用いて、下式に基づき換算している。

<換算式> T.P. = O.P. - 1,436mm

b. 降水量が多い場合の評価

月降水量の最大値は、気象庁の観測データにおいて福島県浪江町で 634mm (2006 年 10 月), 富岡町で 615mm (1998 年 8 月) である。また、タービン建屋等の水位は、降水量に対し 85% の水位上昇を示したことがあるため 1 ヶ月あたりタービン建屋の水位を 540mm (634mm × 0.85%) 上昇させる可能性がある。

その他、建屋水位を上昇させるものとして、①地下水流入と②原子炉への注水があり、各々約 400m³/日が想定される。1 号～4 号機の滞留水が存在している建屋面積の合計は約 23,000m² となるため、降雨、地下水流入、及び原子炉への注水により 1 ヶ月に発生する滞留水量の合計は 36,420m³ となる。そのため、各建屋の水位を維持するためには、約 1,220m³/日の滞留水移送・処理が必要となる。一方、移送装置は移送ポンプが 1 台あたり 20m³/h の運転実績があるため 1,920m³/日の滞留水移送が可能であり、処理装置も実績として 1,680m³/日で処理を実施したことがある。

したがって、月降水量 1,000mm 以上の場合でも、現状の移送装置、処理装置の能力でタービン建屋等の水位を維持することが可能である。

2.5.1.8.2 使用済セシウム吸着塔保管施設及び廃スラッジ貯蔵施設

(1) 機器の单一故障

a. 動的機器の单一故障

廃スラッジ一時保管施設は、機器の单一故障により安全機能が喪失するのを防止するため、動的機器を多重化しているが、動的機器が故障した場合は、待機設備へ切替を行い、安全機能を回復する。

b. 外部電源喪失時

使用済セシウム吸着塔仮保管施設、使用済セシウム吸着塔一時保管施設は、使用済みのセシウム吸着塔等を静的に保管する施設であり、外部電源喪失した場合でも、安全機能に影響を及ぼすことはない。

造粒固化体貯槽(D)は排気用の仮設電源を設けており、外部電源喪失により貯槽内気相部の排気が不可能となった場合は、必要に応じ電源切替を操作することで可燃性ガスを放出する。

廃スラッジ一時保管施設は、外部電源喪失により貯槽内気相部の排気が不可能となるが、以下を考慮しており、短時間のうちに安全機能の回復が可能である。

- ・電源車の接続口を設置
- ・仮設送風機（エンジン付きコンプレッサ）の接続が可能なように取合口を設置
- ・窒素ボンベによる掃気が可能なようにボンベを設置
- ・手動弁を操作することで、可燃性ガスを放出（ベント）できるラインを設置

2.5.2 基本仕様

2.5.2.1 主要仕様

2.5.2.1.1 汚染水処理設備、貯留設備（タンク等）及び関連設備（移送配管、移送ポンプ等）

(1) 1号機タービン建屋滞留水移送ポンプ（完成品）

| | |
|---------|-----------------------------|
| 台 数 | 2 |
| 容 量 | 12m ³ /h (1台あたり) |
| 揚 程 | 30m |
| (追設)台 数 | 4 |
| 容 量 | 18m ³ /h (1台あたり) |
| 揚 程 | 46m |

(2) 2号機タービン建屋滞留水移送ポンプ（完成品）

| | |
|---------|-----------------------------|
| 台 数 | 2 |
| 容 量 | 12m ³ /h (1台あたり) |
| 揚 程 | 30m |
| (追設)台 数 | 2 |
| 容 量 | 18m ³ /h (1台あたり) |
| 揚 程 | 46m |

(3) 3号機タービン建屋滞留水移送ポンプ（完成品）

| | |
|---------|-----------------------------|
| 台 数 | 3 |
| 容 量 | 12m ³ /h (1台あたり) |
| 揚 程 | 30m |
| (追設)台 数 | 2 |
| 容 量 | 18m ³ /h (1台あたり) |
| 揚 程 | 46m |

(4) 4号機タービン建屋滞留水移送ポンプ（完成品）

| | |
|---------|-----------------------------|
| 台 数 | 3 |
| 容 量 | 12m ³ /h (1台あたり) |
| 揚 程 | 30m |
| (追設)台 数 | 2 |
| 容 量 | 18m ³ /h (1台あたり) |
| 揚 程 | 46m |

(5) サイトバンク排水ポンプ（完成品）

| | |
|-----|----------------------|
| 台 数 | 1 |
| 容 量 | 12 m ³ /h |
| 揚 程 | 30 m |

(6) プロセス主建屋滞留水移送ポンプ（完成品）

| | |
|-----|------------------------------|
| 台 数 | 2 （高濃度滞留水受タンク移送ポンプと共に用） |
| 容 量 | 50 m ³ /h (1台あたり) |
| 揚 程 | 38.5～63m |

(7) 高温焼却炉建屋滞留水移送ポンプ（完成品）

| | |
|-----|-----------------------------|
| 台 数 | 2 |
| 容 量 | 50m ³ /h (1台あたり) |
| 揚 程 | 38.5m |

(8) 油分分離装置処理水移送ポンプ（完成品）

| | |
|-----|-----------------------------|
| 台 数 | 2 |
| 容 量 | 50m ³ /h (1台あたり) |
| 揚 程 | 65m |

(9) 第二セシウム吸着装置ブースターポンプ（完成品）

| | |
|-----|-----------------------------|
| 台 数 | 2 |
| 容 量 | 50m ³ /h (1台あたり) |
| 揚 程 | 108m |

(10) セシウム吸着処理水移送ポンプ（完成品）

| | |
|-----|-----------------------------|
| 台 数 | 2 |
| 容 量 | 50m ³ /h (1台あたり) |
| 揚 程 | 41m |

(11) 廃止（除染装置処理水移送ポンプ（完成品））

(12) S P T廃液抜出ポンプ（完成品）

| | |
|-----|-----------------------------|
| 台 数 | 2 |
| 容 量 | 50m ³ /h (1台あたり) |
| 揚 程 | 30m |

(13) S P T受入水移送ポンプ（完成品）

| | |
|-----|-----------------------------|
| 台 数 | 2 |
| 容 量 | 50m ³ /h (1台あたり) |
| 揚 程 | 75m |

(14) 廃液R O供給ポンプ（完成品）

| | |
|-----|-----------------------------|
| 台 数 | 2 |
| 容 量 | 70m ³ /h (1台あたり) |
| 揚 程 | 30m |

(15) R O処理水供給ポンプ（完成品）

| | |
|-----|-----------------------------|
| 台 数 | 2 |
| 容 量 | 50m ³ /h (1台あたり) |
| 揚 程 | 75m |

(16) R O処理水移送ポンプ（完成品）

| | |
|-----|-----------------------------|
| 台 数 | 2 |
| 容 量 | 50m ³ /h (1台あたり) |
| 揚 程 | 75m |

(17) R O濃縮水供給ポンプ（完成品）

| | |
|-----|-----------------------------|
| 台 数 | 2 |
| 容 量 | 50m ³ /h (1台あたり) |
| 揚 程 | 75m |

(18) 廃止（R O濃縮水貯槽移送ポンプ（完成品））

(19) RO濃縮水移送ポンプ（完成品）

| | |
|-----|-----------------------------|
| 台 数 | 12 |
| 容 量 | 50m ³ /h (1台あたり) |
| 揚 程 | 50～75m |

(20) 廃止（濃縮水供給ポンプ（完成品））

(21) 廃止（蒸留水移送ポンプ（完成品））

(22) 廃止（濃縮処理水供給ポンプ（完成品））

(23) 廃止（濃縮処理水移送ポンプ（完成品））

(24) 濃縮水移送ポンプ（完成品）

| | |
|-----|-----------------------------|
| 台 数 | 2 |
| 容 量 | 40m ³ /h (1台あたり) |
| 揚 程 | 50m |

(25) 高濃度滞留水受タンク移送ポンプ（完成品）

| | |
|-----|-----------------------------|
| 台 数 | 2 |
| 容 量 | 30m ³ /h (1台あたり) |
| 揚 程 | 65m |

(26) 廃止 (高濃度滯留水受タンク (完成品))

(27) 油分分離装置処理水タンク (完成品) ※¹

| | |
|-----------|------------------------|
| 合計容量 (公称) | 37.5 m ³ |
| 基 数 | 3 基 |
| 容量 (単基) | 12.5 m ³ ／基 |

(28) セシウム吸着処理水タンク (完成品) ※¹

| | |
|-----------|------------------------|
| 合計容量 (公称) | 37.5 m ³ |
| 基 数 | 3 基 |
| 容量 (単基) | 12.5 m ³ ／基 |

(29) 除染装置処理水タンク (完成品) ※¹

| | |
|-----------|------------------------|
| 合計容量 (公称) | 37.5 m ³ |
| 基 数 | 3 基 |
| 容量 (単基) | 12.5 m ³ ／基 |

(30) サプレッションプール水サージタンク (既設品)

| | |
|-----|-------------------------|
| 基 数 | 2 基 |
| 容 量 | 3,500 m ³ ／基 |

(31) S P T受入水タンク (完成品) ※¹

| | |
|-----|-------------------|
| 基 数 | 1 基 |
| 容 量 | 85 m ³ |

(32) 廃液R O供給タンク (完成品) ※¹

| | |
|-----------|--------------------------|
| 合計容量 (公称) | 1,200m ³ |
| 基 数 | 34 基 |
| 容量 (単基) | 35～110 m ³ ／基 |

(33) R O処理水受タンク (完成品) ※¹

| | |
|-----|-------------------|
| 基 数 | 1 基 |
| 容 量 | 85 m ³ |

※1 公称容量であり、運用上の容量は公称容量とは異なる。

(34) 廃止 (R O処理水一時貯槽)

(35) R O処理水貯槽 ^{※1}

| | |
|-----------|---|
| 合計容量 (公称) | 7,000m ³ |
| 基 数 | 7 基 |
| 容量 (単基) | 1,000 m ³ 以上／基 ^{※2} |
| 材 料 | SS400 |
| 板厚 (側板) | 15mm |

(36) 廃止 (中低濃度滞留水受タンク (完成品))

(37) R O濃縮水受タンク (完成品) ^{※1}

| | |
|-----|-------------------|
| 基 数 | 1 基 |
| 容 量 | 85 m ³ |

(38) 廃止 (R O濃縮水貯槽 (完成品))

(39) R O濃縮水貯槽 ^{※1}

| | |
|-----------|--|
| 合計容量 (公称) | 187,000 m ³ (必要に応じて増設) |
| 基 数 | 190 基 (必要に応じて増設) |
| 容量 (単基) | 700 m ³ 以上, 1,000 m ³ 以上／基 ^{※2} |
| 材 料 | SS400 |
| 板厚 (側板) | 16mm (700m ³), 12mm (1,000m ³) , 15mm (1,000m ³) |

(40) 廃止 (濃縮水受タンク (完成品))

(41) 廃止 (蒸留水タンク (完成品))

※1 公称容量であり、運用上の容量は公称容量とは異なる。

※2 運用上の容量は、水位計 100%までの容量とする。

(42) 廃止（濃縮処理水タンク（完成品））

(43) 蒸発濃縮処理水貯槽 ^{※1}

| | |
|----------|--|
| 合計容量（公称） | 5,000m ³ |
| 基 数 | 5 基 |
| 容量（単基） | 1,000m ³ 以上／基 ^{※2} |
| 材 料 | SS400 |
| 板厚（側板） | 15mm |

(44) 濃縮水タンク（完成品） ^{※1}

| | |
|----------|---------------------|
| 合計容量（公称） | 150m ³ |
| 基 数 | 5 基 |
| 容量（単基） | 40m ³ ／基 |

(45) 濃縮廃液貯槽（完成品） ^{※1}

| | |
|----------|----------------------|
| 合計容量（公称） | 300m ³ |
| 基 数 | 3 基 |
| 容量（単基） | 100m ³ ／基 |

(46) 多核種処理水貯槽 ^{※1,3,4}

| | |
|----------|---|
| 合計容量（公称） | 1,153,489 m ³ （必要に応じて増設） |
| 基 数 | 820 基（必要に応じて増設） |
| 容量（単基） | 700m ³ , 1,000m ³ , 1,060m ³ , 1,140m ³ , 1,160m ³ , 1,200m ³ , 1,220 m ³ , 1,235m ³ , 1,330m ³ , 1,356m ³ , 2,400m ³ , 2,900m ³ ／基 ^{※2} |
| 材 料 | SS400, SM400A, SM400B, SM400C, SM490A, SM490C |
| 板厚（側板） | 12mm (700m ³ , 1,000m ³ , 1,160m ³ , 1,200m ³ , 1,220m ³ , 1,235m ³ , 1,330m ³ , 1,356m ³), 18.8mm (2,400m ³), 15mm (1,000 m ³ , 1,060m ³ , 1,140m ³ , 1,330m ³ , 2,900m ³), 16mm (700m ³) |

※1 公称容量であり、運用上の容量は公称容量とは異なる。

※2 運用上の容量は、水位計 100%までの容量とする。

※3 今後増設するタンク（J 6, K 1 北, K 2, K 1 南, H 1, J 7, J 4 (1,160m³), H 1 東, J 8, K 3, J 9, K 4, H 2, H 4 北, H 4 南, G 1 南, H 5, H 6 (I), B, B 南, H 3, H 6 (II), G 6, G 1, G 4 南, G 4 北, G 5 エリア）は、公称容量を運用水位上限とする。

※4 K 4 エリアタンクの一部を「II 2.50 ALPS 処理水希釈放出設備及び関連施設」の測定・確認用タンクと兼用する。

(47) 地下貯水槽 ^{※1}

| | |
|-----------|--------------------------------|
| 合計容量 (公称) | 56,000 m ³ |
| 基 数 | 6 基 |
| 容 量 | 4,000～14,000m ³ |
| 材 料 | ポリエチレン, ベントナイト |
| 厚 さ | 1.5mm (ポリエチレン), 6.4mm (ベントナイト) |

(48) ろ過水タンク (既設品)

| | |
|-----|----------------------|
| 基 数 | 1 基 |
| 容 量 | 8,000 m ³ |

(49) 油分分離装置 (完成品)

| | |
|-----|--------------------------------------|
| 台 数 | 3 |
| 容 量 | 1,200 m ³ /日 (1台で 100%容量) |
| 性 能 | 出口にて浮遊油 100ppm 以下 (目標値) |

(50) セシウム吸着装置

| | |
|--------------|--|
| 系 列 数 | 4 系列 (Cs 吸着運転) 2 系列 (Cs/Sr 同時吸着運転) |
| 処理量 (定格) | 1,200 m ³ /日 (4 系列 : Cs 吸着運転) 600 m ³ /日 (2 系列 : Cs/Sr 同時吸着運転) |
| 除染係数 (設計目標値) | • Cs 吸着運転 放射性セシウム : $10^3 \sim 10^5$ 程度 • Cs/Sr 同時吸着運転 放射性セシウム: $10^3 \sim 10^5$ 程度 放射性ストロンチウム : $10 \sim 10^3$ 程度 |

(51) 第二セシウム吸着装置

| | |
|--------------|-------------------------|
| 系 列 数 | 2 |
| 処理量 | 1,200 m ³ /日 |
| 除染係数 (設計目標値) | $10^4 \sim 10^6$ 程度 |

(52) 第三セシウム吸着装置

| | |
|--------------|-----------------------|
| 系 列 数 | 1 |
| 処理量 | 600 m ³ /日 |
| 除染係数 (設計目標値) | $10^3 \sim 10^5$ 程度 |

※1 公称容量であり、運用上の容量は公称容量とは異なる。

(53) 第三セシウム吸着装置ブースターポンプ（完成品）

| | |
|-----|-----------------------------|
| 台 数 | 2 |
| 容 量 | 25m ³ /h (1台あたり) |
| 揚 程 | 110m |

(54) 除染装置（凝集沈殿法）

| | |
|-------------|-------------------------|
| 系 列 数 | 1 |
| 処 理 量 | 1,200 m ³ /日 |
| 除染係数（設計目標値） | 10 ³ 程度 |

(55) 淡水化装置（逆浸透膜装置）（完成品）

(RO-1A) 廃止

(RO-1B) 廃止

(RO-2) 廃止

| | | |
|---------|-------|-------------------------|
| (RO-3) | 処 理 量 | 1,200 m ³ /日 |
| | 淡水化率 | 約 40% |
| (RO-TA) | 処 理 量 | 800 m ³ /日 |
| | 淡水化率 | 約 50% |
| (RO-TB) | 処 理 量 | 800 m ³ /日 |
| | 淡水化率 | 約 50% |

(56) 淡水化装置（蒸発濃縮装置）（完成品）

| | | |
|-----------------|-------|------------------------|
| (蒸発濃縮-1A) | 処 理 量 | 12.7 m ³ /日 |
| | 淡水化率 | 約 30% |
| (蒸発濃縮-1B) | 処 理 量 | 27 m ³ /日 |
| | 淡水化率 | 約 30% |
| (蒸発濃縮-1C) | 処 理 量 | 52 m ³ /日 |
| | 淡水化率 | 約 30% |
| (蒸発濃縮-2A/2B) | 処 理 量 | 80 m ³ /日 |
| | 淡水化率 | 約 30% |
| (蒸発濃縮-3A/3B/3C) | 処 理 量 | 250 m ³ /日 |
| | 淡水化率 | 約 70% |

(57) 廃止 (モバイル式処理装置)

(58) 廃止 (モバイル式処理装置 吸着塔)

(59) 廃止 (トレンチ滞留水移送装置 移送ポンプ (完成品))

(60) Sr 处理水貯槽^{※1, 3}

| | |
|-----------|--|
| 合計容量 (公称) | 55,596 m ³ (必要に応じて増設) |
| 基 数 | 50 基 (必要に応じて増設) |
| 容量 (単基) | 1,057m ³ 以上, 1,160m ³ 以上, 1,200m ³ 以上／基 ^{※2} |
| 材 料 | SS400, SM400A, SM400C |
| 板厚 (側板) | 15mm (1,057m ³), 12mm (1,160m ³), 12mm (1,200m ³) |

(61) 濃縮廃液貯槽

| | |
|-----------|--|
| 合計容量 (公称) | 10,000 m ³ |
| 基 数 | 10 基 |
| 容量 (単基) | 1,000m ³ 以上／基 ^{※2} |
| 材 料 | SS400 |
| 板厚 (側板) | 15mm (1,000m ³) |

(62) 1号機原子炉建屋滞留水移送ポンプ (完成品)

| | |
|-----|-----------------------------|
| 台 数 | 2 |
| 容 量 | 18m ³ /h (1台あたり) |
| 揚 程 | 46m |

(63) 2号機原子炉建屋滞留水移送ポンプ (完成品)

| | |
|-----|-----------------------------|
| 台 数 | 2 |
| 容 量 | 18m ³ /h (1台あたり) |
| 揚 程 | 46m |

(64) 2号機廃棄物処理建屋滞留水移送ポンプ (完成品)

| | |
|-----|-----------------------------|
| 台 数 | 2 |
| 容 量 | 18m ³ /h (1台あたり) |
| 揚 程 | 46m |

※1 公称容量であり、運用上の容量は公称容量とは異なる。

※2 運用上の容量は、水位計 100%までの容量とする。

※3 今後増設するタンク (J 6, K 1 北, K 2, K 1 南, H 1, J 7, J 4 (1,160m³), H 1 東, J 8, K 3, J 9, K 4, H 2, H 4 北, H 4 南, G 1 南, H 5, H 6 (I), B, B 南, H 3, H 6 (II), G 6, G 1, G 4 南, G 4 北, G 5 エリア) は、公称容量を運用水位上限とする。

(65) 3号機原子炉建屋滞留水移送ポンプ（完成品）

| | |
|-----|-----------------------------|
| 台 数 | 4 |
| 容 量 | 18m ³ /h (1台あたり) |
| 揚 程 | 46m |

(66) 3号機廃棄物処理建屋滞留水移送ポンプ（完成品）

| | |
|-----|-----------------------------|
| 台 数 | 2 |
| 容 量 | 18m ³ /h (1台あたり) |
| 揚 程 | 46m |

(67) 4号機原子炉建屋滞留水移送ポンプ（完成品）

| | |
|-----|-----------------------------|
| 台 数 | 2 |
| 容 量 | 18m ³ /h (1台あたり) |
| 揚 程 | 46m |

(68) 4号機廃棄物処理建屋滞留水移送ポンプ（完成品）

| | |
|-----|-----------------------------|
| 台 数 | 2 |
| 容 量 | 18m ³ /h (1台あたり) |
| 揚 程 | 46m |

(69) SPT廃液移送ポンプ（完成品）

| | |
|-----|-----------------------------|
| 台 数 | 2 |
| 容 量 | 35m ³ /h (1台あたり) |
| 揚 程 | 75m |

(70) SPT廃液昇圧ポンプ（完成品）

| | |
|-----|-----------------------------|
| 台 数 | 2 |
| 容 量 | 35m ³ /h (1台あたり) |
| 揚 程 | 30m |

(71) ろ過処理水移送ポンプ（完成品）

| | |
|-----|-----------------------------|
| 台 数 | 2 |
| 容 量 | 35m ³ /h (1台あたり) |
| 揚 程 | 30m |

(72) ろ過処理水昇圧ポンプ（完成品）

| | |
|-----|-----------------------------|
| 台 数 | 2 |
| 容 量 | 35m ³ /h (1台あたり) |
| 揚 程 | 300m |

(73) C S T移送ポンプ（完成品）

| | |
|-----|-----------------------------|
| 台 数 | 2 |
| 容 量 | 20m ³ /h (1台あたり) |
| 揚 程 | 70m |

(74) ろ過処理水受タンク

| | |
|-----|----------------------|
| 基 数 | 2 基 |
| 容 量 | 10 m ³ ／基 |
| 材 料 | 強化プラスチック (FRP) |
| 厚 さ | 胴板 9.0mm |

(75) 淡水化処理水受タンク

| | |
|-----|----------------------|
| 基 数 | 2 基 |
| 容 量 | 10 m ³ ／基 |
| 材 料 | SM400C |
| 厚 さ | 胴板 9.0mm |

(76) ろ過器

| | |
|-----|------------------------|
| 基 数 | 2 基 |
| 容 量 | 35 m ³ /h／基 |
| 材 料 | SM400A (ゴムライニング) |
| 厚 さ | 胴板 9.0mm |

(77) 第二セシウム吸着装置第二ブースターポンプ（完成品）

| | |
|-----|-----------------------------|
| 台 数 | 2 |
| 容 量 | 50m ³ /h (1台あたり) |
| 揚 程 | 103m |

(78) セシウム吸着装置ブースターポンプ（完成品）

台 数 2
容 量 $50\text{m}^3/\text{h}$ (1台あたり)
揚 程 103m

(79) 1号機廃棄物処理建屋床ドレンサンプ（B）滞留水移送ポンプ（完成品）

台 数 2
容 量 $12\text{m}^3/\text{h}$ (1台あたり)
揚 程 55m

(80) 2号機タービン建屋床ドレンサンプ滞留水移送ポンプ（完成品）

台 数 2
容 量 $12\text{m}^3/\text{h}$ (1台あたり)
揚 程 55m

(81) 2号機廃棄物処理建屋床ドレンサンプ（A）滞留水移送ポンプ（完成品）

台 数 2
容 量 $12\text{m}^3/\text{h}$ (1台あたり)
揚 程 55m

(82) 2号機廃棄物処理建屋床ドレンサンプ（B）滞留水移送ポンプ（完成品）

台 数 2
容 量 $12\text{m}^3/\text{h}$ (1台あたり)
揚 程 55m

(83) 3号機タービン建屋床ドレンサンプ滞留水移送ポンプ（完成品）

台 数 2
容 量 $12\text{m}^3/\text{h}$ (1台あたり)
揚 程 55m

(84) 3号機タービン建屋サービスエリアストームドレンサンプ滞留水移送ポンプ（完成品）

台 数 2
容 量 $12\text{m}^3/\text{h}$ (1台あたり)
揚 程 55m

(85) 3号機廃棄物処理建屋床ドレンサンプ（A）滞留水移送ポンプ（完成品）

| | |
|----|-----------------------------|
| 台数 | 2 |
| 容量 | 12m ³ /h (1台あたり) |
| 揚程 | 55m |

(86) 3号機廃棄物処理建屋床ドレンサンプ（B）滞留水移送ポンプ（完成品）

| | |
|----|-----------------------------|
| 台数 | 2 |
| 容量 | 12m ³ /h (1台あたり) |
| 揚程 | 55m |

(87) 4号機タービン建屋床ドレンサンプ滞留水移送ポンプ（完成品）

| | |
|----|-----------------------------|
| 台数 | 2 |
| 容量 | 12m ³ /h (1台あたり) |
| 揚程 | 55m |

(88) 4号機原子炉建屋床ドレンサンプ（A）滞留水移送ポンプ（完成品）

| | |
|----|-----------------------------|
| 台数 | 2 |
| 容量 | 12m ³ /h (1台あたり) |
| 揚程 | 55m |

(89) 4号機原子炉建屋床ドレンサンプ（B）滞留水移送ポンプ（完成品）

| | |
|----|-----------------------------|
| 台数 | 2 |
| 容量 | 12m ³ /h (1台あたり) |
| 揚程 | 55m |

(90) 4号機廃棄物処理建屋床ドレンサンプ（A）滞留水移送ポンプ（完成品）

| | |
|----|-----------------------------|
| 台数 | 2 |
| 容量 | 12m ³ /h (1台あたり) |
| 揚程 | 55m |

(91) 4号機廃棄物処理建屋床ドレンサンプ（B）滞留水移送ポンプ（完成品）

| | |
|----|-----------------------------|
| 台数 | 2 |
| 容量 | 12m ³ /h (1台あたり) |
| 揚程 | 55m |

(92) 建屋内 RO 濃縮水受タンク

| | |
|-----|----------------------|
| 基 数 | 1 基 |
| 容 量 | 30 m ³ ／基 |
| 材 料 | ポリエチレン (PE) |
| 厚 さ | 胴板 16.0mm |

(93) 増設 RO 濃縮水受タンク (RO 濃縮水処理設備※から用途変更)

| | |
|-----|----------------------|
| 基 数 | 1 基 |
| 容 量 | 30 m ³ ／基 |
| 材 料 | SUS316L |
| 厚 さ | 胴板 9.0mm |

※ II-2.38 RO 濃縮水処理設備 2.38.2.2 機器仕様 (1) 容器

(94) 建屋内 RO 濃縮水移送ポンプ (完成品)

| | |
|-----|------------------------------|
| 台 数 | 2 |
| 容 量 | 15m ³ /h (1 台あたり) |
| 揚 程 | 76m |

(95) 増設 RO 濃縮水供給ポンプ (完成品)

| | |
|-----|------------------------------|
| 台 数 | 2 |
| 容 量 | 15m ³ /h (1 台あたり) |
| 揚 程 | 76m |

表 2. 5-1 汚染水処理設備等の主要配管仕様 (1 / 28)

| 名 称 | 仕 様 | | |
|---|-------------------------------|--|--|
| 1号機タービン建屋から 1号機廃棄物処理建屋まで (ポリエチレン管) | 呼び径 材質 最高使用圧力 最高使用温度 | 80A相当 ポリエチレン 1.0MPa 40°C | |
| 1号機原子炉建屋から 1号機集合ヘッダー入口まで (耐圧ホース) (ポリエチレン管) | 呼び径 材質 最高使用圧力 最高使用温度 | 50A相当 EPDM合成ゴム 0.96MPa 40°C | |
| | 呼び径 材質 最高使用圧力 最高使用温度 | 50A相当, 80A相当, 100A相当 ポリエチレン 0.96MPa 40°C | |
| | 呼び径 材質 最高使用圧力 最高使用温度 | 50A/Sch. 80 STPT410 0.96MPa 40°C | |
| 1号機タービン建屋から 1号機集合ヘッダー入口まで (耐圧ホース) (ポリエチレン管) | 呼び径 材質 最高使用圧力 最高使用温度 | 50A相当 EPDM合成ゴム 0.96MPa 40°C | |
| | 呼び径 材質 最高使用圧力 最高使用温度 | 50A相当, 80A相当, 100A相当 ポリエチレン 0.96MPa 40°C | |
| | 呼び径 材質 最高使用圧力 最高使用温度 | 50A/Sch. 80 STPT410 0.96MPa 40°C | |
| 1号機廃棄物処理建屋床ドレンサンプ (B) から 1号機タービン建屋ストレー ナユニット分岐部まで (耐圧ホース) (ポリエチレン管) | 呼び径 材質 最高使用圧力 最高使用温度 | 50A相当 EPDM合成ゴム 0.96MPa 40°C | |
| | 呼び径 材質 最高使用圧力 最高使用温度 | 50A相当, 100A相当 ポリエチレン 0.96MPa 40°C | |
| | 呼び径 材質 最高使用圧力 最高使用温度 | 50A/Sch. 80 STPT410 0.96MPa 40°C | |

表2. 5-1 汚染水処理設備等の主要配管仕様 (2/28)

| 名 称 | 仕 様 | | |
|--|-------------------------------|---|--|
| 1号機集合ヘッダー (鋼管) | 呼び径 材質 最高使用圧力 最高使用温度 | 100A/Sch. 40 STPT410 0.96MPa 40°C | |
| 1号機集合ヘッダー出口から 2号機タービン建屋取り合いでまで (ポリエチレン管) | 呼び径 材質 最高使用圧力 最高使用温度 | 100A相当 ポリエチレン 0.96MPa 40°C | |
| 2号機原子炉建屋から 2号機集合ヘッダー入口まで (耐圧ホース) (ポリエチレン管) (鋼管) | 呼び径 材質 最高使用圧力 最高使用温度 | 80A相当 ポリ塩化ビニル 0.96MPa 40°C | |
| | 呼び径 材質 最高使用圧力 最高使用温度 | 80A相当, 100A相当 ポリエチレン 0.96MPa 40°C | |
| | 呼び径 材質 最高使用圧力 最高使用温度 | 50A/Sch. 40, 80A/Sch. 40, 100A/Sch. 40 STPG370 0.96MPa 40°C | |
| 2号機タービン建屋から 2号機集合ヘッダー入口まで (耐圧ホース) (ポリエチレン管) (鋼管) | 呼び径 材質 最高使用圧力 最高使用温度 | 80A相当 ポリ塩化ビニル 0.96MPa 40°C | |
| | 呼び径 材質 最高使用圧力 最高使用温度 | 80A相当, 100A相当 ポリエチレン 0.96MPa 40°C | |
| | 呼び径 材質 最高使用圧力 最高使用温度 | 50A/Sch. 40, 80A/Sch. 40, 100A/Sch. 40 STPG370 0.96MPa 40°C | |
| 2号機タービン建屋床ドレンサンプから 2号機タービン建屋ポンプ出口弁スキット分岐部まで (耐圧ホース) | 呼び径 材質 最高使用圧力 最高使用温度 | 50A相当 EPDM合成ゴム 0.96MPa 40°C | |

表2. 5-1 汚染水処理設備等の主要配管仕様 (3/28)

| 名 称 | 仕 様 | | |
|---|--------|---|--|
| 2号機タービン建屋床ドレンサンプから 2号機タービン建屋ポンプ出口弁スキッド分岐部まで (ポリエチレン管) (鋼管) | 呼び径 | 50A相当, 100A相当 | |
| | 材質 | ポリエチレン | |
| | 最高使用圧力 | 0.96MPa | |
| (鋼管) | 最高使用温度 | 40°C | |
| | 呼び径 | 50A/Sch. 80 | |
| | 材質 | STPT410 | |
| 2号機廃棄物処理建屋から 2号機集合ヘッダー入口まで (耐圧ホース) (ポリエチレン管) | 最高使用圧力 | 0.96MPa | |
| | 最高使用温度 | 40°C | |
| | 呼び径 | 50A/Sch. 40 | |
| (鋼管) | 材質 | STPG370 | |
| | 最高使用圧力 | 0.96MPa | |
| | 最高使用温度 | 40°C | |
| 2号機廃棄物処理建屋床ドレンサンプ (A) から 2号機廃棄物処理建屋ポンプ 出口弁スキッド分岐部まで (耐圧ホース) (ポリエチレン管) | 呼び径 | 80A相当 | |
| | 材質 | ポリ塩化ビニル | |
| | 最高使用圧力 | 0.96MPa | |
| (鋼管) | 最高使用温度 | 40°C | |
| | 呼び径 | 80A相当, 100A相当 | |
| | 材質 | ポリエチレン | |
| 2号機廃棄物処理建屋床ドレンサンプ (A) から 2号機廃棄物処理建屋ポンプ 出口弁スキッド分岐部まで (耐圧ホース) (鋼管) | 最高使用圧力 | 0.96MPa | |
| | 最高使用温度 | 40°C | |
| | 呼び径 | 50A/Sch. 40, 80A/Sch. 40, 100A/Sch. 40 | |
| | 材質 | STPG370 | |
| | 最高使用圧力 | 0.96MPa | |
| | 最高使用温度 | 40°C | |
| 2号機廃棄物処理建屋床ドレンサンプ (A) から 2号機廃棄物処理建屋ポンプ 出口弁スキッド分岐部まで (耐圧ホース) (鋼管) | 呼び径 | 50A相当 | |
| | 材質 | EPDM合成ゴム | |
| | 最高使用圧力 | 0.96MPa | |
| | 最高使用温度 | 40°C | |
| | 呼び径 | 50A相当, 100A相当 | |
| | 材質 | ポリエチレン | |
| | 最高使用圧力 | 0.96MPa | |
| | 最高使用温度 | 40°C | |
| | 呼び径 | 50A/Sch. 80 | |
| | 材質 | STPT410 | |
| | 最高使用圧力 | 0.96MPa | |
| | 最高使用温度 | 40°C | |

表2. 5-1 汚染水処理設備等の主要配管仕様 (4/28)

| 名 称 | 仕 様 | | |
|--|-------------------------------|--|--|
| 2号機廃棄物処理建屋床ドレンサンプ (A)から2号機廃棄物処理建屋ポンプ 出口弁スキッド分岐部まで (鋼管) | 呼び径 材質 最高使用圧力 最高使用温度 | 50A/Sch. 40 STPG370 0.96MPa 40°C | |
| 2号機廃棄物処理建屋床ドレンサンプ (B)から2号機廃棄物処理建屋床ドレ ンサンプ(A)まで (耐圧ホース) (ポリエチレン管) | 呼び径 材質 最高使用圧力 最高使用温度 | 50A相当 EPDM合成ゴム 0.96MPa 40°C | |
| (鋼管) | 呼び径 材質 最高使用圧力 最高使用温度 | 50A相当, 80A相当 ポリエチレン 0.96MPa 40°C | |
| 2号機集合ヘッダー (鋼管) | 呼び径 材質 最高使用圧力 最高使用温度 | 100A/Sch. 40 STPG370 0.96MPa 40°C | |
| 2号機集合ヘッダー出口から 2号機タービン建屋取り合いまで (ポリエチレン管) | 呼び径 材質 最高使用圧力 最高使用温度 | 100A相当 ポリエチレン 0.96MPa 40°C | |
| 2号機タービン建屋から 3号機タービン建屋まで (ポリエチレン管) | 呼び径 材質 最高使用圧力 最高使用温度 | 80A相当, 100A相当 ポリエチレン 1.0MPa 40°C | |
| 2号機タービン建屋から 4号機弁ユニットまで (ポリエチレン管) | 呼び径 材質 最高使用圧力 最高使用温度 | 80A相当, 100A相当 ポリエチレン 1.0MPa 40°C | |
| 3号機原子炉建屋から 3号機集合ヘッダー入口まで (耐圧ホース) | 呼び径 材質 最高使用圧力 最高使用温度 | 80A相当 ポリ塩化ビニル 0.96MPa 40°C | |

表2. 5-1 汚染水処理設備等の主要配管仕様 (5/28)

| 名 称 | 仕 様 | | |
|---|--------|---------------|--|
| 3号機原子炉建屋から 3号機集合ヘッダー入口まで (ポリエチレン管) (鋼管) | 呼び径 | 80A相当, 100A相当 | |
| | 材質 | ポリエチレン | |
| 3号機原子炉建屋トーラス室から 3号機 原子炉建屋ポンプ出口弁スキッド分岐部 まで (耐圧ホース) (ポリエチレン管) (鋼管) | 最高使用圧力 | 0.96MPa | |
| | 最高使用温度 | 40°C | |
| 3号機タービン建屋から 3号機集合ヘッダー入口まで (耐圧ホース) (ポリエチレン管) (鋼管) | 呼び径 | 80A相当 | |
| | 材質 | ポリ塩化ビニル | |
| 3号機タービン建屋床 ドレンサンプから 3号機タービン建屋ポンプ出口弁スキッ ド分岐部まで (耐圧ホース) (ポリエチレン管) | 最高使用圧力 | 0.96MPa | |
| | 最高使用温度 | 40°C | |
| 3号機タービン建屋床 ドレンサンプから 3号機タービン建屋ポンプ出口弁スキッ ド分岐部まで (耐圧ホース) (ポリエチレン管) | 呼び径 | 50A相当 | |
| | 材質 | EPDM合成ゴム | |
| | 最高使用圧力 | 0.96MPa | |
| | 最高使用温度 | 40°C | |
| | 呼び径 | 50A相当, 100A相当 | |
| | 材質 | ポリエチレン | |
| | 最高使用圧力 | 0.96MPa | |
| | 最高使用温度 | 40°C | |

表2. 5-1 汚染水処理設備等の主要配管仕様 (6/28)

| 名 称 | 仕 様 | | |
|---|--------|---|--|
| 3号機タービン建屋床ドレンサンプから 3号機タービン建屋ポンプ出口弁スキッ ト分岐部まで (鋼管) (鋼管) | 呼び径 | 50A/Sch. 80 | |
| | 材質 | STPT410 | |
| 3号機タービン建屋サービスエリアスト ームドレンサンプから 3号機タービン建 屋床ドレンサンプまで (耐圧ホース) (ポリエチレン管) | 最高使用圧力 | 0.96MPa | |
| | 最高使用温度 | 40°C | |
| 3号機タービン建屋サービスエリアスト ームドレンサンプから 3号機タービン建 屋床ドレンサンプまで (耐圧ホース) (鋼管) | 呼び径 | 50A相当 | |
| | 材質 | EPDM 合成ゴム | |
| 3号機廃棄物処理建屋から 3号機集合ヘッダー入口まで (耐圧ホース) (ポリエチレン管) | 最高使用圧力 | 0.96MPa | |
| | 最高使用温度 | 40°C | |
| 3号機廃棄物処理建屋から 3号機集合ヘッダー入口まで (耐圧ホース) (鋼管) | 呼び径 | 50A/Sch. 80 | |
| | 材質 | STPT410 | |
| 3号機廃棄物処理建屋床ドレンサンプ (A) から 3号機廃棄物処理建屋床ドレ ンサンプ(B) まで (耐圧ホース) (ポリエチレン管) | 最高使用圧力 | 0.96MPa | |
| | 最高使用温度 | 40°C | |
| 3号機廃棄物処理建屋床ドレンサンプ (A) から 3号機廃棄物処理建屋床ドレ ンサンプ(B) まで (耐圧ホース) (鋼管) | 呼び径 | 80A相当 | |
| | 材質 | ポリ塩化ビニル | |
| 3号機廃棄物処理建屋床ドレンサンプ (A) から 3号機廃棄物処理建屋床ドレ ンサンプ(B) まで (耐圧ホース) (鋼管) | 最高使用圧力 | 0.96MPa | |
| | 最高使用温度 | 40°C | |
| 3号機廃棄物処理建屋床ドレンサンプ (A) から 3号機廃棄物処理建屋床ドレ ンサンプ(B) まで (耐圧ホース) (ポリエチレン管) | 呼び径 | 80A相当, 100A相当 | |
| | 材質 | ポリエチレン | |
| 3号機廃棄物処理建屋床ドレンサンプ (A) から 3号機廃棄物処理建屋床ドレ ンサンプ(B) まで (耐圧ホース) (鋼管) | 最高使用圧力 | 0.96MPa | |
| | 最高使用温度 | 40°C | |
| 3号機廃棄物処理建屋床ドレンサンプ (A) から 3号機廃棄物処理建屋床ドレ ンサンプ(B) まで (耐圧ホース) (ポリエチレン管) | 呼び径 | 50A/Sch. 40, 80A/Sch. 40, 100A/Sch. 40 | |
| | 材質 | STPG370 | |
| 3号機廃棄物処理建屋床ドレンサンプ (A) から 3号機廃棄物処理建屋床ドレ ンサンプ(B) まで (耐圧ホース) (鋼管) | 最高使用圧力 | 0.96MPa | |
| | 最高使用温度 | 40°C | |
| 3号機廃棄物処理建屋床ドレンサンプ (A) から 3号機廃棄物処理建屋床ドレ ンサンプ(B) まで (耐圧ホース) (ポリエチレン管) | 呼び径 | 50A相当 | |
| | 材質 | EPDM 合成ゴム | |
| 3号機廃棄物処理建屋床ドレンサンプ (A) から 3号機廃棄物処理建屋床ドレ ンサンプ(B) まで (耐圧ホース) (鋼管) | 最高使用圧力 | 0.96MPa | |
| | 最高使用温度 | 40°C | |

表2. 5-1 汚染水処理設備等の主要配管仕様 (7/28)

| 名 称 | 仕 様 | | |
|---|-------------------------------|---|--|
| 3号機廃棄物処理建屋床ドレンサンプ (A)から3号機廃棄物処理建屋床ドレ ンサンプ(B)まで (鋼管) | 呼び径 材質 最高使用圧力 最高使用温度 | 50A/Sch. 80 STPT410 0.96MPa 40°C | |
| 3号機廃棄物処理建屋床ドレンサンプ (B)から3号機廃棄物処理建屋ポンプ 出口弁スキッド分岐部まで (耐圧ホース) (ポリエチレン管) | 呼び径 材質 最高使用圧力 最高使用温度 | 50A相当 EPDM合成ゴム 0.96MPa 40°C | |
| (鋼管) | 呼び径 材質 最高使用圧力 最高使用温度 | 50A相当, 100A相当 ポリエチレン 0.96MPa 40°C | |
| (鋼管) | 呼び径 材質 最高使用圧力 最高使用温度 | 50A/Sch. 80 STPT410 0.96MPa 40°C | |
| 3号機集合ヘッダー (鋼管) | 呼び径 材質 最高使用圧力 最高使用温度 | 50A/Sch. 40 STPG370 0.96MPa 40°C | |
| 3号機集合ヘッダー出口から 3号機タービン建屋取り合いまで (ポリエチレン管) | 呼び径 材質 最高使用圧力 最高使用温度 | 100A相当 ポリエチレン 0.96MPa 40°C | |
| 3号機タービン建屋から 4号機弁ユニットまで (ポリエチレン管) | 呼び径 材質 最高使用圧力 最高使用温度 | 80A相当, 100A相当 ポリエチレン 1.0MPa 40°C | |
| 3号機タービン建屋から 4号機タービン建屋まで (ポリエチレン管) | 呼び径 材質 最高使用圧力 最高使用温度 | 80A相当, 100A相当 ポリエチレン 1.0MPa 40°C | |
| 4号機原子炉建屋から 4号機集合ヘッダー入口まで (耐圧ホース) | 呼び径 材質 最高使用圧力 最高使用温度 | 50A相当, 80A相当 EPDM合成ゴム 0.96MPa 40°C | |

表 2. 5-1 汚染水処理設備等の主要配管仕様 (8/28)

| 名 称 | 仕 様 | | |
|--|--------|------------------|--|
| 4号機原子炉建屋から 4号機集合ヘッダー入口まで (ポリエチレン管) (鋼管) | 呼び径 | 50A相当, 80A相当, | |
| | 材質 | 100A相当 ポリエチレン | |
| 4号機原子炉建屋床ドレンサンプ (A) から 4号機原子炉建屋床ドレンサンプ (B)まで (耐圧ホース) (ポリエチレン管) (鋼管) | 最高使用圧力 | 0.96MPa | |
| | 最高使用温度 | 40°C | |
| 4号機原子炉建屋床ドレンサンプ (A) から 4号機原子炉建屋床ドレンサンプ (B)まで (耐圧ホース) (ポリエチレン管) (鋼管) | 呼び径 | 50A相当 | |
| | 材質 | EPDM合成ゴム | |
| 4号機原子炉建屋床ドレンサンプ (B) から 4号機原子炉建屋ストレーナユニット分岐部まで (耐圧ホース) (ポリエチレン管) (鋼管) | 最高使用圧力 | 0.96MPa | |
| | 最高使用温度 | 40°C | |
| 4号機タービン建屋から 4号機集合ヘッダー入口まで (耐圧ホース) (ポリエチレン管) | 呼び径 | 50A相当, 100A相当 | |
| | 材質 | ポリエチレン | |
| | 最高使用圧力 | 0.96MPa | |
| | 最高使用温度 | 40°C | |
| 4号機タービン建屋から 4号機集合ヘッダー入口まで (耐圧ホース) (ポリエチレン管) | 呼び径 | 50A/Sch. 80 | |
| | 材質 | STPT410 | |
| | 最高使用圧力 | 0.96MPa | |
| | 最高使用温度 | 40°C | |

表 2. 5-1 汚染水処理設備等の主要配管仕様 (9/28)

| 名 称 | 仕 様 | | |
|---|-------------------------------|--|--|
| 4号機タービン建屋から 4号機集合ヘッダー入口まで (鋼管) | 呼び径 材質 最高使用圧力 最高使用温度 | 50A/Sch. 80 STPT410 0.96MPa 40°C | |
| 4号機タービン建屋床 ドレンサンプから 4号機タービン建屋ストレーナユニット分岐部まで (耐圧ホース) (ポリエチレン管) (鋼管) | 呼び径 材質 最高使用圧力 最高使用温度 | 50A相当 EPDM合成ゴム 0.96MPa 40°C | |
| | 呼び径 材質 最高使用圧力 最高使用温度 | 50A相当, 100A相当 ポリエチレン 0.96MPa 40°C | |
| | 呼び径 材質 最高使用圧力 最高使用温度 | 50A/Sch. 80 STPT410 0.96MPa 40°C | |
| 4号機廃棄物処理建屋から 4号機集合ヘッダー入口まで (耐圧ホース) (ポリエチレン管) (鋼管) | 呼び径 材質 最高使用圧力 最高使用温度 | 50A相当 EPDM合成ゴム 0.96MPa 40°C | |
| | 呼び径 材質 最高使用圧力 最高使用温度 | 50A相当, 80A相当, 100A相当 ポリエチレン 0.96MPa 40°C | |
| | 呼び径 材質 最高使用圧力 最高使用温度 | 50A/Sch. 80 STPT410 0.96MPa 40°C | |
| 4号機廃棄物処理建屋床 ドレンサンプ (A) から 4号機廃棄物処理建屋ストレーナユニット分岐部まで (耐圧ホース) (ポリエチレン管) (鋼管) | 呼び径 材質 最高使用圧力 最高使用温度 | 50A相当 EPDM合成ゴム 0.96MPa 40°C | |
| | 呼び径 材質 最高使用圧力 最高使用温度 | 50A相当, 100A相当 ポリエチレン 0.96MPa 40°C | |
| | 呼び径 材質 最高使用圧力 最高使用温度 | 50A/Sch. 80 STPT410 0.96MPa 40°C | |

表 2. 5-1 汚染水処理設備等の主要配管仕様 (10/28)

| 名 称 | 仕 様 | | |
|--|--------|------------------|--|
| 4号機廃棄物処理建屋床ドレンサンプ (B)から4号機廃棄物処理建屋床ドレンサンプ(A)まで (耐圧ホース) (ポリエチレン管) (鋼管) | 呼び径 | 50A相当 | |
| | 材質 | EPDM合成ゴム | |
| | 最高使用圧力 | 0.96MPa | |
| | 最高使用温度 | 40°C | |
| | 呼び径 | 50A相当, 80A相当 | |
| | 材質 | ポリエチレン | |
| | 最高使用圧力 | 0.96MPa | |
| | 最高使用温度 | 40°C | |
| | 呼び径 | 50A/Sch. 80 | |
| | 材質 | STPT410 | |
| | 最高使用圧力 | 0.96MPa | |
| | 最高使用温度 | 40°C | |
| 4号機集合ヘッダー (鋼管) | 呼び径 | 100A/Sch. 40 | |
| | 材質 | STPT410 | |
| | 最高使用圧力 | 0.96MPa | |
| | 最高使用温度 | 40°C | |
| 4号機集合ヘッダー出口から 4号機タービン建屋取り合いまで (ポリエチレン管) | 呼び径 | 100A相当 | |
| | 材質 | ポリエチレン | |
| | 最高使用圧力 | 0.96MPa | |
| | 最高使用温度 | 40°C | |
| 4号機タービン建屋取り合いから 4号機弁ユニットまで (ポリエチレン管) | 呼び径 | 80A相当, 100A相当 | |
| | 材質 | ポリエチレン | |
| | 最高使用圧力 | 1.0MPa | |
| | 最高使用温度 | 40°C | |
| 4号機弁ユニットから プロセス主建屋切替弁スキッド入口, 高温焼却炉建屋弁ユニット入口まで (ポリエチレン管) | 呼び径 | 100A相当 | |
| | 材質 | ポリエチレン | |
| | 最高使用圧力 | 1.0MPa | |
| | 最高使用温度 | 40°C | |
| サイトバンカ建屋から プロセス主建屋まで (ポリエチレン管) | 呼び径 | 80A相当 | |
| | 材質 | ポリエチレン | |
| | 最高使用圧力 | 1.0MPa | |
| | 最高使用温度 | 40°C | |
| プロセス主建屋3階取り合いから 油分分離装置入口ヘッダーまで (鋼管) | 呼び径/厚さ | 100A/Sch. 80 | |
| | 材質 | STPG370, STPT370 | |
| | 最高使用圧力 | 1.37MPa | |
| | 最高使用温度 | 66°C | |

表2. 5-1 汚染水処理設備等の主要配管仕様 (11/28)

| 名 称 | 仕 様 | | |
|---|--------------------------------------|--|--|
| 油分分離装置入口ヘッダーから 油分分離装置処理水タンクまで (鋼管) | 呼び径／厚さ 材質 最高使用圧力 最高使用温度 | 200A/Sch. 80 STPG370, STPT370 1.37MPa 66°C | |
| 油分分離装置処理水タンクから セシウム吸着装置入口まで (鋼管) | 呼び径／厚さ 材質 最高使用圧力 最高使用温度 | 100A/Sch. 80 STPG370, STPT370 1.37MPa 66°C | |
| 油分分離装置処理水タンクから 第二セシウム吸着装置入口まで (鋼管) | 呼び径／厚さ 材質 最高使用圧力 最高使用温度 | 100A/Sch. 80 STPG370, STPT370 1.37MPa 66°C | |
| セシウム吸着装置入口から セシウム吸着装置出口まで (鋼管) | 呼び径／厚さ 材質 最高使用圧力 最高使用温度 | 50A, 80A/Sch. 40 SUS316L 0.97MPa 66°C | |
| セシウム吸着装置出口から セシウム吸着処理水タンクまで (鋼管) | 呼び径／厚さ 材質 最高使用圧力 最高使用温度 | 100A/Sch. 80 STPG370, STPT370 1.37MPa 66°C | |
| セシウム吸着処理水タンクから 除染装置入口まで (鋼管) | 呼び径／厚さ 材質 最高使用圧力 最高使用温度 | 100A/Sch. 80 STPG370, STPT370 1.37MPa 66°C | |
| 除染装置入口から 除染装置出口まで (鋼管) | 呼び径 ／厚さ 材質 最高使用圧力 最高使用温度 | 50A, 80A, 100A, 150A, 200A /Sch. 20S SUS316L 0.3MPa 50°C | |
| 除染装置出口から サイトバンカ建屋取り合い(除染装置 側)まで (鋼管) | 呼び径／厚さ 材質 最高使用圧力 最高使用温度 | 100A/Sch. 80 STPG370, STPT370 1.37MPa 66°C | |
| セシウム吸着処理水タンクから S P T建屋取り合いでまで (鋼管) | 呼び径／厚さ 材質 最高使用圧力 最高使用温度 | 100A/Sch. 80 STPG370, STPT370 1.37MPa 66°C | |

表 2. 5-1 汚染水処理設備等の主要配管仕様 (12/28)

| 名 称 | 仕 様 | | |
|---|--------------------------------------|---|--|
| S P T 建屋取り合いから S P T (B) まで (ポリエチレン管) | 呼び径 材質 最高使用圧力 最高使用温度 | 100A 相当 ポリエチレン 1.0MPa 40°C | |
| 高温焼却炉建屋 1 階ハッチから 高温焼却炉建屋 1 階取り合いで (ポリエチレン管) | 呼び径 材質 最高使用圧力 最高使用温度 | 100A 相当 ポリエチレン 1.0MPa 40°C | |
| 高温焼却炉建屋 1 階取り合いから 第二セシウム吸着装置入口まで (鋼管) | 呼び径／厚さ 材質 最高使用圧力 最高使用温度 | 100A/Sch. 80 STPG370, STPT370 1.37MPa 66°C | |
| 第二セシウム吸着装置入口から 第二セシウム吸着装置出口まで (鋼管) | 呼び径 ／厚さ 材質 最高使用圧力 最高使用温度 | 50A, 80A, 100A, 150A/ Sch. 80 STPG370, STPT370 1.37MPa 66°C | |
| 第二セシウム吸着装置入口から 第二セシウム吸着装置出口まで (鋼管) | 呼び径／厚さ 材質 最高使用圧力 最高使用温度 | 50A, 80A/Sch. 40 SUS316L ASME SA312 S31603 ASME SA790 S32205 ASME SA790 S32750 1.37MPa 66°C | |
| 第二セシウム吸着装置入口から 第二セシウム吸着装置出口まで (耐圧ホース) | 呼び径 材質 最高使用圧力 最高使用温度 | 50A 相当 合成ゴム (EPDM) 1.37MPa 66°C | |
| 第二セシウム吸着装置出口から S P T (B) まで (鋼管) | 呼び径／厚さ 材質 最高使用圧力 最高使用温度 | 150A/Sch. 80 STPG370, STPT370 1.37MPa 66°C | |

表 2 . 5 - 1 汚染水処理設備等の主要配管仕様 (13 / 28)

| 名 称 | 仕 様 | | |
|---|-------------------------------|---|--|
| S P T (B) から 淡水化装置 (R O) まで (ポリエチレン管) | 呼び径 材質 最高使用圧力 最高使用温度 | 50A相当, 100A相当 ポリエチレン 1.0MPa 40°C | |
| 淡水化装置 (R O) から R O処理水貯槽及び蒸発濃縮処理水貯槽まで (ポリエチレン管) | 呼び径 材質 最高使用圧力 最高使用温度 | 50A相当, 80A相当, 100A相当 ポリエチレン 1.0MPa 40°C | |
| R O処理水貯槽及び蒸発濃縮処理水貯槽から 処理水バッファタンク及びC S Tまで (ポリエチレン管) | 呼び径 材質 最高使用圧力 最高使用温度 | 75A相当, 100A相当 ポリエチレン 1.0MPa 40°C | |

表 2. 5-1 汚染水処理設備等の主要配管仕様 (14/28)

| 名 称 | 仕 様 | |
|---|--------|--|
| 淡水化装置 (R O) から R O濃縮水貯槽まで (ポリエチレン管) | 呼び径 | 50A相当, 65A相当, 80A相当, 100A相当 150A相当 |
| | 材質 | ポリエチレン |
| | 最高使用圧力 | 1.0MPa, 0.98MPa |
| | 最高使用温度 | 40°C |
| (鋼管) | 呼び径／厚さ | 100A/Sch. 40 150A/Sch. 40 |
| | 材質 | STPT410, STPT370, SUS316L |
| | 最高使用圧力 | 0.98MPa |
| | 最高使用温度 | 40°C |
| (鋼管) | 呼び径 | 100A |
| | 材質 | SGP |
| | 最高使用圧力 | 1.0MPa |
| | 最高使用温度 | 40°C |
| (鋼管) | 呼び径／厚さ | 100A/Sch. 10 80A/Sch. 10 50A/Sch. 10 |
| | 材質 | SUS304 |
| | 最高使用圧力 | 0.98MPa |
| | 最高使用温度 | 40°C |

表 2. 5-1 汚染水処理設備等の主要配管仕様 (15/28)

| 名 称 | 仕 様 | | |
|--|----------------------------------|---|--|
| 中低濃度タンクから R O濃縮水移送ポンプ配管分岐部 まで (ポリエチレン管) | 呼び径 材質 最高使用圧力 最高使用温度 | 100A相当 ポリエチレン 1.0MPa, 0.98MPa 40°C | |
| (ポリエチレン管) | 呼び径 材質 最高使用圧力 最高使用温度 | 75A相当 ポリエチレン 0.98MPa 40°C | |
| (鋼管) | 呼び径／厚さ 材質 最高使用圧力 最高使用温度 | 100A/Sch. 40 STPT370 0.98MPa 40°C | |
| (鋼管) | 呼び径／厚さ 材質 最高使用圧力 最高使用温度 | 100A/Sch. 20 SUS304 1.0MPa 40°C | |
| (鋼管) | 呼び径／厚さ 材質 最高使用圧力 最高使用温度 | 100A/Sch. 40, 80A/Sch. 40, 50A/Sch. 80 STPT410+ライニング 0.98MPa 40°C | |
| (鋼管) | 呼び径／厚さ 材質 最高使用圧力 最高使用温度 | 100A/Sch. 10, 80A/Sch. 10, 50A/Sch. 10 SUS304 0.98MPa 40°C | |
| (鋼管) | 呼び径／厚さ 材質 最高使用圧力 最高使用温度 | 100A/Sch. 10, 65A/Sch. 10, 40A/Sch. 10 SUS316L 0.98MPa 40°C | |
| 蒸発濃縮装置から 濃縮水タンクまで (耐圧ホース) | 呼び径 材質 最高使用圧力 最高使用温度 | 50A相当, 100A相当 EPDM合成ゴム 0.98MPa 74°C | |

表2. 5-1 汚染水処理設備等の主要配管仕様 (16/28)

| 名 称 | 仕 様 | | |
|--|----------------------------------|--|--|
| 濃縮水タンクから 濃縮廃液貯槽まで (ポリエチレン管) | 呼び径 材質 最高使用圧力 最高使用温度 | 100A相当 ポリエチレン 1.0MPa 40°C | |
| 水中ポンプ出口 (耐圧ホース) | 呼び径 材質 最高使用圧力 最高使用温度 | 50A相当, 80A相当, 100A相当 ポリ塩化ビニル 0.98MPa 50°C | |
| プロセス主建屋内取り合いから プロセス主建屋出口取り合いで (戻り系統含む) (鋼管) | 呼び径／厚さ 材質 最高使用圧力 最高使用温度 | 50A, 100A/Sch80 STPG370 0.5MPa 66°C | |

表 2. 5-1 汚染水処理設備等の主要配管仕様 (17/28)

| 名 称 | 仕 様 | | |
|---|----------------------------------|--|--|
| セシウム吸着装置南側取り合いから セシウム吸着装置入口まで | 呼び径／厚さ 材質 最高使用圧力 最高使用温度 | 100A/Sch. 80 STPG370 1.37MPa 66°C | |
| 高温焼却炉建屋 1 階東側取り合いから 高温焼却炉建屋 1 階ハッチまで | 呼び径／厚さ 材質 最高使用圧力 最高使用温度 | 100A/Sch. 80 STPG370 1.37MPa 66°C | |
| | 呼び径 材質 最高使用圧力 最高使用温度 | 100A 相当 ポリエチレン 1.0MPa 40°C | |

表 2. 5-1 汚染水処理設備等の主要配管仕様 (18/28)

| 名 称 | 仕 様 | | | |
|------------------------------|----------------------------------|---|--|--|
| SPT 廃液移送ポンプ出口からろ過処理水受タンク入口まで | 呼び径／厚さ 材質 最高使用圧力 最高使用温度 | 50A/Sch. 80 STPT410 0.98MPa 40°C | | |
| | 呼び径／厚さ 材質 最高使用圧力 最高使用温度 | 80A/Sch. 40 STPT410 0.98MPa 40°C | | |
| | 呼び径 材質 最高使用圧力 最高使用温度 | 80A相当, 100A相当 ポリエチレン 0.98MPa 40°C | | |
| | 呼び径 材質 最高使用圧力 最高使用温度 | 80A相当 合成ゴム 0.98MPa 40°C | | |
| | 呼び径／厚さ 材質 最高使用圧力 最高使用温度 | 50A/Sch. 80 STPT410 0.98MPa 40°C | | |
| ろ過処理水受タンク出口から建屋内 RO 入口まで | 呼び径／厚さ 材質 最高使用圧力 最高使用温度 | 80A/Sch. 40 STPT410 4.5MPa 40°C | | |
| | 呼び径／厚さ 材質 最高使用圧力 最高使用温度 | 80A, 150A/Sch. 40 STPT410 静水頭 40°C | | |
| | 呼び径／厚さ 材質 最高使用圧力 最高使用温度 | 80A, 100A/Sch. 40 STPT410 0.98MPa 40°C | | |
| | 呼び径 材質 最高使用圧力 最高使用温度 | 150A相当 ポリエチレン 静水頭 40°C | | |
| | | | | |

表2. 5-1 汚染水処理設備等の主要配管仕様 (19/28)

| 名 称 | 仕 様 | | | |
|--|----------------------------------|--|--|--|
| 建屋内RO出口から淡水化処理水受タンク入口まで | 呼び径／厚さ 材質 最高使用圧力 最高使用温度 | 50A/Sch. 80 STPT410 0.98MPa 40°C | | |
| | 呼び径／厚さ 材質 最高使用圧力 最高使用温度 | 80A/Sch. 40 STPT410 0.98MPa 40°C | | |
| | 呼び径／厚さ 材質 最高使用圧力 最高使用温度 | 80A/Sch. 40 SUS316LTP 0.98MPa 40°C | | |
| | 呼び径 材質 最高使用圧力 最高使用温度 | 80A相当 ポリエチレン 0.98MPa 40°C | | |
| 淡水化処理水受タンク出口から CST 移送ライン操作弁ユニット入口まで | 呼び径／厚さ 材質 最高使用圧力 最高使用温度 | 80A/Sch. 40 SUS316LTP 静水頭, 0.98MPa 40°C | | |
| | 呼び径／厚さ 材質 最高使用圧力 最高使用温度 | 40A, 50A/Sch. 80 SUS316LTP 0.98MPa 40°C | | |
| | 呼び径 材質 最高使用圧力 最高使用温度 | 80A相当 ポリエチレン 静水頭, 0.98MPa 40°C | | |
| 建屋内RO出口から建屋内RO濃縮水受タンク入口まで及びろ過処理水受タンク入口まで | 呼び径／厚さ 材質 最高使用圧力 最高使用温度 | 80A/Sch. 40 STPT410 0.98MPa 40°C | | |
| | 呼び径／厚さ 材質 最高使用圧力 最高使用温度 | 65A, 80A/Sch. 40 STPT410 4.5MPa 40°C | | |
| | 呼び径 材質 最高使用圧力 最高使用温度 | 80A相当 ポリエチレン 0.98MPa 40°C | | |

表 2. 5-1 汚染水処理設備等の主要配管仕様 (20/28)

| 名 称 | 仕 様 | | |
|--------------------------------------|----------------------------------|---|--|
| 建屋内 RO 入口から建屋内 RO 出口まで | 呼び径／厚さ 材質 最高使用圧力 最高使用温度 | 40A/Sch. 80 STPT410 4.5MPa 40°C | |
| | 呼び径／厚さ 材質 最高使用圧力 最高使用温度 | 65A, 80A, 100A/Sch. 40 STPT410 4.5MPa 40°C | |
| | 呼び径 材質 最高使用圧力 最高使用温度 | 40A 相当 合成ゴム 4.5MPa 40°C | |
| | 呼び径／厚さ 材質 最高使用圧力 最高使用温度 | 25A, 50A/Sch. 80 STPT410 0.98MPa 40°C | |
| | 呼び径 材質 最高使用圧力 最高使用温度 | 25A 相当 合成ゴム 0.98MPa 40°C | |
| 4号機弁ユニット入口分岐から 4号機弁ユニット出口合流まで | 呼び径 材質 最高使用圧力 最高使用温度 | 100A 相当 ポリエチレン 1.0MPa 40°C | |
| | 呼び径／厚さ 材質 最高使用圧力 最高使用温度 | 100A/Sch. 40 STPG370 1.0MPa 40°C | |
| 高温焼却炉建屋弁ユニット入口から 高温焼却炉建屋弁ユニット出口まで | 呼び径／厚さ 材質 最高使用圧力 最高使用温度 | 100A/Sch. 80 STPG370 1.0MPa 40°C | |
| 高温焼却炉建屋弁ユニット出口から 高温焼却炉建屋北側取り合いまで | 呼び径 材質 最高使用圧力 最高使用温度 | 100A 相当 ポリエチレン 1.0MPa 40°C | |

表 2. 5-1 汚染水処理設備等の主要配管仕様 (21/28)

| 名 称 | 仕 様 | | |
|--|--------|---------------------------|--|
| 高温焼却炉建屋 1 階取り合いから 高温焼却炉建屋弁ユニット出口まで | 呼び径 | 100A 相当 | |
| | 材質 | ポリエチレン | |
| | 最高使用圧力 | 1. 0MPa | |
| | 最高使用温度 | 40°C | |
| 高温焼却炉建屋弁ユニット出口から 高温焼却炉建屋 1 階東側取り合いで | 呼び径／厚さ | 100A/Sch. 80 | |
| | 材質 | STPG370 | |
| | 最高使用圧力 | 1. 37MPa | |
| | 最高使用温度 | 66°C | |
| 高温焼却炉建屋弁ユニット出口から 高温焼却炉建屋 1 階ハッチまで | 呼び径 | 100A 相当 | |
| | 材質 | ポリエチレン | |
| | 最高使用圧力 | 1. 0MPa | |
| | 最高使用温度 | 40°C | |
| 高温焼却炉建屋弁ユニット出口から 第二セシウム吸着装置入口まで | 呼び径 | 100A 相当 | |
| | 材質 | ポリエチレン | |
| | 最高使用圧力 | 1. 0MPa | |
| | 最高使用温度 | 40°C | |
| 高温焼却炉建屋弁ユニット出口から 第二セシウム吸着装置入口まで | 呼び径／厚さ | 80A/Sch. 80, 100A/Sch. 80 | |
| | 材質 | STPG370 | |
| | 最高使用圧力 | 1. 37MPa | |
| | 最高使用温度 | 66°C | |
| プロセス主建屋 1 階西側取り合いから プロセス主建屋地下階まで | 呼び径／厚さ | 100A/Sch. 80 | |
| | 材質 | STPG370, STPT370 | |
| | 最高使用圧力 | 1. 37MPa | |
| | 最高使用温度 | 66°C | |

※ 現場施工状況により、配管仕様の一部を使用しない場合もある。

表 2. 5-1 汚染水処理設備等の主要配管仕様 (22/28)

| 名 称 | 仕 様 | | |
|---|--------|--------------------------------------|--|
| プロセス主建屋切替弁スキッド入口からプロセス主建屋切替弁スキッド出口まで (鋼管) | 呼び径／厚さ | 150A/Sch80, 100A/Sch80, 50A/Sch80 | |
| | 材質 | STPG370 | |
| | 最高使用圧力 | 1.0 MPa | |
| | 最高使用温度 | 40 °C | |
| | 呼び径 | 150A 相当 | |
| | 材質 | ポリエチレン | |
| | 最高使用圧力 | 1.0 MPa | |
| | 最高使用温度 | 40 °C | |
| プロセス主建屋切替弁スキッド出口からプロセス主建屋まで (ポリエチレン管) | 呼び径 | 100A 相当 | |
| | 材質 | ポリエチレン | |
| | 最高使用圧力 | 1.0 MPa | |
| | 最高使用温度 | 40 °C | |
| プロセス主建屋切替弁スキッド出口から第三セシウム吸着装置入口まで (ポリエチレン管) | 呼び径 | 100A 相当 | |
| | 材質 | ポリエチレン | |
| | 最高使用圧力 | 1.0 MPa | |
| | 最高使用温度 | 40 °C | |

表 2. 5-1 汚染水処理設備等の主要配管仕様 (23/28)

| 名 称 | 仕 様 | | |
|---|--------|--|--|
| 第三セシウム吸着装置入口から第三セシウム吸着装置出口まで (鋼管) | 呼び径／厚さ | 100A/Sch40, 80A/Sch40, 65A/Sch40, 50A/Sch40, 40A/Sch40 | |
| | 材質 | SUS316L | |
| | 最高使用圧力 | ASME SA790 S32205 | |
| | 最高使用温度 | 1.37 MPa 40 °C | |
| (ポリエチレン管) (耐圧ホース) | 呼び径 | 100A相当 | |
| | 材質 | ポリエチレン | |
| | 最高使用圧力 | 1.37 MPa | |
| | 最高使用温度 | 40 °C | |
| 第三セシウム吸着装置出口からSPT (B)まで (ポリエチレン管) | 呼び径 | 65A相当 | |
| | 材質 | 合成ゴム(NBR, EPDM) | |
| | 最高使用圧力 | 1.37 MPa | |
| | 最高使用温度 | 40 °C | |
| プロセス主建屋1階西側分岐からプロセス主建屋切替弁スキッドまで (鋼管) | 呼び径／厚さ | 100A/Sch80 | |
| | 材質 | STPG370 | |
| | 最高使用圧力 | 1.37MPa | |
| | 最高使用温度 | 66°C | |
| (ポリエチレン管) | 呼び径 | 100A相当 | |
| | 材質 | ポリエチレン | |
| | 最高使用圧力 | 1.0 MPa | |
| | 最高使用温度 | 40°C | |

表 2. 5-1 汚染水処理設備等の主要配管仕様 (24/28)

| 名 称 | 仕 様 | | |
|---|--------|------------|--|
| 高温焼却炉建屋切替弁スキッドから S P T 建屋 1 階中央南側分岐まで (鋼管) (ポリエチレン管) | 呼び径／厚さ | 100A/Sch80 | |
| | 材質 | STPG370 | |
| | 最高使用圧力 | 1.37MPa | |
| | 最高使用温度 | 66°C | |
| | 呼び径 | 100A 相当 | |
| | 材質 | ポリエチレン | |
| | 最高使用圧力 | 1.0 MPa | |
| | 最高使用温度 | 40°C | |
| S P T 建屋 1 階中央南側分岐からプロ セス主建屋切替弁スキッドまで (ポリエチレン管) | 呼び径 | 100A 相当 | |
| | 材質 | ポリエチレン | |
| | 最高使用圧力 | 1.0 MPa | |
| | 最高使用温度 | 40°C | |

表 2. 5-1 汚染水処理設備等の主要配管仕様 (25/28)

| 名称 | 仕様 | | |
|--|--------|---|--|
| 建屋内 RO 出口側ライン 分岐から 1 号機原子炉建屋 まで | 呼び径 | 100A 相当 | |
| | 材質 | ポリエチレン | |
| | 最高使用圧力 | 0.98MPa | |
| | 最高使用温度 | 40°C | |
| | 呼び径／厚さ | 50A/Sch. 40 | |
| | 材質 | SUS316LTP | |
| | 最高使用圧力 | 0.98MPa | |
| | 最高使用温度 | 40°C | |
| | 呼び径／厚さ | 50A/Sch. 80, 80A/Sch. 40, 100A/Sch. 40 | |
| 建屋内 RO 出口側ライン 分岐から 2 号機タービン 建屋まで | 材質 | STPT410 | |
| | 最高使用圧力 | 0.98MPa | |
| | 最高使用温度 | 40°C | |
| | 呼び径／厚さ | 50A/Sch. 40 | |
| | 材質 | SUS316LTP | |
| | 最高使用圧力 | 0.98MPa | |
| | 最高使用温度 | 40°C | |
| | 呼び径／厚さ | 50A/Sch. 80, 80A/Sch. 40, 100A/Sch. 40 | |
| | 材質 | STPT410 | |
| | 最高使用圧力 | 0.98MPa | |
| | 最高使用温度 | 40°C | |

表 2. 5-1 汚染水処理設備等の主要配管仕様 (26/28)

| 名称 | 仕様 | | |
|--|--------|---|--|
| 建屋内 RO 入口側 タイライン分岐から 3・4号機タービン建屋 まで | 呼び径 | 100A相当 | |
| | 材質 | ポリエチレン | |
| | 最高使用圧力 | 0.98MPa | |
| | 最高使用温度 | 40°C | |
| | 呼び径／厚さ | 80A/Sch. 40, 100A/Sch. 40, 150A/Sch. 40 | |
| | 材質 | STPT410 | |
| | 最高使用圧力 | 0.98MPa | |
| | 最高使用温度 | 40°C | |

表 2. 5-1 汚染水処理設備等の主要配管仕様 (27/28)

| 名 称 | 仕 様 | | |
|---|----------------------------------|---|--|
| SPT 廃液移送ポンプ出口分岐から建屋内 RO 濃縮水受タンク入口まで (ポリエチレン管) | 呼び径 材質 最高使用圧力 最高使用温度 | 80A相当 ポリエチレン 0.98MPa 40°C | |
| 建屋内 RO 濃縮水受タンク出口から 8.5m 盤 SPT 受入水移送ポンプ出口ライン合 流まで (ポリエチレン管) (鋼管) | 呼び径 材質 最高使用圧力 最高使用温度 | 50A相当, 80A相当, 100A相当 ポリエチレン 0.98MPa 40°C | |
| | 呼び径／厚さ 材質 最高使用圧力 最高使用温度 | 80A/Sch. 40 STPT410 0.98MPa 40°C | |
| 33.5m 盤 SPT 受入水移送ポンプ出口分岐 から増設 RO 濃縮水受タンク入口まで (ポリエチレン管) | 呼び径 材質 最高使用圧力 最高使用温度 | 100A相当 ポリエチレン 0.98MPa 40°C | |
| 増設 RO 濃縮水受タンク出口から 33.5m 盤 RO 濃縮水供給ポンプ出口ライン合流 まで (ポリエチレン管) | 呼び径 材質 最高使用圧力 最高使用温度 | 50A相当, 100A相当 ポリエチレン 0.98MPa 40°C | |

表 2. 5-1 汚染水処理設備等の主要配管仕様 (28/28)

| 名 称 | 仕 様 | | |
|---|-------------------------------|------------------------------------|--|
| CST 移送ポンプ出口分岐から RO 処理水供給ポンプ出口ライン合流まで (ポリエチレン管) | 呼び径 材質 最高使用圧力 最高使用温度 | 80A相当 ポリエチレン 0.98MPa 40°C | |

表 2. 5-2 放射線監視装置仕様

| 項目 | 仕様 | | |
|------|--------------------|---------------------|-----------------------|
| 名称 | 放射線モニタ | | エリア放射線モニタ |
| 基数 | 5 基 | 2 基 | 3 基 |
| 種類 | 半導体検出器 | | 半導体検出器 |
| 取付箇所 | 滞留水移送ライン 屋外敷設箇所 | 第三セシウム吸着装置 設置エリア | ろ過水タンク周辺 |
| 計測範囲 | 0.01mSv/h～100mSv/h | 0.001mSv/h～10mSv/h | 0.001mSv/h～99.99mSv/h |

2.5.2.1.2 使用済セシウム吸着塔保管施設及び廃スラッジ貯蔵施設

(1) 使用済セシウム吸着塔仮保管施設

吸着塔保管体数

308 体 (セシウム吸着装置吸着塔, モバイル式処理装置吸着塔,
モバイル型ストロンチウム除去装置フィルタ・吸着塔,
第二モバイル型ストロンチウム除去装置吸着塔,
放水路浄化装置吸着塔)

9 体 (第二セシウム吸着装置吸着塔)

(2) 使用済セシウム吸着塔一時保管施設 (第一施設)

吸着塔保管体数

544 体 (セシウム吸着装置吸着塔, モバイル式処理装置吸着塔,
サブドレン他浄化装置吸着塔,
高性能多核種除去設備検証試験装置吸着塔,
モバイル型ストロンチウム除去装置フィルタ・吸着塔,
第二モバイル型ストロンチウム除去装置吸着塔,
放水路浄化装置吸着塔, 净化ユニット吸着塔)

230 体 (第二セシウム吸着装置吸着塔, 第三セシウム吸着装置吸着塔,
多核種除去設備処理カラム, 高性能多核種除去設備吸着塔, RO
濃縮水処理設備吸着塔, サブドレン他浄化装置吸着塔)

(3) 使用済セシウム吸着塔一時保管施設（第二施設）

吸着塔保管体数

736 体（セシウム吸着装置吸着塔，多核種除去設備高性能容器，
増設多核種除去設備高性能容器）

(4) 使用済セシウム吸着塔一時保管施設（第三施設）

吸着塔保管体数

3,648 体（多核種除去設備高性能容器，増設多核種除去設備高性能容器）

(5) 使用済セシウム吸着塔一時保管施設（第四施設）

吸着塔保管体数

680 体（セシウム吸着装置吸着塔，モバイル式処理装置吸着塔，
サブドレン他浄化装置吸着塔，

高性能多核種除去設備検証試験装置吸着塔

モバイル型ストロンチウム除去装置フィルタ・吸着塔，

第二モバイル型ストロンチウム除去装置吸着塔，

放水路浄化装置吸着塔，浄化ユニット吸着塔）

345 体（第二セシウム吸着装置吸着塔，第三セシウム吸着装置吸着塔，
多核種除去設備処理カラム，高性能多核種除去設備吸着塔，
RO 濃縮水処理設備吸着塔，サブドレン他浄化装置吸着塔）

(6) 造粒固化体貯槽(D) (既設品)

スラッジ保管容量 700m³

(7) 廃スラッジ一時保管施設

スラッジ保管容量 720m³ (予備機含む)

スラッジ貯層基数 8 基

スラッジ貯層容量 90m³/基

表2. 5-3 廃スラッジ貯蔵施設の主要配管仕様

| 名 称 | 仕 様 | | |
|--|----------------------------------|---|--|
| 除染装置から 造粒固化体貯槽 (D) (鋼管) | 呼び径／厚さ 材質 最高使用圧力 最高使用温度 | 50A, 80A / Sch20S SUS316L 0.3MPa 50°C | |
| 造粒固化体貯槽 (D) から プロセス主建屋壁面取合まで (鋼管) | 呼び径／厚さ 材質 最高使用圧力 最高使用温度 | 50A, 80A / Sch20S SUS316L 0.98MPa 50°C | |
| プロセス主建屋壁面取合から 廃スラッジ一時保管施設取合まで (二重管ホース) | 呼び径 材質 最高使用圧力 最高使用温度 | 50A 相当 EPDM 0.72MPa 82.2°C | |
| 廃スラッジ一時保管施設取合から スラッジ貯槽まで (鋼管) | 呼び径／厚さ 材質 最高使用圧力 最高使用温度 | 80A, 50A / Sch40 SUS316L 0.98MPa 50°C | |
| 廃スラッジ一時保管施設内 上澄み移送ライン (鋼管) | 呼び径／厚さ 材質 最高使用圧力 最高使用温度 | 125A, 100A, 80A / Sch40 SUS329J4L 0.98MPa 50°C | |
| 廃スラッジ一時保管施設内 スラッジ移送ライン (鋼管) | 呼び径／厚さ 材質 最高使用圧力 最高使用温度 | 100A, 80A, 50A / Sch40 SUS316L 0.98MPa 50°C | |

2.5.3 添付資料

- 添付資料－1 系統概要
- 添付資料－2 主要設備概要図
- 添付資料－3 汚染水処理設備等に関する構造強度及び耐震性等の評価結果
- 添付資料－4 廃スラッジ一時保管施設の耐震性に関する検討結果
- 添付資料－5 汚染水処理設備等の具体的な安全確保策について
- 添付資料－6 セシウム吸着装置及び第二セシウム吸着装置の吸着塔の温度評価
- 添付資料－7 廃スラッジ一時保管施設の崩壊熱評価
- 添付資料－8 廃スラッジ一時保管施設の遮へい設計
- 添付資料－9 汚染水処理設備等の工事計画及び工程について
- 添付資料－10 No.1 号過水タンクへの逆浸透膜装置廃水の貯留について
- 添付資料－11 2号機及び3号機の海水配管トレーニングにおける高濃度汚染水の処理設備（モバイル式処理設備）の撤去について
- 添付資料－12 中低濃度タンクの設計・確認の方針について
- 添付資料－13 中低濃度タンク及び高濃度滞留水受タンクの解体・撤去の方法について
- 添付資料－14 使用済セシウム吸着塔一時保管施設（第三施設）
- 添付資料－15 建屋内RO循環設備および追設する関連機器の設計・確認の方針について
- 添付資料－16 滞留水移送装置の設計・確認方法について
- 添付資料－17 セシウム吸着装置におけるストロンチウム除去について
- 添付資料－18 セシウム吸着装置により高温焼却炉建屋の滞留水を浄化するために使用する配管について
- 添付資料－19 第二セシウム吸着装置におけるCs及びSrの除去について
- 添付資料－20 （廃止）RO濃縮塩水を移送する配管の追設について
- 添付資料－21 滞留水移送装置による水位調整が不可能なエリアの対応について
- 添付資料－22 プロセス主建屋、高温焼却炉建屋の地下階を介さずに滞留水を処理装置へ移送する設備について
- 添付資料－23 蒸留水タンク、濃縮水受タンク、濃縮処理水タンクの撤去方法について
- 添付資料－24 使用済セシウム吸着塔一時保管施設の架台とボックスカルバートについて
- 添付資料－25 SPT建屋の構造強度及び耐震性について
- 添付資料－26 濃縮廃液貯槽（完成品）の安全確保策について
- 添付資料－27 地下貯水槽No.5の解体・撤去について
- 添付資料－28 除染装置処理水移送ポンプ及び弁を含む付属配管の撤去について
- 添付資料－29 滞留水浄化設備の設計・確認方法について
- 添付資料－30 第三セシウム吸着装置について
- 添付資料－31 主要配管の確認事項について

表 1 設備の構成

| 汚染水処理設備等 | | | | |
|---|--|---|-------------------------------------|---------------------------|
| 汚染水処理設備 | 貯留設備 | 関連設備 | 使用済セシウム吸着塔保管施設 | 廃スラッジ貯蔵施設 |
| 処理装置 ・セシウム吸着装置 ・第二セシウム吸着装置 ・第三セシウム吸着装置 ・除染装置 | 中低濃度タンク ・サブレッショングループ水サージタンク ・廃液 RO 供給タンク ・RO 後濃縮塩水受タンク ・濃縮廃液貯槽 ・RO 後淡水受タンク ・多核種処理水タンク ・Sr処理水タンク 地下貯水槽 ろ過水タンク | 油分分離装置 モバイル式処理設備 電源設備 滞留水移送装置 ・移送ポンプ ・移送配管 | 使用済セシウム吸着塔板保管施設 使用済セシウム吸着塔一時保管施設 | 造粒固化体貯槽(D) 廃スラッジ一時保管施設 |
| 淡水化装置 ・逆浸透膜装置 ・蒸発濃縮装置 | | | | |

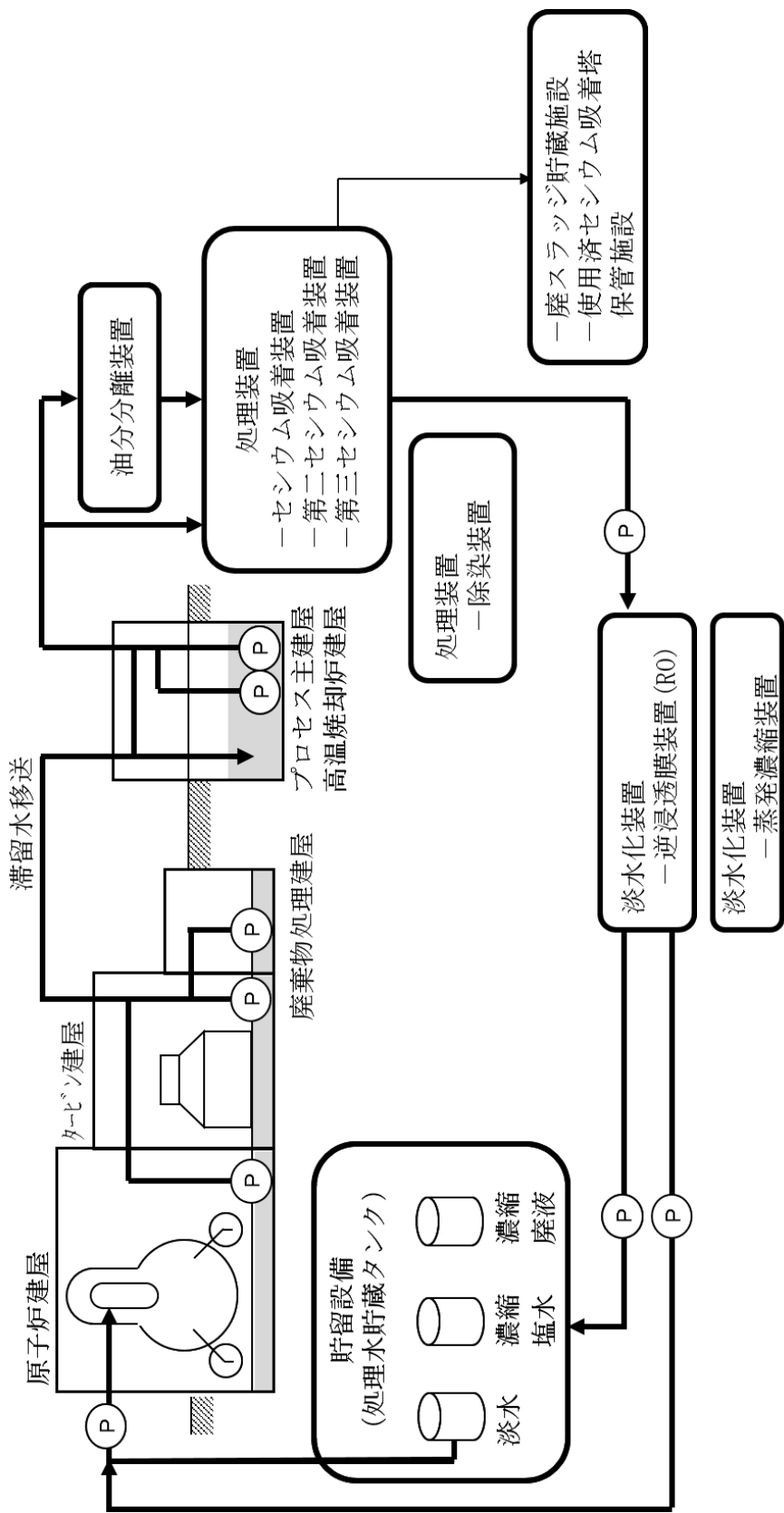
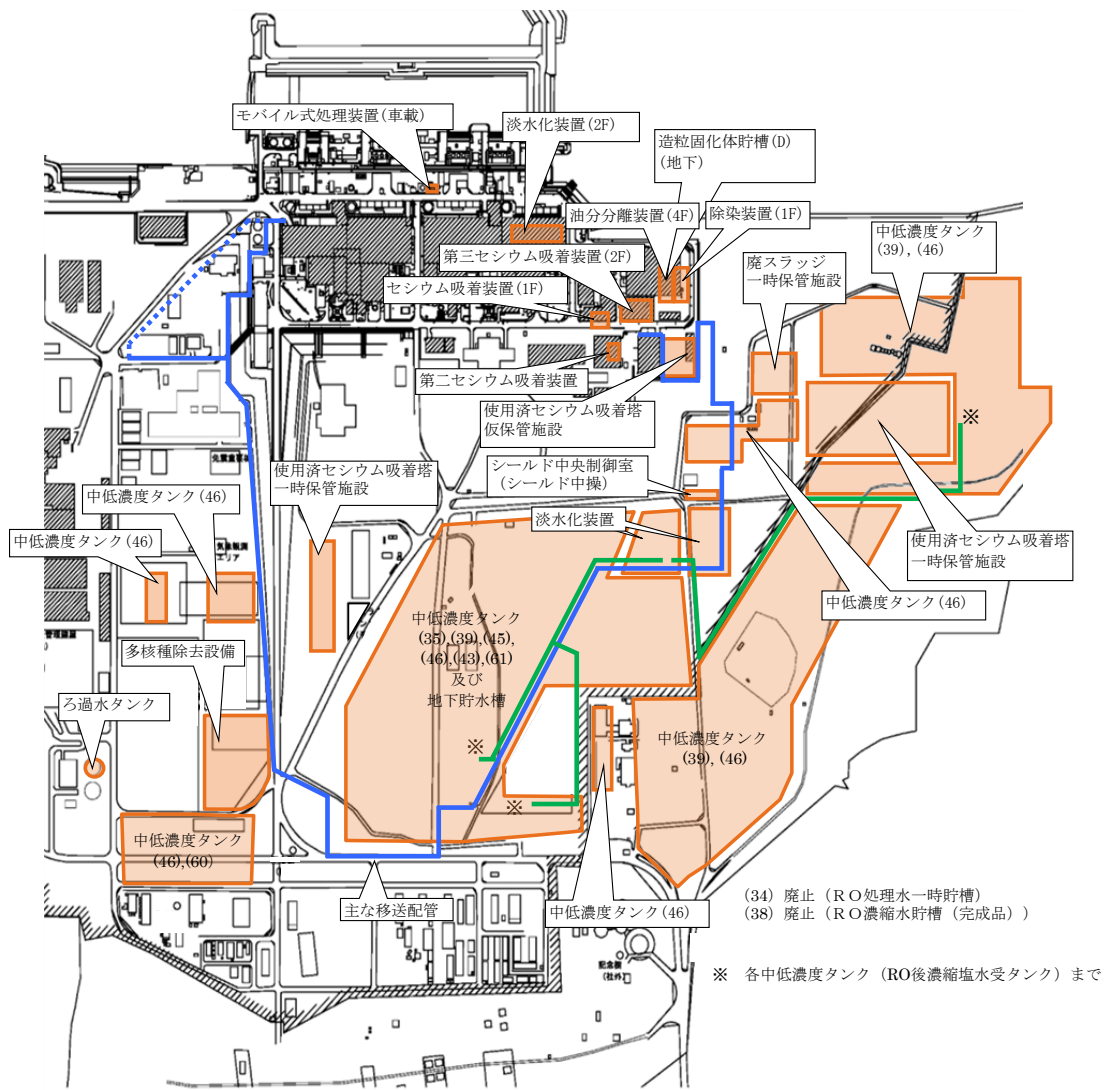


図-1 汚染水処理設備等の全体概要図 (1 / 2)
(a) 系統概要



(b) 配置概要

図-1 汚染水処理設備等の全体概要図 (2/2)

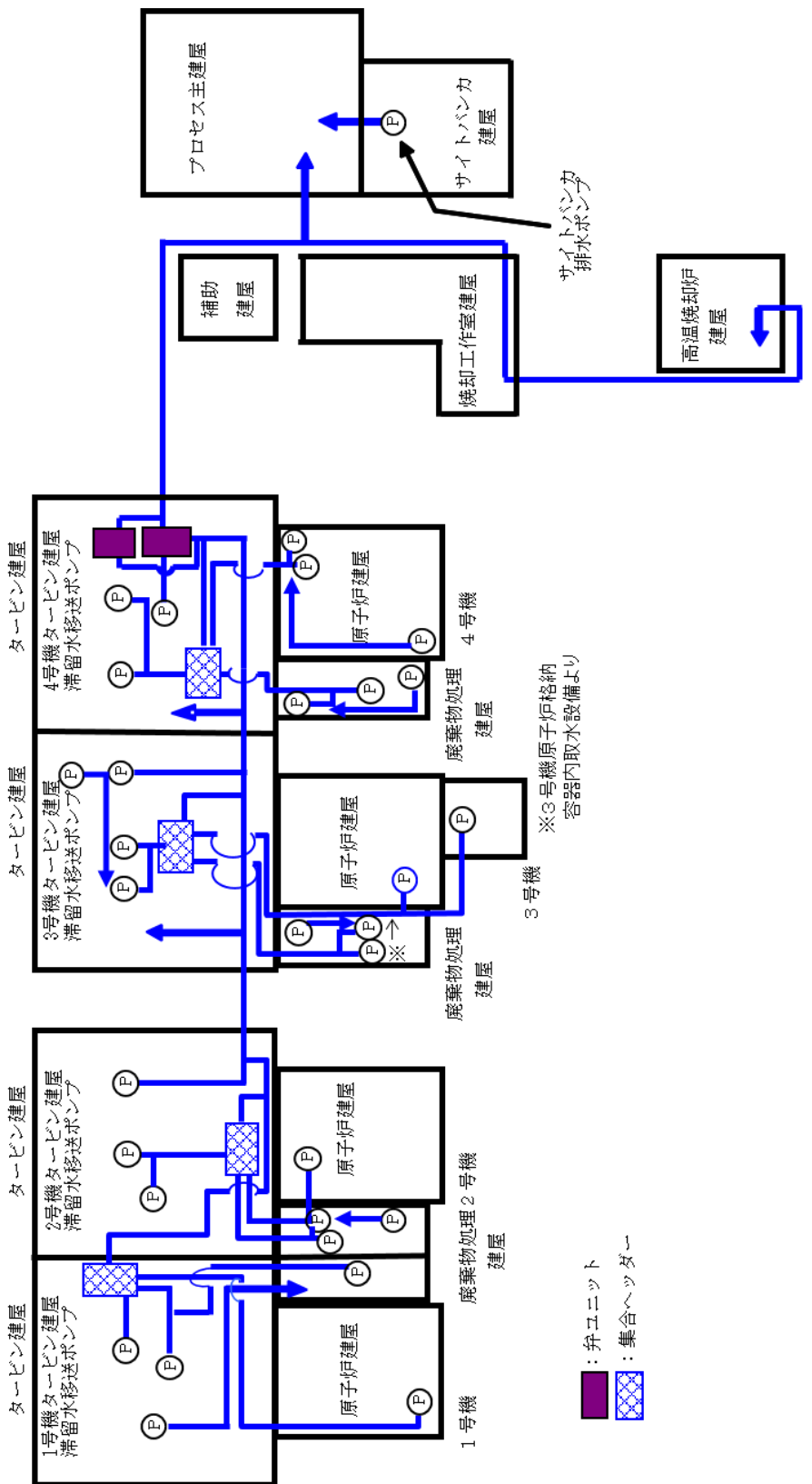
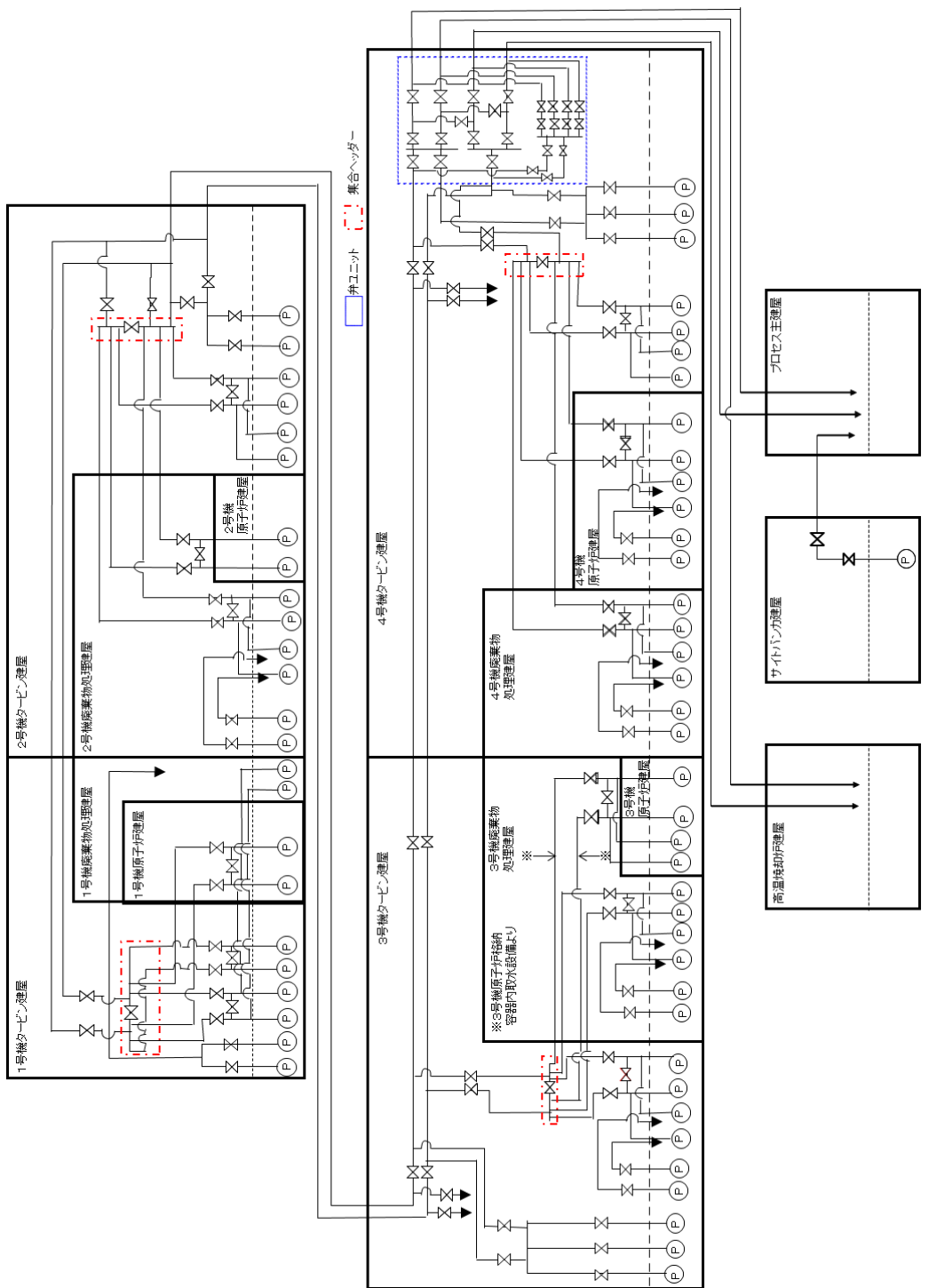
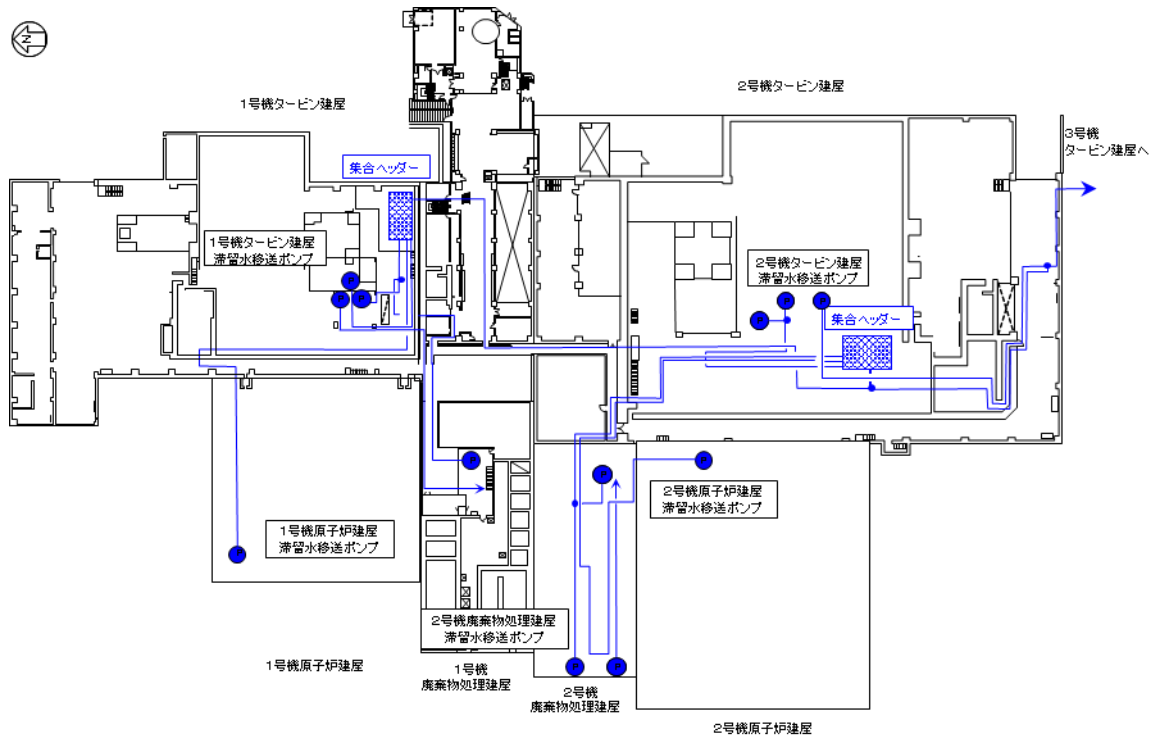


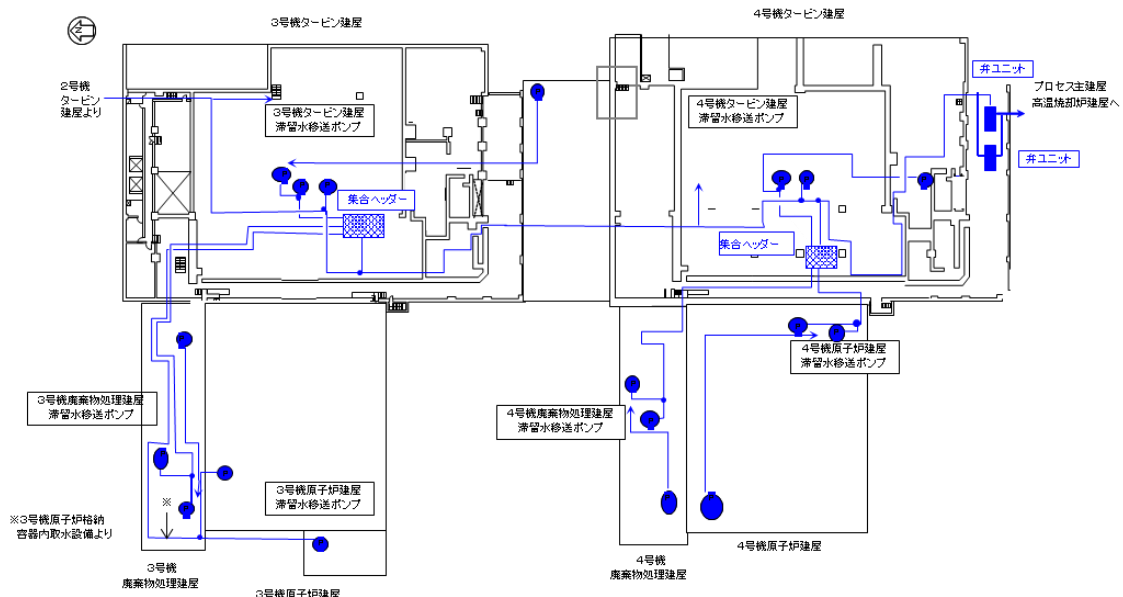
図-2 (a) 移送装置全体系統図
図-2 滞留水移送装置の系統構成図 (1 / 3)



(a) 移送装置全体系統図
図-2 滞留水移送装置の系統構成図 (2 / 3)



1, 2号機滞留水移送系統（各建屋1階）



3, 4号機滞留水移送系統（各建屋1階）

※ポンプ・配管は多重化しているものの、本図では单一のものとして示す

(b) 移送装置 配管ルート図

図-2 滞留水移送装置の系統構成図 (3/3)

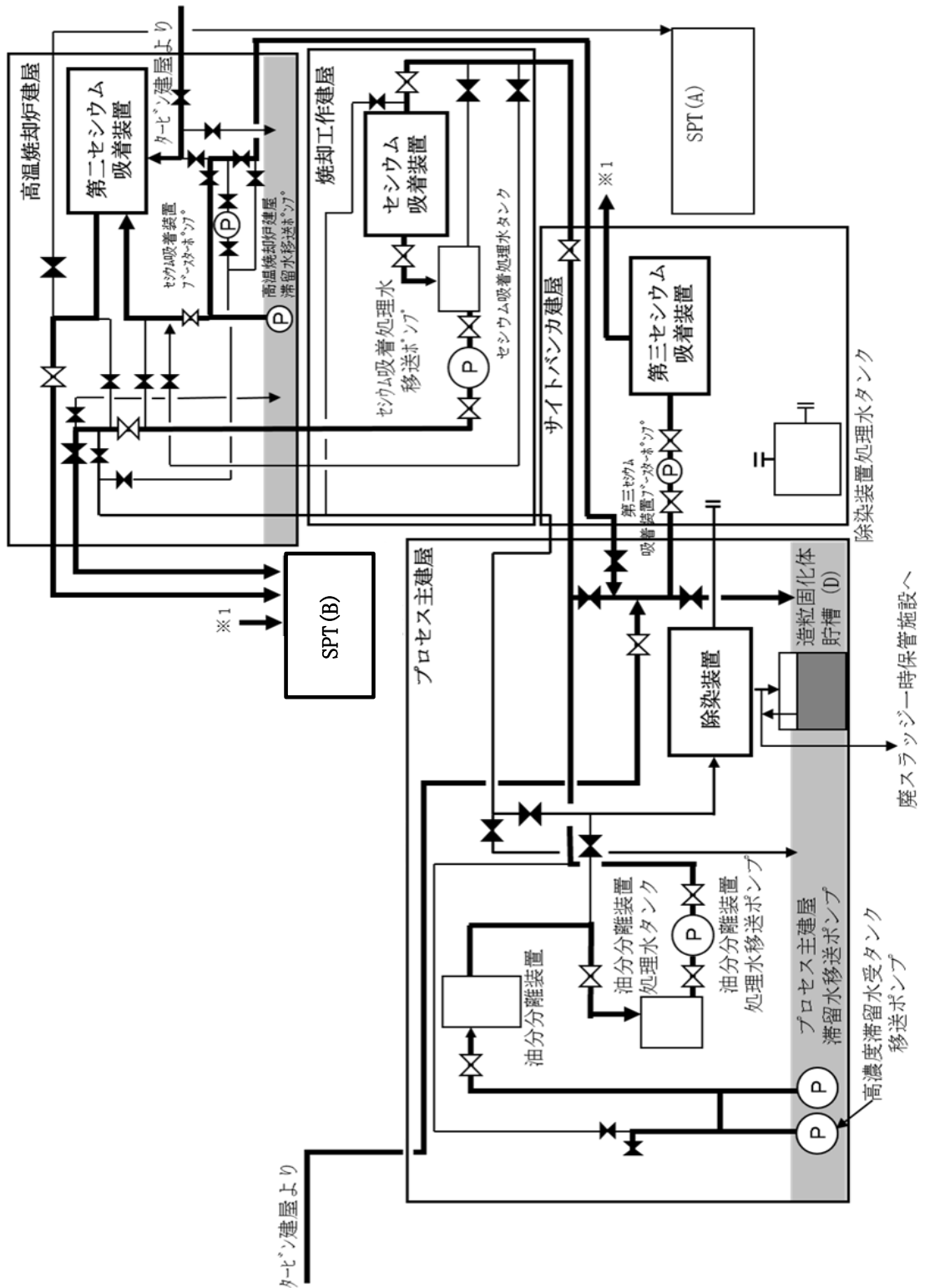


図-3 処理装置（セシウム吸着装置、第二セシウム吸着装置、第三セシウム吸着装置、除染装置）の系統構成図

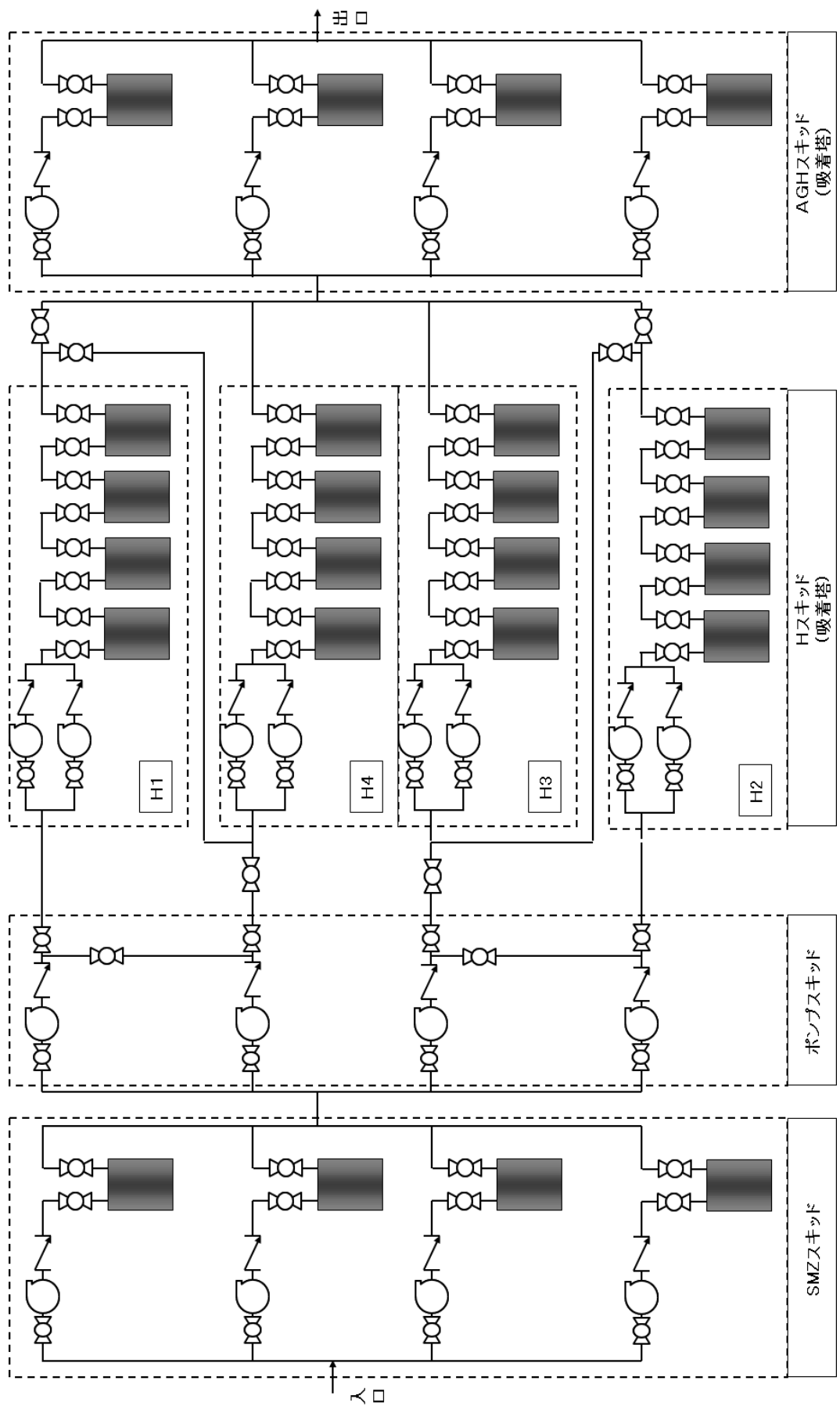
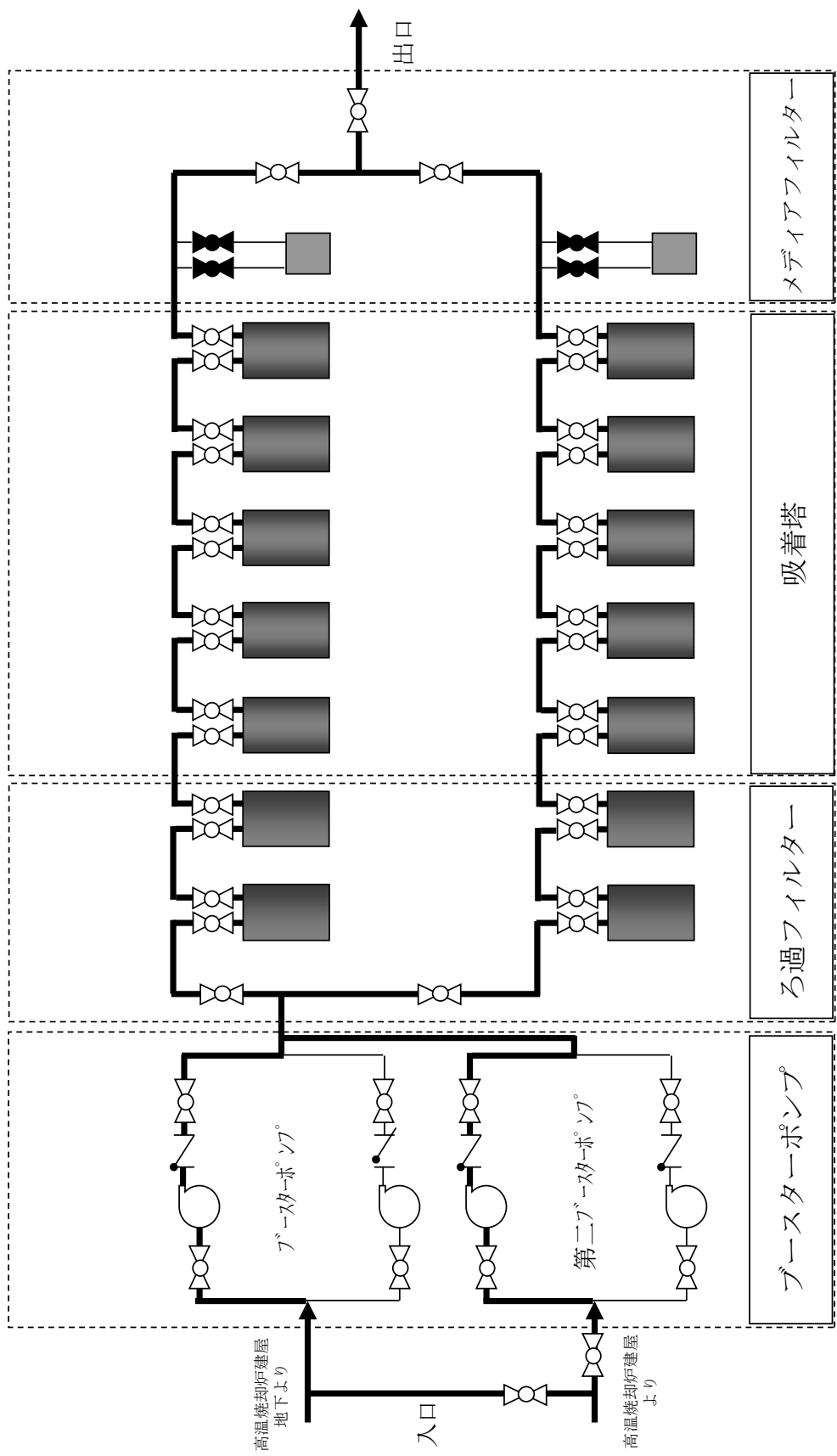


図-4 セシウム吸着装置の系統構成図



図一5 第二セシウム吸着装置の系統構成図

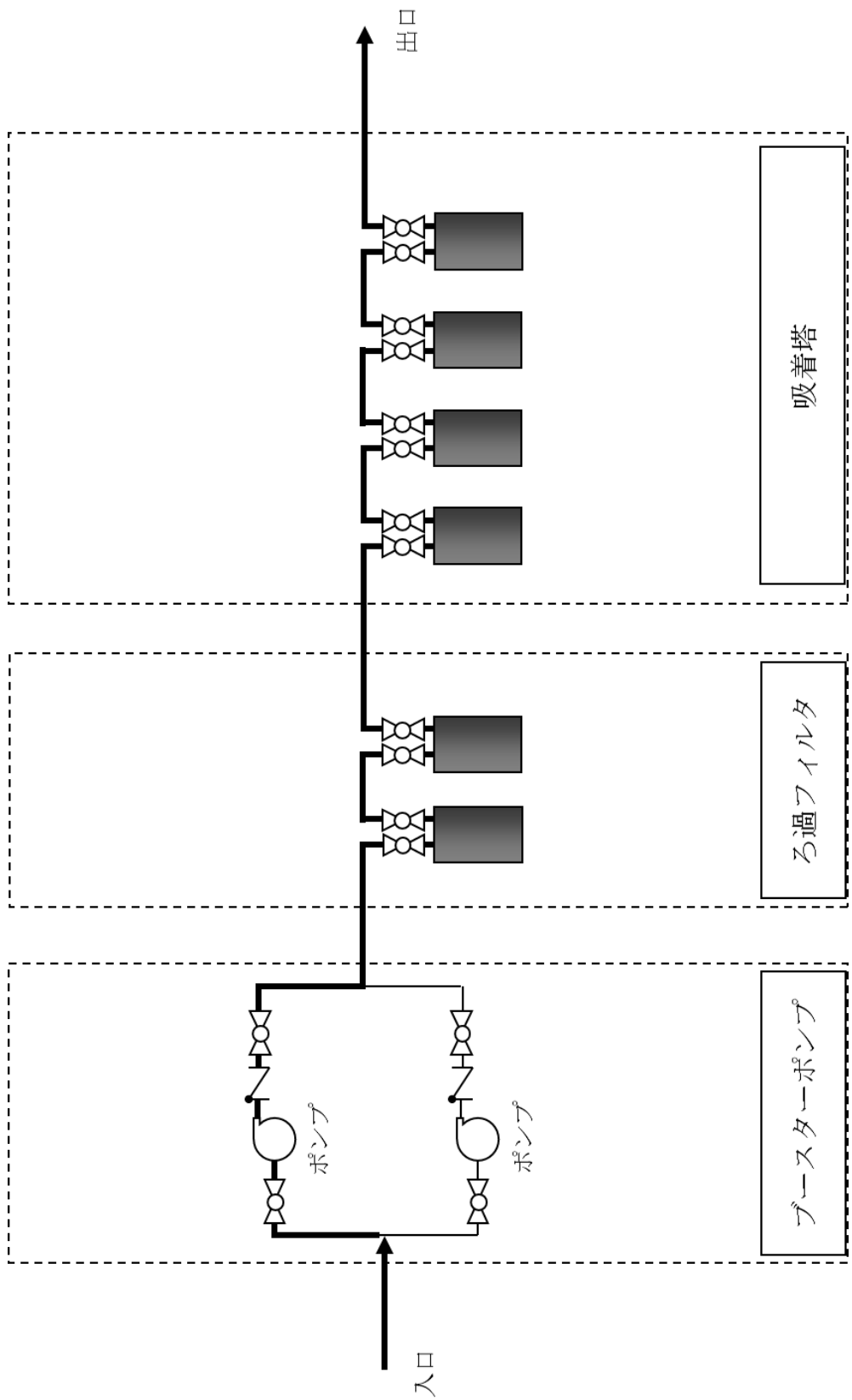
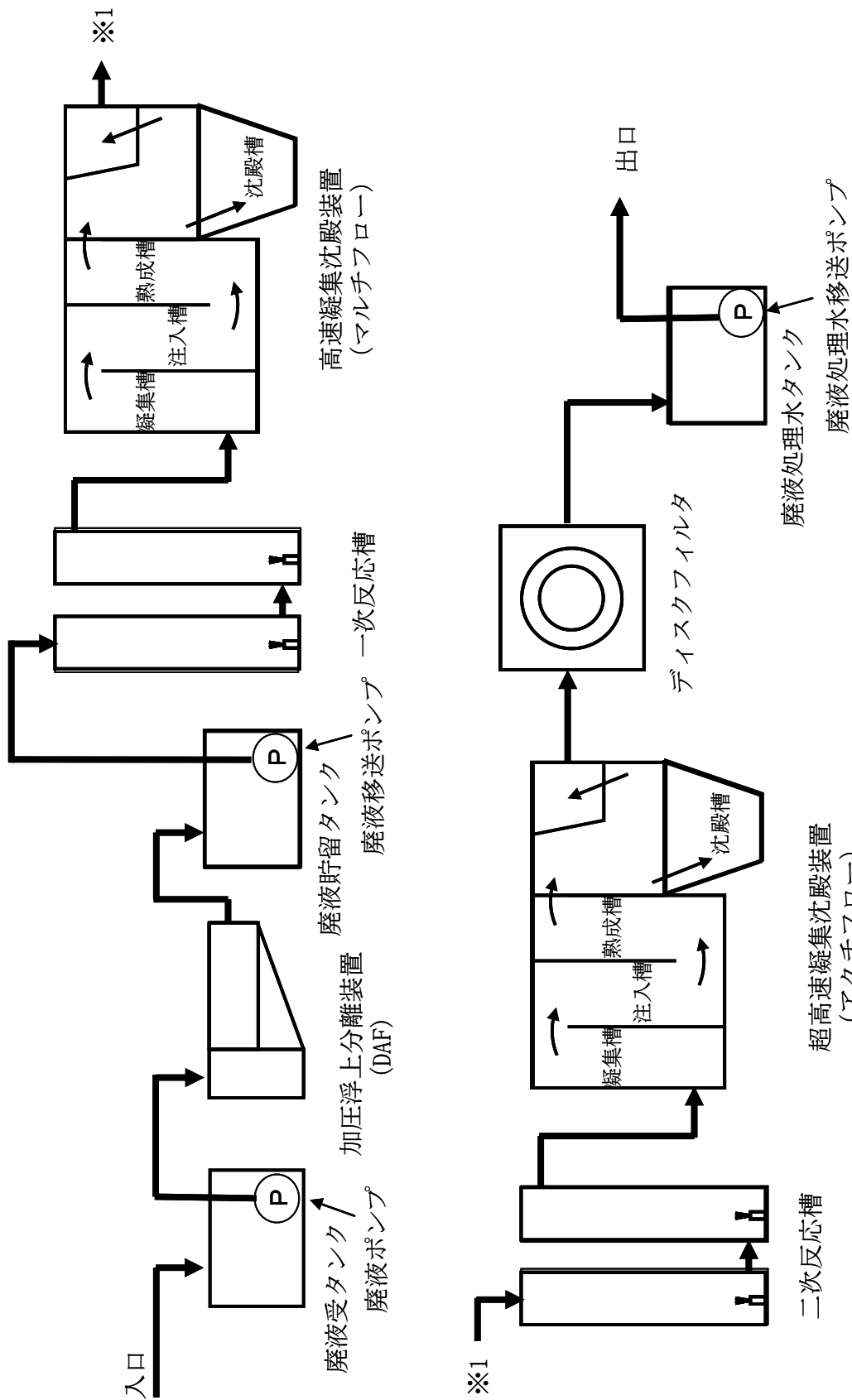


図-6 第三セシウム吸着装置の系統構成図



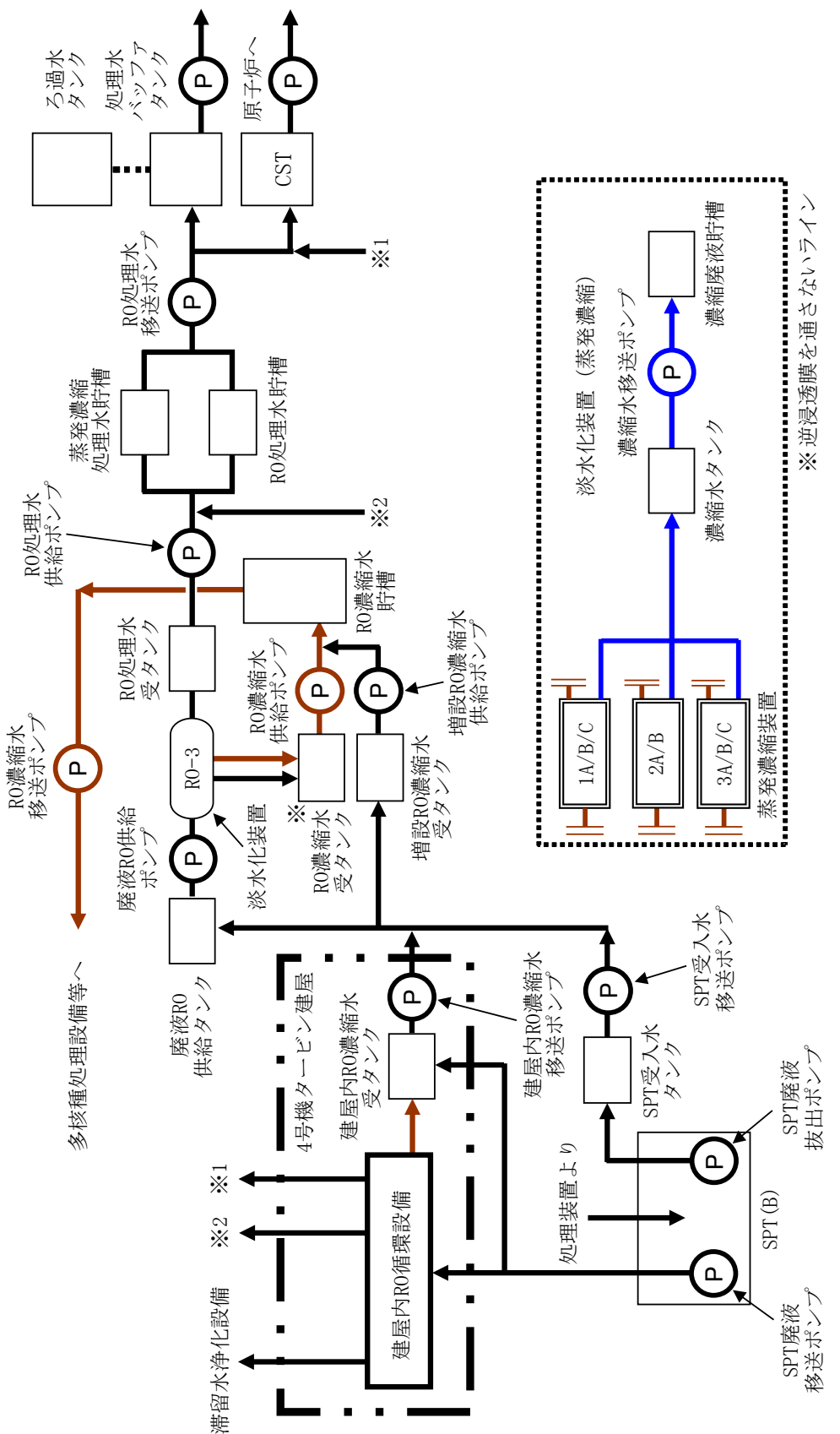


図-8 淡水化装置（逆浸透膜装置、蒸発濃縮装置）及び滞留水浄化設備の系統構成図（1/2）

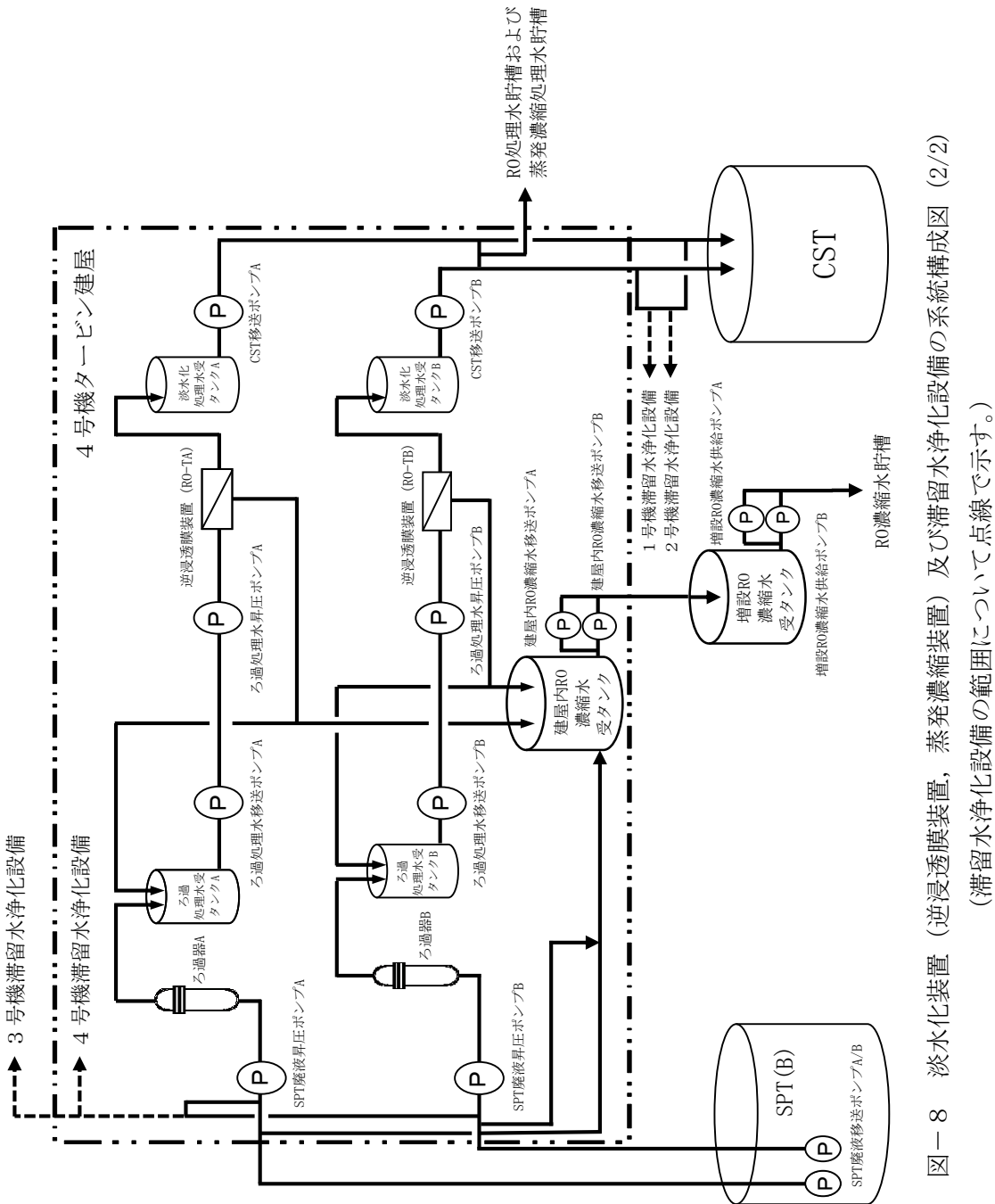


図-8 淡水化装置（逆浸透膜装置、蒸発濃縮装置）及び滯留水浄化設備の系統構成図（2/2）
(滯留水浄化設備の範囲について点線で示す。)

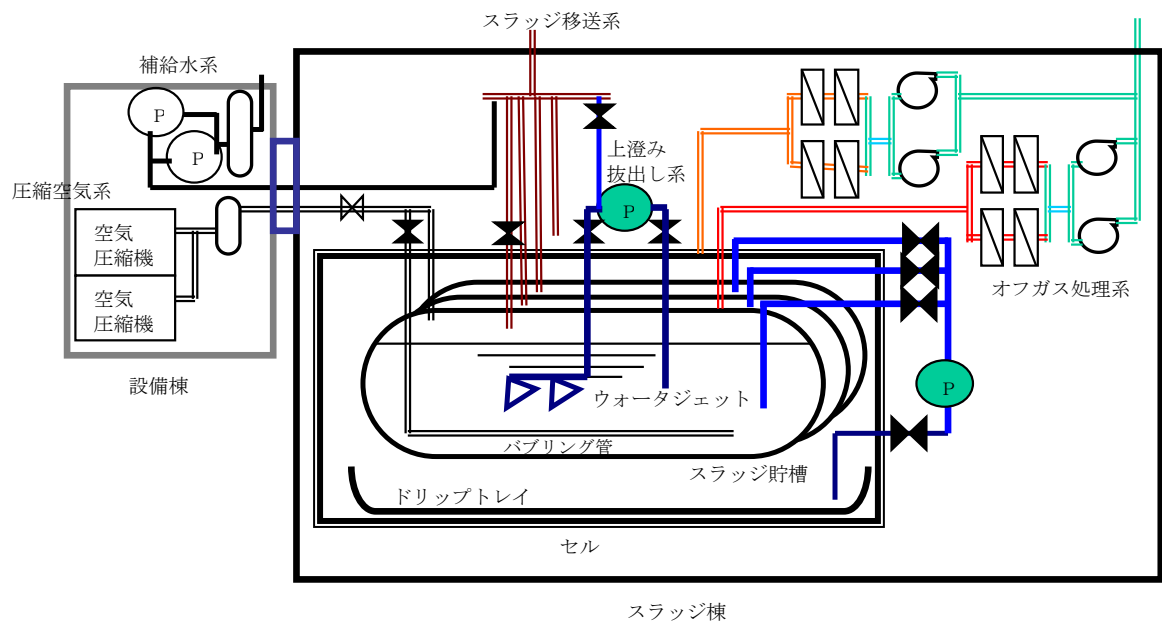


図-9 廃スラッジ一時保管施設概要図

建屋内 RO 循環設備および追設する関連機器の設計・確認の方針について

1. 基本設計

1.1 設置の目的

2. 5. 1. 5. 1 に示す汚染水処理設備等の設備構成のうち、建屋内 RO 循環設備は塩分を除去する逆浸透膜装置及びこれに付帯する設備を 4 号機タービン建屋 2 階に設置し、屋外に敷設している汚染水等の移送配管縮小による放射性物質の漏えいリスク低減や原子炉注水用の処理済水供給の信頼性向上を目的に設置する。

また、追設する関連機器は建屋内 RO にて生成された濃縮塩水を、RO 濃縮水貯槽まで淡水化装置（RO-3）をバイパスして移送できることを目的とし設置する。

1.2 要求される機能

- (1) 建屋内 RO 循環設備は、サプレッション・プール水サージタンク（以下、「SPT」という。）に供給される汚染水の塩分を除去し、原子炉注水系の水源である復水貯蔵タンク（以下、「CST」という。）、RO 処理水貯槽、および蒸発濃縮処理水貯槽に処理済水を移送できること。
- (2) 建屋内 RO で生成される濃縮塩水は、建屋内 RO 濃縮水受タンクに移送できること。
- (3) 追設する関連機器は建屋内 RO にて生成された濃縮塩水を建屋内 RO 濃縮水受タンクから RO-3 バイパスラインを介して、増設 RO 濃縮水受タンクに移送できること。

1.3 設計方針

(1) 処理能力

- a . 建屋内 RO 循環設備は、燃料の崩壊熱を除去するために必要な原子炉注水量を考慮した設計とする。
- b . 建屋内 RO は、原子炉注水に使用可能な塩化物イオン濃度まで低減可能な処理容量とする。
- c . 追設する関連機器の処理能力については「2. 5. 1. 3. 1 汚染水処理設備、貯留設備（タンク等）及び関連設備（移送配管、移送ポンプ等）の設計方針」のうち「(1) 処理能力」に示すとおり。

(2) 長期停止に対する考慮

- a . 建屋内 RO 循環設備は、故障により設備が長期間停止するがないように 2 系列設置する。
- b . 建屋内 RO 循環設備および追設する関連機器の電源は、異なる 2 系統の所内低圧母線

から受電可能な設計とする。

(3) 規格・規準

建屋内 RO 循環設備および追設する関連機器は、設計、材料の選定、製作及び検査について、JSME S NC-1 発電用原子力設備規格 設計・建設規格 (JSME 規格)、日本産業規格 (JIS 規格)、American Society of Mechanical Engineers (ASME 規格) 等^{※1}の適用、実績等により信頼性を確保する。

※1 「金属材料に関する規格」

- ・ JIS G 3456 高温配管用炭素鋼鋼管
- ・ JIS G 3459 配管用ステンレス鋼鋼管

「非金属材料に関する規格」

- ・ JIS K 6331 送水用ゴムホース（ウォーター ホース）
- ・ JIS K 6349 液圧用の鋼線又は繊維補強ゴムホース
- ・ JIS K 7011 構造用ガラス繊維強化プラスチック
- ・ JIS K 7012 ガラス繊維強化プラスチック製耐食貯槽
- ・ JWWA K144 水道配水用ポリエチレン管
- ・ ポリエチレンタンク協議会技術委員会 ポリエチレン製堅型耐食円筒型貯槽規格

「溶接に関する規格」

- ・ JSME S NB1 発電用原子力設備規格 溶接規格
- ・ JIS B 8285 圧力容器の溶接施工方法の確認試験
- ・ 日本鋼構造協会 JSS-I 溶接開先標準
- ・ JIS Z 3040 溶接施工方法の確認試験方法
- ・ JIS Z 3801 手溶接技術検定における試験方法及び判定基準
- ・ JIS Z 3841 半自動溶接技術検定における試験方法及び判定基準

(4) 放射性物質の漏えい発生防止及び漏えい拡大防止

建屋内 RO 循環設備および追設する関連機器は、液体状の放射性物質の漏えい対策として、次の各項を考慮した設計とする。

- a. 漏えいの発生を防止するため、建屋内 RO 循環設備および追設する関連機器には設置環境や内部流体の性状等に応じた適切な材料を使用するとともに、タンク水位の検出器、インターロック回路を設ける。
- b. 液体状の放射性物質が漏えいした場合に備え、機器周囲に堰等を設置することで漏えいの拡大を防止する。また、4号タービン建屋2階に設置する堰内等に漏えい検知器を設置し、早期検知を図る。
- c. タンク水位、漏えい検知等の警報は、免震重要棟に表示し、異常を確実に運転員に伝え適切な措置をとれるようにする。

- d. 追設する関連機器のうち、屋外に設置する堰内等へ堰内水位計の設置および巡視点検により、漏えいの早期検知を図る。

(5) 放射線遮へいに対する考慮

建屋内 RO 循環設備および追設する関連機器は、放射線業務従事者等の線量を低減する観点から、放射線を適切に遮へいする設計とする。

(6) 誤操作の防止に対する考慮

建屋内 RO 循環設備および追設する関連機器は、運転員の誤操作、誤判断を防止するために、特に重要な操作については、ダブルアクションを要する等の設計とする。

(7) 検査可能性に対する設計上の考慮

建屋内 RO 循環設備および追設する関連機器は、漏えい検査・通水検査等の設備の機能を確認するための検査が適切に実施できる設計とする。

(8) 放射線防護に係わる被ばく防止措置

- 建屋内 RO 循環設備および追設する関連機器は、作業における被ばく低減を図るため、必要に応じて機器周囲を遮へいする。
- 建屋内 RO 循環設備は、ろ過器の交換時における被ばく低減を図るため、逆洗可能な設計とする。

(9) 設備保全に対する考慮

建屋内 RO 循環設備および追設する関連機器は、機器の重要度に応じた有効な保全を計画し、実施が可能な設計とする。

(10) 監視・操作に対する考慮

建屋内 RO 循環設備および追設する関連機器は、免震重要棟において計器の監視、警報発報及び遠隔操作が可能な設計とする。

1.4 主要な機器

建屋内 RO 循環設備は、SPT 廃液移送ポンプ、SPT 廃液昇圧ポンプ、ろ過器、ろ過処理水受タンク、ろ過処理水移送ポンプ、ろ過処理水昇圧ポンプ、建屋内 RO、淡水化処理水受タンク、CST 移送ポンプ及び配管等の付帯設備で構成する。

SPT の貯留水は、SPT 廃液移送ポンプにより、4号機タービン建屋に移送し、SPT 廃液昇圧ポンプ及びろ過器を通して、ろ過処理水受タンクに一時貯留する。ろ過処理水受タンクの水は、ろ過処理水移送ポンプ及びろ過処理水昇圧ポンプにより、建屋内 RO を通して塩分を除去し、淡水化処理水受タンクを介して CST 移送ポンプにより CST、RO 処理水貯槽、お

および蒸発濃縮処理水貯槽に移送する。

また、追設する関連機器は建屋内 RO 濃縮水移送ポンプ、増設 RO 濃縮水供給ポンプ、建屋内 RO 濃縮水受タンク、増設 RO 濃縮水受タンク及び配管等で構成する。

建屋内 RO で生成される濃縮塩水は、建屋内 RO 濃縮水受タンクに移送し、建屋内 RO 濃縮水受タンク以降は、RO-3 バイパスラインから増設 RO 濃縮水受タンクを介して RO 濃縮水貯槽に移送される。

なお、運転系列は建屋内 RO を原則として使用することとし、蛇腹ハウス内に設置している淡水化装置（RO）に係る設備の内、耐震 S クラスに準拠した地震に対して系外漏えいが発生しないことを確認していない機器※については、堰内に可撓性のあるライニングを施工し、地震時の系外漏えいリスクを低減した上で、建屋内 RO 循環設備の計画外停止により、原子炉注水系保有水が不足する恐れがある場合に使用する。

※逆浸透膜装置（RO-3）、廃液 RO 供給タンク、廃液 RO 供給ポンプ、SPT 受入水タンク、SPT 受入水移送ポンプ、RO 濃縮水受タンク、RO 濃縮水供給ポンプ

1.5 自然災害対策等

(1) 津波

建屋内 RO 循環設備および追設する関連機器は、仮設防潮堤により、アウターライズ津波による浸水を防止する。また、アウターライズ津波を上回る津波の襲来に備え、大津波警報が出た際は、系統を停止し、隔離弁を閉止することで、汚染水の流出を防止する。なお、津波による配管損傷があった場合でも、系統を停止することで、汚染水の漏えいは限定的なものとなる。

(2) 風雨（豪雨・台風・竜巻）

建屋内 RO 循環設備および追設する関連機器のうち建屋内 RO 濃縮水移送ポンプ、建屋内 RO 濃縮水受タンクは、4 号機タービン建屋内に設置するため、風雨により設備の安全性が損なわれる可能性は低い。

追設する関連機器のうち屋外に設置する増設 RO 濃縮水供給ポンプ、増設 RO 濃縮水受タンクについては風雨により損傷を与える可能性がある場合、汚染水移送停止等の操作を行い、機器の損傷による汚染水漏えい防止を図る。

(3) 火災

建屋内 RO 循環設備および追設する関連機器は、火災発生防止及び火災影響軽減のため、実用上可能な限り不燃性又は難燃性材料を使用するとともに設備周辺から可能な限り可燃物を排除する。また、初期消火の対応ができるよう、設備近傍に消火器を設置する。なお、火災発生は、監視カメラ等により確認可能な設計とする。

2. 構造強度及び耐震性

2.1 構造強度

建屋内 RO 循環設備および追設する関連機器は, JSME S NC-1 発電用原子力設備規格 設計・建設規格 (JSME 規格), 日本産業規格 (JIS 規格), American Society of Mechanical Engineers (ASME 規格), 日本水道協会規格 (JWWA 規格), ポリエチレン製堅型耐食円筒型貯槽規格 (ポリエチレンタンク協議会技術委員会) に準拠する。

また, 耐圧ホースについては, 製造者仕様範囲内の圧力および温度で運用することで, 構造強度を有すると評価する。

2.2 耐震性

建屋内 RO 循環設備を構成する主要機器および追設する機器のうち, 移送ポンプ類, タンク類, 配管類 (鋼管) については, 耐震性評価の基本方針に基づき評価を実施する。

また, 耐圧ホース, ポリエチレン管は, 材料の可撓性により耐震性を確保する。

別紙

- (1) 建屋内 RO 循環設備および追設する関連機器の範囲
- (2) 建屋内 RO 循環設備および追設する関連機器の基本仕様
- (3) 建屋内 RO 循環設備および追設する関連機器の構造強度及び耐震性
- (4) 建屋内 RO 循環設備および追設する関連機器に係る確認事項
- (5) 建屋内 RO 循環設備の関連設備における耐震性
- (6) 淡水化装置 (R0-1A/B, R0-2) の撤去方法について

参考資料

- (1) 建屋内 RO 循環設備および追設する関連機器の具体的な安全確保策
- (2) 建屋内 RO 循環設備に係る放射性固体廃棄物発生量に関する評価
- (3) 建屋内 RO 循環設備および追設する関連機器の配置
- (4) 建屋内 RO 循環設備および追設する関連機器のスロッシング評価
- (5) 建屋内 RO 循環設備の関連設備におけるスロッシング評価

以上

建屋内 RO 循環設備および追設する関連機器の範囲

建屋内 RO 循環設備および追設する関連機器の範囲を図-1 に示す。

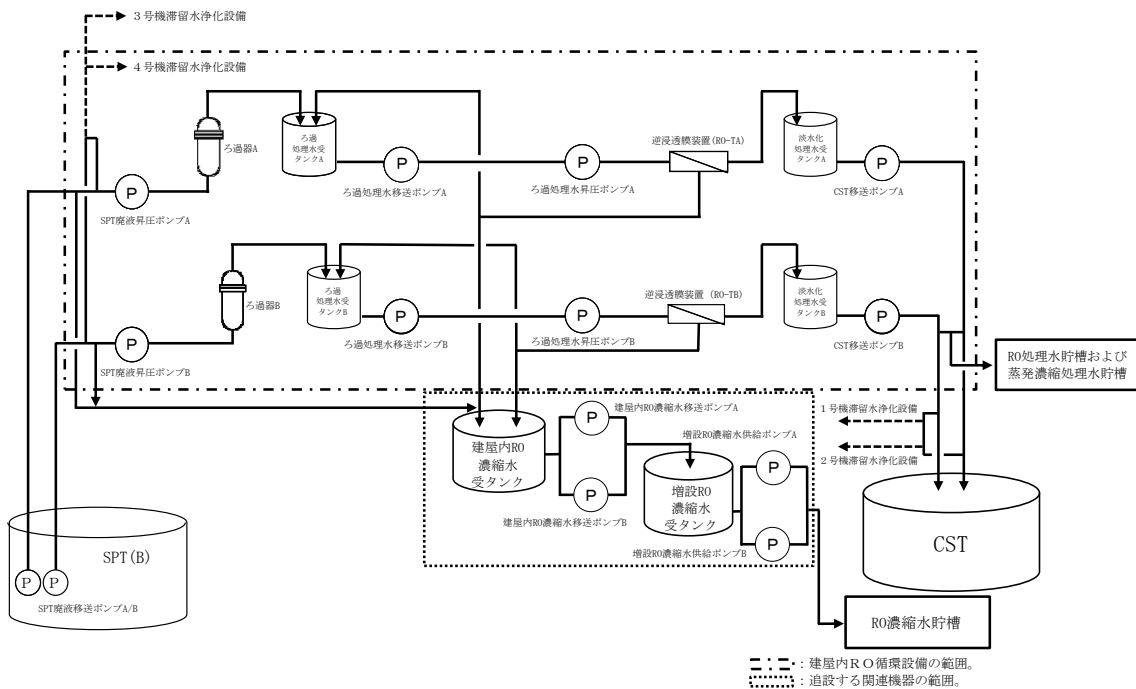


図-1 建屋内 RO 循環設備および追設する関連機器の範囲図

建屋内 RO 循環設備および追設する関連機器の基本仕様

(1) ろ過器

| 名 称 | | ろ過器 | |
|--------|---------------------|--------|------------------|
| 種 類 | — | たて置円筒形 | |
| 容 量 | m ³ /h/個 | 35 | |
| 最高使用圧力 | MPa | 0.98 | |
| 最高使用温度 | °C | 40 | |
| 主要寸法 | 上部胴内径 | mm | 750 |
| | 上部胴板厚さ | mm | 9.0 |
| | 下部胴内径 | mm | 750 |
| | 下部胴板厚さ | mm | 9.0 |
| | 上部胴フランジ厚さ | mm | 43.0 |
| | 下部胴フランジ厚さ | mm | 43.0 |
| | 鏡板厚さ | mm | 9.0 |
| | 高 さ | mm | 2251 |
| 管台寸法 | 原水入口 | mm | 外径 89.1×厚さ 5.5 |
| | ろ過処理水出口 | mm | 外径 89.1×厚さ 5.5 |
| 材 料 | 胴 板 | — | SM400A (ゴムライニング) |
| | 鏡 板 | — | SM400A (ゴムライニング) |
| | 胴フランジ | — | SF490A |
| | 管 台 | — | STPT410 |
| 個 数 | | — | 2 |

(2) ろ過処理水受タンク

| 名 称 | | ろ過処理水受タンク | |
|--------|-----------|--------------------------|------|
| 種 類 | | 一 たて置円筒形 | |
| 容 量 | | $\text{m}^3/\text{個}$ 10 | |
| 最高使用圧力 | | MPa 静水頭 | |
| 最高使用温度 | | °C 40 | |
| 主要寸法 | 胴内径 | mm | 2400 |
| | 胴板厚さ | mm | 9.0 |
| | 高 さ | mm | 3500 |
| 管台寸法 | ろ過処理水入口外径 | mm | 92 |
| | ろ過処理水出口外径 | mm | 162 |
| | 濃縮水戻り入口外径 | mm | 92 |
| 材 料 | | 強化プラスチック (FRP) | |
| 個 数 | | — 2 | |

(3) 建屋内 RO

| 名 称 | | 逆浸透膜装置ユニット | |
|--------|-------|--------------------------|----------------|
| 種 類 | | 逆浸透膜型 | |
| 容 量 | | m^3/h 35 | |
| 最高使用圧力 | | MPa 4.5 | |
| 最高使用温度 | | °C 40 | |
| 主要寸法 | た て | mm | 2500 |
| | 横 | mm | 8600 |
| | 高 さ | mm | 2500 |
| 材 料 | ハウジング | — | 強化プラスチック (FRP) |
| 個 数 | | — 2 | |

(4) 淡水化処理水受タンク

| 名 称 | | 淡水化処理水受タンク | |
|--------|----------|-------------------------|----------------|
| 種 類 | | 一 たて置円筒形 | |
| 容 量 | | m ³ /個 10 | |
| 最高使用圧力 | | MPa 静水頭 | |
| 最高使用温度 | | °C 40 | |
| 主要寸法 | 胴内径 | mm | 2500 |
| | 胴板厚さ | mm | 9.0 |
| | 底板厚さ | mm | 12.0 |
| | 高 さ | mm | 3800 |
| 管台寸法 | RO 処理水入口 | mm | 外径 89.1×厚さ 5.5 |
| | RO 処理水出口 | mm | 外径 89.1×厚さ 5.5 |
| 材料 | 胴 板 | — | SM400C |
| | 底 板 | — | SM400C |
| | 管 台 | — | STPT410 |
| 個 数 | | — | 2 |

(5) SPT 受入水タンク接続管台

| 名 称 | | SPT 受入水タンク接続管台 | |
|--------|--------|----------------|----------------|
| 最高使用圧力 | | MPa 大気圧 | |
| 最高使用温度 | | °C 66 | |
| 管台寸法 | 濃縮塩水受入 | mm | 外径 89.1×厚さ 5.5 |
| 材料 | 濃縮塩水受入 | — | STPT410 |

(6) 建屋内 RO 濃縮水受タンク

| 名 称 | | 建屋内 RO 濃縮水受タンク | |
|--------|-------|----------------|--------|
| 種 類 | | たて置円筒形（補強枠付属） | |
| 容 量 | | m^3 /個 30 | |
| 最高使用圧力 | | MPa 静水頭 | |
| 最高使用温度 | | °C 40 | |
| 主要寸法 | 胴外径 | mm | 2860 |
| | 胴板厚さ | mm | 16.0 |
| | 直胴部高さ | mm | 5250 |
| | 補強枠厚さ | mm | 7.0 |
| 材料 | 胴 板 | — | ポリエチレン |
| | 管 台 | — | ポリエチレン |
| | 補強枠 | — | SUS304 |
| 個 数 | | 1 | |

建屋内 RO 濃縮水受タンクは、保有水のバウンダリ機能をタンク本体で、耐震性をタンク補強枠により担保する。タンク補強枠は製作上生じる最低限の隙間部を除き、側面の全周を覆う設計とする。

(7) 増設 RO 濃縮水受タンク

| 名 称 | | 増設 RO 濃縮水受タンク | |
|--------|----------|---------------|-------------------|
| 種 類 | | たて置円筒形 | |
| 容 量 | | m^3 /個 30 | |
| 最高使用圧力 | | MPa 静水頭 | |
| 最高使用温度 | | °C 40 | |
| 主要寸法 | 胴内径 | mm | 3000 |
| | 胴板厚さ | mm | 9.0 |
| | 底板厚さ | mm | 12.0 |
| | 高 さ | mm | 5006 |
| 管台寸法 | RO 濃縮水入口 | mm | 外径 114.3 × 厚さ 6.0 |
| | RO 濃縮水出口 | mm | 外径 114.3 × 厚さ 6.0 |
| | 予備 | mm | 外径 114.3 × 厚さ 6.0 |
| | 予備 | mm | 外径 165.2 × 厚さ 7.1 |
| 材料 | 胴 板 | — | SUS316L |
| | 底 板 | — | SUS316L |
| | 管 台 | — | SUS316L |
| 個 数 | | 1 | |

以上

建屋内 RO 循環設備および追設する関連機器の構造強度及び耐震性

建屋内 RO 循環設備および追設する関連機器を構成する設備について、構造強度評価の基本方針及び耐震性評価の基本方針に基づき構造強度及び耐震性の評価を行う。

1. 基本方針

1.1 構造強度評価の基本方針

建屋内 RO 循環設備および追設する関連機器のうち、鋼材を使用しているタンク及び鋼管については、JSME S NC-1 発電用原子力設備規格 設計・建設規格（JSME 規格）のクラス3機器に準じた評価を行う。

建屋内 RO、ろ過処理水受タンクは、強化プラスチック材の容器のため、American Society of Mechanical Engineers (ASME 規格) 又は日本産業規格 (JIS 規格) に準拠したものを製造者仕様範囲内の圧力及び温度で運用することにより構造強度を有すると評価する。

建屋内 RO 濃縮水受タンクは、ポリエチレン材の容器のため、ポリエチレン製堅型耐食円筒型貯槽規格（ポリエチレンタンク協議会技術委員会）に準じた評価を行う。

ポリエチレン管は、日本水道協会規格 (JWWA 規格) に適合したものを適用範囲内で使用することで、構造強度を有すると評価する。また、耐圧ホースについては、製造者仕様範囲内の圧力及び温度で運用することで構造強度を有すると評価する。

1.2 耐震性評価の基本方針

建屋内 RO 循環設備および追設する関連機器のうち放射性物質を内包するものは、発電用原子炉施設に関する耐震設計審査指針のBクラス相当の設備と位置づけられる。耐震性評価にあたっては、JEAC4601 原子力発電所耐震設計技術規程、ポリエチレン製堅型耐食円筒型貯槽規格（ポリエチレンタンク協議会技術委員会）等に準拠することを基本とする。

また、各機器は必要な耐震性を確保するために、原則として以下の方針に基づき設計する。

- ・倒れ難い構造（機器等の重心を低くする、基礎幅や支柱幅を大きくとる）
- ・動き難い構造、外れ難い構造（機器をアンカ、溶接等で固定する）
- ・座屈が起こり難い構造
- ・変位による破壊を防止する構造（定ピッチスパン法等による配管サポート間隔の設定、配管等に可撓性のある材料を使用）

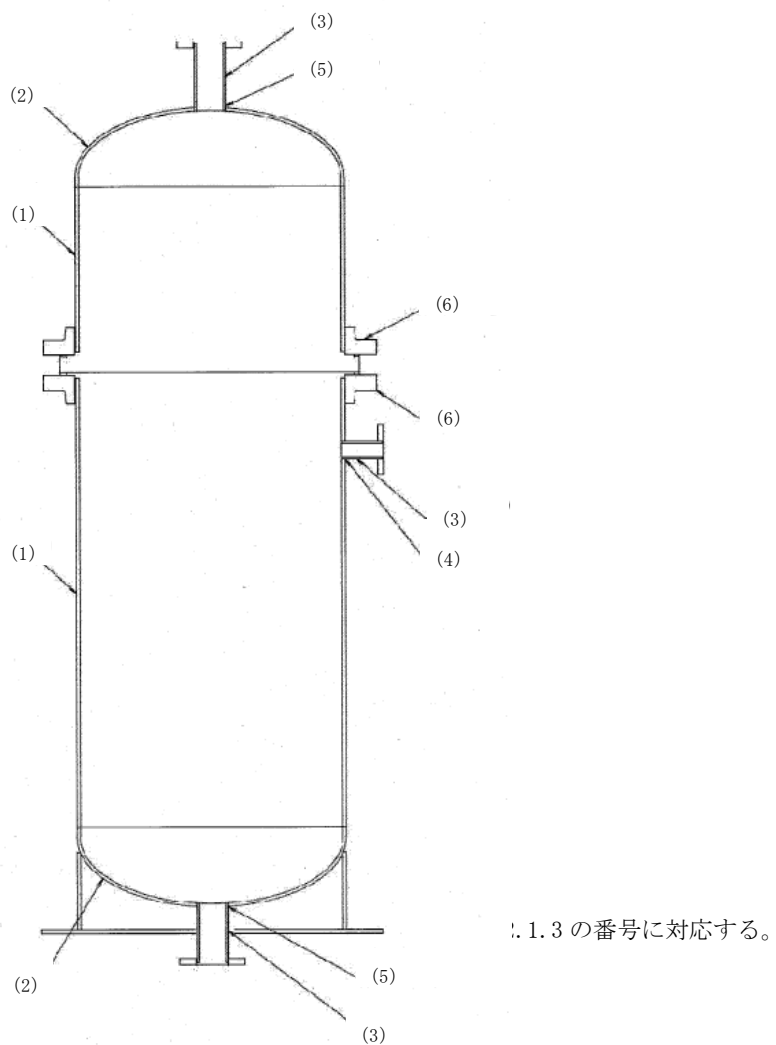
鋼管については、定ピッチスパン法で評価されるサポート間隔とする。なお、耐圧ホース、ポリエチレン管は、可撓性により耐震性を確保する。

2. 強度評価

2.1 ろ過器

2.1.1 評価箇所

強度評価箇所を図-1に示す。



2.1.2 評価方法 (JSME 規格, JIS 規格)

(1) 脊板の評価 (JSME 規格 PVD-3010 及び PVD-3110, PVC-3120)

脊板の必要な厚さは、次に掲げる値のうち、いずれか大きい方の値とする。

a. 脊板の規格上必要な最小厚さ : t_1

炭素鋼鋼板又は低合金鋼鋼板で作られたものの場合は 3mm, その他の材料で作られたものの場合は 1.5mm とする。

b. 脳板の計算上必要な厚さ : t_2

$$t_2 = \frac{P \cdot D_i}{2S \cdot \eta - 1.2P}$$

t_2 : 脳板の計算上必要な厚さ (mm)
 P : 最高使用圧力 (MPa)
 D_i : 脳の内径 (mm)
 S : 許容引張応力 (MPa)
 η : 繰手効率 (-)

(2) 鏡板の評価 (JSME 規格 PVD-3010 及び PVD-3110, PVC-3220 及び PVC-3225)

半だ円形鏡板の必要な厚さは、以下の計算式により計算した値のうち、いずれか大きい方の値とする。

a. 鏡板の計算上必要な厚さ : t_1

$$t_1 = \frac{P \cdot D \cdot K}{2S \cdot \eta - 0.2P}$$

t_1 : 鏡板の計算上必要な厚さ (mm)
 P : 最高使用圧力 (MPa)
 D : 鏡板の内面における長径 (mm)
 K : 半だ円型鏡板の形状による係数 (-)
 S : 許容引張応力 (MPa)
 η : 繰手効率 (-)

ここで、Kは次の計算式により計算した値とする。

$$K = \frac{1}{6} \cdot \left(2 + \left(\frac{D}{2h} \right)^2 \right)$$

D : 鏡板の内面における長径 (mm)
 h : 鏡板の内面における短径の 1/2 (mm)

b. 鏡板フランジ部の計算上必要な厚さ : t_2

$$t_2 = \frac{P \cdot D_i}{2S \cdot \eta - 1.2P}$$

t_2 : 鏡板フランジ部の計算上必要な厚さ (mm)
 P : 最高使用圧力 (MPa)
 D_i : 脳の内径 (mm)
 S : 許容引張応力 (MPa)
 η : 繰手効率 (-)

(3) 管台の評価 (JSME 規格 PVD-3010 及び PVD-3110, PVC-3610)

管台の必要な厚さは、次に掲げる値のうち、いずれか大きい方の値とする。

a. 管台の計算上必要な厚さ : t_1

t_1 : 管台の計算上必要な厚さ

$$t_1 = \frac{P \cdot D_0}{2S \cdot \eta + 0.8P}$$

D_0 : 管台の外径 (mm)

S : 許容引張応力 (MPa)

η : 繰手効率 (-)

b. 管台の規格上必要な最小厚さ : t_2

管台の外径に応じて JSME 規格 表 PVC-3610-1 より求めた管台の厚さとする。

(4) 脇板の補強を要しない穴の最大径の評価

(JSME 規格 PVD-3110, PVD-3120)

脇板の補強を要しない穴の最大径は、以下の計算式により計算した値のうち、いずれかとする。

a. 穴の径が 61mm 以下で、脇の内径の 1/4 以下の穴径。

d_{r1} : 補強を要しない穴の最大径 (mm)

$$d_{r1} = \frac{D - 2 \cdot t_s}{4}$$

D : 脇の外径 (mm)

t_s : 脇板の最小厚さ (mm)

b. a に掲げるものを除き、穴の径が 200mm 以下で、かつ、JSME 規格 図 PVD-3122-1 及び図 PVD-3122-2 により求めた値以下の穴径。

d_{r2} : 補強を要しない穴の最大径 (mm)

$$d_{r2} = 8.05 \cdot \sqrt[3]{D \cdot t_s \cdot (1-K)}$$

D : 脇の外径 (mm)

t_s : 脇板の最小厚さ (mm)

K : 脇板の形状による係数 (-)

ここで、K は脇板の場合、次の計算式により計算した値で、 $K > 0.99$ のときは、 $K = 0.99$ とする。

P : 最高使用圧力 (MPa)

$$K = \frac{P \cdot D}{1.82 S \cdot \eta \cdot t_s}$$

D : 脇の外径 (mm)

S : 許容引張応力 (MPa)

η : 繼手効率 (-)

t_s : 脇板の最小厚さ (mm)

(5) 鏡板の補強を要しない穴の最大径の評価 (JSME 規格 PVD-3110, PVD-3210)

鏡板の補強を要しない穴の最大径は、以下の計算式により計算した値のうち、いずれかとする。

a. 穴の径が 61mm 以下で、鏡板の内径の 1/4 以下の穴径。

$$d_{r1} = \frac{D - 2 \cdot t_c}{4}$$

d_{r1} : 補強を要しない穴の最大径 (mm)
 D : 鏡板の外径 (mm)
 t_c : 鏡板の最小厚さ (mm)

b. a に掲げるものを除き、穴の径が 200mm 以下で、かつ、JSME 規格 図 PVD-3122-1 及び図 PVD-3122-2 により求めた値以下の穴径。

$$d_{r2} = 8.05 \cdot \sqrt[3]{D \cdot t_c \cdot (1-K)}$$

d_{r2} : 補強を要しない穴の最大径 (mm)
 D : 鏡板の外径 (mm)
 t_c : 鏡板の最小厚さ (mm)
 K : 鏡板の形状による係数 (-)

ここで、K は鏡板の場合、次の計算式により計算した値で、 $K > 0.99$ のときは、 $K = 0.99$ とする。

$$K = \frac{P \cdot D}{1.82 S \cdot \eta \cdot t_c}$$

P : 最高使用圧力 (MPa)
 D : 鏡板の外径 (mm)
 S : 許容引張応力 (MPa)
 η : 繰手効率 (-)
 t_c : 鏡板の最小厚さ (mm)

(6) ろ過器胴フランジの評価 (JSME 規格 PVD-3010, PVC-3710, JIS 規格 JIS B 8265)

ろ過器胴フランジ強度は、以下 a ~ f の計算式により計算した値とする。

a . ボルトの総有効断面積 : $A_b > A_m$ であること。

①ガスケット座の有効幅 : b (mm)

$$b = b_0 \quad b_0 = \frac{N}{2}$$

b : ガスケット座の有効幅 (mm)
N : ガスケット接触面の幅 (mm)

②ガスケット反力円の直径 : G (mm)

$$G = G_s - N$$

G : ガスケット反力円の直径 (mm)
G_s : ガスケット接触面の外径 (mm)

③使用状態の必要な最小ボルト荷重 : W_{m1} (N)

$$W_{m1} = H + H_p$$

W_{m1} : 使用状態の必要な最小ボルト荷重 (N)
 π : 円周率 (-)
 b : ガスケット座の有効幅 (mm)
 G : ガスケット反力円の直径 (mm)
 $H = \frac{\pi}{4} \cdot G^2 \cdot P$
 m : ガスケット係数 (-)
 P : 最高使用圧力 (MPa)
 $H_p = 2 \cdot \pi \cdot b \cdot G \cdot m \cdot P$
 H : フランジに加わる全荷重 (N)
 H_p : ガスケットまたは継手接触面に加わる
 圧縮力 (N)

④ガスケット締付時の必要なボルト荷重 : W_{m2} (N)

$$W_{m2} = \pi \cdot b \cdot G \cdot y$$

W_{m2} : ガスケット締付時の必要なボルト荷重 (N)
 π : 円周率 (-)
 b : ガスケット座の有効幅 (mm)
 G : ガスケット反力円の直径 (mm)
 y : ガスケットの最小締付け圧力 (MPa)

⑤必要なボルトの総有効断面積 : A_m (mm^2)

$$A_m = M_a \times (A_{m1}, A_{m2})$$

$$A_{m1} = \frac{W_{m1}}{\sigma_b}$$

$$A_{m2} = \frac{W_{m2}}{\sigma_a}$$

A_m : 必要なボルトの総有効断面積 (mm^2)
 W_{m1} : 使用状態の必要な最小ボルト荷重 (N)
 W_{m2} : ガスケット締付時の必要なボルト荷重 (N)
 σ_b : 最高使用温度におけるボルト材料の許容引張応力 (MPa)
 σ_a : 常温におけるボルト材料の許容引張応力 (MPa)
 A_{m1} : 使用状態のボルトの総有効断面積 (mm^2)
 A_{m2} : ガスケット締付時のボルトの総有効断面積 (mm^2)

⑥実際に使用するボルトの総有効断面積 : A_b (mm^2)

$$A_b = \frac{\pi}{4} \cdot d_b^2 \cdot n$$

A_b : 実際に使用するボルトの総有効断面積 (mm^2)
 π : 円周率 (-)
 d_b : ボルトネジ部の谷径と軸部の径の最小部の
 小さい方の径 (mm)
 n : ボルトの本数 (本)

b. フランジハブの軸方向応力

使用状態のフランジハブの軸方向応力 : $\sigma_H \leq 1.5 \sigma_f$, $\sigma_H \leq 1.5 \sigma_n$ であること。

ガスケット締付時のフランジハブの軸方向応力 : $\sigma_H \leq 1.5 \sigma_{fa}$, $\sigma_H \leq 1.5 \sigma_{na}$ であること。

①使用状態のボルト荷重 : W_0 (N)

$$W_0 = W_{m1}$$

W_0 : 使用状態のボルト荷重 (N)
 W_{m1} : 使用状態の最小ボルト荷重 (N)

②ガスケット締付時のボルト荷重 : W_g (N)

$$W_g = \frac{(A_m + A_b) \cdot \sigma_a}{2}$$

W_g : ガスケット締付時のボルト荷重 (N)
 A_m : ボルトの総有効断面積 (mm^2)
 A_b : 実際に使用するボルトの総有効断面積 (mm^2)
 σ_a : 常温におけるボルト材料の許容引張応力 (MPa)

③フランジ内径面に加わる全荷重 : H_D (N)

H_D : フランジ内径面に加わる全荷重 (N)

$$H_D = \frac{\pi}{4} \cdot B^2 \cdot P$$

π : 円周率 (-)

B : フランジの内径 (mm)

P : 最高使用圧力 (MPa)

④ガスケット荷重 : H_G (N)

H_G : ガスケット荷重 (N)

$$H_G = W_0 - H$$

W_0 : 使用状態のボルト荷重 (N)

H : フランジに加わる全荷重 (N)

⑤フランジに加わる全荷重とフランジ内径面に加わる荷重との差 : H_T (N)

H_T : フランジに加わる全荷重とフランジ内径面に加わる

$$H_T = H - H_D$$

荷重との差 (N)

H : フランジに加わる全荷重 (N)

H_D : フランジ内径面に加わる全荷重 (N)

⑥ボルト穴の中心円から H_D 作用点までの半径方向の距離 : h_D (mm)

(H_D : フランジ内径面に加わる全荷重 (N))

$$h_D = \frac{C - B}{2}$$

h_D : ボルト穴の中心円から H_D 作用点までの半径方向の距離 (mm)

C : ボルト穴の中心円の直径 (mm)

B : フランジの内径 (mm)

⑦ボルト穴の中心円から H_G 作用点までの半径方向の距離 : h_G (mm)

(H_G : ガスケット荷重 (N))

$$h_G = \frac{C - G}{2}$$

h_G : ボルト穴の中心円から H_G 作用点までの半径方向の距離 (mm)

C : ボルト穴の中心円の直径 (mm)

G : ガスケット反力円の直径 (mm)

⑧ボルト穴の中心円からH_T作用点までの半径方向の距離 : h_T (mm)

(H_T : フランジに加わる全荷重とフランジの内径面に加わる荷重との差 (N))

$$h_T = \frac{h_D + h_G}{2}$$

h_T : ボルト穴の中心円からH_T作用点までの半径方向の距離 (mm)

h_D : ボルト穴の中心円からH_D作用点までの半径方向の距離 (mm)

h_G : ボルト穴の中心円からH_G作用点までの半径方向の距離 (mm)

⑨フランジ内径面に加わる荷重によるモーメント : M_D (N・mm)

$$M_D = H_D \cdot h_D$$

M_D : フランジ内径面に加わる荷重によるモーメント (N・mm)

H_D : フランジ内径面に加わる全荷重 (N)

h_D : ボルト穴の中心円からH_D作用点までの半径方向の距離 (mm)

⑩ガスケット荷重によるモーメント : M_G (N・mm)

$$M_G = H_G \cdot h_G$$

M_G : ガスケット荷重によるモーメント (N・mm)

H_G : ガスケット荷重 (N)

h_G : ボルト穴の中心円からH_G作用点までの半径方向の距離 (mm)

⑪フランジに加わる全荷重とフランジ内径面に加わる荷重との差によるモーメント : M_T (N・mm)

$$M_T = H_T \cdot h_T$$

M_T : フランジに加わる全荷重とフランジ内径面に加わる荷重との差

によるモーメント (N・mm)

H_T : フランジに加わる全荷重とフランジの内径面に加わる荷重との差 (N)

h_T : ボルト穴の中心円からH_T作用点までの半径方向の距離 (mm)

⑫使用状態のフランジに作用するモーメント : M₀ (N・mm)

$$M_0 = M_D + M_G + M_T$$

M₀ : 使用状態のフランジに作用するモーメント (N・mm)

M_D : フランジ内径面に加わる荷重によるモーメント (N・mm)

M_G : ガスケット荷重によるモーメント (N・mm)

M_T : フランジに加わる全荷重とフランジ内径面に加わる荷重との差

によるモーメント (N・mm)

⑬ガスケット締付時のフランジに作用するモーメント : M_g (N・mm)

$$M_g = W_g \cdot \left(\frac{C - G}{2} \right)$$

M_g : ガスケット締付時のフランジに作用するモーメント (N・mm)
 W_g : ガスケット締付時のボルト荷重 (N)
C : ボルト穴の中心円の直径 (mm)
G : ガスケット反力円の直径 (mm)

⑭使用状態のフランジハブの軸方向応力 : σ_H (MPa)

最高使用温度におけるフランジ材料の許容引張応力 : σ_f (MPa)

最高使用温度における管台または胴材料の許容引張応力 : σ_n (MPa)

$$\sigma_H = \frac{f \cdot M_0}{L \cdot g_i^2 \cdot B}$$

σ_H : 使用状態のフランジハブの軸方向応力 (MPa)
f : ハブ応力修正係数 (-)
 M_0 : 使用状態のフランジに作用するモーメント (N・mm)
L : 係数 (-)
 $\sigma_H \leq 1.5 \sigma_f$
 g_i : フランジ背面のハブの厚さ (mm)
B : フランジの内径 (mm)
 $\sigma_H \leq 1.5 \sigma_n$

⑮ガスケット締付時のフランジハブの軸方向応力 : σ_H (MPa)

常温におけるフランジ材料の許容引張応力 : σ_{fa} (MPa)

常温における管台または胴材料の許容引張応力 : σ_{na} (MPa)

$$\sigma_H = \frac{f \cdot M_g}{L \cdot g_i^2 \cdot B}$$

σ_H : ガスケット締付時のフランジハブの軸方向応力 (MPa)
f : ハブ応力修正係数 (-)
 M_g : ガスケット締付時のフランジに作用する
モーメント (N・mm)
L : 係数 (-)
 g_i : フランジ背面のハブの厚さ (mm)
 $\sigma_H \leq 1.5 \sigma_{fa}$
 $\sigma_H \leq 1.5 \sigma_{na}$
B : フランジの内径 (mm)

c. フランジの半径方向応力

使用状態のフランジの半径方向応力 : $\sigma_R \leq \sigma_f$ であること。

ガスケット締付時のフランジの半径方向応力 : $\sigma_R \leq \sigma_{fa}$ であること。

①～⑬は、前項 b と同じ。

⑭ 使用状態のフランジの半径方向応力 : σ_R (MPa)

最高使用温度におけるフランジ材料の許容引張応力 : σ_f (MPa)

$$\sigma_R = \frac{(1.33 \cdot t \cdot e + 1) \cdot M_0}{L \cdot t^2 \cdot B}$$

σ_R : 使用状態のフランジの半径方向応力 (MPa)

t : フランジの厚さ (mm)

e : 係数 (mm^{-1})

M_0 : 使用状態のフランジに作用するモーメント (N・mm)

L : 係数 (-)

B : フランジの内径 (mm)

⑮ ガスケット締付時のフランジの半径方向応力 : σ_R (MPa)

常温におけるフランジ材料の許容引張応力 : σ_{fa} (MPa)

$$\sigma_R = \frac{(1.33 \cdot t \cdot e + 1) \cdot M_g}{L \cdot t^2 \cdot B}$$

σ_R : ガスケット締付時のフランジの半径方向応力 (MPa)

t : フランジの厚さ (mm)

e : 係数 (mm^{-1})

M_g : ガスケット締付時のフランジに作用する
モーメント (N・mm)

L : 係数 (-)

B : フランジの内径 (mm)

d. フランジの周方向応力

使用状態のフランジの周方向応力 : $\sigma_T \leq \sigma_f$ であること。

ガスケット締付時のフランジの周方向応力 : $\sigma_T \leq \sigma_{fa}$ であること。

⑪～⑬は、前項 b と同じ。

⑭ 使用状態のフランジの周方向応力 : σ_T (MPa)

最高使用温度におけるフランジ材料の許容引張応力 : σ_f (MPa)

$$\sigma_T = \frac{Y \cdot M_0}{t^2 \cdot B} - Z \cdot \sigma_R$$

σ_T : 使用状態のフランジの周方向応力 (MPa)

Y : 係数 (-)

M_0 : 使用状態のフランジに作用するモーメント (N・mm)

t : フランジの厚さ (mm)

B : フランジの内径 (mm)

Z : 係数 (-)

σ_R : 使用状態のフランジの半径方向応力 (MPa)

⑮ ガスケット締付時のフランジの周方向応力 : σ_T (MPa)

常温におけるフランジ材料の許容引張応力 : σ_{fa} (MPa)

$$\sigma_T = \frac{Y \cdot M_g}{t^2 \cdot B} - Z \cdot \sigma_R$$

σ_T : ガスケット締付時のフランジの周方向応力 (MPa)

Y : 係数 (-)

M_g : ガスケット締付時のフランジに作用するモーメント (N・mm)

t : フランジの厚さ (mm)

B : フランジの内径 (mm)

Z : 係数 (-)

σ_R : ガスケット締付時のフランジの半径方向応力 (MPa)

e. フランジハブの軸方向とフランジの半径方向応力の平均

平均値 $\leq \sigma_f$, 平均値 $\leq \sigma_{fa}$ であること。

①使用状態のフランジハブの軸方向とフランジの半径方向応力の平均 : (MPa)

最高使用温度におけるフランジ材料の許容引張応力 : σ_f (MPa)

σ_f : 最高使用温度におけるフランジ材料の許容引張応力 (MPa)

$$\frac{\sigma_H + \sigma_R}{2} \leq \sigma_f$$

σ_H : 使用状態のフランジハブの軸方向応力 (MPa)

σ_R : 使用状態のフランジの半径方向応力 (MPa)

②ガスケット締付時のフランジハブの軸方向とフランジの半径方向応力の平均 :

(MPa)

常温におけるフランジ材料の許容引張応力 : σ_{fa} (MPa)

σ_{fa} : 常温におけるフランジ材料の許容引張応力 (MPa)

$$\frac{\sigma_H + \sigma_R}{2} \leq \sigma_{fa}$$

σ_H : ガスケット締付時のフランジハブの軸方向応力 (MPa)

σ_R : ガスケット締付時のフランジの半径方向応力 (MPa)

f. フランジハブの軸方向とフランジの周方向応力の平均

平均値 $\leq \sigma_f$, 平均値 $\leq \sigma_{fa}$ であること。

①使用状態のフランジハブの軸方向とフランジの周方向応力の平均 : (MPa)

最高使用温度におけるフランジ材料の許容引張応力 : σ_f (MPa)

σ_f : 最高使用温度におけるフランジ材料の許容引張応力 (MPa)

$$\frac{\sigma_H + \sigma_T}{2} \leq \sigma_f$$

σ_H : 使用状態のフランジハブの軸方向応力 (MPa)

σ_T : 使用状態のフランジの周方向応力 (MPa)

②ガスケット締付時のフランジハブの軸方向とフランジの周方向応力の平均 :

(MPa)

常温におけるフランジ材料の許容引張応力 : σ_{fa} (MPa)

σ_{fa} : 常温におけるフランジ材料の許容引張応力 (MPa)

$$\frac{\sigma_H + \sigma_T}{2} \leq \sigma_{fa}$$

σ_H : ガスケット締付時のフランジハブの軸方向応力 (MPa)

σ_T : ガスケット締付時のフランジの周方向応力 (MPa)

2.1.3 評価結果

評価結果を表-1～4に示す。必要厚さ等を満足しており、十分な構造強度を有すると評価した。

表-1 ろ過器 評価結果（板厚）

| 機器名称 | 評価項目 | 必要厚さ (mm) | 最小厚さ (mm) |
|------|--------------|------------|-----------|
| ろ過器 | (1)胴板の厚さ | 5.30 | 5.30 以上 |
| | (2)鏡板の厚さ | 3.70 | 3.70 以上 |
| | (3)管台の 厚さ | 原水入口 | 3.00 |
| | | ろ過処理水出口 | 3.00 |
| | | 逆洗ベント・空気入口 | 2.20 |

表-2 ろ過器 評価結果（補強要否）

| 機器名称 | 評価項目 | 補強を要しない穴の 最大径 (mm) | 穴の径 (mm) |
|------|-------|-----------------------|-------------|
| ろ過器 | (4)胴板 | 99.22 | 99.22 以下 |
| | (5)鏡板 | 83.65 | 83.65 以下 |

表-3 ろ過器 評価結果（ボルトの総有効断面積）

| 機器名称 | 評価項目 | 必要な ボルトの総有効断 面積 (mm ²) | 実際に使用する ボルトの総有効断 面積 (mm ²) |
|------|-------------------|--|--|
| ろ過器 | (6) a. ボルトの総有効断面積 | 2992 | 2992 以上 |

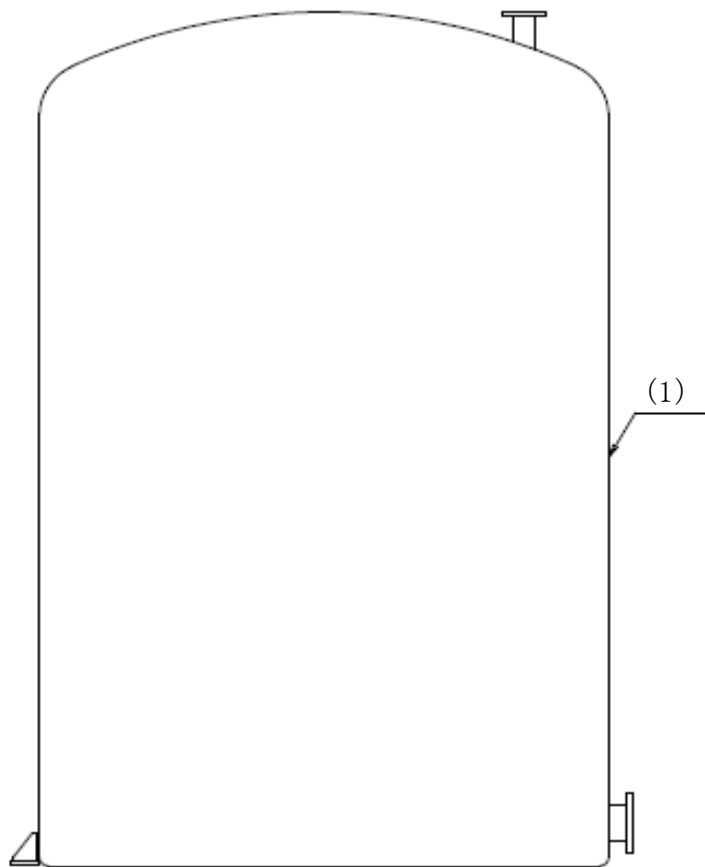
表－4 ろ過器 評価結果（胴フランジ応力）

| 機器名 称 | 評価項目 | 計算上の 胴フランジに加 わる応力 (MPa) | フランジの材料 等の許容引張 応力 (MPa) |
|----------|---|-------------------------------|-------------------------------|
| ろ過器 | (6) b. 使用状態のフランジハブの軸方向応力 | 28 | 28 以上 |
| | (6) b. ガスケット締付時のフランジハブの軸 方向応力 | 37 | 37 以上 |
| | (6) c. 使用状態のフランジの半径方向応力 | 30 | 30 以上 |
| | (6) c. ガスケット締付時のフランジの半径方 向応力 | 40 | 40 以上 |
| | (6) d. 使用状態のフランジの周方向応力 | 76 | 76 以上 |
| | (6) d. ガスケット締付時のフランジの周方向 応力 | 102 | 102 以上 |
| | (6) e. 使用状態のフランジハブの軸方向応力 とフランジの半径方向応力の平均 | 29 | 29 以上 |
| | (6) e. ガスケット締付時のフランジハブの軸 方向応力とフランジの半径方向応力の平均 | 39 | 39 以上 |
| | (6) f. 使用状態のフランジハブの軸方向応力 とフランジの周方向応力の平均 | 52 | 52 以上 |
| | (6) f. ガスケット締付時のフランジハブの軸 方向応力とフランジの周方向応力の平均 | 70 | 70 以上 |

2.2 ろ過処理水受タンク

2.2.1 評価箇所

強度評価箇所を図-2に示す。



図中の番号は、2.2.2、2.2.3の番号に対応する。

図-2 ろ過処理水受タンク概要図

2.2.2 評価方法 (JIS 規格 JIS K 7012)

(1) 材料 (FRP) の評価

FRP の強度は、JIS 規格 JIS K 7012 に規定され、JSME 規格 PVD-3010 及び PVD-3110, PVC-3920 の評価手法により、評価する。

a. 構造

ろ過処理水受タンクの構造は、たて置き円筒形とする。

b. 強度評価

胴板の必要な厚さは、以下の計算式により計算した値とする。

胴板の計算上必要な厚さ : t_1

D_i : 胴の内径 (m)

H : 水頭 (m)

$$t_1 = \frac{D_i \cdot H \cdot \rho}{0.204 \cdot S \cdot \eta}$$

ρ : 液体の比重。ただし、1未満の場合は、1とする。

S : 許容引張応力 (MPa)

η : 繼手効率 (-)

2.2.3 評価結果

評価結果を表-5に示す。必要厚さを満足しており、十分な構造強度を有すると評価した。

表-5 ろ過処理水受タンク 評価結果（板厚）

| 機器名称 | 評価項目 | 必要厚さ (mm) | 最小厚さ (mm) |
|-----------|-----------|-----------|-----------|
| ろ過処理水受タンク | (1) 胴板の厚さ | 2.30 | 2.30 以上 |

2.3 建屋内 RO

2.3.1 評価方法

建屋内 RO は、ASME 規格に準拠したものを製造者仕様範囲内の圧力及び温度で運用することにより構造強度を有すると評価する。

2.3.2 評価結果

評価結果を表－6 に示す。製造者仕様範囲内の圧力及び温度を満足しており、十分な構造強度を有すると評価した。

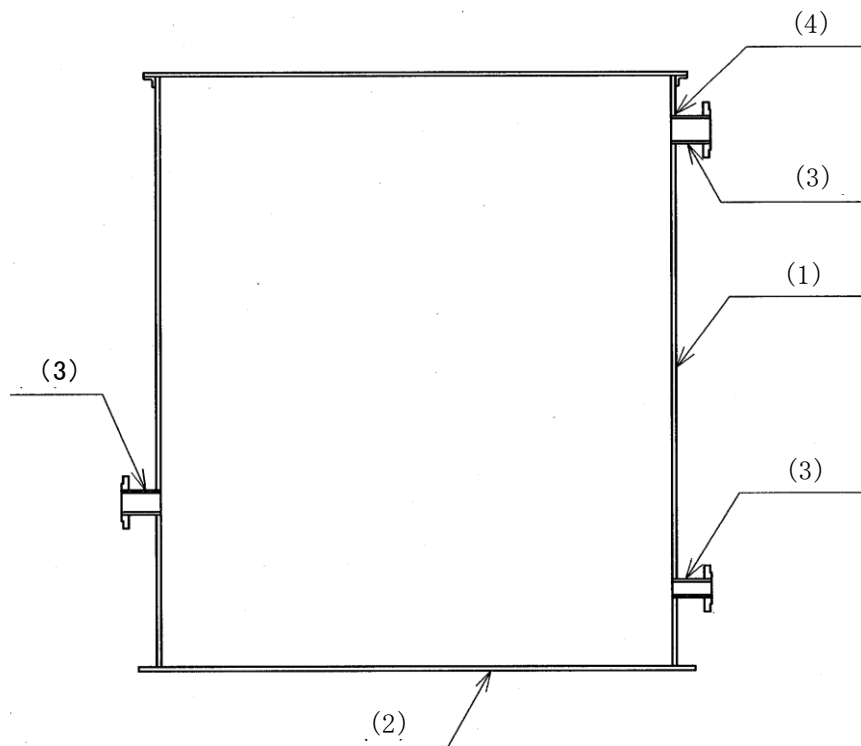
表－6 建屋内 RO 評価結果（製造者仕様範囲内の圧力及び温度）

| 機器名称 | 製造者仕様 最高使用圧力 (MPa) | 製造者仕様 最高使用温度 (°C) | 最高使用圧力 (MPa) | 最高使用温度 (°C) |
|--------|-----------------------|----------------------|-----------------|----------------|
| 建屋内 RO | 6.9 | 49 | 4.5 以下 | 40 以下 |

2.4 淡水化処理水受タンク

2.4.1 評価箇所

強度評価箇所を図-3に示す。



図中の番号は、2.4.2, 2.4.3の番号に対応する。

図-3 淡水化処理水受タンク概要図

2.4.2 評価方法 (JSME 規格)

(1) 開放タンクの胴板の評価 (JSME 規格 PVD-3010 及び PVD-3110, PVC-3920)

胴板の必要な厚さは、次に掲げる値のうち、いずれか大きい値とする。

a. 胴板の規格上必要な最小厚さ : t_1

炭素鋼鋼板又は低合金鋼鋼板で作られたものの場合は 3mm, その他の材料で作られたものの場合は 1.5mm とする。

b. 胴板の計算上必要な厚さ : t_2

D_i : 胴の内径 (m)

H : 水頭 (m)

$$t_2 = \frac{D_i \cdot H \cdot \rho}{0.204 \cdot S \cdot \eta}$$

ρ : 液体の比重。ただし、1未満の場合は、1とする。

S : 許容引張応力 (MPa)

η : 繰手効率 (-)

c. 脇の内径に応じた必要厚さ : t_3

脇の内径の区分に応じ JSME 規格 表 PVC-3920-1 より求めた脇の厚さとする。

(2) 開放タンクの底板の評価 (JSME 規格 PVD-3010 及び PVD-3110, PVC-3960(1), 3970(1))

a. 底板の形：平板

b. 底板の厚さ

地面、基礎等に直接接触する底板の厚さは、3mm 以上であること。

(3) 開放タンクの管台の評価 (JSME 規格 PVD-3010 及び PVD-3110, PVC-3980)

管台の必要な厚さは、次に掲げる値のうち、いずれか大きい値とする。

a. 管台の計算上必要な厚さ : t_1

D_i : 管台の内径 (m)

H : 水頭 (m)

$$t_1 = \frac{D_i \cdot H \cdot \rho}{0.204 \cdot S \cdot \eta}$$

ρ : 液体の比重。ただし、1 未満の場合は、1 とする。

S : 許容引張応力 (MPa)

η : 繼手効率 (-)

b. 管台の規格上必要な最小厚さ : t_2

管台の外径に応じて JSME 規格 表 PVC-3980-1 より求めた管台の厚さとする。

(4) 開放タンクの脇板の穴の補強評価

(JSME 規格 PVD-3010 及び PVD-3110, PVC-3950, PVD-3512)

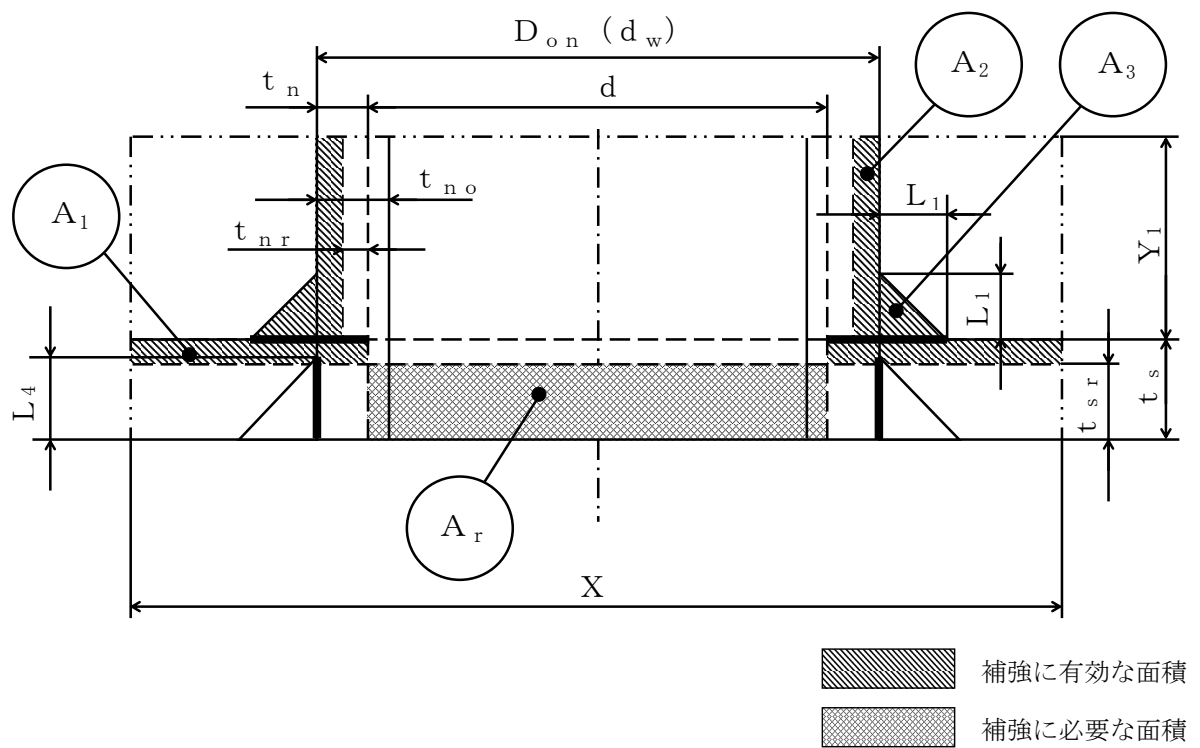
a. 穴の径（円形の穴については直径、だ円形の穴については、長径をいう）が 85mm を超える場合は、穴を補強すること。

b. 補強に有効な範囲内にある補強に有効な面積が、補強に必要な面積より大きくなるようにすること。（図-4 参照）

c. 大きい穴の補強を要しない最大径

内径が 1500mm 以下の脇に設ける穴の径が脇の内径の 2 分の 1 (500mm を超える場合は、500mm) 以下および内径が 1500mm を超える脇に設ける穴の径が脇の内径の 3 分の 1 (1000mm を超える場合は、1000mm) 以下の場合は、大きい穴の補強計算は必要ない。

d. 溶接部の強度として、予想される破断箇所の強さが、溶接部の負うべき荷重以上であること。（図-4 参照）



d : 穴の径 (mm)

X, Y_1 : 補強の有効範囲 (mm)

d_w : 管台が取り付く穴の径 (mm)

L_1, L_4 : 溶接の脚長 (mm)

D_{on} : 管台の外径 (mm)

A_r : 補強に必要な面積 (mm^2)

t_s : 脊板の最小厚さ (mm)

A_0 : 補強に有効な面積 ($= A_1 + A_2 + A_3$) (mm^2)

t_{sr} : 脊板の計算上必要な厚さ (mm)

t_n : 管台の最小厚さ (mm)

t_{nr} : 管台の計算上必要な厚さ (mm)

t_{no} : 管台の呼び厚さ (mm)

図-4 補強計算概要図

2.4.3 評価結果

評価結果を表-7～8に示す。必要厚さ等を満足しており、十分な構造強度を有すると評価した。

表-7 淡水化処理水受タンク 評価結果（板厚）

| 機器名称 | 評価項目 | | 必要厚さ (mm) | 最小厚さ (mm) |
|----------------|----------|----------|-----------|-----------|
| 淡水化処理 水受タンク | (1)胴板の厚さ | | 3.00 | 3.00 以上 |
| | (2)底板の厚さ | | 3.00 | 3.00 以上 |
| | (3)管台 | オーバーフロー | 3.50 | 3.50 以上 |
| | | RO 処理水出口 | 3.50 | 3.50 以上 |
| | | ドレン | 2.40 | 2.40 以上 |

表-8 淡水化処理水受タンク 評価結果（胴板の穴の補強）

| 機器名称 | 評価項目 | 評価結果 | |
|----------------|--------------------|--------------------------------|---------------------------------|
| 淡水化処理 水受タンク | (4)胴板 (RO 処理水出口) | 穴の補強の有無 (mm) | 穴の径 (mm) |
| | (4)胴板 (ドレン) | 85mm を超える | 85mm 以下※1 |
| | (4)胴板 (オーバーフロー) | 穴の補強の有無 (mm) | 穴の径 (mm) |
| | | 85mm を超える | 85mm を超える |
| | | 補強に必要な面積 (mm ²) | 補強に有効な総面積 (mm ²) |
| | | 48.98 | 48.98 以上 |
| | | 大きな穴の補強を要し ない最大径 (mm) | 穴の径 (mm) |
| | | 834 | 834 以下 |
| | 溶接部の負うべき 荷重 (N) | 予想される破断 箇所の強さ (N) | |
| | | -5.930 × 10 ⁴ | —※2 |

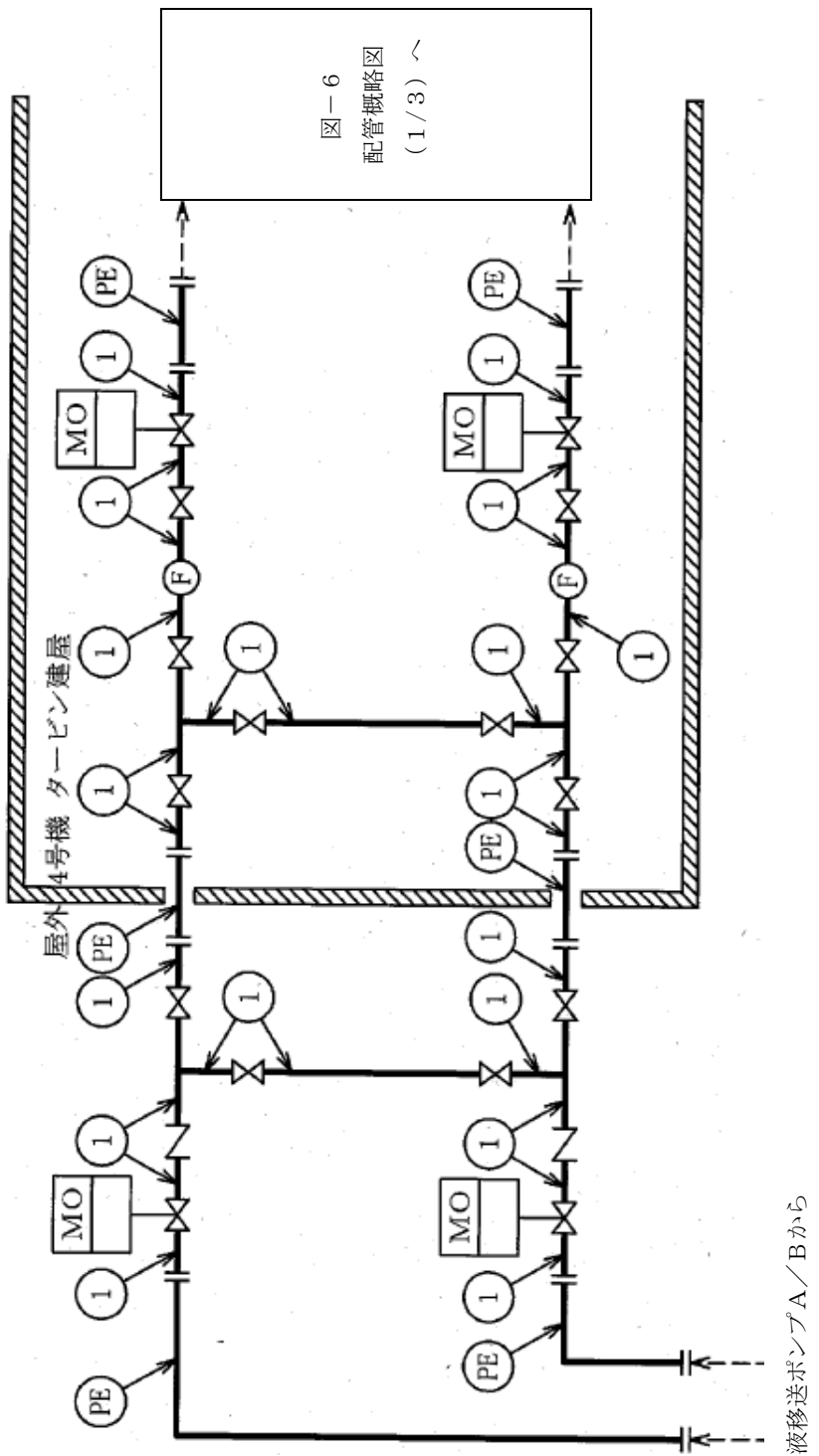
※1 穴の径が 85mm 以下であり、補強は不要。

※2 溶接部の負うべき荷重が負であり、溶接部の強度計算は不要。

2.5 主配管

2.5.1 評価箇所

強度評価箇所を図-5, 6に示す。



記号凡例

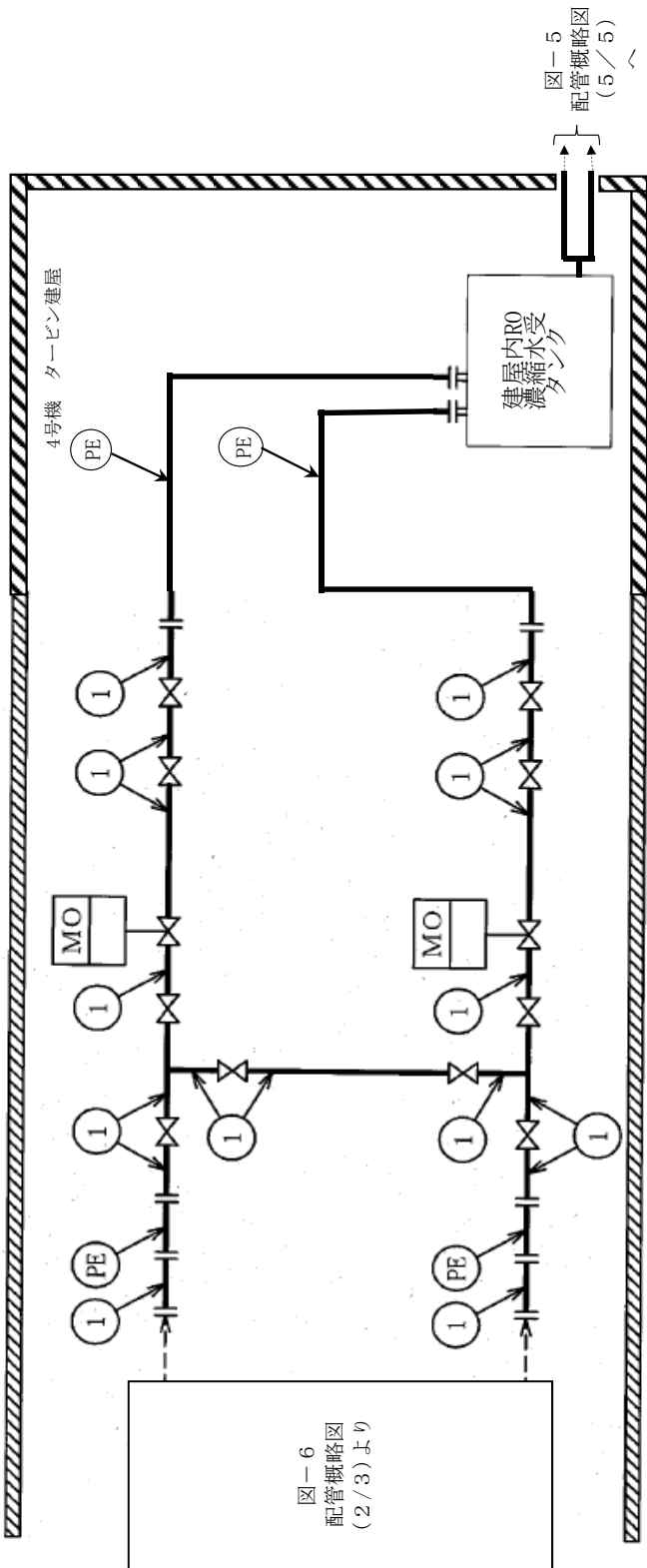
PE: ポリエチレン管

F: 流量計

MO: MO弁

図中の番号は、2.5.3の番号に対応する。

図-5 配管概略図 (建屋内 RO 附属配管を除く主配管) (1/5)



記号凡例

PE : ポリエチレン管

MO : MO弁

図中の番号は、2.5.3の番号に対応する。

図-5 配管概略図 (建屋内RO付属配管を除く主配管) (2 / 5)

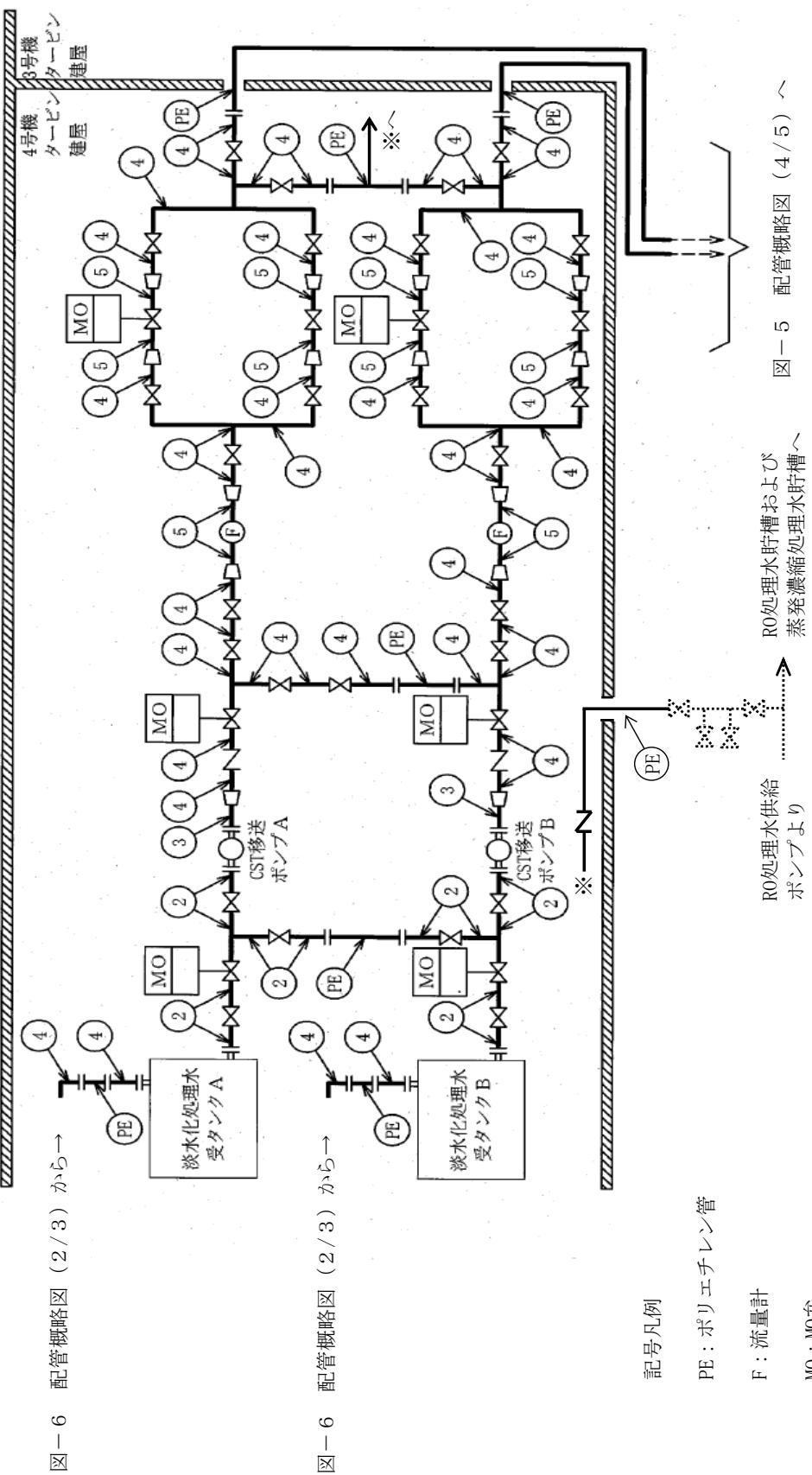
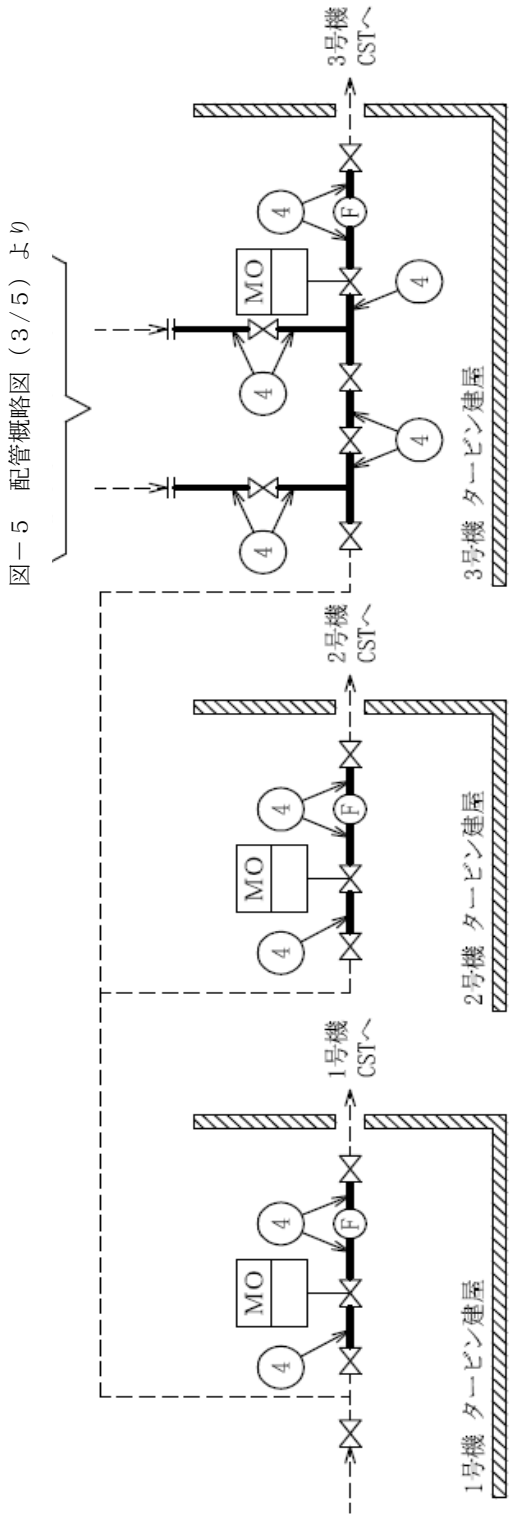


図-5 配管概略図（建屋内 RO 附属配管を除く主配管）（4 / 5）



記号凡例

F : 流量計

MO : MO弁

図中の番号は、2, 5, 3 の番号に対応する。

屋外

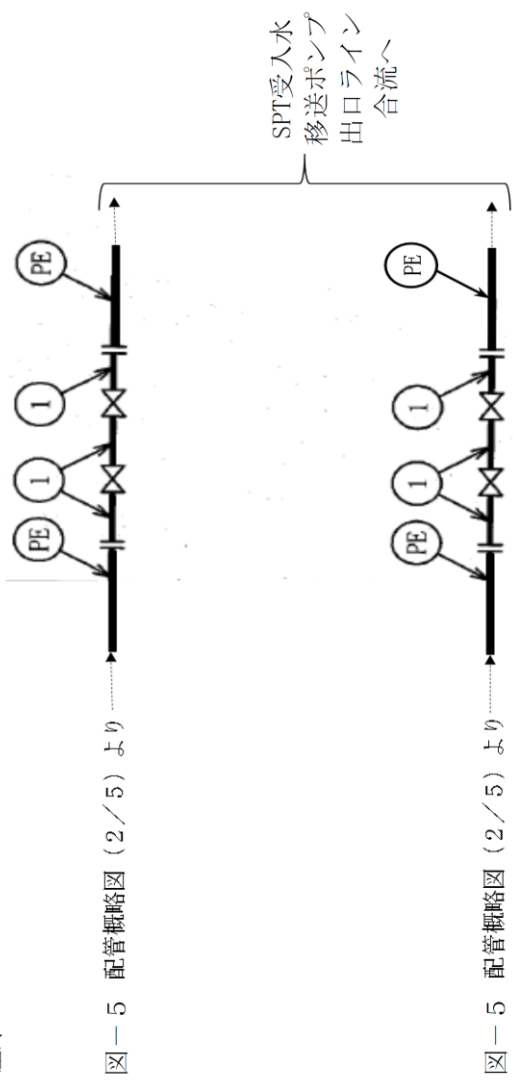


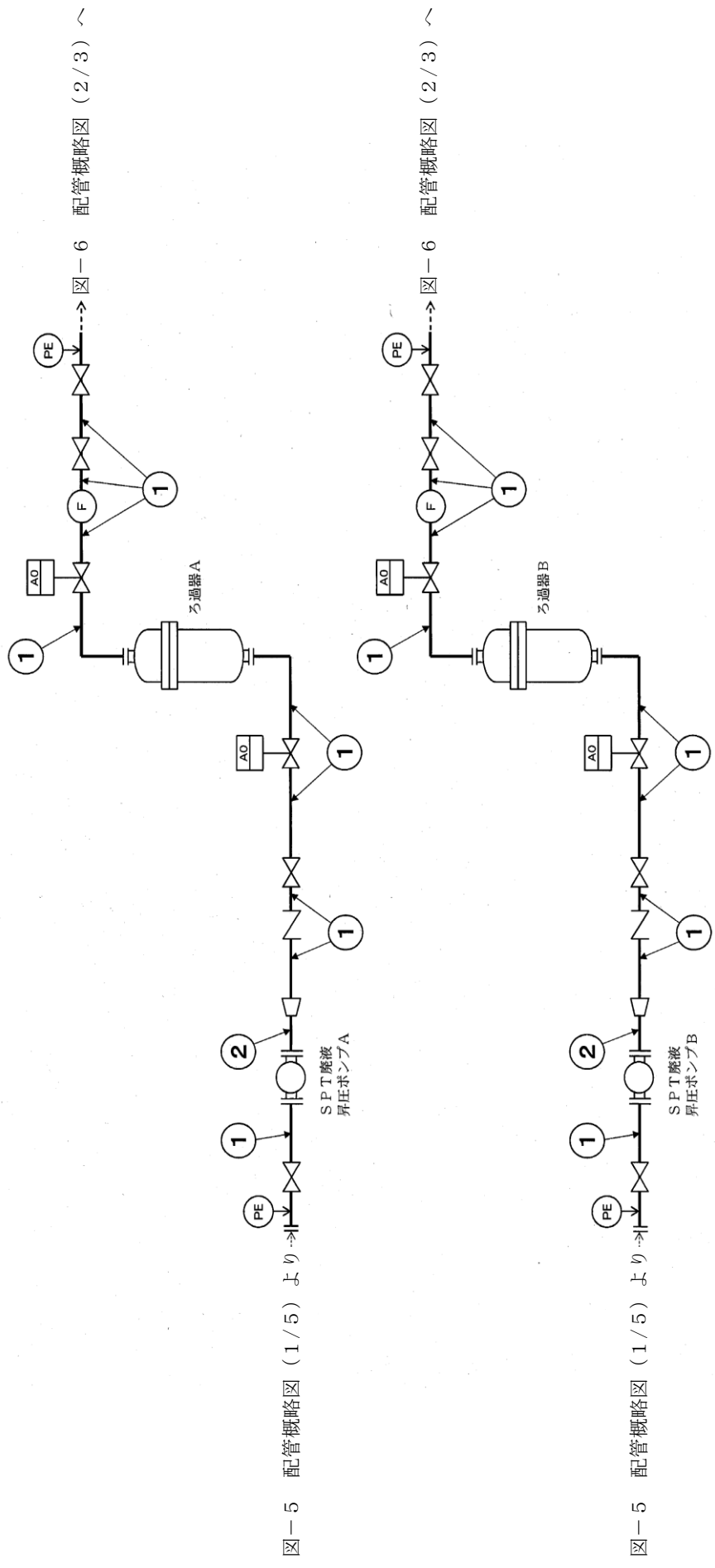
図-5 配管概略図 (2/5) より

記号凡例

PE : ポリエチレン管

図中の番号は、2.5.3の番号に対応する。

図-5 配管概略図 (建屋内R0付属配管を除く主配管) (5/5)



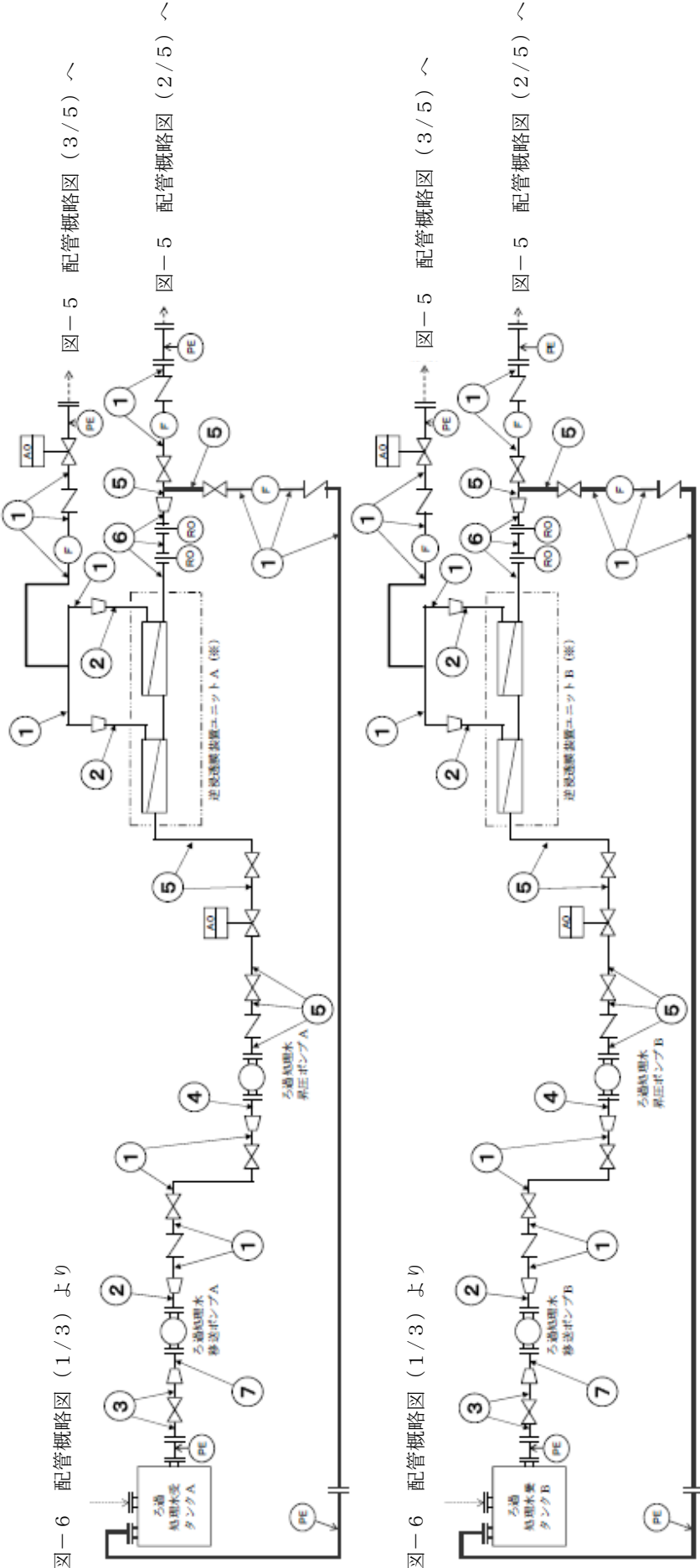
記号凡例

PE : ポリエチレン管

F : 流量計

AO : AO弁

図-6 配管概略図 (建屋内RO附属主配管) (1/3)



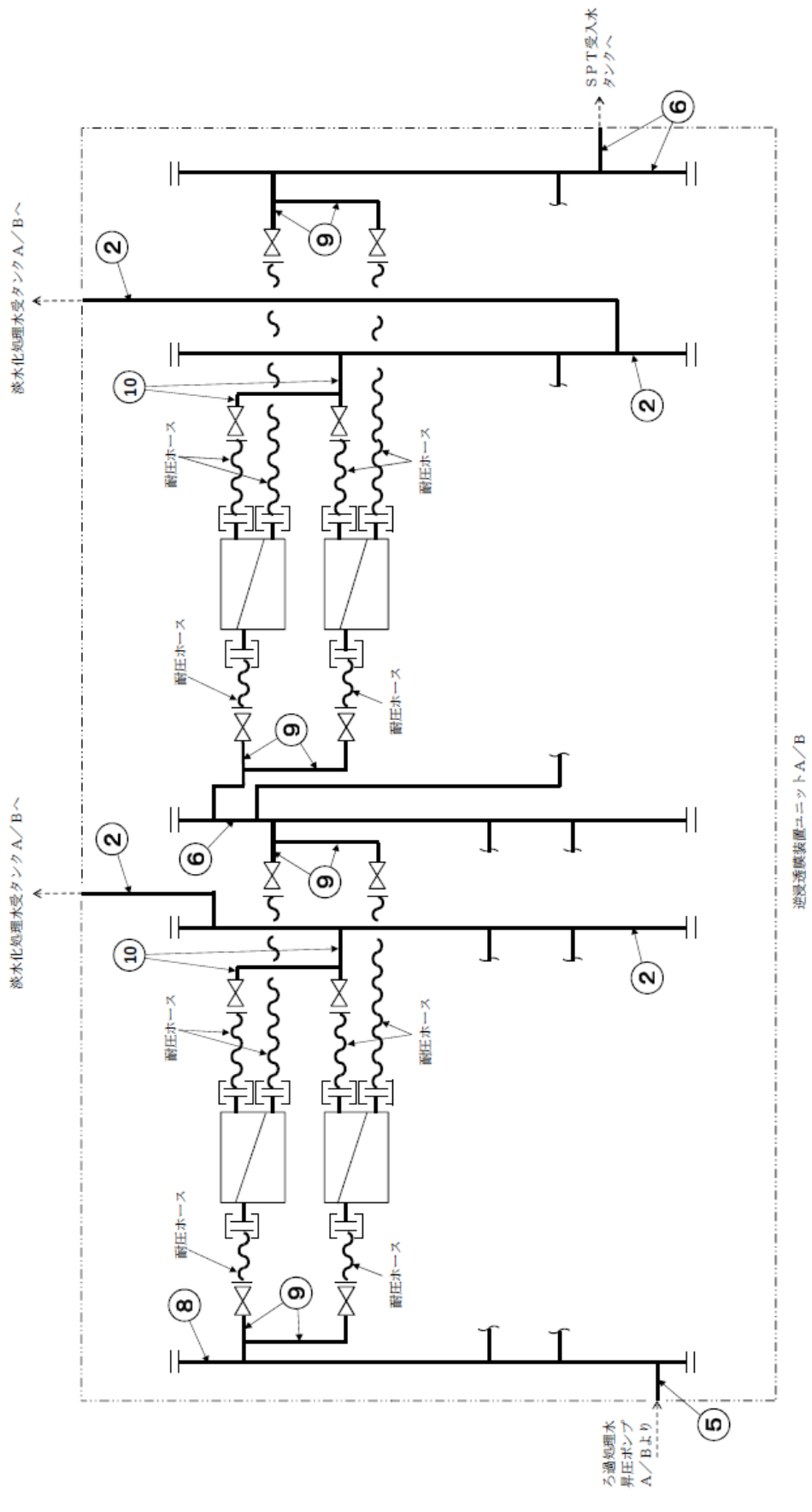
記号凡例

※ 図-6 配管概略図 (3/3) 参照

図中の番号は、2.5.3の番号に対応する。

II-2-5-添15別3-30

図-6 配管概略図 (建屋内RO附属主配管) (2/3)



記号凡例

: 逆浸透膜装置

: 繰手部

図中の番号(は、2.5.3の番号)に対応する。

図-6 配管概略図 (建屋内 RO附属主配管) (3/3)

2.5.2 評価方法 (JSME 規格 PPD-3411)

(1) 管の厚さの評価

管の必要な厚さは、次に掲げる値のうち、いずれか大きい方の値とする。

a. 管の計算上必要な最小必要厚さ : t_1

P : 最高使用圧力 (MPa)

$$t_1 = \frac{P \cdot D_0}{2S \cdot \eta + 0.8P}$$

D_0 : 管の外径 (mm)

S : 許容引張応力 (MPa)

η : 繋手効率 (-)

b. 炭素鋼钢管の規格上必要な最小必要厚さ : t_2

PPD-3411(3)の表 PPD-3411-1 より求めた管の厚さとする。

2.5.3 評価結果

評価結果を表-9, 10 に示す。必要厚さ等を満足しており、十分な構造強度を有していると評価している。

表-9 配管の評価結果 (管の厚さ) (建屋内 RO 附属配管を除く主配管)

| No. | 外径 (mm) | 材料 | 最高使用圧力 (MPa) | 最高使用温度 (°C) | 必要厚さ (mm) | 最小厚さ (mm) |
|-----|---------|-----------|--------------|-------------|-----------|-----------|
| ① | 89.10 | STPT410 | 0.98 | 40 | 3.00 | 4.81 |
| ② | 89.10 | SUS316LTP | 静水頭 | 40 | 0.40 | 4.81 |
| ③ | 48.60 | SUS316LTP | 0.98 | 40 | 0.22 | 4.46 |
| ④ | 89.10 | SUS316LTP | 0.98 | 40 | 0.40 | 4.81 |
| ⑤ | 60.50 | SUS316LTP | 0.98 | 40 | 0.27 | 4.81 |

表-10 配管の評価結果 (管の厚さ) (建屋内 RO 附属主配管)

| No. | 外径 (mm) | 材料 | 最高使用圧力 (MPa) | 最高使用温度 (°C) | 必要厚さ (mm) | 最小厚さ (mm) |
|-----|---------|---------|--------------|-------------|-----------|-----------|
| ① | 89.10 | STPT410 | 0.98 | 40 | 3.00 | 4.81 |
| ② | 60.50 | STPT410 | 0.98 | 40 | 2.40 | 4.81 |
| ③ | 165.20 | STPT410 | 静水頭 | 40 | 3.80 | 6.21 |
| ④ | 114.30 | STPT410 | 0.98 | 40 | 3.40 | 5.25 |
| ⑤ | 89.10 | STPT410 | 4.50 | 40 | 3.00 | 4.81 |
| ⑥ | 76.30 | STPT410 | 4.50 | 40 | 2.70 | 4.55 |
| ⑦ | 89.10 | STPT410 | 静水頭 | 40 | 3.00 | 4.81 |
| ⑧ | 114.30 | STPT410 | 4.50 | 40 | 3.40 | 5.25 |
| ⑨ | 48.60 | STPT410 | 4.50 | 40 | 2.20 | 4.46 |
| ⑩ | 34.00 | STPT410 | 0.98 | 40 | 1.70 | 3.93 |

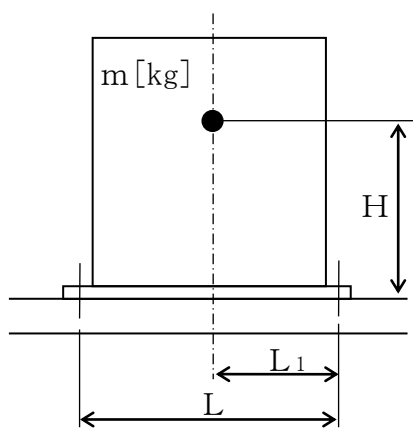
3. 耐震性評価

3.1 基礎ボルト※の強度評価

原子力発電所耐震設計技術指針の評価方法に準拠し、主要機器の基礎ボルトについて強度評価を実施した。評価の結果、基礎ボルトの強度が確保されることを確認した（表－1-1）。

※機器が架台に据え付けられる構造の場合は取付ボルトと称する。

a. タンク



m : 機器質量

g : 重力加速度 (9.80665 m/s^2)

H : 据付面からの重心までの距離

L : 基礎ボルト間の水平方向距離

L_1 : 重心と基礎ボルト間の水平方向距離

n_f : 引張力の作用する基礎ボルトの評価本数

n : 基礎ボルトの本数

A_b : 基礎ボルトの軸断面積

C_H : 水平方向設計震度 (0.36)

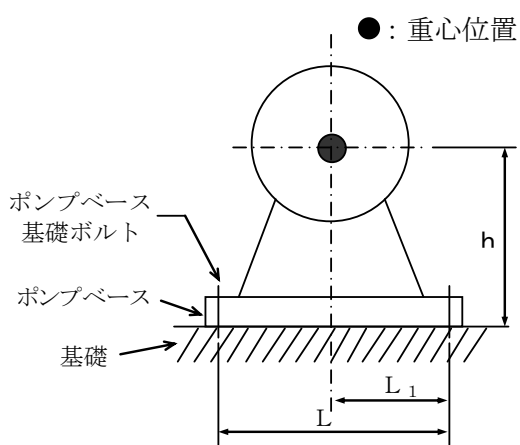
C_V : 鉛直方向設計震度 (0)

$$\text{基礎ボルトに作用する引張力} : F_b = \frac{1}{L} (m \times g \times C_H \times H - m \times g \times (1 - C_V) \times L_1)$$

$$\text{基礎ボルトの引張応力} : \sigma_b = \frac{F_b}{n_f \times A_b}$$

$$\text{基礎ボルトのせん断応力} : \tau_b = \frac{m \times g \times C_H}{n \times A_b}$$

b. ポンプ



m : 機器の運転時質量

g : 重力加速度 (9.80665 m/s^2)

h : 据付面から重心までの距離

M_p : ポンプ回転により働くモーメント (0)

※基礎ボルトに M_p は作用しない

L : 基礎ボルト間の水平方向距離

L_1 : 重心と基礎ボルト間の水平方向距離 ($L/2$)

n_f : 引張力の作用する基礎ボルトの評価本数

n : 基礎ボルトの本数

A_b : 基礎ボルトの軸断面積

C_H : 水平方向設計震度 (0.36)

C_V : 鉛直方向設計震度 (0)

C_P : ポンプ振動による震度

$$\text{基礎ボルトに作用する引張力} : F_b = \frac{1}{L} (m g (C_H + C_P) h + M_p - m g(l - C_V - C_P)L_1)$$

$$\text{基礎ボルトの引張応力} : \sigma_b = \frac{F_b}{n_f A_b}$$

$$\text{基礎ボルトに作用するせん断力} : Q_b = m g(C_H + C_P)$$

$$\text{基礎ボルトのせん断応力} : \tau_b = \frac{Q_b}{n A_b}$$

表－11 基礎ボルト（取付ボルト）の強度評価結果

| 機器名称 | 評価部位 | 評価項目 | 水平震度 | 算出値 | 許容値 | 単位 |
|-------------------|-------|------|------|-----|-----|-----|
| ろ過器スキッド | 基礎ボルト | 引張 | 0.36 | < 0 | — | MPa |
| | | せん断 | 0.36 | 30 | 135 | MPa |
| ろ過処理水受タンク (本体) | 取付ボルト | 引張 | 0.36 | < 0 | — | MPa |
| | | せん断 | 0.36 | 40 | 135 | MPa |
| ろ過処理水受タンク スキッド | 基礎ボルト | 引張 | 0.36 | < 0 | — | MPa |
| | | せん断 | 0.36 | 21 | 135 | MPa |
| 建屋内 RO ユニット | 基礎ボルト | 引張 | 0.36 | < 0 | — | MPa |
| | | せん断 | 0.36 | 51 | 135 | MPa |
| SPT 廃液昇圧ポンプ | 取付ボルト | 引張 | 0.36 | 1 | 176 | MPa |
| | | せん断 | 0.36 | 3 | 135 | MPa |
| ろ過処理水移送ポンプ | 取付ボルト | 引張 | 0.36 | 1 | 176 | MPa |
| | | せん断 | 0.36 | 3 | 135 | MPa |
| ろ過処理水昇圧ポンプ | 取付ボルト | 引張 | 0.36 | 3 | 176 | MPa |
| | | せん断 | 0.36 | 5 | 135 | MPa |
| CST 移送ポンプ | 基礎ボルト | 引張 | 0.36 | 1 | 183 | MPa |
| | | せん断 | 0.36 | 3 | 141 | MPa |
| 建屋内 RO 濃縮水移送ポンプ | 基礎ボルト | 引張 | 0.36 | < 0 | — | MPa |
| | | せん断 | 0.36 | 3 | 161 | MPa |
| 増設 RO 濃縮水供給ポンプ | 基礎ボルト | 引張 | 0.36 | < 0 | — | MPa |
| | | せん断 | 0.36 | 3 | 161 | MPa |

3.2 ろ過器の耐震性評価

本評価は、「付録1 スカート支持たて置円筒形容器（耐震設計上の重要度分類Bクラス）の耐震性についての計算書作成の基本方針」に基づいて評価を実施した。評価の結果、ろ過器の胴板、スカート及び取付ボルトの強度が確保されることを確認した（表-1-2）。

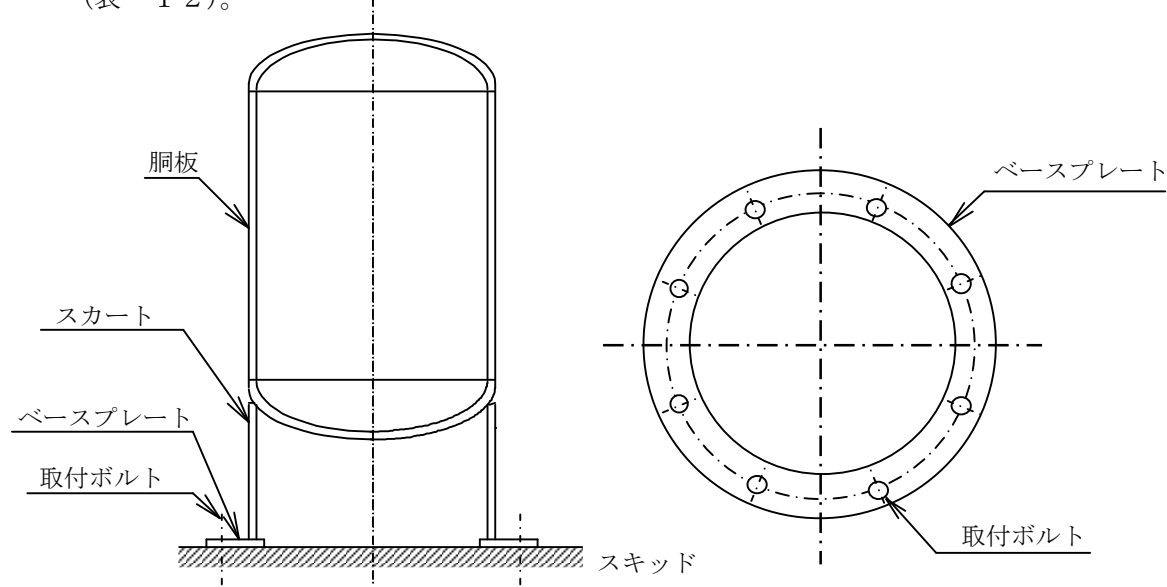


図-7 概要図

表-1-2 ろ過器の耐震性評価結果（1／2）

| 方向 | 固有周期[s] |
|------|---------|
| 水平方向 | 0.015 |
| 鉛直方向 | 0.005 |

表-1-2 ろ過器の耐震性評価結果（2／2）

| 部材 | 材料 | 水平震度 | 応力種別 | 算出応力[MPa] | 許容応力[MPa] |
|-------|--------|------|------|--|-----------|
| 胴板 | SM400A | 0.36 | 組合せ | 43 | 240 |
| スカート | SM400A | 0.36 | 組合せ | 5 | 245 |
| | | | 座屈 | $\frac{\eta \cdot \sigma_{s1}}{f_c} + \frac{\eta \cdot \sigma_{s2}}{f_b} \leqq 1$ 0.016 ≤ 1 | |
| 取付ボルト | SS400 | 0.36 | 引張 | 11 | 176 |
| | | | せん断 | 13 | 135 |

3.3 淡水化処理水受タンクの耐震性評価

本評価は、「付録2 平底たて置円筒形容器（耐震設計上の重要度分類B, Cクラス）の耐震性についての計算書作成の基本方針」に基づいて評価を実施した。評価の結果、淡水化処理水受タンクの胴板及び基礎ボルトの強度が確保されることを確認した（表-13）。

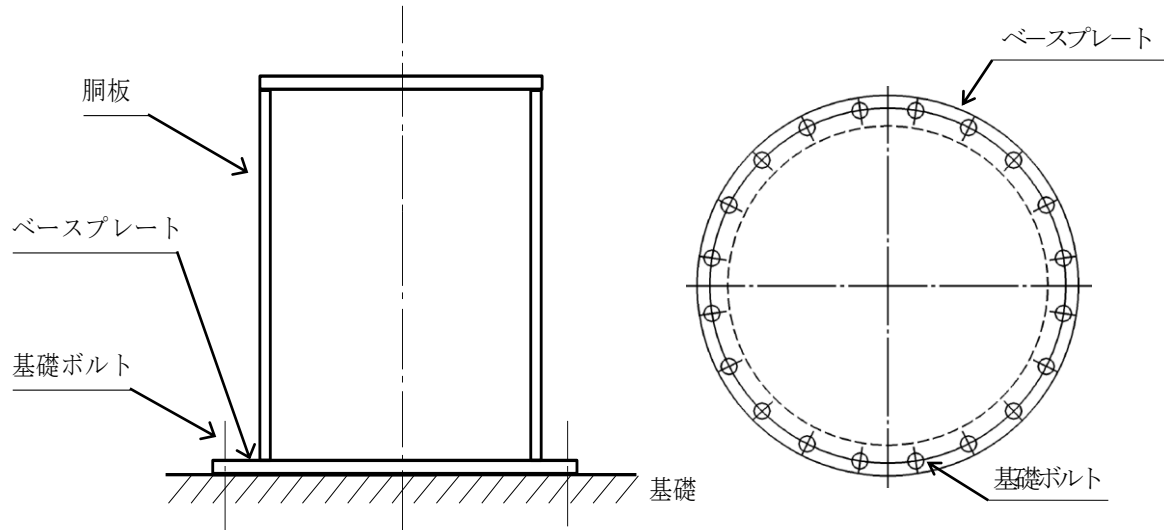


図-8 概要図

表-13 淡水化処理水受タンクの耐震性評価結果（1／2）

| 方向 | 固有周期[s] |
|------|---------|
| 水平方向 | 0.024 |
| 鉛直方向 | 0.005 |

表-13 淡水化処理水受タンクの耐震性評価結果（2／2）

| 部材 | 材料 | 水平震度 | 応力種別 | 算出応力[MPa] | 許容応力[MPa] |
|-------|--------|------|-------|---|-----------|
| 胴板 | SM400C | 0.36 | 一次一般膜 | 6 | 240 |
| | | | 座屈 | $\frac{\eta \cdot \sigma_{x2}}{f_c} + \frac{\eta \cdot \sigma_{x4}}{f_b} \leqq 1$ 0.02 \leqq 1 | |
| 基礎ボルト | SS400 | 0.36 | 引張 | < 0 | - |
| | | | せん断 | 9 | 135 |

3.4 主配管の耐震性評価

a. 評価条件

評価条件として配管は、配管軸直角 2 方向拘束サポートにて支持される両端単純支持のはりモデル（図-1）とする。

次に、当該設備における主配管（鋼管）について、各種条件を表-1、2に示す。表-1、2より管軸方向については、サポート設置フロアの水平震度 0.36 が鉄と鉄の静止摩擦係数 0.52 より小さいことから、地震により管軸方向は動かないものと仮定する。

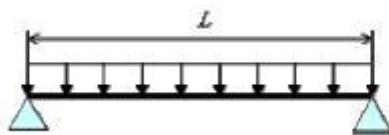


図-1 等分布荷重 両端単純支持はりモデル

表-1 配管系における各種条件（建屋内 RO 附属配管を除く主配管）

| 配管分類 | 主配管（鋼管） | | | |
|------------|-----------|------|-----|---------|
| 配管クラス | クラス3相当 | | | |
| 耐震クラス | B クラス相当 | | | |
| 設計温度 [°C] | 40 | | | |
| 配管材質 | SUS316LTP | | | STPT410 |
| 配管口径 | 40A | 50A | 80A | 80A |
| Sch | 80 | 80 | 40 | 40 |
| 設計圧力 [MPa] | 0.98 | 0.98 | 静水頭 | 0.98 |
| 配管支持間隔 [m] | 4.9 | 5.4 | 6.4 | 6.5 |

表－2 配管系における各種条件（建屋内 RO 附属主配管）

| | | | | | | | | | | |
|---------------|---------|-----|------|-----|-----|------|------|------|------|-----|
| 配管分類 | 主配管（鋼管） | | | | | | | | | |
| 配管クラス | クラス3相当 | | | | | | | | | |
| 耐震クラス | B クラス相当 | | | | | | | | | |
| 設計温度 [°C] | 40 | | | | | | | | | |
| 配管材質 | STPT410 | | | | | | | | | |
| 配管口径 | 25A | 40A | 50A | 65A | 80A | | 100A | | 150A | |
| Sch | 80 | 80 | 80 | 40 | 40 | | 40 | | 40 | |
| 設計圧力 [MPa] | 0.98 | 4.5 | 0.98 | 4.5 | 静水頭 | 0.98 | 4.5 | 0.98 | 4.5 | 静水頭 |
| 配管支持間隔 [m] | 3.7 | 4.6 | 5.2 | 5.7 | 6.2 | | | 6.9 | | 8.2 |

b. 評価方法

水平方向震度による管軸直角方向の配管応力を評価する。

自重による応力 S_w は、下記の式で示される。

$$S_w = \frac{M}{Z} = \frac{w \cdot L^2}{8Z}$$

S_w : 自重による応力 [MPa]

L : 支持間隔 [mm]

M : 曲げモーメント [N・mm]

Z : 断面係数 [mm³]

w : 等分布荷重 [N/mm]

管軸直角方向の地震による応力 S_s は、自重による応力 S_w の震度倍で下記の式で示される。

$$S_s = \alpha \cdot S_w$$

S_s : 地震による応力 [MPa]

α : 想定震度値 [-]

また、評価基準値として JEAC4601-2008 に記載の供用応力状態 C_s におけるクラス3配管の一次応力制限を用いると、地震評価としては下記の式で示される。

$$S = S_p + S_w + S_s = S_p + S_w + \alpha \cdot S_w = S_p + (1 + \alpha) \cdot S_w \leq 1.0 S_y$$

S : 内圧、自重、地震による発生応力 [MPa]

S_p : 内圧による応力 [MPa]

S_y : 設計降伏点 [MPa]

c. 評価結果

両端単純支持はりモデルで、自重による応力 S_w が 30 [MPa]以下となる配管サポート配置を仮定し、各応力を計算した結果を表-3, 4に示す。表-3, 4より、自重による応力 S_w を 30 [MPa]以下となるようサポート配置を決定することで、配管は十分な強度を有するものと評価する。

表-3 応力評価結果（建屋内 RO 附属配管を除く主配管）

| 配管分類 | 主配管（鋼管） | | | | |
|-----------------------------|-----------|------|-----|------|---------|
| 配管材質 | SUS316LTP | | | | STPT410 |
| 配管口径 | 40A | 50A | 80A | | 80A |
| Sch | 80 | 80 | 40 | | 40 |
| 設計圧力[MPa] | 0.98 | 0.98 | 静水頭 | 0.98 | 0.98 |
| 内圧、自重、地震による発生応力 S [MPa] | 128 | 129 | 131 | | 131 |
| 供用状態 C_s における一次許容応力 [MPa] | | | 175 | | 245 |

表-4 応力評価結果（建屋内 RO 附属主配管）

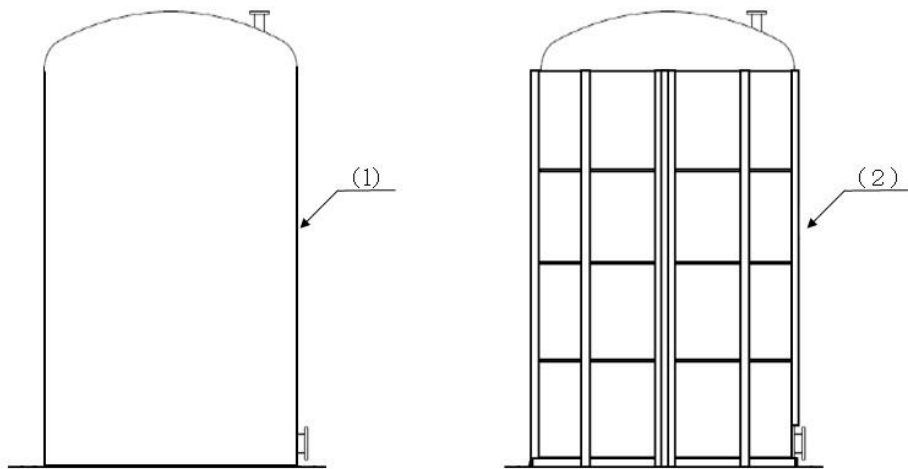
| 配管分類 | 主配管（鋼管） | | | | | | | | | |
|-----------------------------|---------|-----|------|-----|-----|------|-----|------|-----|------|
| 配管材質 | STPT410 | | | | | | | | | |
| 配管口径 | 25A | 40A | 50A | 65A | 80A | | | 100A | | 150A |
| Sch | 80 | 80 | 80 | 40 | 40 | | | 40 | | 40 |
| 設計圧力[MPa] | 0.98 | 4.5 | 0.98 | 4.5 | 静水頭 | 0.98 | 4.5 | 0.98 | 4.5 | 静水頭 |
| 内圧、自重、地震による発生応力 S [MPa] | 44 | 58 | 46 | 70 | 42 | 48 | 73 | 50 | 80 | 42 |
| 供用状態 C_s における一次許容応力 [MPa] | | | | | 245 | | | | | |

4. 追設するタンクの構造強度および耐震性評価

4.1 建屋内 RO 濃縮水受タンク構造強度評価

4.1.1 評価箇所

強度評価箇所を図-1に示す。



図中の番号は、4.1.3の番号に対応する。

図-1 建屋内 RO 濃縮水受タンク概要図

4.1.2 評価方法（ポリエチレン製堅型耐食円筒型貯槽規格）

(1) 脊板の評価

脊板の厚さは、内圧液により脊板の周方向に発生する応力、自重により脊板の軸方向に発生する応力が許容応力より小さいこととする。

a. 脊板の周方向に発生する応力

$$\sigma_{\theta} = \frac{P \cdot d}{2t}$$

σ_{θ} : 脊板の周方向の応力 (MPa)

d : 貯槽の外径 (mm)

t : 脊板の厚さ (mm)

$$P = g \cdot \rho \cdot H_L \cdot 10^{-9}$$

P : 最大水位時での水頭圧 (MPa)

g : 重力の加速度 (m/s²)

ρ : 内容液密度 (kg/m³)

H_L : 最大水位 (mm)

b. 脊板の軸方向に発生する応力

$$\sigma_y = \frac{m_t \cdot g}{\pi \cdot d \cdot t}$$

$$f = \frac{\sigma_{X,cr}}{F}$$

$$\sigma_{X,cr} = \frac{2 \cdot C \cdot E_p \cdot t}{[3(1 - \nu^2)]^{1/2} \cdot d}$$

σ_y : 脊板の軸方向に発生する応力 (MPa)

m_t : タンク本体の質量 (kg)

$\sigma_{X,cr}$: 材料の圧縮座屈応力 (MPa)

f : 許容応力 (MPa)

F : 安全率 (-) (長期荷重評価は 3)

C : 座屈係数 (-) $C = 1 - 0.901 * (1 - \exp(-1/16 * (d/2t)^0.5))$

E_p : ポリエチレン綫弾性係数 (MPa)

ν : ポアソン比 (-)

(2) 補強枠の評価

補強枠の厚さは、内圧及びタンク本体の膨張により補強枠の周方向に発生する応力が許容応力より小さいこととする。

a. 補強枠の周方向に発生する応力

$$\sigma_\theta = \frac{P \cdot d}{2t_s} + \alpha \cdot \Delta T \cdot E_p \cdot \frac{t}{t_s}$$

σ_θ : 補強枠の周方向の応力 (MPa)

ΔT : 温度の最大変化 (°C)

E_p : ポリエチレン綫弾性係数 (MPa)

α : ポリエチレン熱膨張係数 (1/°C)

t_s : 補強枠厚さ (mm)

P : 最大水位での水頭圧 (MPa)

4.1.3 評価結果

評価結果を表-1に示す。強度評価の結果、脊板及び補強枠の応力は許容応力未満であり、十分な構造強度を有すると評価した。

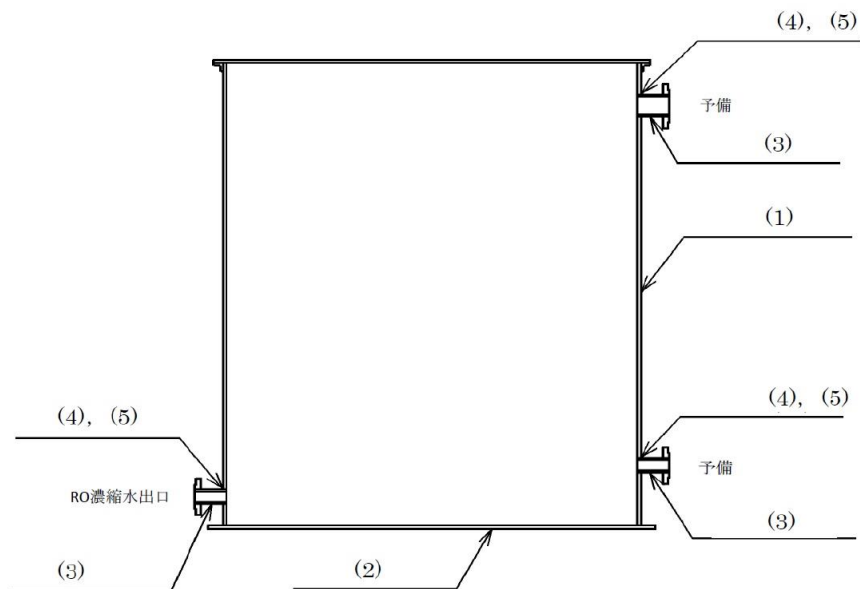
表-1 建屋内 RO 濃縮水受タンク 評価結果(板厚)

| 機器名称 | 評価項目 | | 応力 (MPa) | 許容応力 (MPa) |
|----------------|---------|-----|----------|------------|
| 建屋内 RO 濃縮水受タンク | (1) 脊板 | 周方向 | 4.7 | 5.0 |
| | | 軸方向 | 0.43 | 0.70 |
| | (2) 補強枠 | 周方向 | 20 | 137 |

4.2 増設 RO 濃縮水受タンク構造強度評価

4.2.1 評価箇所

強度評価箇所を図-2に示す。



図中の番号は、4.2.3の番号に対応する。

図-2 増設 RO 濃縮水受タンク概要図

4.2.2 評価方法 (JSME 規格)

(1) 開放タンクの胴板の評価 (JSME 規格 PVD-3010 及び PVD-3110, PVC-3920)

胴板の必要な厚さは、次に掲げる値のうち、いずれか大きい値とする。

a. 胴板の規格上必要な最小厚さ : t_1

炭素鋼鋼板又は低合金鋼鋼板で作られたものの場合は 3mm, その他の材料で作られたものの場合は 1.5mm とする。

b. 胴板の計算上必要な厚さ : t_2

D_i : 胴の内径 (m)

H : 水頭 (m)

$$t_2 = \frac{D_i \cdot H \cdot \rho}{0.204 \cdot S \cdot \eta}$$

ρ : 液体の比重。ただし、1未満の場合は、1とする。

S : 許容引張応力 (MPa)

η : 繰手効率 (-)

c. 胴の内径に応じた必要厚さ : t_3

胴の内径の区分に応じ JSME 規格 表 PVC-3920-1 より求めた胴の厚さとする。

- (2) 開放タンクの底板の評価 (JSME 規格 PVD-3010 及び PVD-3110, PVC-3960(1), 3970(1))
a. 底板の形：平板
b. 底板の厚さ：3mm 以上（地面、基礎等に直接接触する底板）

- (3) 開放タンクの管台の評価 (JSME 規格 PVD-3010 及び PVD-3110, PVC-3980)

管台の必要な厚さは、次に掲げる値のうち、いずれか大きい値とする。

- a. 管台の計算上必要な厚さ : t_1

D_i : 管台の内径 (m)

H : 水頭 (m)

$$t_1 = \frac{D_i \cdot H \cdot \rho}{0.204 \cdot S \cdot \eta} \quad \rho : \text{液体の比重。ただし、1未満の場合は、1とする。}$$

S : 許容引張応力 (MPa)

η : 繼手効率 (-)

- b. 管台の規格上必要な最小厚さ : t_2

管台の外径に応じて JSME 規格 表 PVC-3980-1 より求めた管台の厚さとする。

- (4) 開放タンクの胴板の穴の補強評価

(JSME 規格 PVD-3010 及び PVD-3110, PVC-3950, PVD-3512)

- a. 穴の径（円形の穴については直径、だ円形の穴については長径をいう）が 85mm を超える場合は、穴を補強すること。

- b. 補強に有効な範囲内にある補強に有効な面積が、補強に必要な面積より大きくなるようにすること。

- c. 大きい穴の補強を要しない最大径

内径が 1500mm 以下の胴に設ける穴の径が胴の内径の 2 分の 1 (500mm を超える場合は、500mm) 以下および内径が 1500mm を超える胴に設ける穴の径が胴の内径の 3 分の 1 (1000mm を超える場合は、1000mm) 以下の場合は、大きい穴の補強計算は必要ない。

- d. 溶接部の強度として、予想される破断箇所の強さが、溶接部の負うべき荷重以上であること。

4.2.3 評価結果

評価結果を表-2～3に示す。必要厚さ等を満足しており、十分な構造強度を有すると評価した。

表-2 増設 RO 濃縮水受タンク 評価結果（板厚）

| 機器名称 | 評価項目 | | 必要厚さ (mm) | 最小厚さ (mm) |
|---------------|----------|------|-----------|-----------|
| 増設 RO 濃縮水受タンク | (1)胴板の厚さ | | 1.50 | 1.50 以上 |
| | (2)底板の厚さ | | 3.00 | 3.00 以上 |
| | (3)管台厚さ | 排水出口 | 3.50 | 3.50 以上 |
| | | 予備 | 3.50 | 3.50 以上 |
| | | 予備 | 3.50 | 3.50 以上 |

表-3 増設 RO 濃縮水受タンク 評価結果（胴板の穴の補強）

| 機器名称 | 評価項目 | 評価結果 | |
|---------------|------------------|-----------------------------|------------------------------|
| 増設 RO 濃縮水受タンク | (4)胴板 (RO 濃縮水出口) | 穴の補強の有無 (mm) | 穴の径 (mm) |
| | | 85mm を超える | 85mm を超える |
| | | 補強に必要な面積 (mm ²) | 補強に有効な総面積 (mm ²) |
| | | 6.961×10^1 | 6.961×10^1 以上 |
| | | 大きな穴の補強を要しない最大径 (mm) | 穴の径 (mm) |
| | (4)胴板 (予備) | 1000 | 1000 以下 |
| | | 溶接部の負うべき荷重 (N) | 予想される破断箇所の強さ (N) |
| | | -6.080×10^4 | —※1 |
| | | 穴の補強の有無 (mm) | 穴の径 (mm) |
| | | 85mm を超える | 85mm を超える |
| (5)胴板 (予備) | (5)胴板 (予備) | 補強に必要な面積 (mm ²) | 補強に有効な総面積 (mm ²) |
| | | 1.019×10^2 | 1.019×10^2 以上 |
| | | 大きな穴の補強を要しない最大径 (mm) | 穴の径 (mm) |
| | | 1000 | 1000 以下 |
| | | 溶接部の負うべき荷重 (N) | 予想される破断箇所の強さ (N) |
| | (5)胴板 (予備) | -8.921×10^4 | —※1 |
| | | 穴の補強の有無 (mm) | 穴の径 (mm) |
| | | 85mm を超える | 85mm を超える |
| | | 補強に必要な面積 (mm ²) | 補強に有効な総面積 (mm ²) |
| | | 1.019×10^2 | 1.019×10^2 以上 |

※1 溶接部の負うべき荷重が負であり、溶接部の強度計算は不要。

4.3 建屋内 RO 濃縮水受タンク耐震性評価

本評価は、「ポリエチレン製豎型耐食円筒型貯槽規格」[ポリエチレンタンク協議会技術委員会]に基づいて評価を実施する。

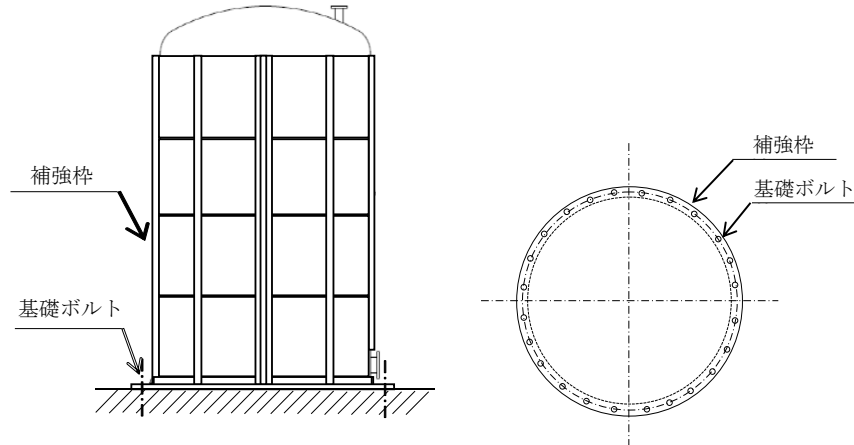


図-3 概要図

(1) 脊板に発生する応力

地震による転倒モーメントにより脊板に発生する応力が許容応力より小さいことを確認する。

$$\sigma_x = \frac{4 \cdot M}{\pi \cdot d^2 \cdot t}$$

$$M = K_H \cdot \alpha_t \cdot m_{total} \cdot g \cdot H$$

σ_x : 転倒モーメントにより脊板に発生する応力 (MPa)

M : 地震による転倒モーメント (N*mm)

d : タンクの外径 (mm)

t : 脊板の厚さ (mm)

K_H : 水平震度 (-)

α_t : タンクの有効重量比 (-) $\alpha_t = 1 - 0.218 * d / H_L$ ($H_L / d > 0.75$ の場合)

m_{total} : タンク全体の質量 (kg)

g : 重力加速度 (m/s^2)

H : 水平地震荷重の作用点高さ (mm)

H_L : 最大水位 (mm)

(2) 補強枠に発生する応力

地震による転倒モーメントにより補強枠に発生する応力が許容応力より小さいことを確認する。

$$\sigma_{xs} = \frac{4 \cdot M}{\pi \cdot d^2 \cdot t_s}$$

σ_{xs} : 転倒モーメントにより補強枠に発生する応力 (MPa)
 t_s : 補強枠の厚さ (mm)

$$M = K_H \cdot \alpha_t \cdot m_{total} \cdot g \cdot H$$

(3) 基礎ボルトに発生する応力

地震により基礎ボルトに発生する引張応力が、許容引張応力または、許容引張応力 × 1.4 - せん断応力 × 1.6 の何れか小さい値より小さいことを確認する。また、地震により基礎ボルトに発生するせん断応力が許容せん断応力より小さいことを確認する。

$$\sigma_b = \frac{1}{A_b \cdot n} \left(\frac{4 \cdot M}{L_b} - m_{total} \cdot g \right)$$

σ_b : 基礎ボルトに発生する引張応力 (MPa)

$$\tau_b = \frac{K_H \cdot m_{total} \cdot g}{A_b \cdot n}$$

τ_b : 基礎ボルトに発生するせん断応力 (MPa)

$$M = K_H \cdot \alpha_t \cdot m_{total} \cdot g \cdot H$$

L_b : 基礎ボルトのピッチ円直径 (mm)
 n : 基礎ボルトの本数 (-)
 A_b : 基礎ボルト断面積 (mm^2)

(4) 評価結果

評価の結果、建屋内 R0 濃縮水受タンクの胴板、補強枠、基礎ボルトは強度が確保されることを確認した（表-4）。

表-4 建屋内 R0 濃縮水受タンクの耐震性評価結果

| 部材 | 材料 | 水平震度 | 応力種別 | 算出応力 [MPa] | 許容応力 [MPa] | |
|-------|--------|------|------|------------|------------|--|
| 胴板 | ポリエチレン | 0.36 | — | 2.9 | 7.5 | |
| 補強枠 | SUS304 | | — | 7 | 205 | |
| 基礎ボルト | SS400 | | 引張 | 2 | 176 | |
| | | | せん断 | 8 | 101 | |

4.4 増設 RO 濃縮水受タンクの耐震性評価

本評価は、「付録2 平底たて置円筒形容器（耐震設計上の重要度分類B, Cクラス）の耐震性についての計算書作成の基本方針」に基づいて評価を実施した。評価の結果、増設RO濃縮水受タンクの胴板及び基礎ボルトの強度が確保されることを確認した（表-5）。

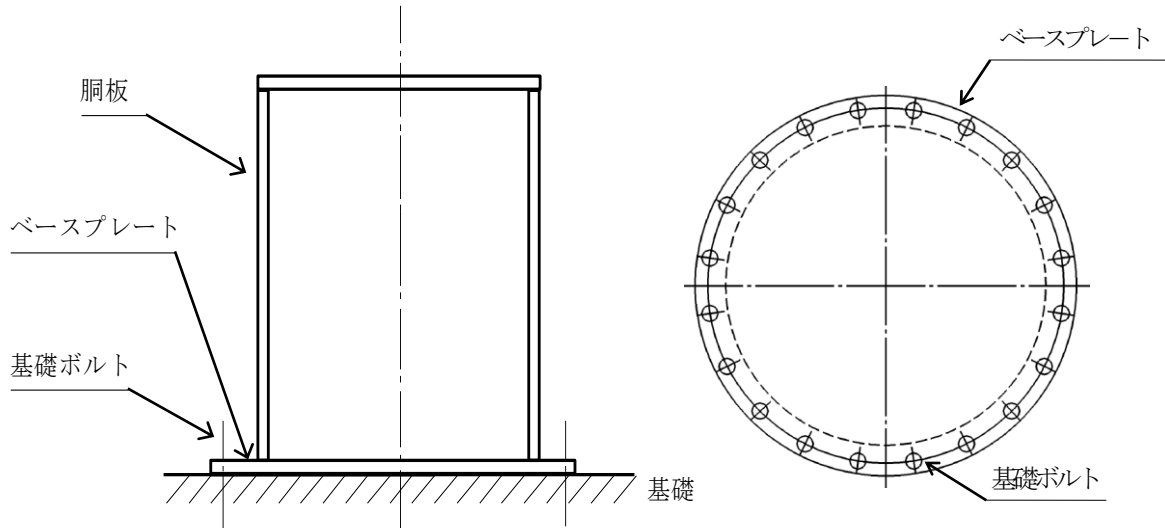


図-4 概要図

表-5 増設 RO 濃縮水受タンクの耐震性評価結果（1／2）

| 方向 | 固有周期 [s] |
|------|----------|
| 水平方向 | 0.036 |
| 鉛直方向 | 0.006 |

表-5 増設 RO 濃縮水受タンクの耐震性評価結果（2／2）

| 部材 | 材料 | 水平震度 | 応力種別 | 算出応力 [MPa] | 許容応力 [MPa] |
|-------|---------|------|-------|---|------------|
| 胴板 | SUS316L | 0.36 | 一次一般膜 | 10 | 175 |
| | | | 座屈 | $\frac{\eta \cdot \sigma_{x2}}{f_c} + \frac{\eta \cdot \sigma_{x4}}{f_b} \leqq 1$ 0.05 \leqq 1 | |
| 基礎ボルト | SS400 | 0.36 | 引張 | 1 | 176 |
| | | | せん断 | 16 | 135 |

以上

付録1 スカート支持たて置円筒形容器（耐震設計上の重要度分類Bクラス）の耐震性についての計算書作成の基本方針

1. 一般事項

本基本方針は、スカート支持たて置円筒形容器（耐震設計上の重要度分類Bクラス）の耐震性についての計算方法を示す。

1.1 適用基準

本基本方針における計算方法は、原子力発電所耐震設計技術指針 JEAG4601-1987（日本電気協会 電気技術基準調査委員会 昭和62年8月）に準拠する。

1.2 計算条件

- (1) 容器及び内容物の質量は重心に集中するものとする。
- (2) 地震力は容器に対して水平方向に作用するものとする。なお、鉛直方向に共振のおそれのあるものについては、動的な鉛直方向の地震力を考慮する。
- (3) 容器はスカートで支持され、スカートは下端のベースプレートを円周上等ピッチの多数の基礎ボルトで基礎に固定された固定端とする。ここで、基礎については剛となるように設計する。
- (4) 脳とスカートをはりと考え、変形モードは曲げ及びせん断変形を考慮する。
- (5) 容器頂部に水平方向変位を拘束する構造物を設ける場合は、その部分をピン支持とする。
- (6) スカート部材において、マンホール等の開口部があつて補強をしていない場合は、欠損の影響を考慮する。

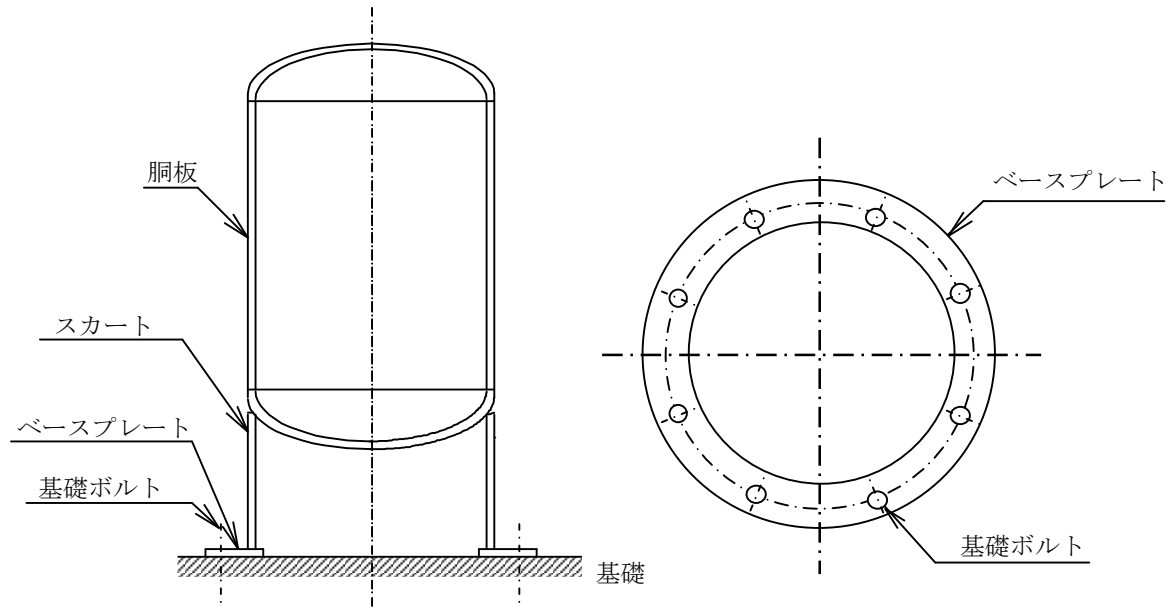


図1-1 スカート支持たて置円筒形容器の概要図

1.3 記号の説明

| 記号 | 記号の説明 | 単位 |
|------------------|--|------------------|
| A | 胴の軸断面積 | mm ² |
| A _b | 基礎ボルトの軸断面積 | mm ² |
| A _e | 胴の有効せん断面積 | mm ² |
| A _s | スカートの軸断面積 | mm ² |
| A _{s e} | スカートの有効せん断面積 | mm ² |
| C _c | 基礎ボルト計算における係数 | — |
| C _H | 水平方向設計震度 | — |
| C _t | 基礎ボルト計算における係数 | — |
| C _v | 鉛直方向設計震度 | — |
| D _{b i} | ベースプレートの内径 | mm |
| D _{b o} | ベースプレートの外径 | mm |
| D _c | 基礎ボルトのピッチ円直径 | mm |
| D _i | 胴の内径 | mm |
| D _j | スカートに設けられた各開口部の穴径 (j=1, 2, 3… j ₁) | mm |
| D _s | スカートの内径 | mm |
| E | 胴の縦弾性係数 | MPa |
| E _s | スカートの縦弾性係数 | MPa |
| e | 基礎ボルト計算における係数 | — |
| F | 設計・建設規格 SSB-3121.1又はSSB-3131に定める値 | MPa |
| F _c | 基礎に作用する圧縮力 | N |
| F _t | 基礎ボルトに作用する引張力 | N |
| f _b | 曲げモーメントに対する許容座屈応力 | MPa |
| f _c | 軸圧縮荷重に対する許容座屈応力 | MPa |
| f _{s b} | せん断力のみを受ける基礎ボルトの許容せん断応力 | MPa |
| f _t | スカートの許容引張応力 | MPa |
| f _{t o} | 引張力のみを受ける基礎ボルトの許容引張応力 | MPa |
| f _{t s} | 引張力とせん断力を同時に受ける基礎ボルトの許容引張応力 | MPa |
| G | 胴のせん断弾性係数 | MPa |
| G _s | スカートのせん断弾性係数 | MPa |
| g | 重力加速度 (=9.80665) | m/s ² |
| H | 水頭 | mm |
| I | 胴の断面二次モーメント | mm ⁴ |
| I _s | スカートの断面二次モーメント | mm ⁴ |
| j ₁ | スカートに設けられた開口部の穴の個数 | — |

| 記号 | 記号の説明 | 単位 |
|------------------------|------------------------------|------|
| K_H | 水平方向のばね定数 | N/m |
| K_v | 鉛直方向のばね定数 | N/m |
| k | 基礎ボルト計算における中立軸の荷重係数 | — |
| λ | 胴のスカート接合点から重心までの距離 | mm |
| λ_1, λ_2 | 基礎ボルト計算における中立軸から荷重作用点までの距離 | mm |
| λ_r | 容器の重心から上端支持部までの距離 | mm |
| λ_s | スカートの長さ | mm |
| M_s | スカートに作用する転倒モーメント | N·mm |
| M_{s1} | スカートの上端部に作用する転倒モーメント | N·mm |
| M_{s2} | スカートの下端部に作用する転倒モーメント | N·mm |
| m_0 | 容器の運転時質量 | kg |
| m_e | 容器のスカート接合部から上部の空質量 | kg |
| n | 基礎ボルトの本数 | — |
| P_r | 最高使用圧力 | MPa |
| Q | 重心に作用する任意の水平力 | N |
| Q' | Q により上端の支持部に作用する反力 | N |
| S | 設計・建設規格 付録材料図表 Part5 表5に定める値 | MPa |
| S_a | 胴の許容応力 | MPa |
| S_u | 設計・建設規格 付録材料図表 Part5 表9に定める値 | MPa |
| S_y | 設計・建設規格 付録材料図表 Part5 表8に定める値 | MPa |
| s | 基礎ボルトと基礎の縦弾性係数比 | — |
| T_H | 水平方向固有周期 | s |
| T_v | 鉛直方向固有周期 | s |
| t | 胴板の厚さ | mm |
| t_1 | 基礎ボルト面積相当板幅 | mm |
| t_2 | 圧縮側基礎相当幅 | mm |
| t_s | スカートの厚さ | mm |
| Y | スカート開口部の水平断面における最大円周長さ | mm |
| z | 基礎ボルト計算における係数 | — |
| α | 基礎ボルト計算における中立軸を定める角度 | rad |
| δ | 荷重 Q による容器の上端での変位量 | mm |
| δ' | 荷重 Q' による容器の上端での変位量 | mm |
| δ_0 | 荷重 Q, Q' による容器の重心での変位量 | mm |
| η | 座屈応力に対する安全率 | — |
| π | 円周率 | — |

| 記号 | 記号の説明 | 単位 |
|--------------------------------|-------------------------------|--------------------|
| ρ' | 液体の密度 (=比重×10 ⁻⁶) | kg/mm ³ |
| σ_0 | 胴の一次一般膜応力の最大値 | MPa |
| σ_{0c} | 胴の組合せ圧縮応力 | MPa |
| σ_{0t} | 胴の組合せ引張応力 | MPa |
| σ_b | 基礎ボルトに生じる引張応力 | MPa |
| σ_c | 基礎に生じる圧縮応力 | MPa |
| σ_s | スカートの組合せ応力 | MPa |
| σ_{s1} | スカートの運転時質量による軸方向応力 | MPa |
| σ_{s2} | スカートの曲げモーメントによる軸方向応力 | MPa |
| σ_{s3} | スカートの鉛直方向地震による軸方向応力 | MPa |
| $\sigma_{x1}, \sigma_{\phi 1}$ | 静水頭又は内圧により胴に生じる軸方向及び周方向応力 | MPa |
| σ_{x2} | 胴の運転時質量による軸方向引張応力 | MPa |
| σ_{x3} | 胴の空質量による軸方向圧縮応力 | MPa |
| σ_{x4} | 地震により胴に生じる軸方向応力 | MPa |
| σ_{x5} | 胴の鉛直方向地震による軸方向引張応力 | MPa |
| σ_{x6} | 胴の鉛直方向地震による軸方向圧縮応力 | MPa |
| σ_{xc} | 胴の軸方向応力の和 (圧縮側) | MPa |
| σ_{xt} | 胴の軸方向応力の和 (引張側) | MPa |
| σ_ϕ | 胴の周方向応力の和 | MPa |
| $\sigma_{\phi 2}$ | 静水頭に鉛直方向地震が加わり胴に生じる周方向応力 | MPa |
| τ | 地震により胴に生じるせん断応力 | MPa |
| τ_b | 基礎ボルトに生じるせん断応力 | MPa |
| τ_s | 地震によりスカートに生じるせん断応力 | MPa |
| $\Phi_1(x)$ | 圧縮荷重に対する許容座屈応力の関数 | MPa |
| $\phi_2(x)$ | 曲げモーメントに対する許容座屈応力の関数 | MPa |

注：「設計・建設規格」とは、発電用原子力設備規格（設計・建設規格 JSME S NC1-2005 (2007年追補版含む。)）(日本機械学会 2007年9月) (以下「設計・建設規格」という。)をいう。

1.4 計算精度と数値の丸め方

精度は 6 桁以上を確保する。

表示する数値の丸め方は表 1-1 に示すとおりとする。

表 1-1 表示する数値の丸め方

| 数 値 の 種 類 | 単 位 | 処 理 桁 | 処 理 方 法 | 表 示 桁 |
|---------------------|-----------------|------------|---------|-------------------------|
| 固有周期 | s | 小数点以下第 4 位 | 四捨五入 | 小数点以下第 3 位 |
| 震度 | — | 小数点以下第 3 位 | 切上げ | 小数点以下第 2 位 |
| 最高使用圧力 | MPa | — | — | 小数点以下第 2 位 |
| 温度 | °C | — | — | 整数位 |
| 比重 | — | 小数点以下第 3 位 | 四捨五入 | 小数点以下第 2 位 |
| 質量 | kg | — | — | 整数位 |
| 長 さ | 下記以外の長さ | mm | — | 整数位 * ¹ |
| | 胴板の厚さ | mm | — | 小数点以下第 1 位 |
| | スカートの厚さ | mm | — | 小数点以下第 1 位 |
| 面積 | mm ² | 有効数字 5 桁目 | 四捨五入 | 有効数字 4 桁 * ³ |
| モーメント | N・mm | 有効数字 5 桁目 | 四捨五入 | 有効数字 4 桁 * ³ |
| 算出応力 | MPa | 小数点以下第 1 位 | 切上げ | 整数位 |
| 許容応力 * ² | MPa | 小数点以下第 1 位 | 切捨て | 整数位 |

注記 *1：設計上定める値が小数点以下第 1 位の場合は、小数点以下第 1 位表示とする。

*2：設計・建設規格 付録材料図表に記載された温度の中間における引張強さ及び降伏点は、比例法により補間した値の小数点以下第 1 位を切り捨て、整数位までの値とする。

*3：絶対値が 1000 以上のときは、べき数表示とする。

2. 計算方法

2.1 固有周期の計算方法

(1) 計算モデル

本容器は、1.2項より図2-1に示す下端固定の1質点系振動モデルあるいは下端固定上端支持の1質点系振動モデルとして考える。

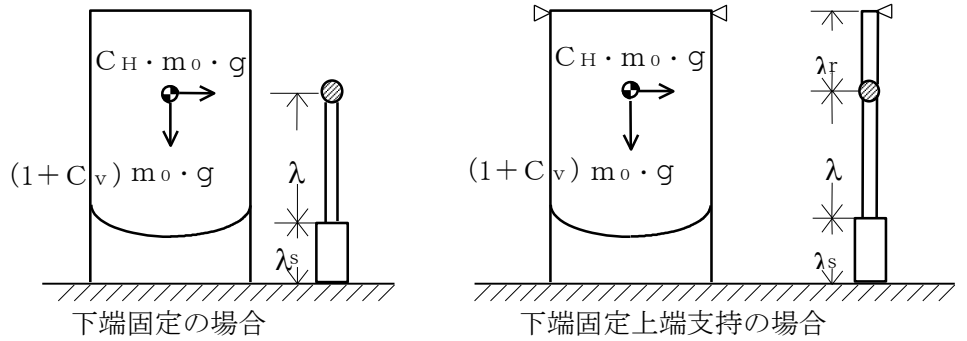


図2-1 固有周期の計算モデル

(2) 水平方向固有周期

a. 下端固定の場合

曲げ及びせん断変形によるばね定数K_Hは次式で求める。

$$K_H = 1000 \times \left\{ \frac{\lambda^3}{3 \cdot E \cdot I} + \frac{1}{3 \cdot E_s \cdot I_s} \cdot (3 \cdot \lambda^2 \cdot \lambda_s + 3 \cdot \lambda \cdot \lambda_s^2 + \lambda_s^3) + \frac{\lambda}{G \cdot A_e} + \frac{\lambda_s}{G_s \cdot A_{se}} \right\} \quad (2.1.1)$$

ここで、スカートの開口部(図2-2参照)による影響を考慮し、胴及びスカートの断面性能は次のように求める。

胴の断面性能は

$$I = \frac{\pi}{8} \cdot (D_i + t)^3 \cdot t \quad (2.1.2)$$

$$A_e = \frac{2}{3} \cdot \pi \cdot (D_i + t) \cdot t \quad (2.1.3)$$

スカートの断面性能は

$$I_s = \frac{\pi}{8} \cdot (D_s + t_s)^3 \cdot t_s - \frac{1}{4} \cdot (D_s + t_s)^2 \cdot t_s \cdot Y \quad (2.1.4)$$

スカート開口部の水平断面における最大円周長さは、(図2-2及び図2-3参照)

$$Y = \sum_{j=1}^{j=1} (D_s + t_s) \cdot \sin^{-1} \left(\frac{D_j}{D_s + t_s} \right) \quad \dots \dots \dots \quad (2.1.5)$$

$$A_{se} = \frac{2}{3} \cdot \{ \pi \cdot (D_s + t_s) - Y \} \cdot t_s \quad \dots \dots \dots \quad (2.1.6)$$

したがって、固有周期は次式で求める。

$$T_H = 2 \cdot \pi \cdot \sqrt{\frac{m_0}{K_H}} \quad \dots \dots \dots \quad (2.1.7)$$

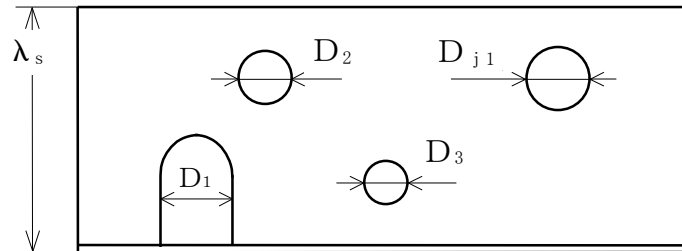


図2-2 スカート開口部の形状

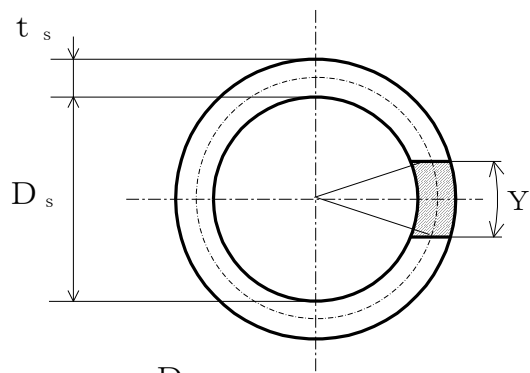


図2-3 スカート開口部の水平断面における最大円周長さ

b. 下端固定上端支持の場合

重心の位置に水平方向の荷重Qが作用したときに上端の支持部に生じる反力Q'は、図2-4に示すように荷重Q及び反力Q'による上端の変位量 δ と δ' が等しいとして求める。

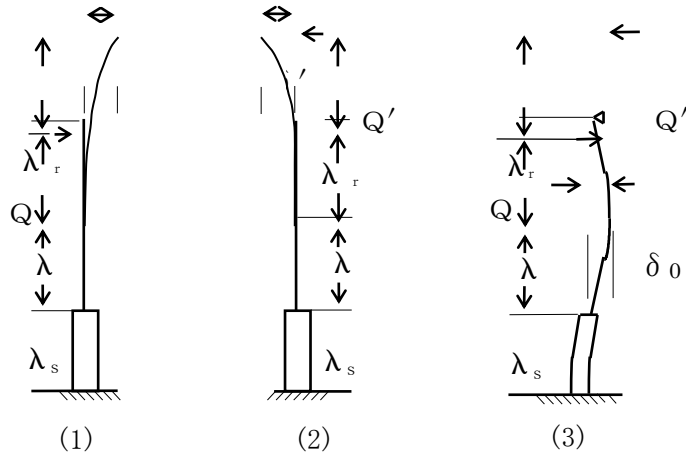


図2-4 下端固定上端支持の場合の変形モデル

図2-4の(1)の場合

$$\begin{aligned} \delta = & \frac{Q \cdot \lambda^2}{6 \cdot E \cdot I} \cdot (2 \cdot \lambda + 3 \cdot \lambda_r) + \frac{Q}{6 \cdot E_s \cdot I_s} \\ & \cdot \{2 \cdot \lambda_s^3 + 3 \cdot \lambda_s^2 \cdot \lambda_r + 6 \cdot \lambda_s \cdot \lambda \cdot (\lambda_s + \lambda + \lambda_r)\} \\ & + \frac{Q \cdot \lambda}{G \cdot A_e} + \frac{Q \cdot \lambda_s}{G_s \cdot A_{se}} \end{aligned} \quad (2.1.8)$$

図2-4の(2)の場合

$$\begin{aligned} \delta' = & \frac{Q' \cdot (\lambda + \lambda_r)^3}{3 \cdot E \cdot I} + \frac{Q'}{3 \cdot E_s \cdot I_s} \\ & \cdot \{3 \cdot (\lambda + \lambda_r)^2 + \lambda_s + 3 \cdot (\lambda + \lambda_r) \cdot \lambda_s^2 + \lambda_s^3\} \\ & + \frac{Q' \cdot (\lambda + \lambda_r)}{G \cdot A_e} + \frac{Q' \cdot \lambda_s}{G_s \cdot A_{se}} \end{aligned} \quad (2.1.9)$$

(2.1.8)式と(2.1.9)式を等しく置くことにより、

$$\begin{aligned} Q' = & Q \cdot \left\{ \frac{\lambda^2 \cdot (2 \cdot \lambda + 3 \cdot \lambda_r)}{6 \cdot E \cdot I} \right. \\ & + \frac{2 \cdot \lambda_s^3 + 3 \cdot \lambda_s^2 \cdot \lambda_r + 6 \cdot \lambda_s \cdot \lambda \cdot (\lambda_s + \lambda + \lambda_r)}{6 \cdot E_s \cdot I_s} \\ & + \left. \frac{\lambda}{G \cdot A_e} + \frac{\lambda_s}{G_s \cdot A_{se}} \right\} \Big/ \left\{ \frac{(\lambda + \lambda_r)^3}{3 \cdot E \cdot I} + \right. \\ & \frac{3 \cdot (\lambda + \lambda_r)^2 + \lambda_s + 3 \cdot (\lambda + \lambda_r) \cdot \lambda_s^2 + \lambda_s^3}{3 \cdot E_s \cdot I_s} \\ & \left. + \frac{\lambda + \lambda_r}{G \cdot A_e} + \frac{\lambda_s}{G_s \cdot A_{se}} \right\} \end{aligned} \quad (2.1.10)$$

したがって、図2-4の(3)に示す重心位置での変位量 δ_0 は図2-4の(1)及び(2)の重心位置での変位量の重ね合せから求めることができ、ばね定数 K_H は次式で求める。

$$K_H = \frac{Q}{\delta_0} = 1000 / \left\{ \frac{\lambda^3}{3 \cdot E \cdot I} + \frac{3 \cdot \lambda^2 \cdot \lambda_s + 3 \cdot \lambda \cdot \lambda_s^2 + \lambda_s^3}{3 \cdot E_s \cdot I_s} \right. \\ \left. + \left(1 - \frac{Q'}{Q} \right) \cdot \left(\frac{\lambda}{G \cdot A_e} + \frac{\lambda_s}{G_s \cdot A_{se}} \right) - \frac{Q'}{Q} \cdot \left(\frac{2 \cdot \lambda^3 + 3 \cdot \lambda^2 \cdot \lambda_r}{6 \cdot E \cdot I} \right. \right. \\ \left. \left. + \frac{3 \cdot \lambda_s^2 \cdot \lambda + \lambda_s^3 + 3 \cdot \lambda_s \cdot \lambda^2 + 3 \cdot \lambda_s \cdot \lambda \cdot \lambda_r + \frac{3}{2} \lambda_s^2 + \lambda_r^3}{3 \cdot E_s \cdot I_s} \right) \right\} \quad (2.1.11)$$

固有周期は(2.1.7)式により求める。

(3) 鉛直方向固有周期

軸方向変形によるばね定数 K_v は、次式で求める。

$$K_v = 1000 / \left(\frac{\lambda}{E \cdot A} + \frac{\lambda_s}{E_s \cdot A_s} \right) \quad (2.1.12)$$

$$A = \pi \cdot (D_i + t) \cdot t \quad (2.1.13)$$

$$A_s = \{ \pi \cdot (D_s + t_s) - Y \} \cdot t_s \quad (2.1.14)$$

したがって、固有周期 T_v は次式で求める。

$$T_v = 2 \cdot \pi \cdot \sqrt{\frac{m_0}{K_v}} \quad (2.1.15)$$

2.2 応力の計算方法

応力計算において、静的地震力を用いる場合は絶対値和を用い、動的地震力を用いる場合は、S R S S法を用いることができる。

2.2.1 胴の応力

(1) 静水頭又は内圧による応力

静水頭による場合（鉛直方向地震時を含む。）

$$\sigma_{\phi 1} = \frac{\rho' \cdot g \cdot H \cdot D_i}{2 \cdot t} \quad \dots \dots \dots \quad (2.2.1.1)$$

$$\sigma_{\phi 2} = \frac{\rho' \cdot g \cdot H \cdot D_i \cdot C_v}{2 \cdot t} \quad \dots \dots \dots \quad (2.2.1.2)$$

$$\sigma_{x1} = 0 \quad \dots \dots \dots \quad (2.2.1.3)$$

内圧による場合

$$\sigma_{\phi 1} = \frac{P_r \cdot (D_i + 1.2 \cdot t)}{2 \cdot t} \quad \dots \dots \dots \quad (2.2.1.4)$$

$$\sigma_{\phi 2} = 0 \quad \dots \dots \dots \quad (2.2.1.5)$$

$$\sigma_{x1} = \frac{P_r \cdot (D_i + 1.2 \cdot t)}{4 \cdot t} \quad \dots \dots \dots \quad (2.2.1.6)$$

(2) 運転時質量及び鉛直方向地震による応力

胴がスカートと接合する点を境界として、上部には胴自身の質量による圧縮応力が、下部には下部の胴自身の質量と内容物の質量による引張応力が生じる。

下部の胴について

$$\sigma_{x2} = \frac{(m_0 - m_e) \cdot g}{\pi \cdot (D_i + t) \cdot t} \quad \dots \dots \dots \quad (2.2.1.7)$$

$$\sigma_{x5} = \frac{(m_0 - m_e) \cdot g \cdot C_v}{\pi \cdot (D_i + t) \cdot t} \quad \dots \dots \dots \quad (2.2.1.8)$$

上部の胴について

$$\sigma_{x3} = \frac{m_e \cdot g}{\pi \cdot (D_i + t) \cdot t} \quad \dots \dots \dots \quad (2.2.1.9)$$

$$\sigma_{x6} = \frac{m_e \cdot g \cdot C_v}{\pi \cdot (D_i + t) \cdot t} \quad \dots \dots \dots \quad (2.2.1.10)$$

(3) 水平方向地震による応力

水平方向の地震力により胴はスカート接合部で最大となる曲げモーメントを受ける。この曲げモーメントによる軸方向応力と地震力によるせん断応力は次のように求める。

a. 下端固定の場合

$$\sigma_{x4} = \frac{4 \cdot C_H \cdot m_0 \cdot g \cdot \lambda}{\pi \cdot (D_i + t)^2 \cdot t} \quad \dots \dots \dots \quad (2.2.1.11)$$

$$\tau = \frac{2 \cdot C_H \cdot m_0 \cdot g}{\pi \cdot (D_i + t) \cdot t} \quad \dots \dots \dots \quad (2.2.1.12)$$

b. 下端固定上端支持の場合

$$\sigma_{x4} = \frac{4 \cdot C_H \cdot m_0 \cdot g \cdot \left| \lambda - \frac{Q'}{Q} \cdot (\lambda k_r) \right|}{\pi \cdot (D_i + t)^2 \cdot t} \quad \dots \dots \dots \quad (2.2.1.13)$$

$$\tau = \frac{2 \cdot C_H \cdot m_0 \cdot g \cdot (1 - \frac{Q'}{Q})}{\pi \cdot (D_i + t) \cdot t} \quad \dots \dots \dots \quad (2.2.1.14)$$

(4) 組合せ応力

(1)～(3)によって求めた胴の応力は以下のように組み合わせる。

a. 一次一般膜応力

(a) 組合せ引張応力

$$\sigma_\phi = \sigma_{\phi 1} + \sigma_{\phi 2} \quad \dots \dots \dots \quad (2.2.1.15)$$

$$\sigma_{0t} = \frac{1}{2} \cdot \left\{ \sigma_\phi + \sigma_{xt} + \sqrt{(\sigma_\phi - \sigma_{xt})^2 + 4 \cdot \tau^2} \right\}$$

(2.2.1.16)

ここで、

【絶対値和】

$$\sigma_{xt} = \sigma_{x1} + \sigma_{x2} + \sigma_{x4} + \sigma_{x5} \quad \dots \dots \dots \quad (2.2.1.17)$$

【S RSS法】

$$\sigma_{xt} = \sigma_{x1} + \sigma_{x2} + \sqrt{\sigma_{x4}^2 + \sigma_{x5}^2} \quad \dots \dots \dots \quad (2.2.1.18)$$

(b) 組合せ圧縮応力

$$\sigma_\phi = -\sigma_{\phi 1} - \sigma_{\phi 2} \quad \dots \dots \dots \quad (2.2.1.19)$$

σ_{xc} が正の値（圧縮側）のとき、次の組合せ圧縮応力を求める。

$$\sigma_{0c} = \frac{1}{2} \cdot \left\{ \sigma_\phi + \sigma_{xc} + \sqrt{(\sigma_\phi - \sigma_{xc})^2 + 4 \cdot \tau^2} \right\} \quad \dots \dots \dots \quad (2.2.1.20)$$

ここで、

【絶対値和】

$$\sigma_{xc} = -\sigma_{x1} + \sigma_{x3} + \sigma_{x4} + \sigma_{x6} \quad \dots \quad (2.2.1.21)$$

【S R S S法】

$$\sigma_{xc} = -\sigma_{x1} + \sigma_{x3} + \sqrt{\sigma_{x4}^2 + \sigma_{x6}^2} \quad \dots \quad (2.2.1.22)$$

したがって、胴の組合せ一次一般膜応力の最大値は、絶対値和、S R S S法それぞれに対して、

$$\sigma_0 = \text{Max} \{ \text{組合せ引張応力 } (\sigma_{0t}), \text{ 組合せ圧縮応力 } (\sigma_{0c}) \} \quad \dots \quad (2.2.1.23)$$

とする。

一次応力は一次一般膜応力と同じになるので省略する。

2.2.2 スカートの応力

(1) 運転時質量及び鉛直方向地震による応力

スカート底部に生じる運転時質量及び鉛直方向地震による圧縮応力は次式で求める。

$$\sigma_{s1} = \frac{m_0 \cdot g}{\{\pi \cdot (D_s + t_s) - Y\} \cdot t_s} \quad \dots \quad (2.2.2.1)$$

$$\sigma_{s3} = \frac{m_0 \cdot g \cdot C_v}{\{\pi \cdot (D_s + t_s) - Y\} \cdot t_s} \quad \dots \quad (2.2.2.2)$$

(2) 水平方向地震による応力

水平方向の地震力によりスカートには曲げモーメントが作用する。この曲げモーメントによる軸方向応力と地震力によるせん断応力は次のように求める。

a. 下端固定の場合

$$\sigma_{s2} = \frac{M_s}{(D_s + t_s) \cdot t_s \cdot \left\{ \frac{\pi}{4} \cdot (D_s + t_s) - \frac{Y}{2} \right\}} \quad \dots \quad (2.2.2.3)$$

$$\tau_s = \frac{2 \cdot C_H \cdot m_0 \cdot g}{\{\pi \cdot (D_s + t_s) - Y\} \cdot t_s} \quad \dots \quad (2.2.2.4)$$

ここで、

$$M_s = C_H \cdot m_0 \cdot g \cdot (\lambda_s + \lambda) \quad \dots \quad (2.2.2.5)$$

b. 下端固定上端支持の場合

軸方向応力は (2. 2. 2. 3) 式で表されるが、曲げモーメント M_s は次の M_{s1} 又は M_{s2} のいずれか大きい方の値とする。

$$M_{s1} = C_H \cdot m_0 \cdot g \cdot \left| \lambda - \frac{Q'}{Q} \cdot (\lambda + \lambda_r) \right| \quad \dots \dots \dots \quad (2. 2. 2. 6)$$

$$M_{s2} = C_H \cdot m_0 \cdot g \cdot \left| \lambda_s + \lambda - \frac{Q'}{Q} \cdot (\lambda_s + \lambda + \lambda_r) \right| \quad \dots \dots \quad (2. 2. 2. 7)$$

$$\tau_s = \frac{2 \cdot C_H \cdot m_0 \cdot g \cdot (1 - \frac{Q'}{Q})}{\{ \pi \cdot (D_s + t_s) - Y \} \cdot t_s} \quad \dots \dots \dots \quad (2. 2. 2. 8)$$

(3) 組合せ応力

組合せ応力は次式で求める。

【絶対値和】

$$\sigma_s = \sqrt{(\sigma_{s1} + \sigma_{s2} + \sigma_{s3})^2 + 3 \cdot \tau_s^2} \quad \dots \dots \dots \quad (2. 2. 2. 9)$$

【S R S S法】

$$\sigma_s = \sqrt{(\sigma_{s1} + \sqrt{\sigma_{s2}^2 + \sigma_{s3}^2})^2 + 3 \cdot \tau_s^2} \quad \dots \dots \dots \quad (2. 2. 2. 10)$$

2.2.3 基礎ボルトの応力

(1) 引張応力

基礎に作用する転倒モーメント M_s は下端固定の場合、(2.2.2.5) 式を、下端固定上端支持の場合は (2.2.2.6) 式又は (2.2.2.7) 式を用いる。

転倒モーメントが作用した場合に生じる基礎ボルトの引張荷重と基礎部の圧縮荷重については、荷重と変位量の釣合い条件を考慮することにより求める。(図 2-5 参照)

以下にその手順を示す。

a. σ_b 及び σ_c を仮定して基礎ボルトの応力計算における中立軸の荷重係数 k を求める。

$$k = \frac{1}{1 + \frac{\sigma_b}{s \cdot \sigma_c}} \quad \dots \dots \dots \quad (2.2.3.1)$$

b. 基礎ボルトの応力計算における中立軸を定める角度 α を求める。

$$\alpha = \cos^{-1} (1 - 2 \cdot k) \quad \dots \dots \dots \quad (2.2.3.2)$$

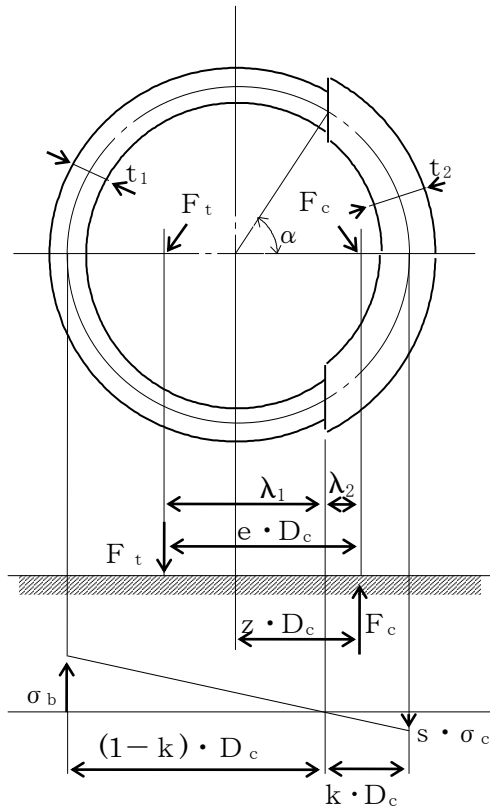


図 2-5 基礎の荷重説明図

c. 各定数 e , z , C_t 及び C_c を求める。

$$e = \frac{1}{2} \cdot \left\{ \frac{(\pi - \alpha) \cdot \cos^2 \alpha + \frac{1}{2} \cdot (\pi - \alpha) + \frac{3}{2} \cdot \sin \alpha \cdot \cos \alpha}{(\pi - \alpha) \cdot \cos \alpha + \sin \alpha} \right. \\ \left. + \frac{\frac{1}{2} \cdot \alpha - \frac{3}{2} \cdot \sin \alpha \cdot \cos \alpha + \alpha \cdot \cos^2 \alpha}{\sin \alpha - \alpha \cdot \cos \alpha} \right\} \quad \dots \dots \dots \quad (2.2.3.3)$$

$$z = \frac{1}{2} \cdot \left(\cos \alpha + \frac{\frac{1}{2} \cdot \alpha - \frac{3}{2} \cdot \sin \alpha \cdot \cos \alpha + \alpha \cdot \cos^2 \alpha}{\sin \alpha - \alpha \cdot \cos \alpha} \right) \quad \dots \dots \dots \quad (2.2.3.4)$$

$$C_t = \frac{2 \cdot \{ (\pi - \alpha) \cdot \cos \alpha + \sin \alpha \}}{1 + \cos \alpha} \quad \dots \dots \dots \quad (2.2.3.5)$$

$$C_c = \frac{2 \cdot (\sin \alpha - \alpha \cdot \cos \alpha)}{1 - \cos \alpha} \quad \dots \dots \dots \quad (2.2.3.6)$$

d. 各定数を用いて F_t 及び F_c を求める。

【絶対値和】

$$F_t = \frac{M_s - (1 - C_v) \cdot m_0 \cdot g \cdot z \cdot D_c}{e \cdot D_c} \quad \dots \dots \dots \quad (2.2.3.7)$$

$$F_c = F_t + (1 - C_v) \cdot m_0 \cdot g \quad \dots \dots \dots \quad (2.2.3.8)$$

【S RSS 法】

$$F_t = \frac{\sqrt{M_s^2 + (C_v \cdot m_0 \cdot g \cdot z \cdot D_c)^2}}{e \cdot D_c} - \frac{z}{e} \cdot m_0 \cdot g \quad \dots \dots \dots \quad (2.2.3.9)$$

$$F_c = \frac{\sqrt{M_s^2 + (C_v \cdot m_0 \cdot g \cdot (z - e) \cdot D_c)^2}}{e \cdot D_c} + \left(1 - \frac{z}{e}\right) \cdot m_0 \cdot g \quad \dots \dots \dots \quad (2.2.3.10)$$

基礎ボルトに引張力が作用しないのは、 α が π に等しくなったときであり、(2.2.3.3) 式及び (2.2.3.4) 式において α を π に近づけた場合の値 $e = 0.75$ 及び $z = 0.25$ を (2.2.3.7) 式又は (2.2.3.9) 式に代入し、得られる F_t の値によって引張力の有無を次のように判定する。

$F_t \leq 0$ ならば引張力は作用しない。

$F_t > 0$ ならば引張力が作用しているので次の計算を行う。

e. σ_b 及び σ_c を求める。

$$\sigma_b = \frac{2 \cdot F_t}{t_1 \cdot D_c \cdot C_t} \quad \dots \quad (2.2.3.11)$$

$$\sigma_c = \frac{2 \cdot F_c}{(t_2 + s \cdot t_1) \cdot D_c \cdot C_c} \quad \dots \quad (2.2.3.12)$$

ここで、

$$t_1 = \frac{n \cdot A_b}{\pi \cdot D_c} \quad \dots \quad (2.2.3.13)$$

$$t_2 = \frac{1}{2} \cdot (D_{b_o} - D_{b_i}) - t_1 \quad \dots \quad (2.2.3.14)$$

σ_b 及び σ_c が a 項にて仮定した値と十分に近似していることを確認する。この場合の σ_b 及び σ_c を基礎ボルトと基礎に生じる応力とする。

(2) せん断応力

a. 下端固定の場合

$$\tau_b = \frac{C_H \cdot m_0 \cdot g}{n \cdot A_b} \quad \dots \quad (2.2.3.15)$$

b. 下端固定上端支持の場合

$$\tau_b = \frac{C_H \cdot m_0 \cdot g \cdot (1 - \frac{Q'}{Q})}{n \cdot A_b} \quad \dots \quad (2.2.3.16)$$

3. 評価方法

3. 1 応力の評価

3. 1. 1 脇の応力評価

2. 2. 1 項で求めた組合せ応力が脇の最高使用温度における許容応力 S_a 以下であること。

| 応力の種類 | 許容応力 S_a |
|---------|---|
| 一次一般膜応力 | 設計降伏点 S_y と設計引張強さ S_u の 0.6 倍のいずれか小さい方の値。ただし、オーステナイト系ステンレス鋼及び高ニッケル合金にあっては許容引張応力 S の 1.2 倍の方が大きい場合は、この大きい方の値とする。 |

一次応力の評価は算出応力が一次一般膜応力と同じ値であるので省略する。

3. 1. 2 スカートの応力評価

(1) 2. 2. 2 項で求めたスカートの組合せ応力が許容引張応力 f_t 以下であること。

$$f_t = \frac{F}{1.5} \cdot 1.5 \quad \dots \dots \dots \quad (3.1.2.1)$$

(2) 圧縮膜応力（圧縮応力と曲げによる圧縮側応力の組合せ）は次式を満足すること。（座屈の評価）

$$\frac{\eta \cdot (\sigma_{s1} + \sigma_{s3})}{f_c} + \frac{\eta \cdot \sigma_{s2}}{f_b} \leq 1 \quad \dots \dots \dots \quad (3.1.2.2)$$

ここで、 f_c は次による。

$$\frac{D_s + 2 \cdot t_s}{2 \cdot t_s} \leq \frac{1200 \cdot g}{F} \quad \text{のとき}$$

$$f_c = F \quad \dots \dots \dots \quad (3.1.2.3)$$

$$\frac{1200 \cdot g}{F} < \frac{D_s + 2 \cdot t_s}{2 \cdot t_s} < \frac{8000 \cdot g}{F} \quad \text{のとき}$$

$$f_c = F \cdot \left[1 - \frac{1}{6800 \cdot g} \cdot \left\{ F - \phi_1 \left(\frac{8000 \cdot g}{F} \right) \right\} \cdot \left(\frac{D_s + 2 \cdot t_s}{2 \cdot t_s} - \frac{1200 \cdot g}{F} \right) \right] \dots \dots \dots \quad (3.1.2.4)$$

$$\frac{8000 \cdot g}{F} \leqq \frac{D_s + 2 \cdot t_s}{2 \cdot t_s} \leqq 800 \quad \text{のとき}$$

$$f_c = \phi_1 \left(\frac{D_s + 2 \cdot t_s}{2 \cdot t_s} \right) \quad \dots \quad (3.1.2.5)$$

ただし、 $\phi_1(x)$ は次の関数とする。

$$\phi_1(x) = 0.6 \cdot \frac{E_s}{x} \cdot \left[1 - 0.901 \cdot \left\{ 1 - e^{-x} \cdot p \left(-\frac{1}{16} \cdot \sqrt{x} \right) \right\} \right] \quad \dots \quad (3.1.2.6)$$

また、 f_b は次による。

$$\frac{D_s + 2 \cdot t_s}{2 \cdot t_s} \leqq \frac{1200 \cdot g}{F} \quad \text{のとき}$$

$$f_b = F \quad \dots \quad (3.1.2.7)$$

$$\frac{1200 \cdot g}{F} < \frac{D_s + 2 \cdot t_s}{2 \cdot t_s} < \frac{9600 \cdot g}{F} \quad \text{のとき}$$

$$f_b = F \cdot \left[1 - \frac{1}{8400 \cdot g} \cdot \left\{ F - \phi_2 \left(\frac{9600 \cdot g}{F} \right) \right\} \cdot \left(\frac{D_s + 2 \cdot t_s - 1200 \cdot g}{2 \cdot t_s - F} \right) \right] \quad \dots \quad (3.2.2.8)$$

$$\frac{9600 \cdot g}{F} \leqq \frac{D_s + 2 \cdot t_s}{2 \cdot t_s} \leqq 800 \quad \text{のとき}$$

$$f_b = \phi_2 \left(\frac{D_s + 2 \cdot t_s}{2 \cdot t_s} \right) \quad \dots \quad (3.1.2.9)$$

ただし、 $\phi_2(x)$ は次の関数とする。

$$\phi_2(x) = 0.6 \cdot \frac{E_s}{x} \cdot \left[1 - 0.731 \cdot \left\{ 1 - e^{-x} \cdot p \left(-\frac{1}{16} \cdot \sqrt{x} \right) \right\} \right] \quad \dots \quad (3.1.2.10)$$

η は安全率で次による。

$$\frac{D_s + 2 \cdot t_s}{2 \cdot t_s} \leqq \frac{1200 \cdot g}{F} \quad \text{のとき}$$

$$\eta = 1 \quad \dots \quad (3.1.2.11)$$

$$\frac{1200 \cdot g}{F} < \frac{D_s + 2 \cdot t_s}{2 \cdot t_s} < \frac{8000 \cdot g}{F} \quad \text{のとき}$$

$$\eta = 1 + \frac{0.5 \cdot F}{6800 \cdot g} \cdot \left(\frac{D_s + 2 \cdot t_s - 1200 \cdot g}{2 \cdot t_s - F} \right) \quad \dots \quad (3.1.2.12)$$

$$\frac{8000 \cdot g}{F} \leq \frac{D_s + 2 \cdot t_s}{2 \cdot t_s} \quad \text{のとき}$$

$$\eta = 1.5 \quad \dots \dots \dots \dots \dots \dots \dots \quad (3.1.2.13)$$

3.1.3 基礎ボルトの応力評価

2.2.3項で求めた基礎ボルトの引張応力 σ_b は次式より求めた許容引張応力 f_{t_s} 以下であること。

せん断応力 τ_b はせん断力のみを受ける基礎ボルトの許容せん断応力 f_{s_b} 以下であること。

$$f_{t_s} = 1.4 \cdot f_{t_o} - 1.6 \cdot \tau_b \quad \dots \dots \dots \dots \dots \dots \quad (3.1.3.1)$$

かつ、

$$f_{t_s} \leq f_{t_o} \quad \dots \dots \dots \dots \dots \dots \quad (3.1.3.2)$$

ただし、 f_{t_o} 及び f_{s_b} は下表による。

| | 許容引張応力 f_{t_o} | 許容せん断応力 f_{s_b} |
|-----|-------------------------|--|
| 計算式 | $\frac{F}{2} \cdot 1.5$ | $\frac{F}{1.5 \cdot \sqrt{3}} \cdot 1.5$ |

付録 2 平底たて置円筒形容器（耐震設計上の重要度分類B, Cクラス）
の耐震性についての計算書作成の基本方針

1. 一般事項

本基本方針は、平底たて置円筒形容器（耐震設計上の重要度分類B，Cクラス）の耐震性についての計算方法を示す。

1.1 適用基準

本基本方針における計算方法は、原子力発電所耐震設計技術指針 JEAG4601-1987（日本電気協会 電気技術基準調査委員会 昭和62年8月）に準拠する。

1.2 計算条件

- (1) 容器及び内容物の質量は重心に集中するものとする。
- (2) 地震力は容器に対して水平方向に作用するものとする。
- (3) 容器は胴下端のベースプレートを円周上等ピッチの多数の基礎ボルトで基礎に固定された固定端とする。ここで、基礎については剛となるように設計する。
- (4) 胴をはりと考え、変形モードは曲げ及びせん断変形を考慮する。

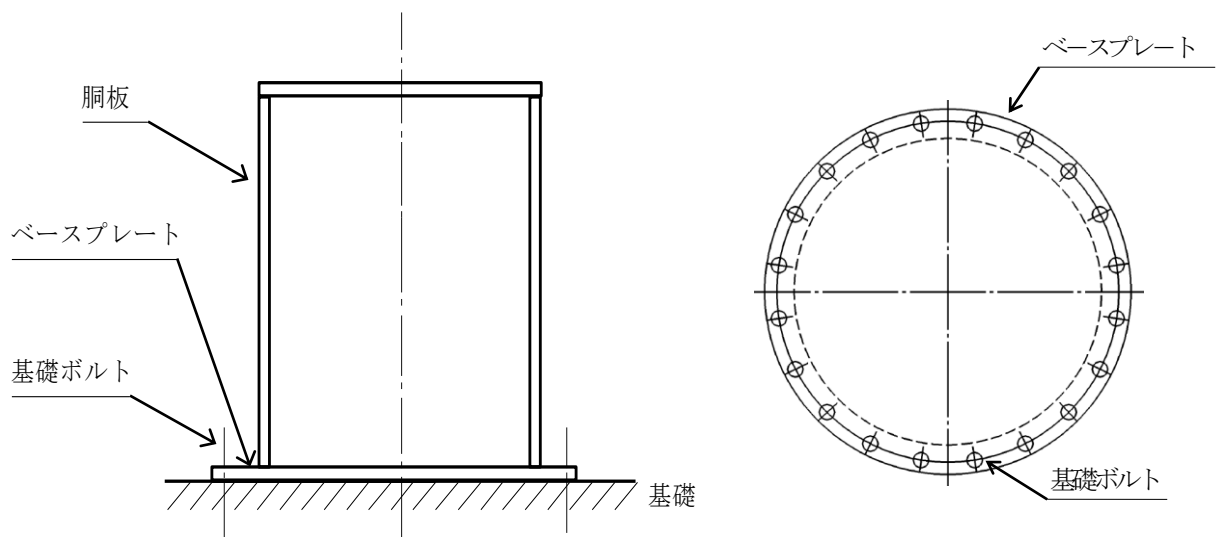


図1-1 平底たて置円筒形容器の概要図

1.3 記号の説明

| 記号 | 記号の説明 | 単位 |
|---------------------------------|---|------------------|
| A | 胴の軸断面積 | mm ² |
| A _b | 基礎ボルトの軸断面積 | mm ² |
| A _e | 胴の有効せん断面積 | mm ² |
| C _c | 基礎ボルト計算における係数 | — |
| C _H | 水平方向設計震度 | — |
| C _t | 基礎ボルト計算における係数 | — |
| C _v | 鉛直方向設計震度 | — |
| D _{b_i} | ベースプレートの内径 | mm |
| D _{b_o} | ベースプレートの外径 | mm |
| D _c | 基礎ボルトのピッチ円直径 | mm |
| D _i | 胴の内径 | mm |
| E | 胴の縦弾性係数 | MPa |
| e | 基礎ボルト計算における係数 | — |
| F | 設計・建設規格 SSB-3121.1又はSSB-3131に定める値 | MPa |
| F _c | 基礎に作用する圧縮力 | N |
| F _t | 基礎ボルトに作用する引張力 | N |
| f _b | 曲げモーメントに対する許容座屈応力 | MPa |
| f _c | 軸圧縮荷重に対する許容座屈応力 | MPa |
| f _{s_b} | せん断力のみを受ける基礎ボルトの許容せん断応力 | MPa |
| f _{t_o} | 引張力のみを受ける基礎ボルトの許容引張応力 | MPa |
| f _{t_s} | 引張力とせん断力を同時に受ける基礎ボルトの許容引張応力 | MPa |
| G | 胴のせん断弾性係数 | MPa |
| g | 重力加速度 (=9.80665) | m/s ² |
| H | 水頭 | mm |
| I | 胴の断面二次モーメント | mm ⁴ |
| K _H | 水平方向ばね定数 | N/m |
| K _v | 鉛直方向ばね定数 | N/m |
| k | 基礎ボルト計算における中立軸の荷重係数 | — |
| λ ₁ , λ ₂ | 基礎ボルト計算における中立軸から荷重作用点までの距離 (図2-2に示す距離) | mm |
| λ _g | 基礎から容器重心までの距離 | mm |
| M _s | 胴に作用する転倒モーメント | N·mm |
| m ₀ | 容器の運転時質量 | kg |
| m _e | 容器の空質量 | kg |
| n | 基礎ボルトの本数 | — |
| S | 設計・建設規格 付録材料図表 Part5 表5に定める値 | MPa |
| S _a | 胴の許容応力 | MPa |
| S _u | 設計・建設規格 付録材料図表 Part5 表9に定める値 | MPa |

| 記号 | 記号の説明 | 単位 |
|-----------------------------------|--------------------------------|--------------------|
| S _y | 設計・建設規格 付録材料図表 Part5 表8に定める値 | MPa |
| s | 基礎ボルトと基礎の縦弾性係数比 | — |
| T _H | 水平方向固有周期 | s |
| T _v | 鉛直方向固有周期 | s |
| t | 胴板の厚さ | mm |
| t ₁ | 基礎ボルト面積相当板幅 | mm |
| t ₂ | 圧縮側基礎相当幅 | mm |
| z | 基礎ボルト計算における係数 | — |
| α | 基礎ボルト計算における中立軸を定める角度 | rad |
| η | 座屈応力に対する安全率 | — |
| π | 円周率 | — |
| ρ' | 液体の比重量 (=比重×10 ⁻⁶) | kg/mm ³ |
| σ ₀ | 胴の一次一般膜応力の最大値 | MPa |
| σ _{0c} | 胴の組合せ圧縮応力 | MPa |
| σ _{0t} | 胴の組合せ引張応力 | MPa |
| σ _b | 基礎ボルトに生じる引張応力 | MPa |
| σ _c | 基礎に生じる圧縮応力 | MPa |
| σ _{x1} , σ _{φ1} | 静水頭により胴に生じる軸方向及び周方向応力 | MPa |
| σ _{x2} | 胴の空質量による軸方向圧縮応力 | MPa |
| σ _{x3} | 胴の鉛直方向地震による軸方向応力 | MPa |
| σ _{x4} | 胴の水平方向地震による軸方向応力 | MPa |
| σ _{xc} | 胴の軸方向応力の和 (圧縮側) | MPa |
| σ _{xt} | 胴の軸方向応力の和 (引張側) | MPa |
| σ _φ | 胴の周方向応力の和 | MPa |
| σ _{φ2} | 静水頭に鉛直方向地震が加わり胴に生じる周方向応力 | MPa |
| τ | 地震により胴に生じるせん断応力 | MPa |
| τ _b | 基礎ボルトに生じるせん断応力 | MPa |
| ϕ ₁ (x) | 圧縮荷重に対する許容座屈応力の関数 | MPa |
| ϕ ₂ (x) | 曲げモーメントに対する許容座屈応力の関数 | MPa |

注：「設計・建設規格」とは、発電用原子力設備規格（設計・建設規格 JSME S NC1-2005（2007年追補版含む。））（日本機械学会 2007年9月）（以下「設計・建設規格」という。）をいう。

1.4 計算精度と数値の丸め方

精度は6桁以上を確保する。

表示する数値の丸め方は表1-1に示すとおりとする。

表1-1 表示する数値の丸め方

| 数値の種類 | 単位 | 処理桁 | 処理方法 | 表示桁 |
|--------------------|-----------------|----------|------|----------------------|
| 固有周期 | s | 小数点以下第4位 | 四捨五入 | 小数点以下第3位 |
| 震度 | — | 小数点以下第3位 | 切上げ | 小数点以下第2位 |
| 温度 | °C | — | — | 整数位 |
| 比重 | — | 小数点以下第3位 | 四捨五入 | 小数点以下第2位 |
| 質量 | kg | — | — | 整数位 |
| 長さ | 下記以外の長さ | mm | — | 整数位 ^{*1} |
| | 胴板の厚さ | mm | — | 小数点以下第1位 |
| 面積 | mm ² | 有効数字5桁目 | 四捨五入 | 有効数字4桁 ^{*3} |
| モーメント | N・mm | 有効数字5桁目 | 四捨五入 | 有効数字4桁 ^{*3} |
| 算出応力 | MPa | 小数点以下第1位 | 切上げ | 整数位 |
| 許容応力 ^{*2} | MPa | 小数点以下第1位 | 切捨て | 整数位 |

注記 *1：設計上定める値が小数点以下第1位の場合は、小数点以下第1位表示とする。

*2：設計・建設規格 付録材料図表に記載された温度の中間における引張強さ及び降伏点は、比例法により補間した値の小数点以下第1位を切り捨て、整数位までの値とする。

*3：絶対値が1000以上のときは、べき数表示とする。

2. 計算方法

2.1 固有周期の計算方法

(1) 計算モデル

本容器は、1.2項より図2-1に示すような下端固定の1質点系振動モデルとして考える。

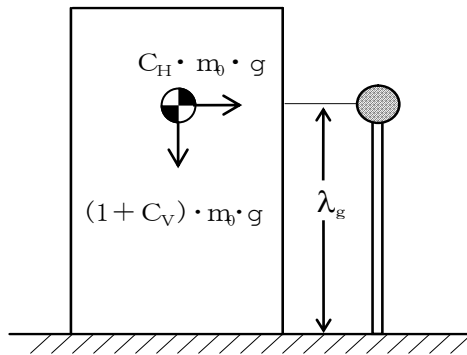


図2-1 固有周期の計算モデル

(2) 水平方向固有周期

曲げ及びせん断変形によるばね定数K_Hは次式で求める。

$$K_H = \frac{1000}{\frac{\lambda_g^3}{3 \cdot E \cdot I} + \frac{\lambda_g}{G \cdot A_e}} \quad \dots \quad (2.1.1)$$

ここで、胴の断面性能は次のように求める。

$$I = \frac{\pi}{8} \cdot (D_i + t)^3 \cdot t \quad \dots \quad (2.1.2)$$

$$A_e = \frac{2}{3} \cdot \pi \cdot (D_i + t) \cdot t \quad \dots \quad (2.1.3)$$

したがって、固有周期T_Hは次式で求める。

$$T_H = 2 \cdot \pi \cdot \sqrt{\frac{m_0}{K_H}} \quad \dots \quad (2.1.4)$$

(3) 鉛直方向固有周期

軸方向変形によるばね定数K_Vは次式で求める。

$$K_V = \frac{1000}{\frac{\lambda_g}{A \cdot E}} \quad \dots \quad (2.1.5)$$

ここで、胴の断面性能は次のように求める。

$$A = \pi \cdot (D_i + t) \cdot t \quad \dots \quad (2.1.6)$$

したがって、固有周期T_Vは次式で求める。

$$T_V = 2 \cdot \pi \cdot \sqrt{\frac{m_e}{K_V}} \quad \dots \quad (2.1.7)$$

2.2 応力の計算方法

応力計算において、静的地震力を用いる場合は絶対値和を用い、動的地震力を用いる場合はS R S S法を用いることができる。

2.2.1 脳の応力

(1) 静水頭及び鉛直方向地震による応力

$$\sigma_{\phi 1} = \frac{\rho' \cdot g \cdot H \cdot D_i}{2 \cdot t} \quad \dots \dots \dots \quad (2.2.1.1)$$

$$\sigma_{\phi 2} = \frac{\rho' \cdot g \cdot H \cdot D_i \cdot C_v}{2 \cdot t} \quad \dots \dots \dots \quad (2.2.1.2)$$

$$\sigma_{x1} = 0 \quad \dots \dots \dots \quad (2.2.1.3)$$

(2) 運転時質量及び鉛直方向地震による応力

脳がベースプレートと接合する点には脳自身の質量による圧縮応力と鉛直方向地震による軸方向応力が生じる。

$$\sigma_{x2} = \frac{m_e \cdot g}{\pi \cdot (D_i + t) \cdot t} \quad \dots \dots \dots \quad (2.2.1.4)$$

$$\sigma_{x3} = \frac{m_e \cdot g \cdot C_v}{\pi \cdot (D_i + t) \cdot t} \quad \dots \dots \dots \quad (2.2.1.5)$$

(3) 水平方向地震による応力

水平方向の地震力により脳はベースプレート接合部で最大となる曲げモーメントを受ける。この曲げモーメントによる軸方向応力と地震力によるせん断応力は次のように求める。

$$\sigma_{x4} = \frac{4 \cdot C_H \cdot m_0 \cdot g \cdot \lambda_g}{\pi \cdot (D_i + t)^2 \cdot t} \quad \dots \dots \dots \quad (2.2.1.6)$$

$$\tau = \frac{2 \cdot C_H \cdot m_0 \cdot g}{\pi \cdot (D_i + t) \cdot t} \quad \dots \dots \dots \quad (2.2.1.7)$$

(4) 組合せ応力

(1)～(3)によって求めた脳の応力は以下のように組み合わせる。

a. 一次一般膜応力

(a) 組合せ引張応力

$$\sigma_\phi = \sigma_{\phi 1} + \sigma_{\phi 2} \quad \dots \dots \dots \quad (2.2.1.8)$$

$$\sigma_{0t} = \frac{1}{2} \cdot \left\{ \sigma_\phi + \sigma_{x1} + \sqrt{(\sigma_\phi - \sigma_{x1})^2 + 4 \cdot \tau^2} \right\} \quad \dots \dots \dots \quad (2.2.1.9)$$

ここで、

【絶対値和】

$$\sigma_{xt} = \sigma_{x1} - \sigma_{x2} + \sigma_{x3} + \sigma_{x4} \quad \dots \dots \dots \quad (2.2.1.10)$$

【S R S S法】

$$\sigma_{xt} = \sigma_{x1} - \sigma_{x2} + \sqrt{\sigma_{x3}^2 + \sigma_{x4}^2} \quad \dots \dots \dots \quad (2.2.1.11)$$

(b) 組合せ圧縮応力

$$\sigma_{\phi} = -\sigma_{\phi 1} - \sigma_{\phi 2} \quad \dots \quad (2.2.1.12)$$

σ_{x_c} が正の値(圧縮側)のとき、次の組合せ圧縮応力を求める。

$$\sigma_{0c} = \frac{1}{2} \cdot \left\{ \sigma_{\phi} + \sigma_{x_c} + \sqrt{(\sigma_{\phi} - \sigma_{x_c})^2 + 4 \cdot \tau^2} \right\} \dots \quad (2.2.1.13)$$

ここで、

【絶対値和】

$$\sigma_{x_c} = -\sigma_{x1} + \sigma_{x2} + \sigma_{x3} + \sigma_{x4} \quad \dots \quad (2.2.1.14)$$

【S R S S 法】

$$\sigma_{x_c} = -\sigma_{x1} + \sigma_{x2} + \sqrt{\sigma_{x3}^2 + \sigma_{x4}^2} \quad \dots \quad (2.2.1.15)$$

したがって、胴の組合せ一次一般膜応力の最大値は、絶対値和、S R S S 法それぞれに対して、

$$\sigma_0 = \text{Max} \{ \text{組合せ引張応力 } (\sigma_{0t}), \text{ 組合せ圧縮応力 } (\sigma_{0c}) \} \dots \quad (2.2.1.16)$$

とする。

一次応力は一次一般膜応力と同じになるので省略する。

2.2.2 基礎ボルトの応力

(1) 引張応力

転倒モーメントが作用した場合に生じる基礎ボルトの引張荷重と基礎部の圧縮荷重については、荷重と変位量の釣合い条件を考慮することにより求める。(図 2-2 参照)

以下にその手順を示す。

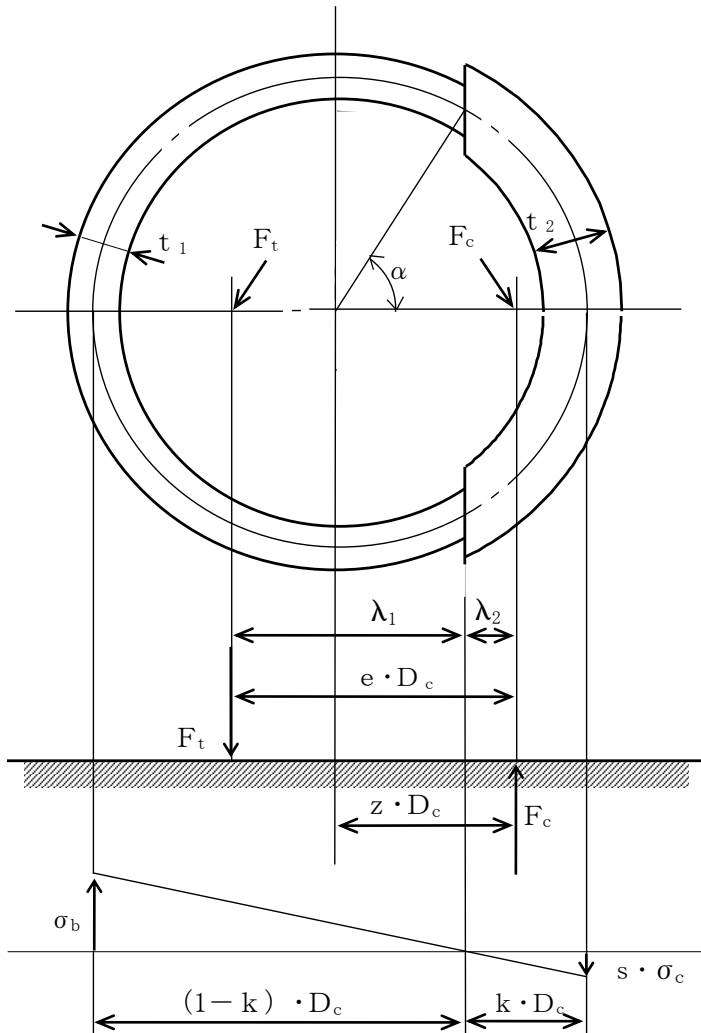


図 2-2 基礎の荷重説明図

a. σ_b 及び σ_c を仮定して基礎ボルトの応力計算における中立軸の荷重係数 k を求める。

$$k = \frac{1}{1 + \frac{\sigma_b}{s \cdot \sigma_c}} \quad \dots \dots \dots \quad (2.2.2.1)$$

b. 基礎ボルトの応力計算における中立軸を定める角度 α を求める。

$$\alpha = \cos^{-1} (1 - 2 \cdot k) \quad \dots \dots \dots \quad (2.2.2.2)$$

c. 各定数 e , z , C_t 及び C_c を求める。

$$e = \frac{1}{2} \cdot \left\{ \frac{(\pi - \alpha) \cdot \cos^2 \alpha + \frac{1}{2} \cdot (\pi - \alpha) + \frac{3}{2} \cdot \sin \alpha \cdot \cos \alpha}{(\pi - \alpha) \cdot \cos \alpha + \sin \alpha} \right. \\ \left. + \frac{\frac{1}{2} \cdot \alpha - \frac{3}{2} \cdot \sin \alpha \cdot \cos \alpha + \alpha \cdot \cos^2 \alpha}{\sin \alpha - \alpha \cdot \cos \alpha} \right\} \quad \dots \dots \dots \quad (2.2.2.3)$$

$$z = \frac{1}{2} \cdot \left(\cos \alpha + \frac{\frac{1}{2} \cdot \alpha - \frac{3}{2} \cdot \sin \alpha \cdot \cos \alpha + \alpha \cdot \cos^2 \alpha}{\sin \alpha - \alpha \cdot \cos \alpha} \right) \quad \dots \dots \dots \quad (2.2.2.4)$$

$$C_t = \frac{2 \cdot \{ (\pi - \alpha) \cdot \cos \alpha + \sin \alpha \}}{1 + \cos \alpha} \quad \dots \dots \dots \quad (2.2.2.5)$$

$$C_c = \frac{2 \cdot (\sin \alpha - \alpha \cdot \cos \alpha)}{1 - \cos \alpha} \quad \dots \dots \dots \quad (2.2.2.6)$$

d. 各定数を用いて F_t 及び F_c を求める。

【絶対値和】

$$F_t = \frac{M_s - (1 - C_v) \cdot m_0 \cdot g \cdot z \cdot D_c}{e \cdot D_c} \quad \dots \dots \dots \quad (2.2.2.7)$$

$$F_c = F_t + (1 - C_v) \cdot m_0 \cdot g \quad \dots \dots \dots \quad (2.2.2.8)$$

【S R S S 法】

$$F_t = \frac{\sqrt{M_s^2 + (C_v \cdot m_0 \cdot g \cdot z \cdot D_c)^2}}{e \cdot D_c} - \frac{z}{e} \cdot m_0 \cdot g \quad \dots \dots \quad (2.2.2.9)$$

$$F_c = \frac{\sqrt{M_s^2 + (C_v \cdot m_0 \cdot g \cdot (z - e) \cdot D_c)^2}}{e \cdot D_c} + \left(1 - \frac{z}{e} \right) \cdot m_0 \cdot g \quad \dots \dots \quad (2.2.2.10)$$

ここで、

$$M_s = C_H \cdot m_0 \cdot g \cdot \lambda_g \quad \dots \dots \dots \quad (2.2.2.11)$$

基礎ボルトに引張力が作用しないのは、 α が π に等しくなったときであり、
 (2.2.2.3) 式及び (2.2.2.4) 式において α を π に近づけた場合の値 $e = 0.75$ 及び $z = 0.25$ を (2.2.2.7) 式又は (2.2.2.9) 式に代入し、得られる F_t の値によって引張力の有無を次のように判定する。

$F_t \leq 0$ ならば引張力は作用しない。

$F_t > 0$ ならば引張力が作用しているので次の計算を行う。

e. σ_b 及び σ_c を求める。

$$\sigma_b = \frac{2 \cdot F_t}{t_1 \cdot D_c \cdot C_t} \quad \dots \dots \dots \quad (2.2.2.12)$$

$$\sigma_c = \frac{2 \cdot F_c}{(t_2 + s \cdot t_1) \cdot D_c \cdot C_c} \quad \dots \dots \dots \quad (2.2.2.13)$$

ここで、

$$t_1 = \frac{n \cdot A_b}{\pi \cdot D_c} \quad \dots \dots \dots \quad (2.2.2.14)$$

$$t_2 = \frac{1}{2} \cdot (D_{b_o} - D_{b_i}) - t_1 \quad \dots \dots \dots \quad (2.2.2.15)$$

σ_b 及び σ_c が a 項にて仮定した値と十分に近似していることを確認する。この場合の σ_b 及び σ_c を基礎ボルトと基礎に生じる応力とする。

(2) せん断応力

$$\tau_b = \frac{C_H \cdot m_0 \cdot g}{n \cdot A_b} \quad \dots \dots \dots \quad (2.2.2.16)$$

3. 評価方法

3.1 応力の評価

3.1.1 脈の応力評価

(1) 2.2.1 項で求めた組合せ応力が脈の最高使用温度における許容応力 S_a 以下であること。

| 応力の種類 | 設計応力 S_a |
|---------|---|
| 一次一般膜応力 | 設計降伏点 S_y と設計引張強さ S_u の 0.6 倍のいずれか小さい方の値。ただし、オーステナイト系ステンレス鋼及び高ニッケル合金にあっては許容引張応力 S の 1.2 倍の方が大きい場合は、この大きい方の値とする。 |

一次応力の評価は算出応力が一次一般膜応力と同じ値であるので省略する。

(2) 圧縮膜応力（圧縮応力と曲げによる圧縮側応力の組合せ）は次式を満足すること。（座屈の評価）

$$\frac{\eta \cdot (\sigma_{x2} + \sigma_{x3})}{f_c} + \frac{\eta \cdot \sigma_{x4}}{f_b} \leq 1 \quad \dots \dots \dots \quad (3.1.1.1)$$

ここで、 f_c は次による。

$$\frac{D_i + 2 \cdot t}{2 \cdot t} \leq \frac{1200 \cdot g}{F} \quad \text{のとき}$$

$$f_c = F \quad \dots \dots \dots \quad (3.1.1.2)$$

$$\frac{1200 \cdot g}{F} < \frac{D_i + 2 \cdot t}{2 \cdot t} < \frac{8000 \cdot g}{F} \quad \text{のとき}$$

$$f_c = F \cdot \left[1 - \frac{1}{6800 \cdot g} \cdot \left\{ F - \phi_1 \left(\frac{8000 \cdot g}{F} \right) \right\} \cdot \left(\frac{D_i + 2 \cdot t}{2 \cdot t} - \frac{1200 \cdot g}{F} \right) \right] \quad \dots \dots \dots \quad (3.1.1.3)$$

$$\frac{8000 \cdot g}{F} \leq \frac{D_i + 2 \cdot t}{2 \cdot t} \leq 800 \quad \text{のとき}$$

$$f_c = \phi_1\left(\frac{D_i + 2 \cdot t}{2 \cdot t}\right) \dots \quad (3.1.1.4)$$

ただし、 $\phi_1(x)$ は次の関数とする。

$$\phi_1(x) = 0.6 \cdot \frac{E}{x} \cdot \left[1 - 0.901 \cdot \left\{ 1 - \exp\left(-\frac{1}{16} \cdot \sqrt{x}\right) \right\} \right] \dots \quad (3.1.1.5)$$

また、 f_b は次による。

$$\frac{D_i + 2 \cdot t}{2 \cdot t} \leq \frac{1200 \cdot g}{F} \quad \text{のとき}$$

$$f_b = F \dots \quad (3.1.1.6)$$

$$\frac{1200 \cdot g}{F} < \frac{D_i + 2 \cdot t}{2 \cdot t} < \frac{9600 \cdot g}{F} \quad \text{のとき}$$

$$f_b = F \cdot \left[1 - \frac{1}{8400 \cdot g} \cdot \left\{ F - \phi_2\left(\frac{9600 \cdot g}{F}\right) \right\} \cdot \left(\frac{D_i + 2 \cdot t}{2 \cdot t} - \frac{1200 \cdot g}{F} \right) \right] \dots \quad (3.1.1.7)$$

$$\frac{9600 \cdot g}{F} \leq \frac{D_i + 2 \cdot t}{2 \cdot t} \leq 800 \quad \text{のとき}$$

$$f_b = \phi_2\left(\frac{D_i + 2 \cdot t}{2 \cdot t}\right) \dots \quad (3.1.1.8)$$

ただし、 $\phi_2(x)$ は次の関数とする。

$$\phi_2(x) = 0.6 \cdot \frac{E}{x} \cdot \left[1 - 0.731 \cdot \left\{ 1 - \exp\left(-\frac{1}{16} \cdot \sqrt{x}\right) \right\} \right] \dots \quad (3.1.1.9)$$

η は安全率で次による。

$$\frac{D_i + 2 \cdot t}{2 \cdot t} \leq \frac{1200 \cdot g}{F} \quad \text{のとき}$$

$$\eta = 1 \dots \quad (3.1.1.10)$$

$$\frac{1200 \cdot g}{F} < \frac{D_i + 2 \cdot t}{2 \cdot t} < \frac{8000 \cdot g}{F} \quad \text{のとき}$$

$$\eta = 1 + \frac{0.5 \cdot F}{6800 \cdot g} \cdot \left(\frac{D_i + 2 \cdot t}{2 \cdot t} - \frac{1200 \cdot g}{F} \right) \dots \quad (3.1.1.11)$$

$$\frac{8000 \cdot g}{F} \leq \frac{D_i + 2 \cdot t}{2 \cdot t} \quad \text{のとき}$$

$$\eta = 1.5 \dots \quad (3.1.1.12)$$

3.1.2 基礎ボルトの応力評価

2.2.2 項で求めた基礎ボルトの引張応力 σ_b は次式より求めた許容引張応力 f_{ts} 以下であること。

せん断応力 τ_b はせん断力のみを受ける基礎ボルトの許容せん断応力 f_{sb} 以下であること。

$$f_{ts} = 1.4 \cdot f_{to} - 1.6 \cdot \tau_b \quad \dots \dots \dots \dots \dots \dots \dots \quad (3.1.2.1)$$

かつ、

$$f_{ts} \leq f_{to} \quad \dots \dots \dots \dots \dots \dots \dots \quad (3.1.2.2)$$

ただし、 f_{to} 及び f_{sb} は下表による。

| | 許容引張応力 f_{to} | 許容せん断応力 f_{sb} |
|-----|-------------------------|--|
| 計算式 | $\frac{F}{2} \cdot 1.5$ | $\frac{F}{1.5 \cdot \sqrt{3}} \cdot 1.5$ |

建屋内 RO 循環設備および追設する関連機器に係る確認事項

建屋内 RO 循環設備および追設する関連機器の構造強度・耐震性及び機能・性能等に関する確認事項を表-1～15 に示す。

表-1 確認事項（ろ過処理水受タンク、淡水化処理水受タンク）

| 確認事項 | 確認項目 | 確認内容 | 判定 |
|--------------|----------|--|--|
| 構造強度 ・耐震性 | 材料確認 | 実施計画に記載した主な材料について記録を確認する。 | 実施計画のとおりであること。 |
| | 寸法確認 | 実施計画に記載した主要寸法について記録を確認する。 | 寸法が許容範囲内であること。 |
| | 外観確認 | 各部の外観を確認する。 | 有意な欠陥がないこと。 |
| | 据付確認 | 機器の据付位置、据付状態について確認する。 | 実施計画のとおり施工・据付けられていること。 |
| | 耐圧・漏えい確認 | 確認圧力で保持した後、確認圧力に耐えていることを確認する。 耐圧確認終了後、耐圧部分からの漏えいの有無を確認する。 | 圧力に耐え、かつ構造物の変形等がないこと。 また、耐圧部から漏えいがないこと。 |
| 機能 | 警報確認 | 液位「高高」側 ^{※1} の信号により警報が発生することを確認する。 | 液位「高高」側 ^{※1} の信号により警報が発生すること。 |

※1 タンクにより信号名称は異なる。

表-2 確認事項（ろ過器、建屋内 R0）

| 確認事項 | 確認項目 | 確認内容 | 判定 |
|--------------|----------|--|--|
| 構造強度 ・耐震性 | 材料確認 | 実施計画に記載した主な材料について記録を確認する。 | 実施計画のとおりであること。 |
| | 寸法確認 | 実施計画に記載した主要寸法について記録を確認する。 | 寸法が許容範囲内であること。 |
| | 外観確認 | 各部の外観を確認する。 | 有意な欠陥がないこと。 |
| | 据付確認 | 機器の据付位置、据付状態について確認する。 | 実施計画のとおり施工・据付されていること。 |
| | 耐圧・漏えい確認 | 確認圧力で保持した後、確認圧力に耐えていることを確認する。 耐圧確認終了後、耐圧部分からの漏えいの有無を確認する。 | 圧力に耐え、かつ構造物の変形等がないこと。 また、耐圧部から漏えいがないこと。 |
| 性能 | 運転性能確認 | 定格容量を通水する。 | 定格容量を通水できること。 処理前後の差圧に異常がないこと。 建屋内 R0 処理後の導電率が 40mS/m 以下であること。 |

表-3 確認事項 (SPT 廃液移送ポンプ, SPT 廃液昇圧ポンプ, ろ過処理水移送ポンプ, ろ過処理水昇圧ポンプ, CST 移送ポンプ)

| 確認事項 | 確認項目 | 確認内容 | 判定 |
|--------------|-------------------------|--------------------------|--|
| 構造強度 ・耐震性 | 外観確認 | 各部の外観を確認する。 | 有意な欠陥がないこと。 |
| | 据付確認 | 機器の据付位置, 据付状態について確認する。 | 実施計画のとおり施工・据付されていること。 |
| | 漏えい 確認 ^{※1} | 運転圧力で耐圧部分からの漏えいの有無を確認する。 | 耐圧部から著しい漏えいがないこと。 |
| 性能 | 運転性能 確認 | ポンプの運転確認を行う。 | 実施計画に記載した容量を満足すること。 また, 異音, 発煙, 異常振動等がないこと。 ^{※1} |

※1 SPT 廃液移送ポンプについては, SPT 内部の水中に設置されており, 漏えい確認及び運転性能確認における異音, 発煙, 異常振動等の確認が困難であり, 対象外とする。

表-4 確認事項 (建屋内 RO 循環設備主配管 (鋼管))

| 確認事項 | 確認項目 | 確認内容 | 判定 |
|--------------|-----------------------|--|--|
| 構造強度 ・耐震性 | 材料確認 | 実施計画に記載した主な材料について記録を確認する。 | 実施計画のとおりであること。 |
| | 寸法確認 | 実施計画に記載した外径, 厚さについて記録を確認する。 | 実施計画のとおりであること。 |
| | 外観確認 ^{※1} | 各部の外観を確認する。 | 有意な欠陥がないこと。 |
| | 据付確認 | 配管の据付状態について確認する。 | 実施計画のとおり施工・据付されていること。 |
| | 耐圧 ・ 漏えい 確認 | 確認圧力で保持した後, 確認圧力に耐えていることを確認する。 耐圧確認終了後, 耐圧部分からの漏えいの有無を確認する。 | 圧力に耐え, かつ構造物の変形等がないこと。 また, 耐圧部から漏えいがないこと。 |

※1 現地では実施可能な範囲とし, 必要に応じて記録を確認する。

表-5 確認事項（建屋内RO循環設備主配管（耐圧ホース、ポリエチレン管））

| 確認事項 | 確認項目 | 確認内容 | 判定 |
|----------|------------------------|--|-----------------------|
| 構造強度・耐震性 | 材料確認 | 実施計画に記載した主な材料について記録を確認する。 | 実施計画のとおりであること。 |
| | 寸法確認 | 実施計画に記載した外径、厚さについて記録を確認する。 | 実施計画のとおりであること。 |
| | 外観確認 ※ ¹ | 各部の外観を確認する。 | 有意な欠陥がないこと。 |
| | 据付確認 | 配管の据付状態について確認する。 | 実施計画のとおり施工・据付されていること。 |
| | 耐圧・漏えい確認 | 現場状況を考慮し製造者指定方法・圧力による漏えい有無を確認する。※ ¹ | 耐圧部から漏えいがないこと。 |

※1 現地では実施可能な範囲とし、必要に応じて記録を確認する。

表-6 確認事項（漏えい検知器、警報装置）

| 確認事項 | 確認項目 | 確認内容 | 判定 |
|------|------------------------|--------------------------|-----------------------|
| 構造強度 | 外観確認 ※ ¹ | 各部の外観を確認する。 | 有意な欠陥がないこと。 |
| | 据付確認 | 装置の据付位置、据付状態について確認する。 | 実施計画のとおり施工・据付されていること。 |
| 機能 | 漏えい警報確認 | 漏えい信号により、警報が作動することを確認する。 | 警報が作動すること。 |

※1 現地では実施可能な範囲とし、必要に応じて記録を確認する。

表-7 確認事項（4号機タービン建屋内堰等）

| 確認事項 | 確認項目 | 確認内容 | 判定 |
|-----------|------|----------------------------|-----------------------|
| 漏えい 防止 | 寸法確認 | 主要寸法の記録を確認する。 | 寸法が許容範囲内であること。 |
| | 外観確認 | 各部の外観を確認する。 | 有意な欠陥がないこと。 |
| 漏えい 防止 | 据付確認 | 堰その他の設備の据付位置、据付状態について確認する。 | 実施計画のとおり施工・据付されていること。 |

表-8 確認事項（SPT 受入水タンク接続管台）

| 確認事項 | 確認項目 | 確認内容 | 判定 |
|--------------|------------------|--|--|
| 構造強度 ・耐震性 | 材料確認 | 実施計画に記載した主な材料について記録を確認する。 | 実施計画のとおりであること。 |
| | 寸法確認 | 実施計画に記載した外径、厚さについて記録を確認する。 | 寸法が許容範囲内であること。 |
| | 外観確認 | 各部の外観を確認する。 | 有意な欠陥がないこと。 |
| | 据付確認 | 機器の据付位置、据付状態について確認する。 | 実施計画のとおり施工・据付されていること。 |
| | 耐圧・ 漏えい 確認 | 確認圧力で保持した後、確認圧力に耐えていることを確認する。 耐圧確認終了後、耐圧部分からの漏えいの有無を確認する。 | 圧力に耐え、かつ構造物の変形等がないこと。 また、耐圧部から漏えいがないこと。 |

表-9 確認事項（容器、管の溶接検査）（1／2）

| 確認事項 | 確認項目 | 対象設備 | 確認内容 | 判定 |
|------|--------|--|---|---|
| 溶接検査 | 材料検査 | ①ろ過器 ②SPT 廃液移送ポンプから淡水化処理水受タンクまでの外径 61mm 以上の鋼管 ③建屋内 RO 出口からろ過処理水受タンク入口までの外径 61mm 以上の鋼管 ④SPT 受入水タンク接続管台 | 材料が溶接規格等に適合するものであり、溶接施工法の母材の区分に適合することを確認する。 | 材料が溶接規格等に適合するものであり、溶接施工法の母材の区分に適合することであること。 |
| | 開先検査 | ①ろ過器 ②SPT 廃液移送ポンプから淡水化処理水受タンクまでの外径 61mm 以上の鋼管 ③建屋内 RO 出口からろ過処理水受タンク入口までの外径 61mm 以上の鋼管 ④SPT 受入水タンク接続管台 | 開先形状等が溶接規格等に適合するものであることを確認する。 | 開先形状等が溶接規格等に適合するものであること。 |
| | 溶接作業検査 | ①ろ過器 ②SPT 廃液移送ポンプから淡水化処理水受タンクまでの外径 61mm 以上の鋼管 ③建屋内 RO 出口からろ過処理水受タンク入口までの外径 61mm 以上の鋼管 ④SPT 受入水タンク接続管台 | あらかじめ確認された溶接施工法又は実績のある溶接施工法又は管理されたプロセスを有する溶接施工法であることを確認する。あらかじめ確認された溶接士により溶接が行われていることを確認する。 | あらかじめ確認された溶接施工法および溶接士により溶接施工をしていること。 |

表-9 確認事項（容器、管の溶接検査）（2／2）

| 確認事項 | 確認項目 | 対象設備 | 確認内容 | 判定 |
|------|------------------|--|--|---|
| 溶接検査 | 非破壊試験 | ①ろ過器 ②SPT 廃液移送ポンプから淡水化処理水受タンクまでの外径 61mm 以上の鋼管 ③建屋内 RO 出口からろ過処理水受タンク入口までの外径 61mm 以上の鋼管 ④SPT 受入水タンク接続管台 | 溶接部について非破壊検査を行い、その試験方法及び結果が溶接規格等に適合するものであることを確認する。 | 溶接部について非破壊検査を行い、その試験方法及び結果が溶接規格等に適合するものであること。 |
| | 機械試験 | ①ろ過器 | 溶接部を代表する試験片にて機械試験を行い、当該試験片の機械的性質が溶接規格等に適合しているものであることを確認する。 | 溶接部を代表する試験片にて機械試験を行い、当該試験片の機械的性質が溶接規格等に適合しているものであること。 |
| | 耐圧・漏えい検査 外観検査 | ①ろ過器 ②SPT 廃液移送ポンプから淡水化処理水受タンクまでの外径 61mm 以上の鋼管 ③建屋内 RO 出口からろ過処理水受タンク入口までの外径 61mm 以上の鋼管 ④SPT 受入水タンク接続管台 | 検査圧力で保持した後、検査圧力に耐えていることを確認する。耐圧確認終了後、耐圧部分からの漏えいの有無を確認する。 | 検査圧力で保持した後、検査圧力に耐えていること。 耐圧確認終了後、耐圧部分からの漏えいの有無及び外観上、傷・へこみ・変形等の異常がないこと。 |

表-10 確認事項（建屋内RO濃縮水受タンク，増設RO濃縮水受タンク）

| 確認事項 | 確認項目 | 確認内容 | 判定 |
|----------|------------|--|---------------------------|
| 構造強度・耐震性 | 材料確認※1 | 使用材料を記録により確認する。 | 実施計画のとおりであること。 |
| | 寸法確認※1 | 主要寸法（板厚、内径または外径、高さ）を記録により確認する。 | 実施計画のとおりであること。 |
| | 外観確認 | タンク本体の外観を確認する。 | 有意な欠陥がないこと。 |
| | 据付確認 | 組立状態及び据付状態を確認する。 | 組立状態及び据付状態に異常がないこと。 |
| | | タンク基礎の不陸について確認する。 | 不陸がないこと。 |
| | 耐圧・漏えい確認※1 | タンク運用水位以上に水を張り、耐圧部からの漏えいが無い事を確認する。 | 各部からの漏えいおよび水位の低下がないこと。 |
| 機能・性能 | 地盤支持力確認 | 支持力試験にてタンク基礎の地盤支持力を確認する。※2 | 必要な支持力を有していること。 |
| | 監視確認 | 水位計について、免震重要棟集中監視室にタンク水位が表示できることを確認する。 | 免震重要棟集中監視室にタンク水位が表示できること。 |
| | 寸法確認 | 堰内容量を確認する。 | 必要容量に相当する堰内容量があること。 |
| | 外観確認 | 基礎外周堰の外観を確認する。 | 有意な欠陥がないこと。 |

※1：増設RO濃縮水受タンクは用途変更して使用するため過去の記録を確認とする

※2：増設RO濃縮水受タンクを対象とする

表-11 確認事項（建屋内RO濃縮水移送ポンプ、増設RO濃縮水供給ポンプ）

| 確認事項 | 確認項目 | 確認内容 | 判定 |
|--------------|------------|--------------------------|---|
| 構造強度 ・耐震性 | 外観確認 | ポンプの外観を確認する。 | 有意な欠陥がないこと。 |
| | 据付確認 | 組立状態及び据付状態を確認する。 | 組立状態及び据付状態に異常がないこと。 |
| | | ポンプ基礎の不陸について確認する。 | 異常な不陸がないこと。 |
| | 漏えい 確認 | 運転圧力で耐圧部分からの漏えいの有無を確認する。 | 耐圧部から著しい漏えいがないこと。 |
| 性能 | 運転性能 確認 | ポンプの運転確認を行う。 | 実施計画に記載した容量を満足すること。 また、異音、異臭、異常振動等がないこと。 |

表-12 確認事項（建屋内 RO 濃縮水移送ポンプから増設 RO 濃縮水受タンク間の既設鋼管部分）

| 確認事項 | 確認項目 | 確認内容 | 判定 |
|--------------|-----------------|--|---|
| 構造強度 ・耐震性 | 材料確認 ※ 1 | 使用材料を記録により確認する。 | 実施計画のとおりであること。 |
| | 寸法確認 ※ 1 | 外径、厚さについて記録により確認する。 | 実施計画のとおりであること。 |
| | 外観確認 ※ 1 | 配管の外観を確認する。 | 有意な欠陥がないこと。 |
| | 据付確認 | 配管が図面のとおり据付していることを立会いまたは記録により確認する。 | 実施計画のとおり施工・据付されていること。 |
| | 耐圧・漏えい確認 ※ 1 | 最高使用圧力の 1.5 倍で一定時間保持後、同圧力に耐えていること、また、耐圧部からの漏えいがないことを立会いまたは記録により確認する。 | 最高使用圧力の 1.5 倍に耐え、かつ構造物の変形等がないこと。また、耐圧部から漏えいがないこと。 |
| 機能・性能 | 通水確認 | 通水ができるることを立会いまたは記録により確認する。 | 通水ができること。 |

※ 1：当該鋼管は用途変更して使用するため過去の記録を確認とする

表-13 確認事項（追設する関連機器として設置するポリエチレン管）

| 確認事項 | 確認項目 | 確認内容 | 判定 |
|--------------|----------|---|--|
| 構造強度 ・耐震性 | 材料確認 | 実施計画に記載した材料について、製品検査成績書により確認する。 | 実施計画のとおりであること。 |
| | 寸法確認 | 実施計画に記載した主要寸法（外径相当）について、製品検査成績書により確認する。 | 実施計画のとおりであること。 |
| | 外観確認 | 各部の外観について、立会いまたは記録により確認する。 | 有意な欠陥がないこと。 |
| | 据付確認 | 機器が図面のとおり据付していることを立会いまたは記録により確認する。 | 図面のとおり施工・据付していること。 |
| | 耐圧・漏えい確認 | 最高使用圧力以上で一定時間保持後、同圧力に耐えていること、また、耐圧部からの漏えいがないことを立会いまたは記録により確認する。 | 最高使用圧力に耐え、かつ構造物の変形等がないこと。また、耐圧部から漏えいがないこと。 |
| 機能・性能 | 通水確認 | 通水ができるることを立会いまたは記録により確認する。 | 通水できること。 |

表-14 確認事項（建屋内 RO 濃縮水移送ポンプから増設 RO 濃縮水受タンク間の既設鋼管部分の溶接検査）

| 確認事項 | 確認項目 | 対象設備 | 確認内容 | 判定 |
|----------------|------------------|---|---|---|
| 溶接 検査 ※1 | 材料検査 | 建屋内 RO 出口から 8.5m 盤 SPT 受入水移送 ポンプ出口ライン合流 | 材料が溶接規格等に適合するものであり、溶接施工法の母材の区分に適合することを確認する。 | 材料が溶接規格等に適合するものであり、溶接施工法の母材の区分に適合することであること。 |
| | 開先検査 | | 開先形状等が溶接規格等に適合するものであることを確認する。 | 開先形状等が溶接規格等に適合するものであること。 |
| | 溶接作業 検査 | | あらかじめ確認された溶接施工法又は実績のある溶接施工法又は管理されたプロセスを有する溶接施工法であることを確認する。あらかじめ確認された溶接士により溶接が行われていることを確認する。 | あらかじめ確認された溶接施工法および溶接士により溶接施工をしていること。 |
| | 非破壊 試験 | | 溶接部について非破壊検査を行い、その試験方法及び結果が溶接規格等に適合するものであることを確認する。 | 溶接部について非破壊検査を行い、その試験方法及び結果が溶接規格等に適合するものであること。 |
| | 耐圧・ 漏えい 検査 | | 最高使用圧力の 1.5 倍で一定時間保持後、同圧力に耐えていること、また、耐圧部からの漏えいがないことを立会いまたは記録により確認する。 | 最高使用圧力の 1.5 倍で一定時間保持後、同圧力に耐えている事。耐圧確認終了後、耐圧部分からの漏えいがないこと。 |
| | 外観検査 | | 耐圧・漏えい検査後外観上、傷・へこみ・変形等の異常がないことを確認する。 | 外観上、傷・へこみ・変形等の異常がないこと。 |

※1：当該鋼管は用途変更して使用するため過去の記録を確認とする

表-15 確認事項（増設 RO 濃縮水受タンクの溶接検査）

| 確認事項 | 確認項目 | 対象設備 | 確認内容 | 判定 |
|----------------|------------------|----------------|---|--|
| 溶接 検査 ※1 | 材料検査 | ①増設 RO 濃縮水受タンク | 使用する材料が、溶接規格等に適合するものであり、溶接施工法の母材の区分に適合するものとする。 | 使用する材料が溶接規格等に適合するものであり、溶接施工法の母材の区分に適合するものであること。 |
| | 開先検査 | | 開先形状等が溶接規格等に適合するものであることを確認する。 | 開先形状等が溶接規格等に適合するものであること。 |
| | 溶接作業 検査 | | あらかじめ確認された溶接施工法又は実績のある溶接施工法又は管理されたプロセスを有する溶接施工法であることを確認する。あらかじめ確認された溶接士により溶接が行われていることを確認する。 | あらかじめ確認された溶接施工法および溶接士により溶接施工をしていること。 |
| | 非破壊 試験 | | 溶接部について非破壊検査を行い、その試験方法及び結果が溶接規格等に適合するものであることを確認する。 | 溶接部について非破壊検査を行い、その試験方法及び結果が溶接規格等に適合するものであること。 |
| | 耐圧・ 漏えい 検査 | | 検査圧力で保持した後、検査圧力に耐えていることを確認する。耐圧確認終了後、耐圧部分からの漏えいの有無を確認する。 | 検査圧力で保持した後、検査圧力に耐えていること。耐圧確認終了後、耐圧部分からの漏えいがないこと。 |
| | 外観検査 | | 耐圧・漏えい検査後外観上、傷・へこみ・変形等の異常がないことを確認する。 | 外観上、傷・へこみ・変形等の異常がないこと。 |

※1：当該機器は用途変更して使用するため過去の記録を確認とする

以上

建屋内 RO 循環設備の関連設備における耐震性

汚染水処理設備等のうち建屋内 RO 循環設備の関連設備について、耐震性の評価を行う。なお、汚染水処理設備等のうち建屋内 RO 循環設備の関連設備とは、サプレッションプール水サージタンク(B)および建屋内 RO で生成される濃縮塩水の移送ルート上の設備のうちSPT 受入水タンクから RO 濃縮水供給ポンプまでの設備とし、具体的には以下に示す。

追設する関連機器の耐震性については「添付 15 別紙（3）建屋内 RO 循環設備および追設する関連機器の構造強度及び耐震性」に記載する。

建屋内 RO 循環設備の関連設備

- ・サプレッションプール水サージタンク(B) （以下、SPT(B)）
- ・SPT 受入水移送ポンプ
- ・廃液 RO 供給ポンプ
- ・RO 濃縮水供給ポンプ
- ・SPT 受入水タンク
- ・廃液 RO 供給タンク (35m³, 40m³, 42m³, 110m³)
- ・RO 濃縮水受タンク
- ・淡水化装置（逆浸透膜装置）(RO-3)
- ・主要配管（SPT 受入水タンクから RO 濃縮水供給ポンプまで）

1. 耐震性評価の基本方針

建屋内 RO 循環設備の関連設備における耐震性評価の基本方針は、添付資料-3「汚染水処理設備等に関する構造強度及び耐震性等の評価結果」のうち 1.1.2. 「耐震性評価の基本方針」に示すとおり。

2. 耐震性評価

建屋内 RO 循環設備の関連設備における耐震性評価の確認結果を以下に示す。なお、SPT(B)は、工事計画認可申請書（57 資序第 2974 号 昭和 57 年 4 月 20 日認可）において確認を実施している。

2.1 転倒評価

建屋内 RO 循環設備の関連設備のうち以下の設備について、添付資料-3「汚染水処理設備等に関する構造強度及び耐震性等の評価結果」に示すとおり転倒評価を行い、転倒しないことを確認した。

- ・SPT 受入水移送ポンプ

- ・廃液 RO 供給ポンプ
- ・RO 濃縮水供給ポンプ
- ・SPT 受入水タンク
- ・廃液 RO 供給タンク (35m³, 40m³, 42m³, 110m³)
- ・RO 濃縮水受タンク
- ・淡水化装置（逆浸透膜装置）(RO-3)

2.2 角形タンクの応力評価

建屋内 RO 循環設備の関連設備のうち以下の角型タンクについては、汚染水処理設備等において設置している縦置円筒型タンクに比べてタンク容積に対する高さの比が小さく横長の形状であるため、地震によって角型タンクに生じる応力が少なく変形が生じにくい構造であることを確認した。

- ・SPT 受入水タンク
- ・廃液 RO 供給タンク (35m³, 40m³, 42m³, 110m³)
- ・RO 濃縮水受タンク

2.3 各設備の設置場所における地盤支持力

各設備の設置場所における地盤については、表-1 に示すとおり地盤支持力の評価を行い、地震時において、各設備の鉛直荷重に対して十分な支持力を有していることを確認した。

地盤支持力の許容値は、「社団法人 日本道路協会 道路橋仕方書・同解説IV下部構造編」に準拠し、下記の算定式に基づく極限支持力から安全率 2 を除して算定する。

(極限支持力の算定式)

$$Q_u = A_e \left(\alpha k c N_c S_c + k q N_q S_q + \frac{1}{2} \gamma_1 \beta B_e N_r S_r \right)$$

Q_u : 極限支持力

A_e : 有効載荷面積

α, β : 基礎の形状係数

k : 根入れ効果に対する割増し係数

c : 地盤の粘着力

N_c, N_q, N_r : 荷重の傾斜を考慮した支持力係数

S_c, S_q, S_r : 支持力係数の寸法効果に関する補正係数

q : 上載荷重 ($q = \gamma_2 D_f$)

γ_1, γ_2 : 支持地盤及び根入れ地盤の単位重量

D_f : 基礎の有効根入れ深さ

B_e : 荷重の偏心を考慮した基礎の有効載荷幅 ($B_e = B - 2e_B$)

B : 基礎幅

e_B : 荷重の偏心量

(各設備の鉛直荷重)

$$W = m \times g$$

- W : 鉛直荷重
 m : 機器等の質量
 g : 重力加速度

表-1 各設備の設置場所における地盤支持力の評価結果

| 評価対象機器※1 | 水平震度 | 鉛直荷重 [kN] | 許容支持力 [kN] |
|------------------------------------|------|--------------|---------------|
| 淡水化装置（逆浸透膜装置）(R0-3) | 0.3 | 648 | 1,885 |
| SPT 受入水タンク※2 | 0.3 | 1,305 | 1,548 |
| 廃液 R0 供給タンク (40m ³) ※3 | 0.3 | 596 | 2,045 |

※1 同一エリアにて最も裕度の低い機器を記載

※2 同一エリアに設置している SPT 受入移送水ポンプは本評価結果に内包される

※3 同一エリアに設置している廃液 R0 供給タンク (35m³, 42m³, 110m³) , 廃液 R0 供給ポンプ, R0 濃縮水受タンク, R0 濃縮水供給ポンプは, 本評価結果に内包される

2.4 主要配管の耐震性評価

建屋内 R0 循環設備の関連設備の主要配管のうち, ポリエチレン管については, 可撓性により耐震性を確保している。

また, 淡水化装置（逆浸透膜装置）内の配管・弁モジュールについては, 添付資料-3「汚染水処理設備等に関する構造強度及び耐震性等の評価結果」に示すとおり転倒評価を行い, 転倒しないことを確認した。

以上

淡水化装置（RO-1A/B, RO-2）の撤去方法について

淡水化装置（RO-1A/B, RO-2）の廃止に伴い、解体・撤去作業の方法について定める。

作業にあたっては被ばく量を低減するため、作業エリアのダスト飛散抑制や雰囲気線量率の低減を図る。また、万が一のダスト濃度上昇に備え、全面マスクを着用して作業を実施する。ダスト飛散抑制としては、汚染箇所に対する適切な養生、作業エリアの定期的なダスト測定、局所排風機の設置等を作業内容に応じて適宜実施する。雰囲気線量率の低減としては、高線量物に対する遮へい設置を作業内容に応じて適宜実施する。

1. RO 膜及びフィルター

RO 膜及びフィルターは淡水置換し、エアブローにより水抜きした後、収容容器から抜取る。その際は養生袋に受けることでダスト及び残水の飛散を抑制する。また、容器抜き取り時に線量測定を行い、必要に応じて遮へいを行う。抜き取り後はテント内にて養生された状態で静置し水切りを行ったうえで、腐食しないよう袋養生し、金属製の保管容器に収納し、一時保管エリアにて一時保管する。

RO 膜及びフィルターを抜取った後の容器は、養生された状態で静置して水切りを行ったうえで、細断して腐食しないよう袋養生し、金属製の保管容器に収納し、一時保管エリアにて一時保管する。

細断はダスト飛散抑制のため、作業ハウスをテント内に設置しフィルター付き局所排風機による排気を行いながら実施する。水抜き時は監視人を配置のうえ仮設の受けパンとダストおよび残水飛散防止のための養生を設置し、回収した残水はプロセス主建屋へ移送する。移送に仮設ホースを使用する場合は漏えい防止策として、仮設ホースの継手部をカムロック式とし、さらに番線等で固縛して継手の外れ防止を行う。また、汚染水を取り扱う作業ではアノラックを着用する。

表面線量率は 0.1mSv/h 以下と想定しており、表面線量率に応じて定められた瓦礫類の一時保管エリアにて一時保管する。表面線量率が 0.1mSv/h を超える場合においても、表面線量率に応じて定められた一時保管エリアにて一時保管する。

2. 急速ろ過塔・MMF・タンク類

急速ろ過塔・マルチメディアフィルター（以下、MMF）は、接続配管の切り離し後、塔内の水抜きを行う。MMFはそのままでは保管容器に入りきらないため、塔上部よりろ過材の回収を行った後、塔内を RO 処理水等で洗浄した上で細断して腐食しないよう袋養生し、金属製の保管容器に収納し、一時保管エリアにて一時保管する。

タンク類は仮設ポンプ、またはパワープロベスター車を用いて残水の水抜き後、内面に汚

染が確認された場合は洗浄を行った上で細断して腐食しないよう袋養生し、金属製の保管容器に収納し、一時保管エリアにて一時保管する。

細断はダスト飛散抑制のため、作業ハウスをテント内に設置しフィルター付き局所排風機による排気を行いながら実施する。ろ過材回収時はダストの飛散を抑制するため、作業ハウスおよびグローブボックス、フィルター付き局所排風機を設置する。水抜き時は監視人を配置のうえ仮設の受けパンとダストおよび残水飛散防止のための養生を設置し、回収した残水はプロセス主建屋へ移送する。移送に仮設ホースを使用する場合は漏えい防止策として、仮設ホースの継手部をカムロック式とし、さらに番線等で固縛して継手の外れ防止を行う。また、汚染水を取り扱う作業ではアノラックを着用する。

表面線量率は 0.1mSv/h 以下と想定しており、表面線量率に応じて定められた瓦礫類の一時保管エリアにて一時保管する。表面線量率が 0.1mSv/h を超える場合においても、表面線量率に応じて定められた一時保管エリアにて一時保管する。

3. ポンプ、配管、付属機器

ポンプ、配管類（弁、ホース含む）は、残水の水抜きを行った上で細断して腐食しないよう袋養生し、金属製の保管容器に収納し、一時保管エリアにて一時保管する。

細断はダストの飛散を抑制するため、養生を行った上で実施する。ポンプの解体・配管の開放は、隔離処置（弁閉）及び水抜き後に実施する。継続使用する設備との切り離しはフランジ部とし、開放部を閉止する。

細断はダスト飛散抑制のため、作業上困難な場合以外はテント内にて、フィルター付き局所排風機による排気を行いながら実施する。水抜き時は監視人を配置のうえ仮設の受けパンとダストおよび残水飛散防止のための養生を設置し、回収した残水はプロセス主建屋へ移送する。また、配管類からの残水が想定より多かった場合に備え、受けパンより水を移送するための仮設タンク、ポンプを準備する。移送に仮設ホースを使用する場合は漏えい防止策として、仮設ホースの継手部をカムロック式とし、さらに番線等で固縛して継手の外れ防止を行う。また、汚染水を取り扱う作業ではアノラックを着用する。

付属機器（ケーブル、計器等）は金属製の保管容器に収納し、一時保管エリアにて一時保管する。

表面線量率は 0.1mSv/h 以下と想定しており、表面線量率に応じて定められた瓦礫類の一時保管エリアにて一時保管する。表面線量率が 0.1mSv/h を超える場合においても、表面線量率に応じて定められた一時保管エリアにて一時保管する。

4. ダスト飛散抑制対策

解体・撤去作業前に、既設 R0-1, 2 テント内の機器表面および床面の清掃を実施し、ダストの飛散を抑制する。系統機器内の残水はダスト飛散の抑制・漏えい防止対策を施した手順にて回収し、プロセス主建屋地下へ移送する。

解体・撤去作業は極力テント内で行うこととする。テント外の解体対象機器は配管・弁であるが、ダスト飛散を抑制する手順にて切り離しを行い、養生した上でテントへ運び込み細断・保管容器への収納を行う。

解体・撤去期間中においては、作業実施日は毎日、作業前・作業中・作業後においてテント内外のダスト測定を実施する。作業中の測定についてはダスト濃度上昇が最大になると予想される作業中(配管切断等)に実施し、テント内外作業管理基準値を超過した場合は一旦作業を中止し、ダスト飛散元の養生や作業計画の見直しを行う。ダスト測定ポイントについては各テントにおいて、作業計画時に当日でダスト濃度上昇が最大になると予想される箇所で実施する。

テント側面には物品搬出入口を設けるが、搬出入口は作業計画上で必要となる最小サイズとし、開閉可能かつ、閉止時にダストが通過しない構造のカバーを取付け、人が出入りする際、物品搬出入する際以外はカバーを閉止する。

また、物品搬出入時はテント内の作業を中断し、搬出入作業前・作業中・作業後においてテント外のダスト測定を実施する。作業中の測定値について、テント外作業管理基準値を超過した場合は一旦作業を中止し、ダスト飛散元の養生や作業計画の見直しを行う。

また、構内の連続ダストモニタにて放射性物質濃度の監視を行う。

5. 汚染拡大防止

金属製の保管容器は、屋外保管環境下での腐食防止のため、塗装を施した金属材料を使用する。また、保管容器は、雨水が容易に入り難い構造とする。

6. 瓦礫類発生量

撤去に伴う瓦礫類は約 240m³ 発生する見込みである。

7. 淡水化装置（RO-1A/B, RO-2）の撤去に係る確認事項について

淡水化装置（RO-1A/B, RO-2）の撤去に係る確認事項を表－1に示す。

表－1 確認事項
(淡水化装置 (RO-1A/B, RO-2))

| 確認事項 | 確認項目 | 確認内容 | 判定基準 |
|------|------|------------------------|---------------|
| 機能 | 機能確認 | 実施計画の通り施工されていることを確認する。 | 実施計画の通りであること。 |

以上

参考資料（1）

建屋内 RO 循環設備および追設する関連機器の具体的な安全確保策

建屋内 RO 循環設備および追設する関連機器の漏えい発生防止対策、放射線遮へい対策、環境条件対策等について具体的な安全確保策を以下の通り定め、実施する。

1. 放射性物質の漏えい防止等に対する考慮

(1) 漏えい発生防止

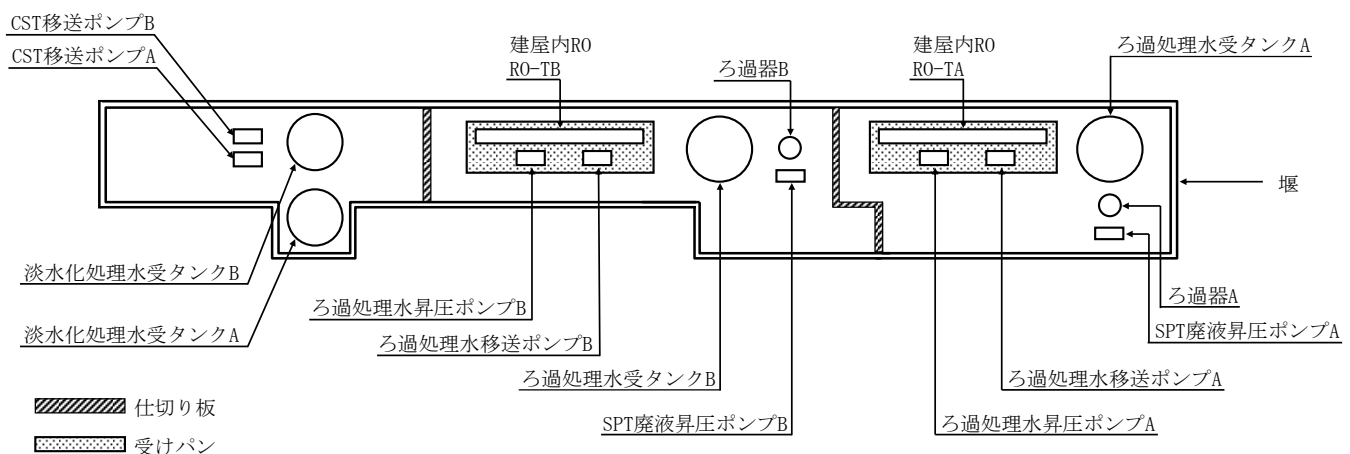
- a. 建屋内 RO 循環設備および追設する関連機器の移送配管は、耐食性を有するポリエチレン管及びライニングを施した鋼管等を使用する。ただし、建屋内 RO の逆浸透膜を連結する配管は、耐圧ホースとする。耐圧ホースの接続部は、サポート等により配管を固定することで、取合部が外れることがないようにする。
- b. タンク内に設置した水中ポンプとの取合配管は可撓性を有する耐圧ホースとする。
- c. 建屋内 RO 循環設備で屋外敷設箇所のうち重機による作業や車両の通行がある箇所について、道路跨ぎ部の配管は地中に設置したトラフ内に敷設することで、車両の通過時に損傷しないようにする。地上部の配管はトラフ内に敷設することで、外部と接触しないようとする。
- d. CST 移送ポンプ出口分岐から RO 処理水供給ポンプ出口ライン合流までの移送配管は、漏えい堰等が設置されない法兰ジ構造の継ぎ手部についてシール材の充填を実施する。

(2) 漏えい検知・漏えい拡大防止

- a. 漏えい検知のため、機器（建屋内 RO / タンク / ポンプ / 弁ユニット等）を囲う堰内及びトラフ内に漏えい検知器を設置する。
 - b. 漏えい拡大防止のため、SPT 廃液昇圧ポンプ、ろ過器、ろ過処理水受タンク、ろ過処理水移送ポンプ、ろ過処理水昇圧ポンプ、建屋内 RO、淡水化処理水受タンク、CST 移送ポンプ、建屋内 RO 濃縮水受タンク、建屋内 RO 濃縮水移送ポンプ、増設 RO 濃縮水受タンク、増設 RO 濃縮水供給ポンプ及び配管等の付帯設備を囲うように防水塗装を施した堰を設置する。
 - c. 漏えい検知による警報を免震重要棟に発報・表示し、運転員が速やかに必要な措置をとれるようにする。
 - d. 堰は、機器等に内包する処理水を受けられる容量を確保していることから、漏えいが発生した場合でも堰内に收まり、堰外へ漏えいすることはない（表-1、3）。
- 屋外に設置する増設 RO 濃縮水受タンクの基礎および堰についての説明は e 項に記載する。

表－1 建屋内 RO 循環設備の漏えい拡大防止 壁仕様（設計値）

| 対象設備 | 縦幅(m) | 横幅(m) | 高さ(m) | 容積(m ³) | 保有水量(m ³) |
|---|-------------------|--------|---------|---------------------|-----------------------|
| SPT廃液昇圧ポンプ ろ過器 ろ過処理水受タンク ろ過処理水移送ポンプ ろ過処理水昇圧ポンプ 建屋内RO 淡水化処理水受タンク CST移送ポンプ及び配管等 の付帯設備 | 約 3.8～ 約 6.6 m | 約 48 m | 約 0.4 m | 約 95 m ³ | 約 85 m ³ |

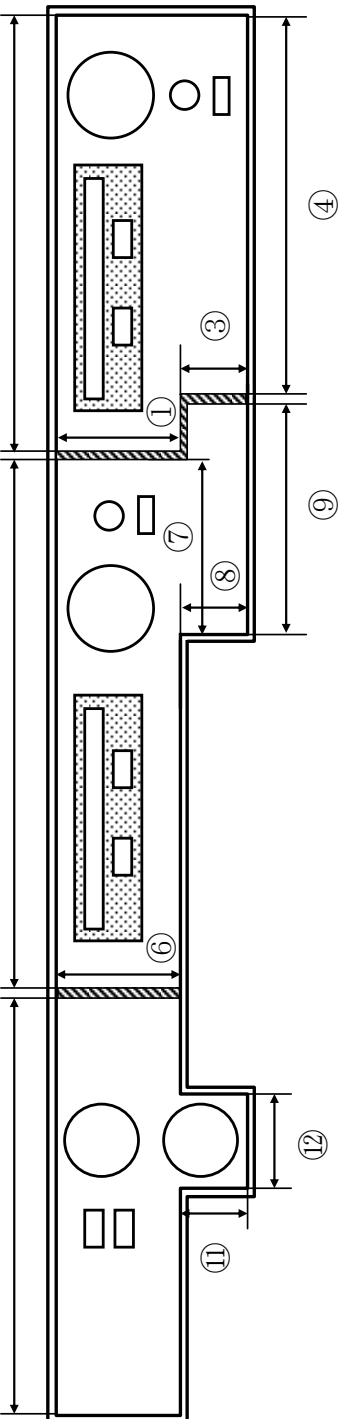


図－1 建屋内 RO 循環設備の漏えい拡大防止 壁配置図

表－2 建屋内RO循環設備の漏えい拡大防止評価

| 対象設備 | 保有水量 (m ³) | 堰寸法※1 (m) | | 堰面積 (m ²) | 必要な堰の高さ (m) | 漏えい拡大防止 堰の高さ (m) | 評価 |
|---|---------------------------|--------------|-------|--------------------------|-----------------|--|----|
| | | a | b | | | | |
| S P T廃液昇圧ポンプ ろ過器 ろ過処理水受タンク ろ過処理水移送ポンプ ろ過処理水昇圧ポンプ 建屋内RO 淡水化処理水受タンク C S T移送ポンプ及び配管等 の付帯設備 | 約85 | ① | 約3.8 | 約240 | 0.36以上 約0.40 | 漏えい拡大防止堰 の高さは、保有水 量を貯留するため に必要な堰の高さ を満足しており、 漏えいを防止でき る。 | |
| | | ② | 約13.9 | | | | |
| | | ③ | 約2.6 | | | | |
| | | ④ | 約12.4 | | | | |
| | | ⑤ | 約17.7 | | | | |
| | | ⑥ | 約3.8 | | | | |
| | | ⑦ | 約4.2 | | | | |
| | | ⑧ | 約2.6 | | | | |
| | | ⑨ | 約5.7 | | | | |
| | | ⑩ | 約16.3 | | | | |
| | | ⑪ | 約2.8 | | | | |
| | | ⑫ | 約4.0 | | | | |

注記 ※1：堰内おり寸法

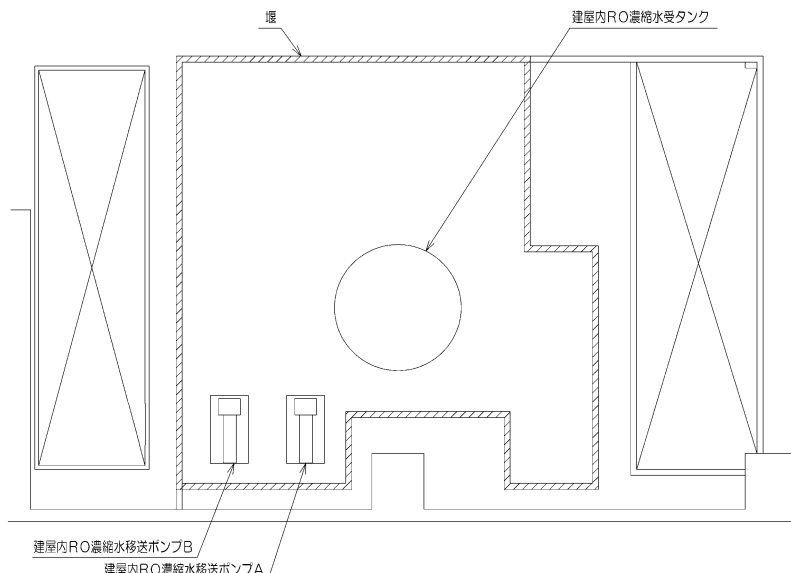


表－3 建屋内 RO 濃縮水受タンク堰高さ及び堰内容量

| 対象設備 | 想定漏えい量 | | 基礎外周堰 の堰内容量 (m ³) | (計画値) | |
|-----------------------|---------------------------|-----------------------------|-------------------------------------|------------------------------------|---------------------|
| | 運用水量 (m ³) | 使用不可水量 (m ³) | | 基礎外周堰 の堰面積 (m ²) | 基礎外周堰 の高さ (m) |
| 建屋内 RO 濃縮水 受タンク | ① | ② | ③※1 | ④ | ⑤※2 |
| | 30 | 0 | 30.1 | 68.3 | 0.44 以上 |

※1 ③ = ④ × ⑤

※2 ⑤ = (①+②) / ④



図－2 建屋内 RO 濃縮水受タンクの漏えい拡大防止 堰配置図

e. 増設 RO 濃縮水受タンクの基礎及び堰に関する説明書

(a) タンク基礎の支持力

i. 評価方法

タンクの鉛直荷重と極限支持力を比較して評価を行う。支持力の算定式は「社団法人日本道路協会（2002）：道路橋示方書・同解説IV下部構造編」に基づき次式を用いる。

計算した結果、①タンクの鉛直荷重 < ②タンク基礎底面地盤の極限支持力であり、安全性を有していることを確認する。

①タンクの鉛直荷重: $W = m \times g$

$$②\text{タンク基礎底面地盤の極限支持力: } Q_u = A_e \left(\alpha k c N_c S_c + k q N_q S_q + \frac{1}{2} \gamma_1 \beta B_e N_r S_r \right)$$

m : 機器質量

g : 重力加速度

A_e : 有効載荷面積

α, β : 基礎の形状係数

k : 根入れ効果に対する割増し係数

c : 地盤の粘着力

N_c, N_q, N_r : 荷重の傾斜を考慮した支持力係数

S_c, S_q, S_r : 支持力係数の寸法効果に関する補正係数

q : 上載荷重 ($q = \gamma_2 D_f$)

γ_1, γ_2 : 支持地盤及び根入れ地盤の単位重量 ($\gamma_1, \gamma_2 = 15.9 \text{ kN/m}^2$)

D_f : 基礎の有効根入れ深さ

B_e : 荷重の偏心を考慮した基礎の有効載荷幅 ($B_e = B - 2e_B$)

B : 基礎幅

e_B : 荷重の偏心量

ii . 管理

地盤改良後、簡易支持力測定器（キャスパル）※により地盤の強度を測定し、上記式により必要な極限支持力を有していることを確認する。

※ランマー（重鎮）を一定の高さから地盤に自由落下させたときに生ずる衝撃加速度の最大値と地盤強度特性値と相関させる衝撃加速度法を基本原理とした簡易な測定器。

(b) タンク基礎の不陸

i . 評価方法

タンクの設置高さが、設計高さに対して許容値以内※であることを確認する。

※ 設計高さ±30mm (社内基準値)

ii . 管理

タンク基礎高さ（レベル）を測量し、当該高さが設計高さに対して±30mm以内であることを確認する。

(c) 増設 RO 濃縮水受タンクの堰内容量

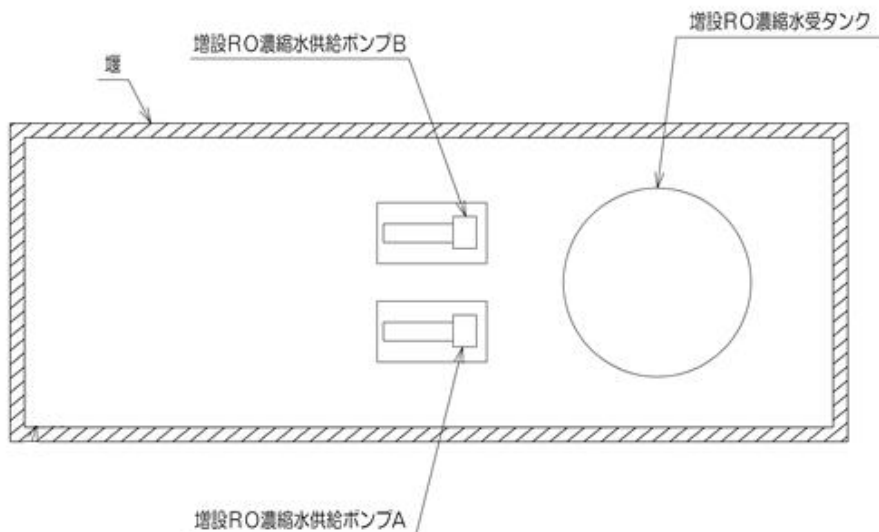
増設 RO 濃縮水受タンクから漏えいが生じた際に、漏えい水の拡大を抑制するための増設 RO 濃縮水受タンクの堰内容量は、機器等に内包する処理水を受けられる容量に、大雨時の作業等を考慮した余裕高さ（堰高さで 20 cm）分の容量との合計とする。増設 RO 濃縮水受タンクの堰高さ及び堰内容量を表-4 に示す。

表－4 増設 RO 濃縮水受タンク堰高さ及び堰内容量

| 対象設備 | 想定漏えい量 | | 基礎外周堰 の堰内容量 (m ³) | (計画値) | |
|----------------------|---------------------------|-----------------------------|-------------------------------------|-------------------------------------|---------------------|
| | 運用水量 (m ³) | 使用不可水量 (m ³) | | 基礎外周堰 の堰内面積 (m ²) | 基礎外周堰 の高さ (m) |
| 増設 RO 濃縮水 受タンク | ① | ② | ③※1 | ④ | ⑤※2 |
| | 30 | 0 | 43.7 | 65.2 | 0.67 以上 |

※1 ③ = ④ × ⑤

※2 ⑤ = (①+②) ÷ ④ + 0.2 (余裕分 20cm)



図－3 増設 RO 濃縮水受タンクの漏えい拡大防止 堰配置図

(3) 放射線遮へいに対する考慮

建屋内 RO 循環設備および追設する関連機器の機器表面線量は、1mSv/h 以下となるよう適切な遮へいを設ける。

(4) 水素対策

当該設備は、放射性物質の吸着処理を行うものではなく、長期的な保管も想定される使用済みの RO 膜等はベント孔を設けた保管容器に収容するため、内部に可燃性ガスが滞留することはない。なお、通水時に発生する水素は、系統水とともに排出される。

(5) 崩壊熱除去

当該設備は、放射性物質の吸着処理を行うものではないため、保管後の RO 膜等の健全性に影響を与えるものではない。

(6) 敷地境界における実効線量

a. 建屋内 RO 循環設備が敷地境界における実効線量に対して与える影響は、最も近い敷地境界評価地点 No. 7において約 $0.0001\text{mSv}/\text{年未満}^*$ であり、線量評価上有意な値ではない。

*ろ過器及び RO 装置の表面線量を運用上の最大値 ($1\text{mSv}/\text{h}$) とし、本設備に最も近い評価済みの放射性廃棄物一時保管エリア N と表面線量率、表面積、距離、コンクリート遮蔽有無を比較することにより、敷地境界で最大となる評価点への影響を確認した結果。

b. 追設する関連機器のうち屋外に設置する増設 RO 濃縮水受タンクが敷地境界における実効線量に対して与える影響は、最も近い敷地境界評価地点 No. 14において $1.01 \times 10^{-4}\text{mSv}/\text{年}$ である。

2. 環境条件対策

(1) 腐食

耐腐食性を有するステンレス、ライニング炭素鋼、ポリエチレン管等を使用する。

(2) 熱による劣化

系統水の温度は、常温であるため熱による劣化の懸念はない（最高使用温度 40°C ）。

(3) 凍結

水を内包する配管等は、電気ヒータまたは保温材を設置する。

(4) 生物汚染

建屋内 RO 循環設備および追設する関連機器は、滞留水を直接移送するものではなく、処理装置等を経由した SPT の貯留水を移送していることから、有意な微生物腐食等は発生しないと考えられる。

(5) 耐放射線性

放射性影響が考えられるポリエチレン管について、内包する流体の照射線量率が十分低いため、放射線照射の影響は軽微と考えられる。

(6) 紫外線

屋外敷設箇所のポリエチレン管は、トラフ内に設置または耐紫外線性を有する保温材等で覆う処置を講ずることで、紫外線による劣化を防止する。

(7) 長期停止中の措置

当該設備を長期停止する場合は、必要に応じてフラッシングするとともに、内部の水抜きを実施し、腐食及び凍結を防止する。

以上

参考資料（2）

建屋内 RO 循環設備に係る放射性固体廃棄物発生量に関する評価

建屋内 RO 循環設備は、ろ過器、逆浸透膜装置を有していることから、放射性固体廃棄物が発生する。そのため、建屋内 RO 循環設備の運用に伴い発生する放射性固体廃棄物発生量について、以下の計算条件にて評価を行った。

1. 計算条件

- ・建屋内 RO は、定格処理量（ $800\text{m}^3/\text{日}$ ）とする。
- ・SPT 貯留水の放射能濃度は、平成 25 年 11 月時点の測定値とする。
- ・廃棄物保管容器の表面線量率は、 $10\text{mSv}/\text{h}$ 未満にする。

2. 評価結果

（1）ろ過フィルタ

ろ過フィルタは、フィルタ差圧又は放射性物質の蓄積に伴う放射線量に応じて取替を実施する。いずれも処理済水の水質によるものの、廃棄物保管容器の表面線量率及びろ過フィルタの交換に伴う作業員の被ばく線量を十分抑制できる交換頻度は、約 1 年程度であることから、年間の廃棄物発生量は約 2m^3 の保管容器 1 個程度となる。

（2）RO 膜

RO 膜は、RO 膜差圧、放射性物質の蓄積に伴う放射線量又は装置下流の導電率に応じて取替を実施する。いずれも処理済水の水質によるものの、廃棄物保管容器の表面線量率及び RO 膜の交換に伴う作業員の被ばく線量を十分抑制できる交換頻度は、約半年程度であることから、年間の廃棄物発生量は約 2m^3 の保管容器 4 個程度となる。

3. 保管計画

建屋内 RO 循環設備で発生する固体廃棄物については、容器に収納した上で発電所内の屋外一時保管エリアにて保管する。

以上

参考資料（3）

建屋内 RO 循環設備および追設する関連機器の配置

建屋内 RO 循環設備および追設する関連機器の配置を図-1に示す。

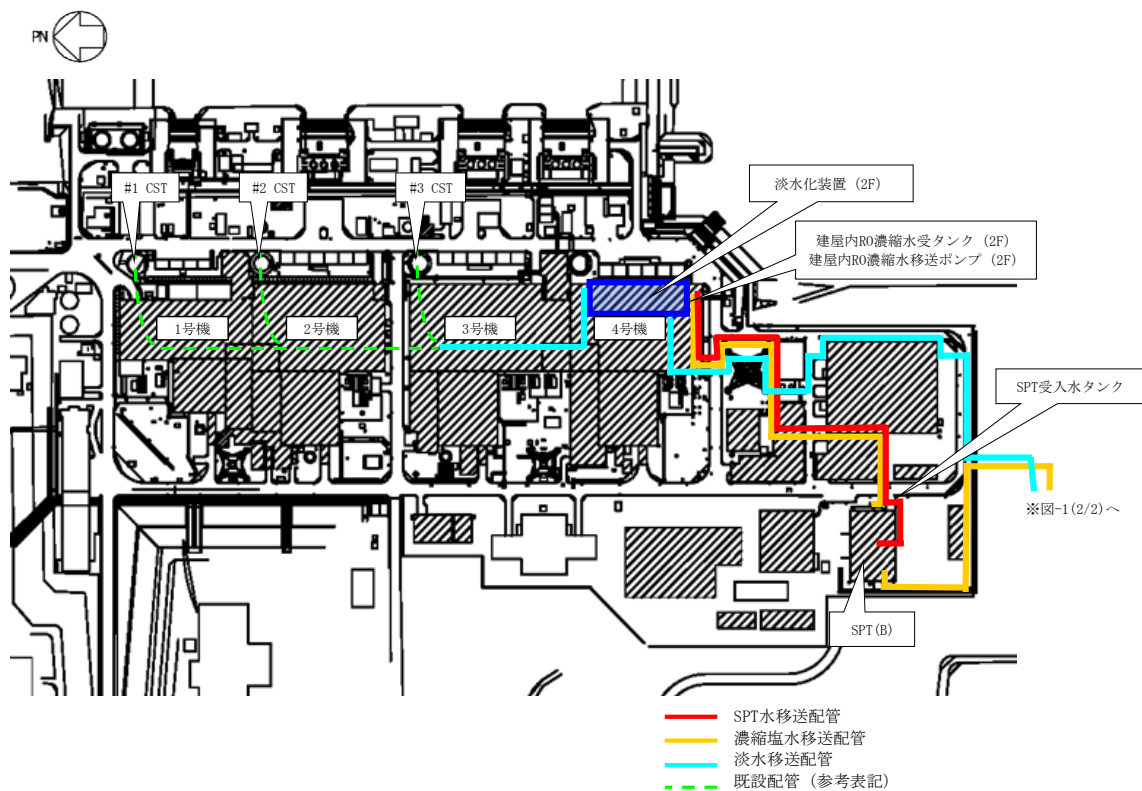


図-1 建屋内 RO 循環設備および追設する関連機器の配置概略図（1／2）

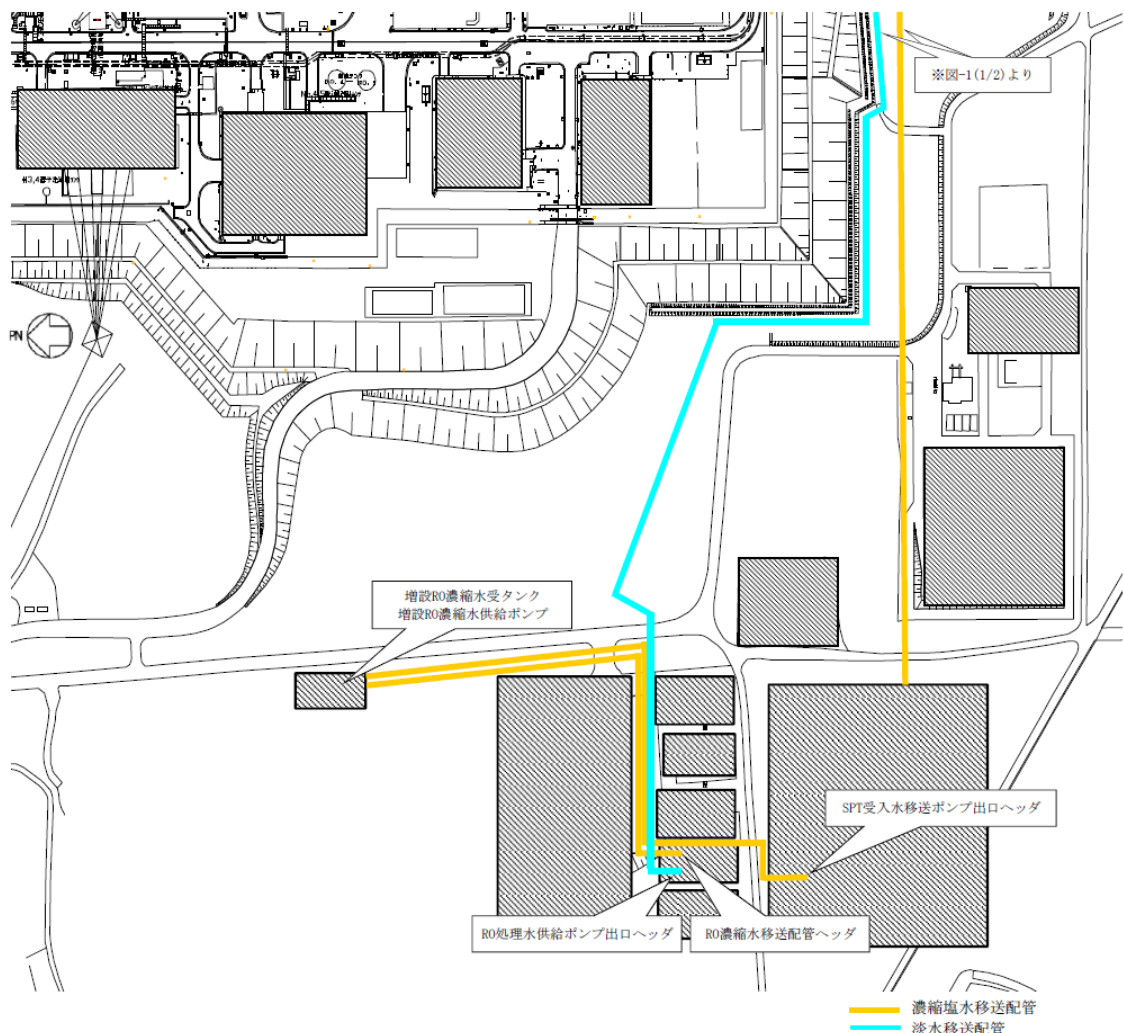


図-1 建屋内 RO 循環設備および追設する関連機器の配置概略図（2／2）

参考資料（4）

建屋内 RO 循環設備および追設する関連機器のスロッシング評価

建屋内 RO 循環設備および追設する関連機器のうちタンクについて、地震発生時のタンク内包水のスロッシング評価を実施した。速度ポテンシャル理論に基づきスロッシング波高の評価を行った結果、スロッシング時のタンク内の液位がタンク天板に到達しないことを確認した。

スロッシング評価の流れは下記の通り。

- ・ 速度ポテンシャル理論に基づき、スロッシング固有周期（水面の一次固有周期）を算出する。
- ・ タンク設置エリアの4号機タービン建屋2階における弾性設計用地震動:Sd-1, 2, 3に対する速度応答スペクトルから、スロッシング固有周期に応じた速度応答値を求める。増設 RO 濃縮水受タンクは T.P. 33.5m 盤における基準地震動：Ss-1, 2, 3に対する速度応答スペクトル（参考資料（5）に記載）から、スロッシング固有周期に応じた速度応答値を求める。
- ・ 速度ポテンシャル理論に基づき、速度応答値からスロッシング波高を算出する。
- ・ 運用上の上限液位に対してスロッシング波高を考慮してもタンク高さを超えないことを確認する。

$$T_s = 2\pi \sqrt{\frac{D}{3.68g} \coth\left(\frac{3.68H}{D}\right)}$$

$$\eta = 0.837 \left(\frac{D}{2g} \right) \left(\frac{2\pi}{T_s} \right) S_v$$

D : タンク内径 [m]

H : タンク液位 [m]

g : 重力加速度 [m/s²]

T_s : スロッシング固有周期 [s]

S_v : 速度応答値 [m/s]

η : スロッシング波高 [m]

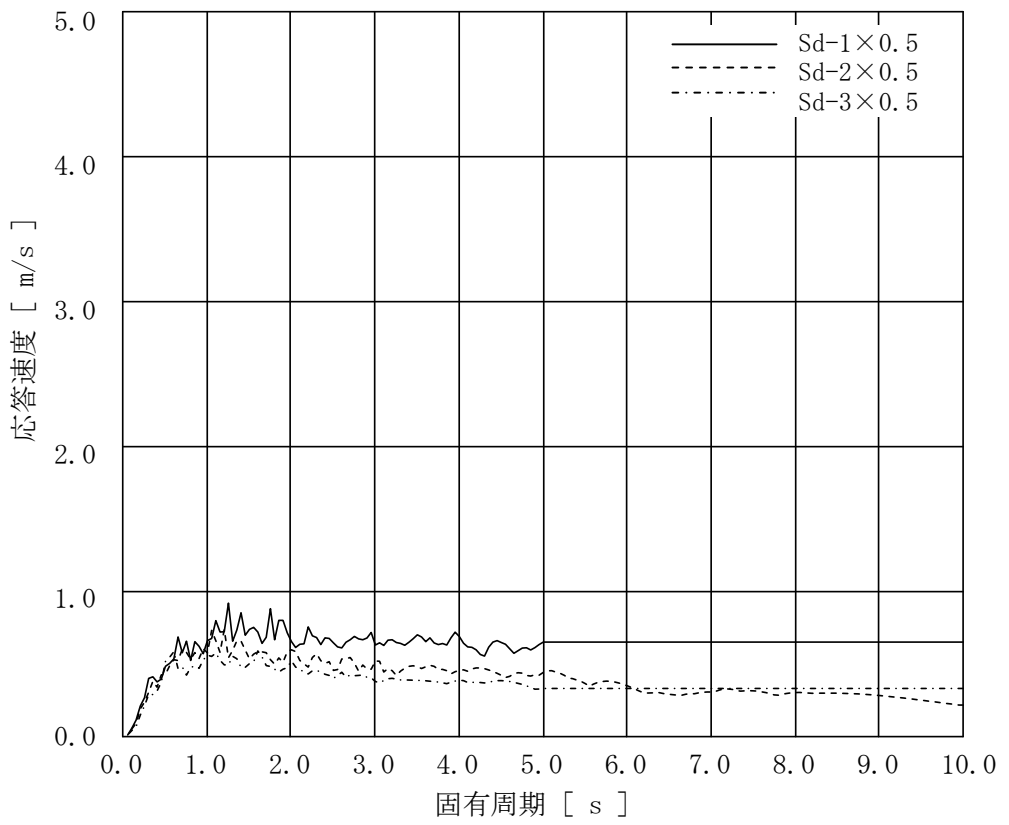


図-1 速度応答スペクトル (NS 方向・減衰 0.5%)

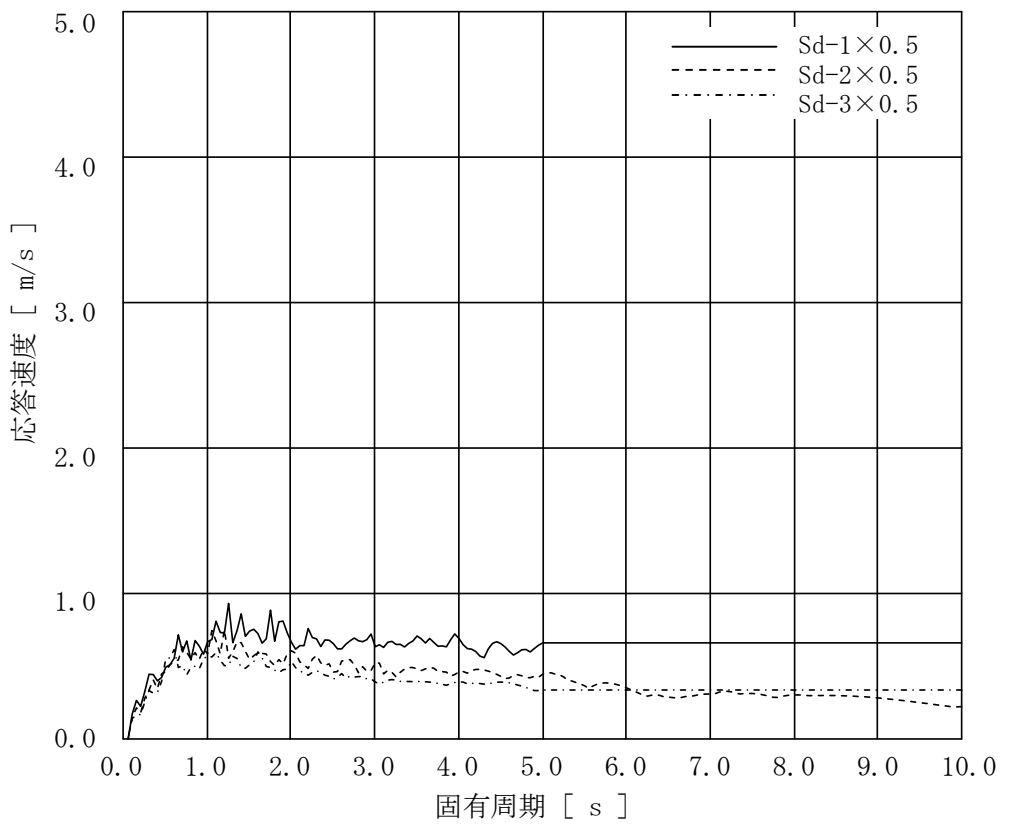


図-2 速度応答スペクトル (EW 方向・減衰 0.5%)

表－1 建屋内 RO 循環設備および追設する関連機器のうちタンクのスロッシング評価結果

| 機器名称 | スロッシング 波高 [mm] | スロッシング時 液位 [mm] | タンク高さ [mm] |
|----------------|---------------------|--------------------|---------------|
| ろ過処理水受タンク | 10m ³ 容量 | 354 | 3,045 |
| 淡水化処理水受タンク | 10m ³ 容量 | 361 | 3,485 |
| 建屋内 RO 濃縮水受タンク | 30m ³ 容量 | 386 | 5,216 |
| 増設 RO 濃縮水受タンク | 30m ³ 容量 | 533 | 4,933 |

以上

参考資料（5）

建屋内 RO 循環設備の関連設備におけるスロッシング評価

建屋内 RO 循環設備の関連設備のうちタンクについて、地震発生時のタンク内包水のスロッシング評価を実施した。速度ポテンシャル理論に基づきスロッシング波高の評価を行った結果、スロッシング時のタンク内の液位がタンク天板に到達しないことを確認した。

スロッシング評価の流れは下記の通り。

なお、追設する関連機器のスロッシング評価については「添付 15 参考資料（4）建屋内 RO 循環設備および追設する関連機器のスロッシング評価」に記載する。

- ・ 速度ポテンシャル理論に基づき、スロッシング固有周期（水面の一次固有周期）を算出する。
- ・ タンク設置エリアの T.P. 8.5m 盤、T.P. 33.5m 盤および SPT 建屋における基準地震動：Ss-1, 2, 3 に対する速度応答スペクトルから、スロッシング固有周期に応じた速度応答値を求める。
- ・ 速度ポテンシャル理論に基づき、速度応答値からスロッシング波高を算出する。
- ・ 運用上の上限液位に対してスロッシング波高を考慮してもタンク高さを超えないことを確認する。

(円型タンク)

$$T_s = 2\pi \sqrt{\frac{D}{3.68g} \coth\left(\frac{3.68H}{D}\right)}$$

$$\eta = 0.837 \left(\frac{D}{2g} \right) \left(\frac{2\pi}{T_s} \right) S_v$$

D : タンク内径 [m]

H : タンク液位 [m]

g : 重力加速度 [m/s²]

T_s : スロッシング固有周期 [s]

S_v : 速度応答値 [m/s]

η : スロッシング波高 [m]

(角型タンク)

$$T_s = 2\pi \sqrt{\frac{L}{3.14g} \coth\left(\frac{3.14H}{L}\right)}$$

$$\eta = 0.811 \left(\frac{L}{2g} \right) \left(\frac{2\pi}{T_s} \right) S_v$$

L : タンク幅 [m]

H : タンク液位 [m]

g : 重力加速度 [m/s²]

T_s : スロッシング固有周期 [s]

S_v : 速度応答値 [m/s]

η : スロッシング波高 [m]

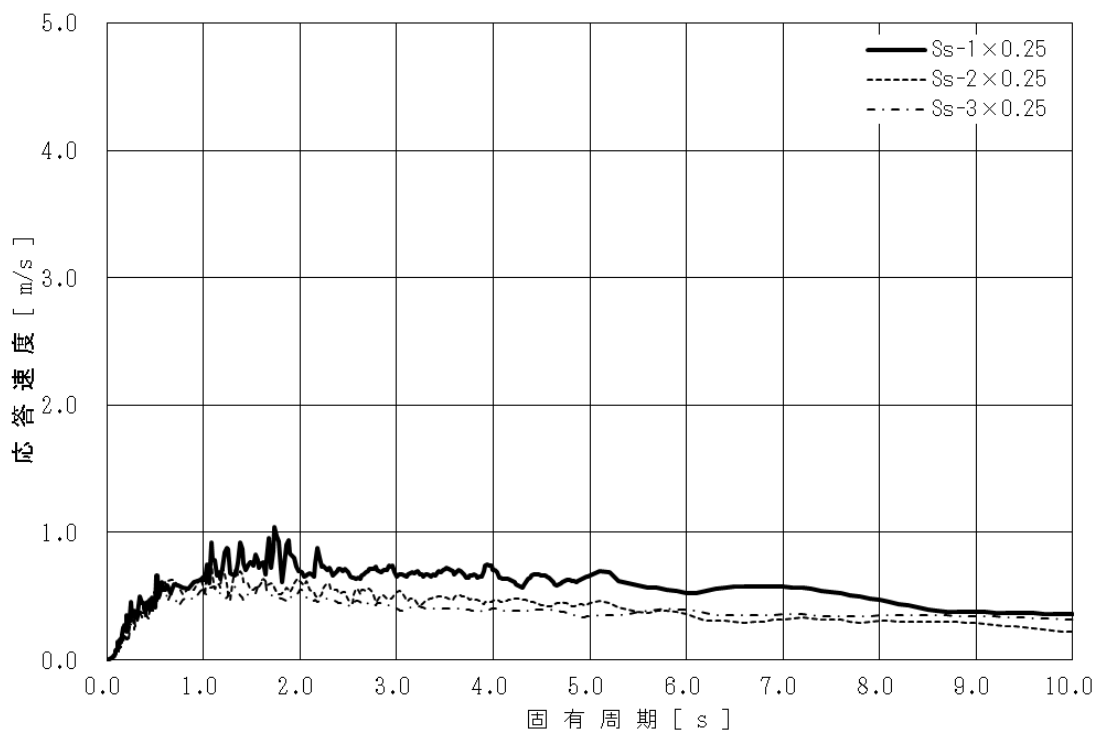
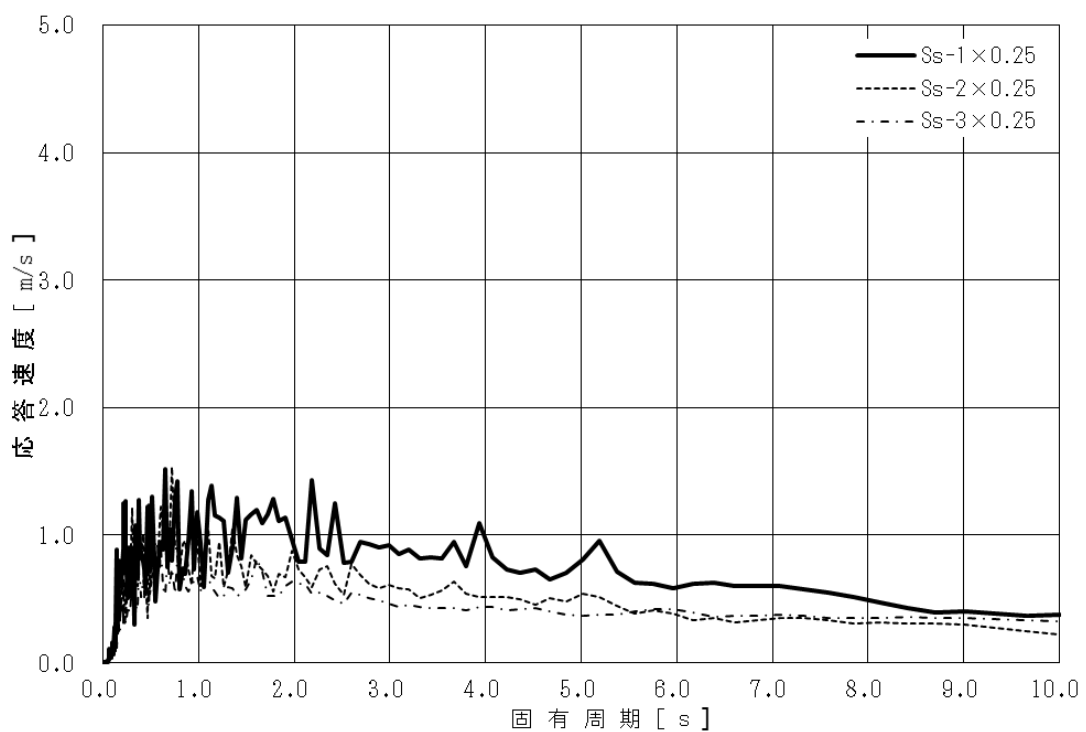
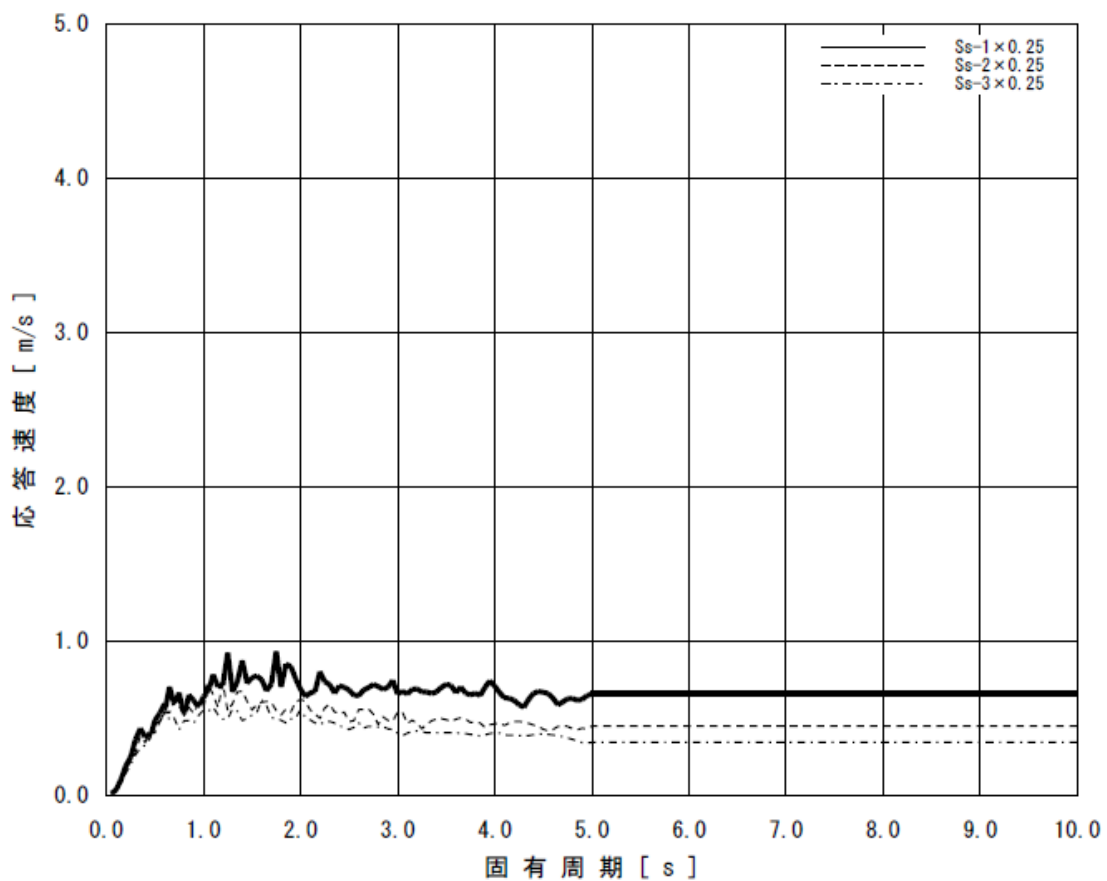


図-1 T.P. 8.5m盤 速度応答スペクトル (水平方向・減衰 0.5%)



図－2 T.P. 33.5m盤 速度応答スペクトル（水平方向・減衰なし）



図－3 S P T 建屋 速度応答スペクトル (NS 方向・減衰 0.5%)

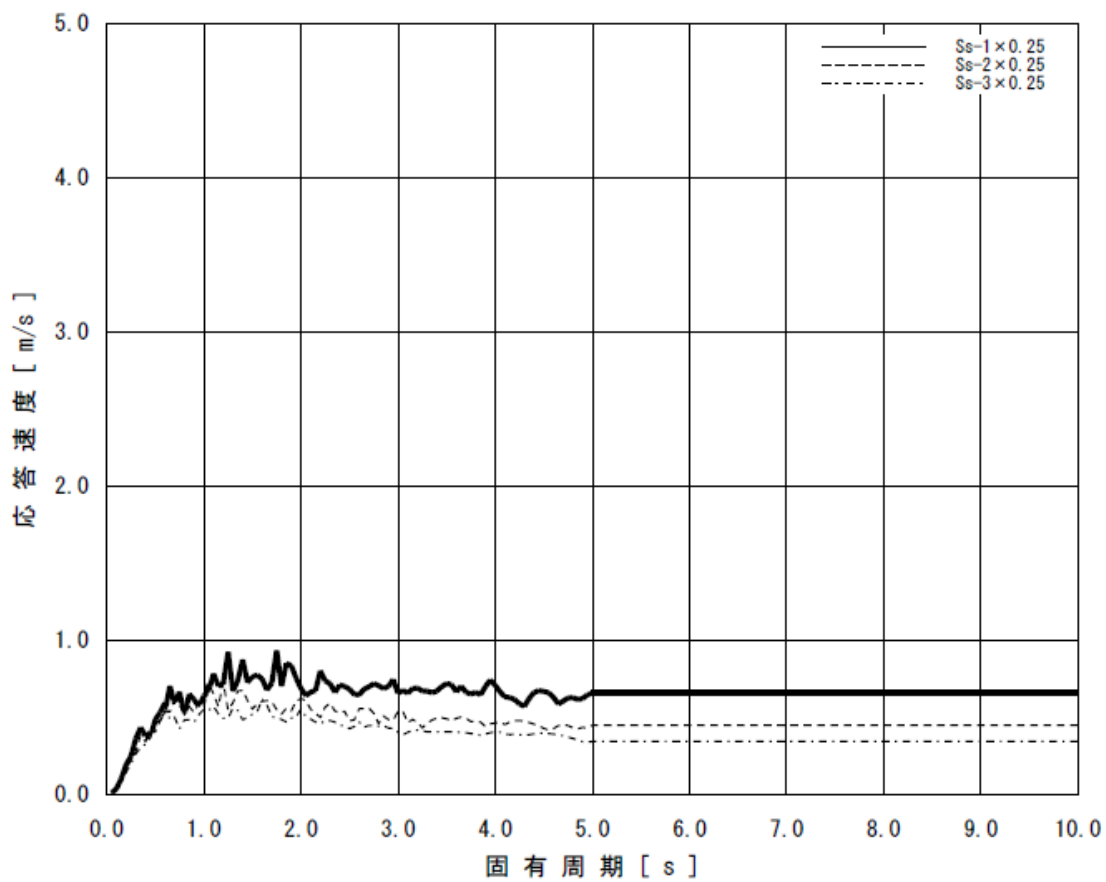


図-4 S P T 建屋 速度応答スペクトル (EW 方向・減衰 0.5%)

表-1 建屋内 RO 循環設備の関連設備におけるタンクのスロッシング評価結果

| 機器名称 | | | スロッシング 波高 [mm] | スロッシング時 液位 [mm] | タンク高さ [mm] |
|--------------------------------------|---------------|----|-------------------|--------------------|---------------|
| S P T (B) | SPT 建屋 | 円型 | 742 | 10,095 | 11,000 |
| S P T 受入水タンク | T. P. 8.5m 盤 | 角型 | 344 | 2,495 | 2,560 |
| RO 濃縮水受タンク | T. P. 33.5m 盤 | 角型 | 384 | 2,535 | 2,560 |
| 廃液 R O 供給タンク (35m ³) | T. P. 33.5m 盤 | 角型 | 405 | 1,957 | 2,244 |
| 廃液 R O 供給タンク (42m ³) | T. P. 33.5m 盤 | 角型 | 443 | 1,995 | 2,244 |
| 廃液 R O 供給タンク (40m ³) | T. P. 33.5m 盤 | 角型 | 374 | 1,926 | 2,351 |
| 廃液 R O 供給タンク (110m ³) | T. P. 33.5m 盤 | 角型 | 314 | 1,866 | 2,560 |

以上

2023年11月9日
東京電力ホールディングス株式会社

「福島第一原子力発電所 特定原子力施設に係る実施計画」の変更認可の申請
に関する核セキュリティ及び保障措置への影響について

<申請書>

| | |
|------|--|
| 申請件名 | 建屋内RO処理水移送配管の追設（一部補正） |
| 申請概要 | 建屋内RO処理水移送配管の追設について、審査の進捗に伴い、「福島第一原子力発電所 特定原子力施設に係る実施計画」の変更認可申請の一部補正を行う。 |

上記の申請に関する核セキュリティ及び保障措置への影響の有無についての確認結果を以下に示す。

<核セキュリティ及び保障措置への影響の有無>

| | 確認項目 | 影響の有無 | 備考 |
|-------------|--|-------|--|
| 核セキュリティへの影響 | ① 防護対象の追加等による影響の有無 | 無 | 防護対象の追加等はないことから影響無し。 |
| | ② 侵入防止対策に係る性能への影響の有無 | 有 | 防護境界に影響を与える工事であるが、追加の防護措置を実施済である。また、工事期間中は監視体制を強化する。 |
| 保障措置への影響 | ① 設計情報質問表（DIQ:Design Information Questionnaire）への影響の有無 | 無 | 変更手続きが必要な事項に該当しないため、影響無し。 |
| | ② 査察機器の移設又は新規設置の有無 | 無 | 既存の査察機器との干渉がないため、影響無し。 |
| | ③ サイト内建物報告の観点から、恒久的な建物・構造物の新設の有無 | 無 | 既報告の内容に変更がないため、影響無し。 |
| | ④ 既存の査察実施方針への影響の有無 | 無 | 既存のIAEA査察内容（施策）での対応可能 |